



HENRY (B.)

n° 2

A

THESE de DOCTORAT D'ETAT

ès Sciences Physiques

présentée

à l'Université Pierre et Marie Curie

- Paris 6 -

par Monsieur Bernard HENRY

pour obtenir le grade de DOCTEUR ès SCIENCES

Sujet de la thèse :

Contribution à l'étude des propriétés magnétiques de roches magmatiques des Alpes. Conséquences structurales, régionales et générales.

Tome II : Planches hors-texte et tableaux de résultats.

soutenu le 3 décembre 1980

devant le jury composé de :

Monsieur G. JOBERT	Président
Monsieur J. GOGUEL	Examineur
Madame S. GUILLAUME	Rapporteur
Monsieur P. VIALON	Rapporteur
Monsieur L. DALY	Rapporteur

M

19 AOÛT 2003

18 FEV. 1981

UNIVERSITE DE GRENOBLE 1

INSTITUT DE GEOLOGIE

DOCUMENTATION

RUE MAURICE-GIGNOUX

F 38031 GRENOBLE CEDEX

TEL (76) 87.46.43

PLANCHE HORS TEXTE I

Orientation des axes principaux de susceptibilité minimaux (m), intermédiaires (i) et maximaux (M). Avant et éventuellement après correction de pendage (CP.).

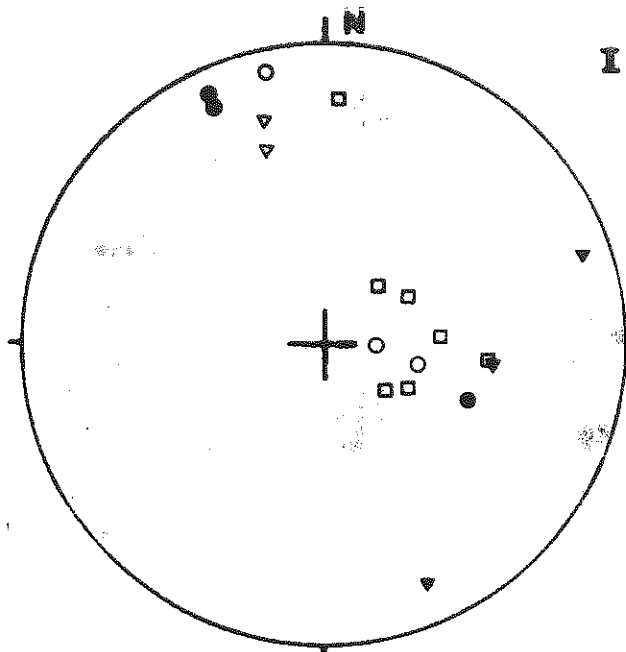
Les différentes figures correspondent aux valeurs du paramètre f :

- de 0 à 0,19 : triangles pleins
- de 0,20 à 0,39 : triangles vides
- de 0,40 à 0,60 : carrés vides
- de 0,61 à 0,80 : cercles vides
- de 0,81 à 1 : cercles pleins.

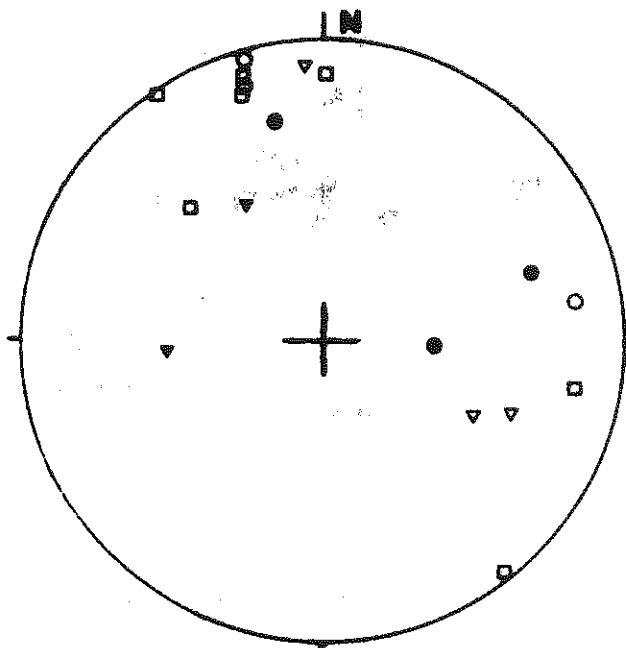
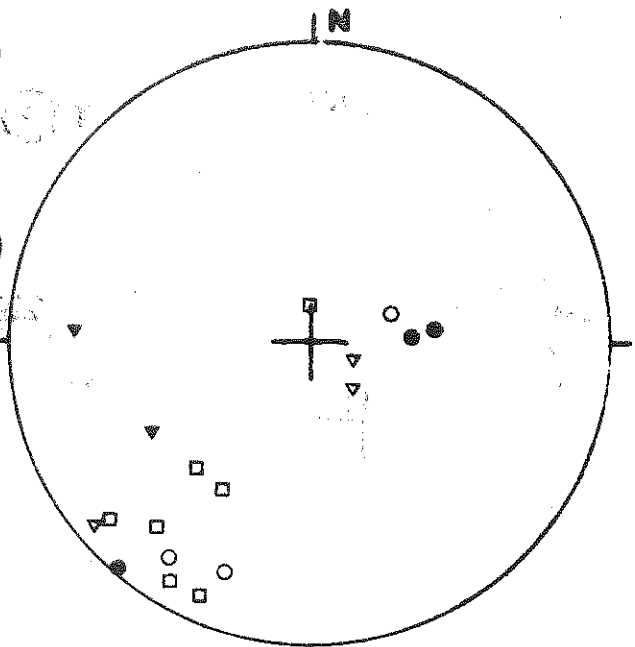
18 FEV. 1987

UNIVERSITE DE GRENOBLE 1  
INSTITUT DE GEOLOGIE  
**DOCUMENTATION**  
RUE MAURICE GIGNOUX  
F 38031 GRENOBLE CEDEX  
TEL. (76) 87.46.43

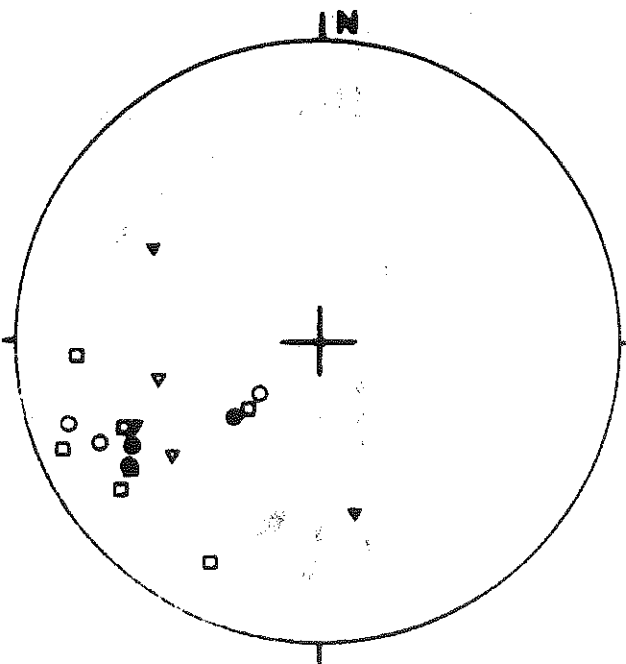
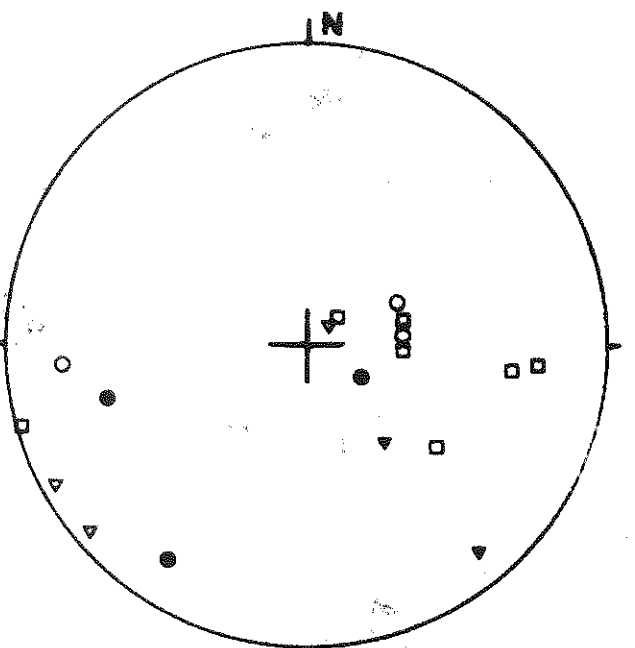
10148612



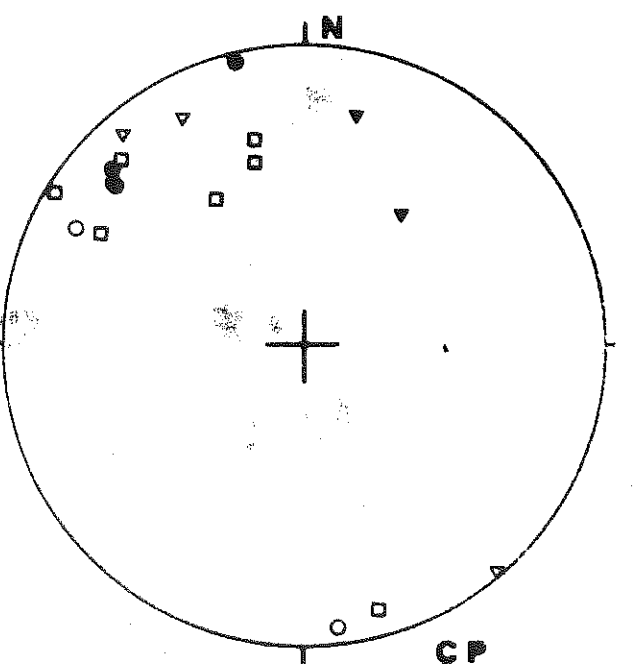
1



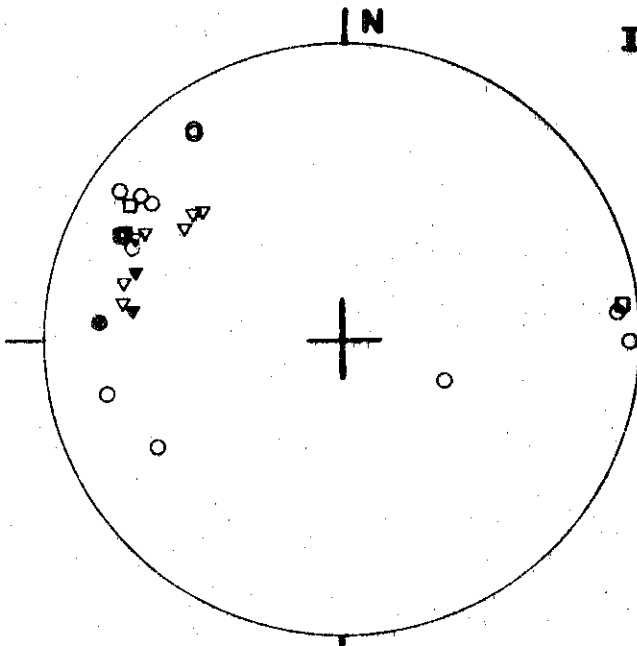
2



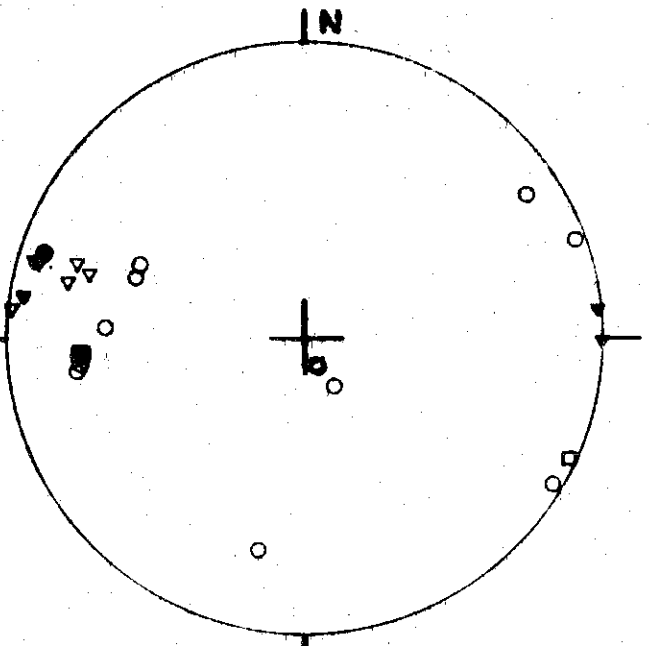
3



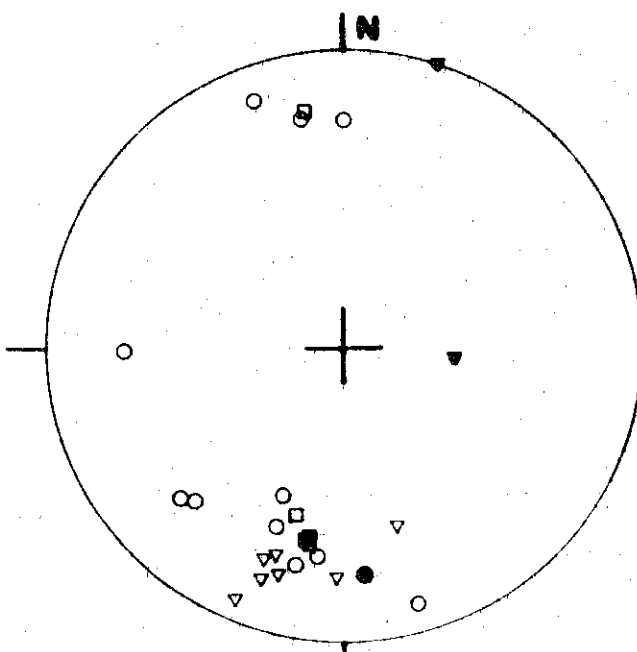
CP



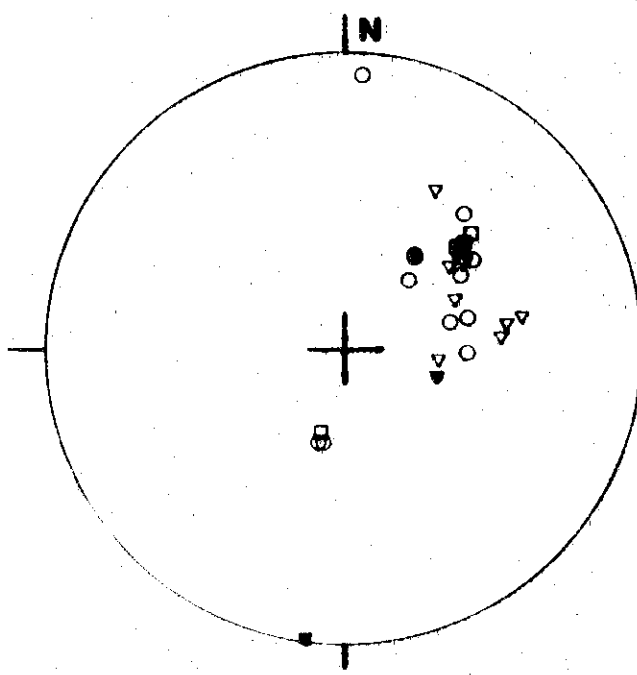
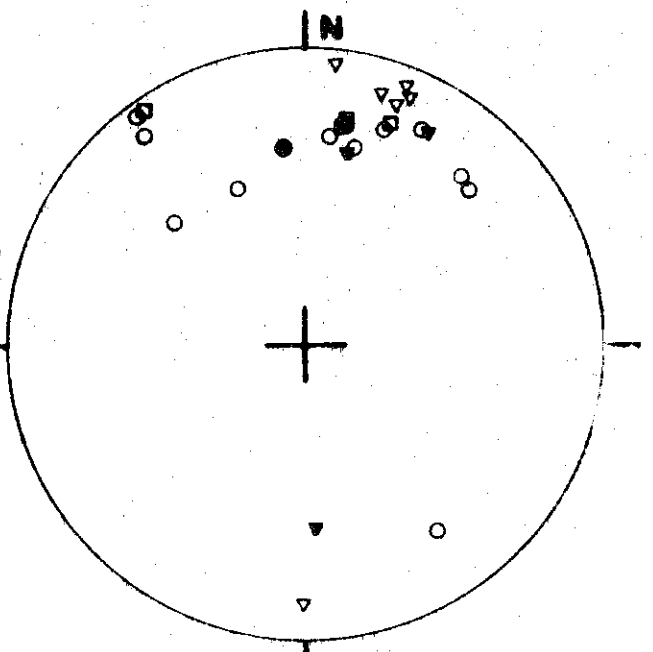
I (2)



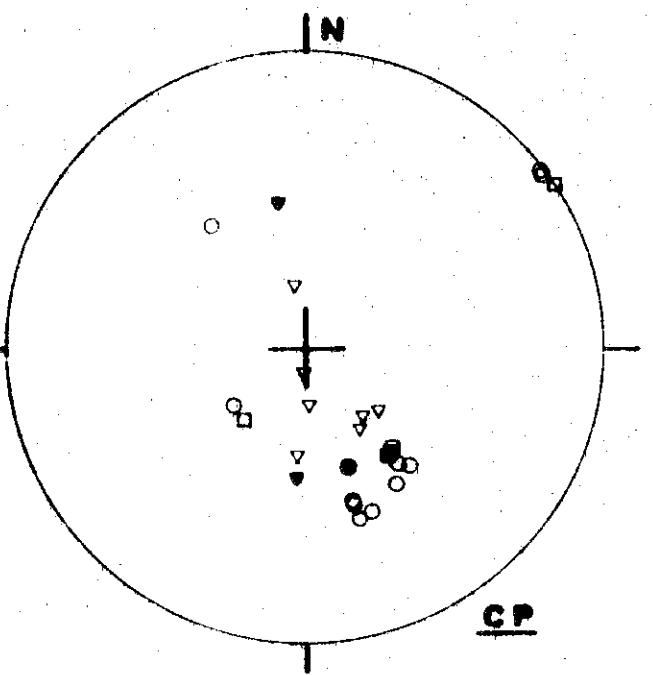
(3)



(i)



(3)



CP

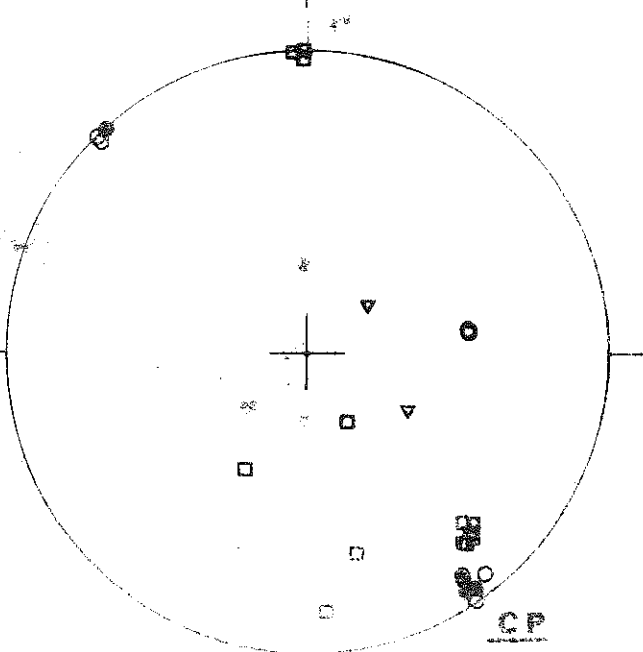
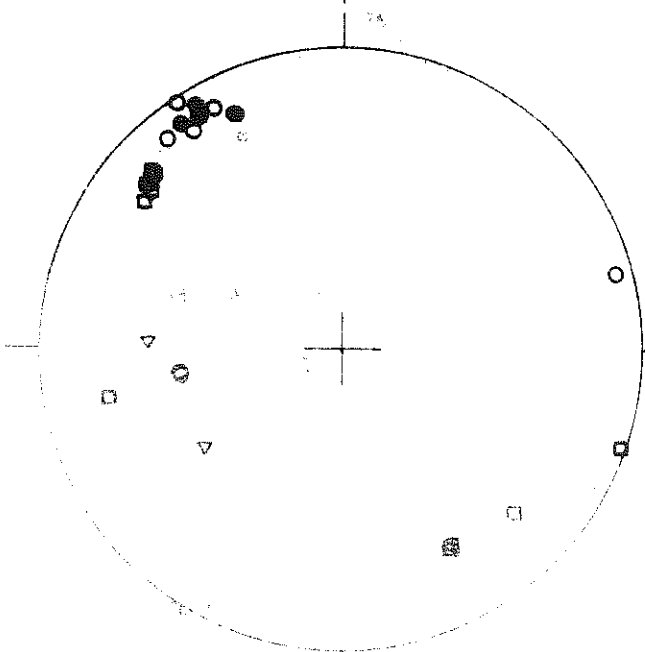
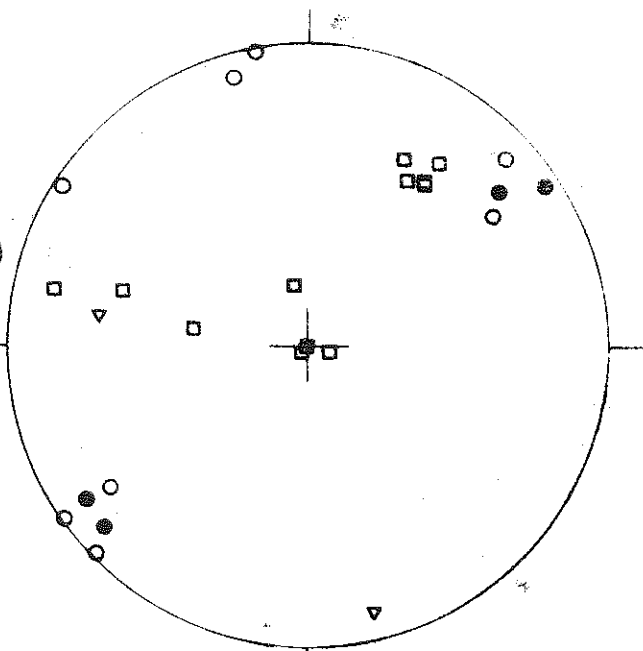
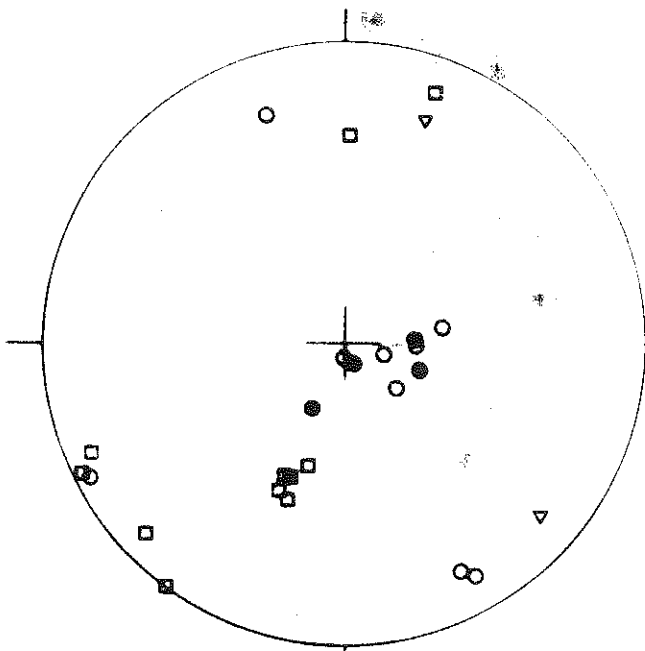
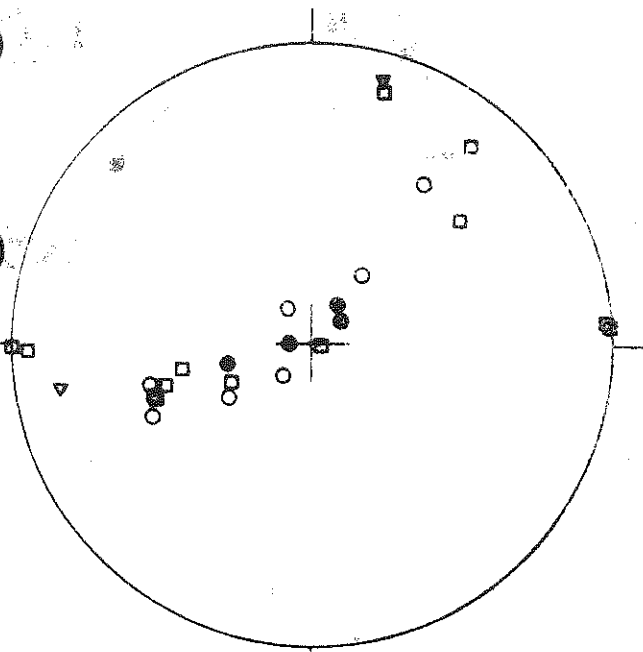
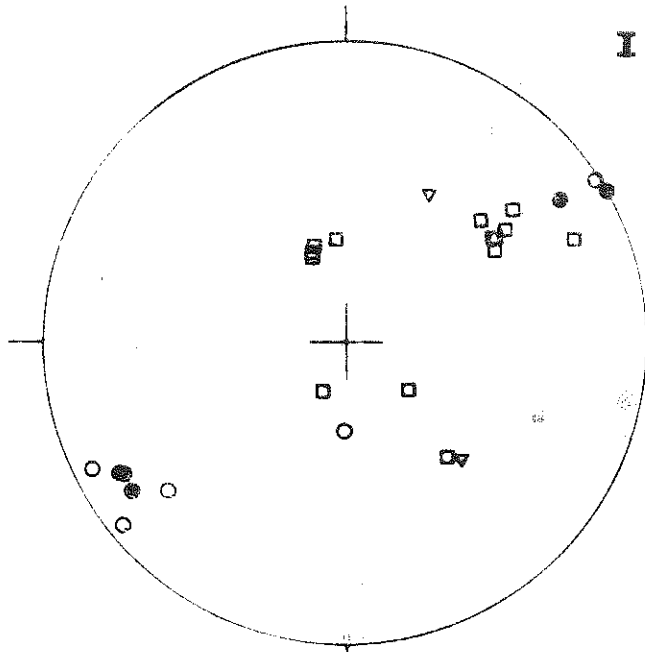
I (3)

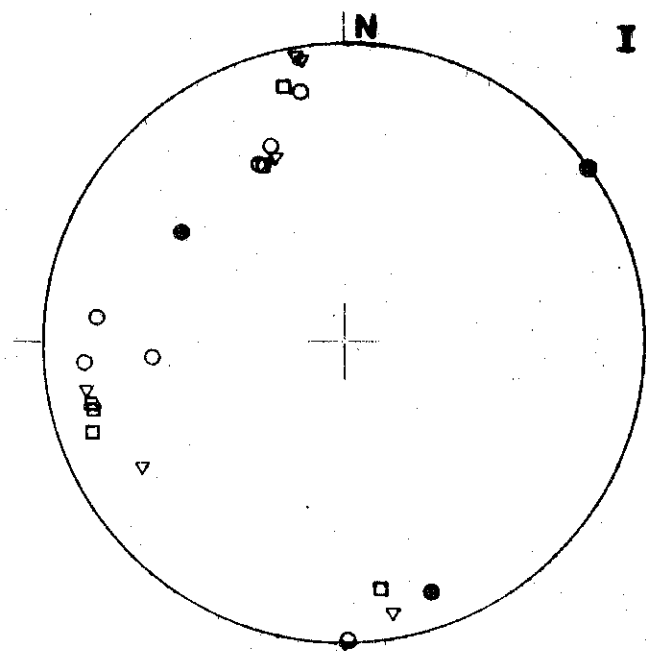
(3)

(i)

(3)

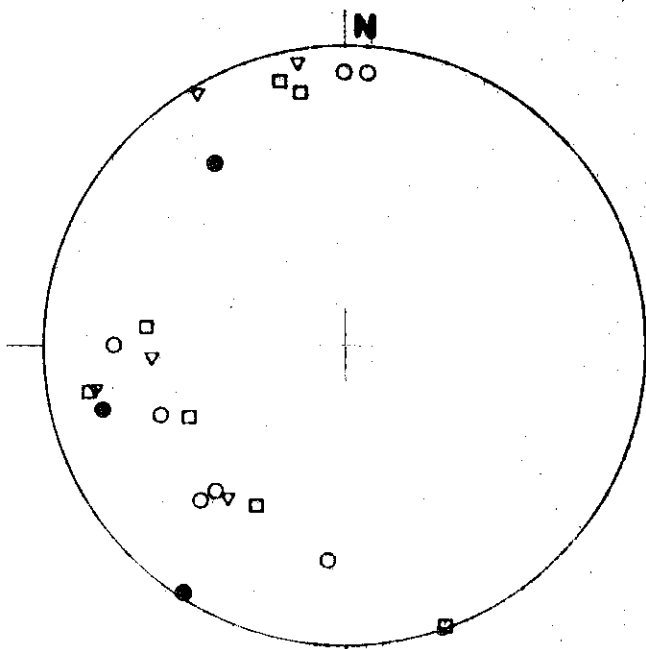
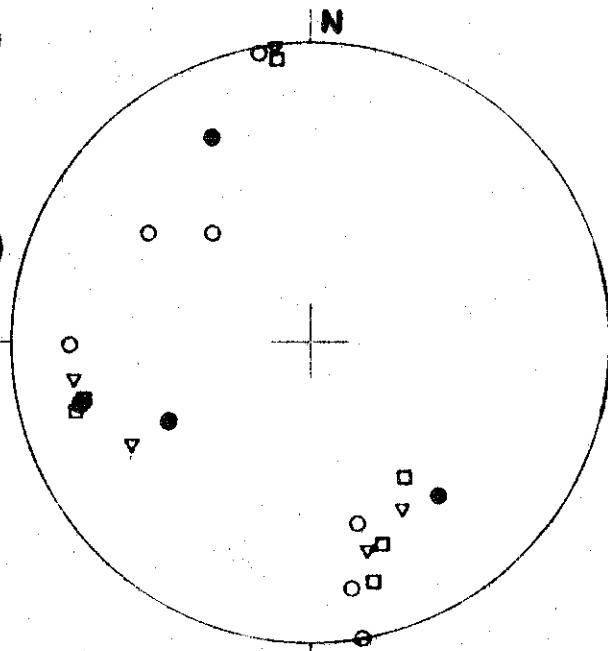
CP



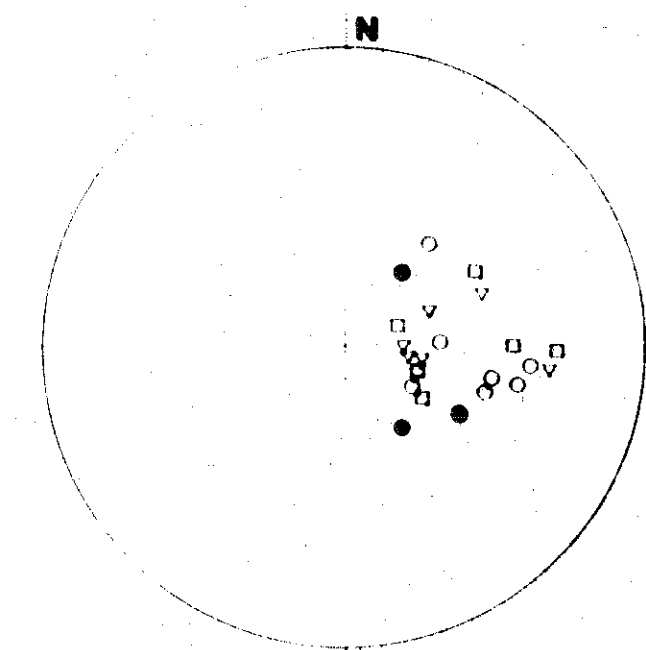
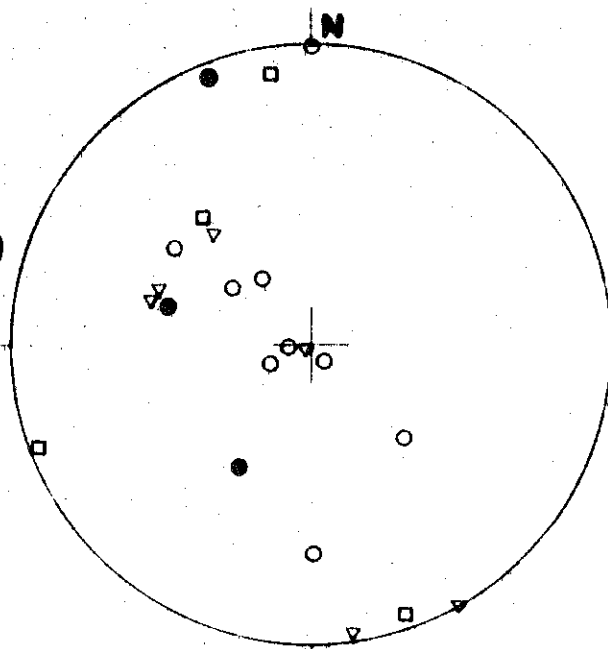


I (4)

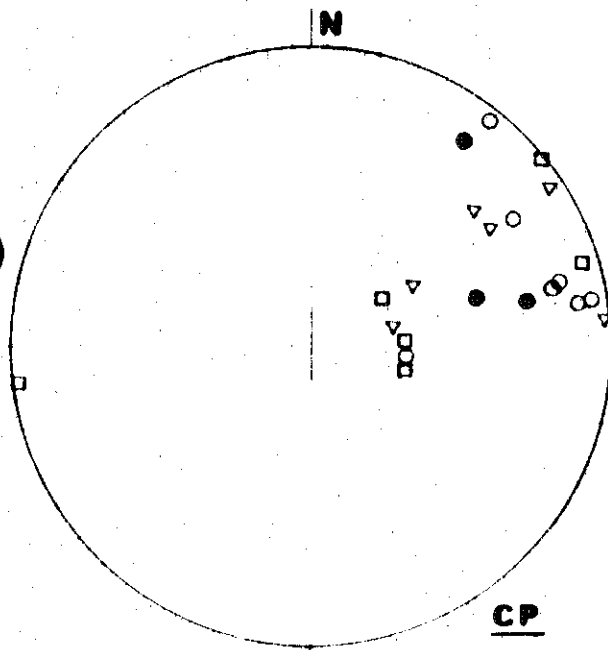
(3)



(i)



(M)



CP

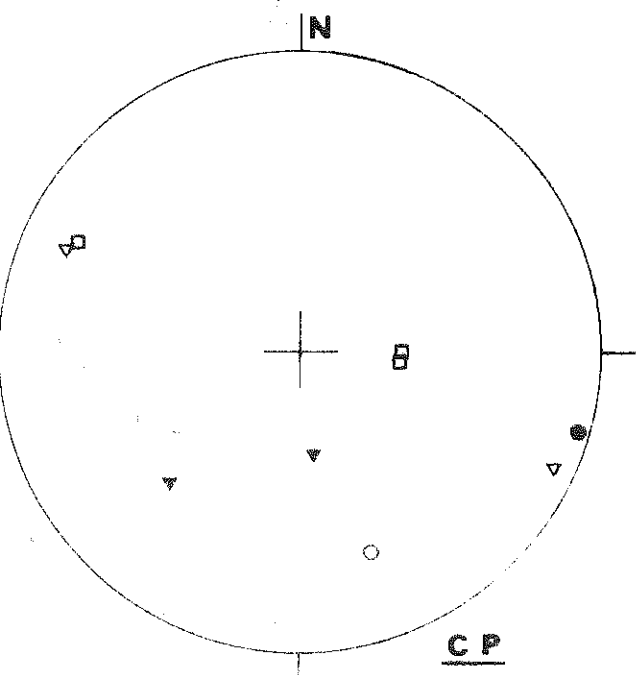
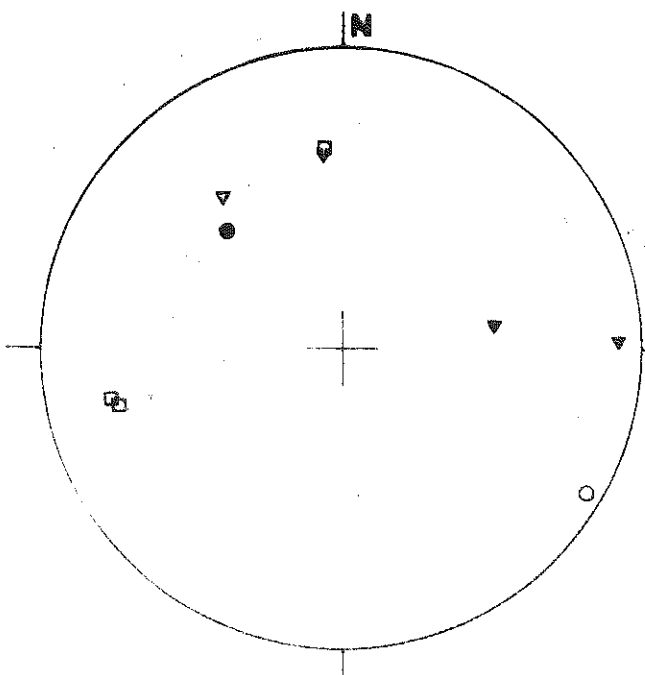
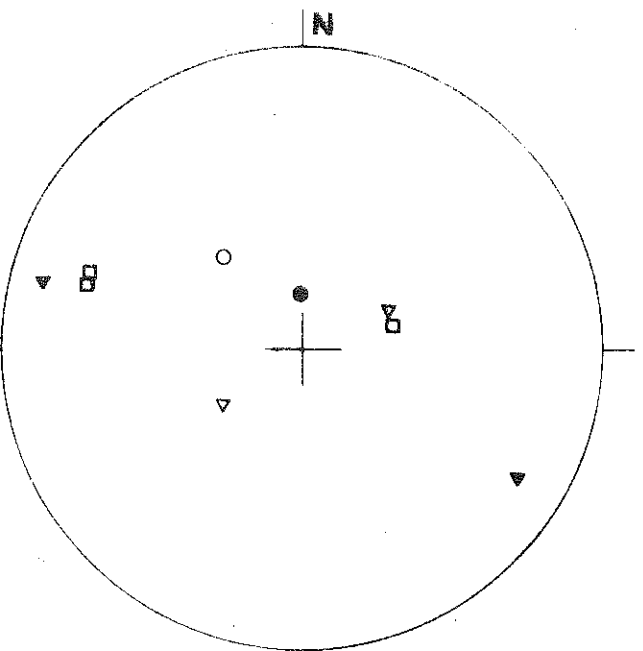
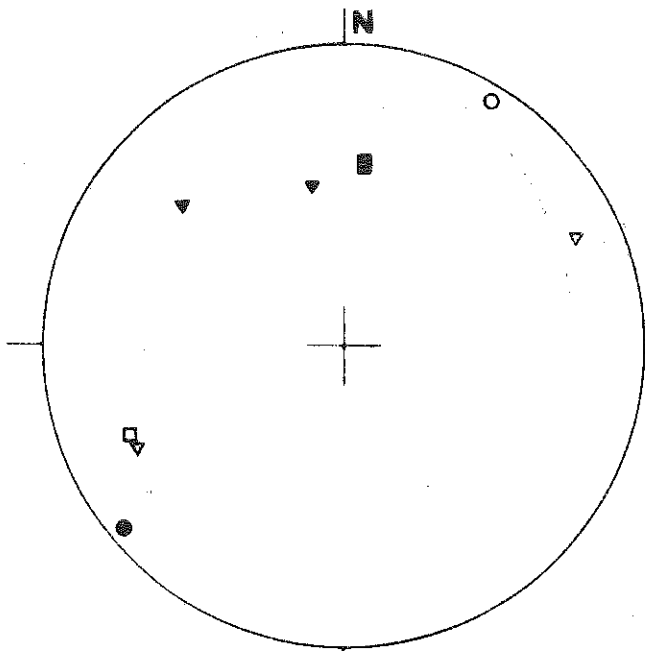
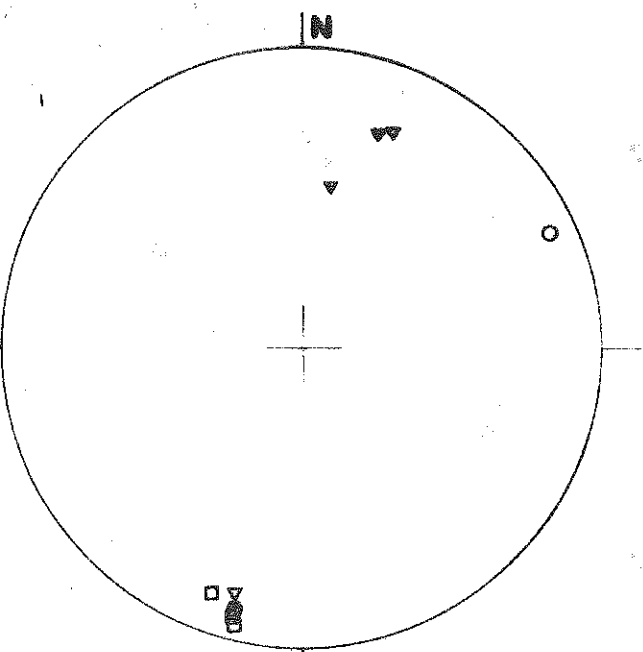
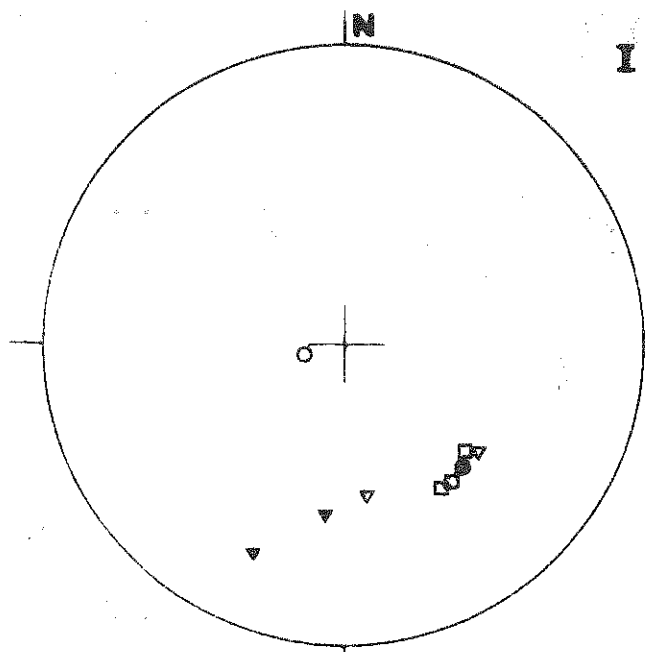
15

16

17

18

CP



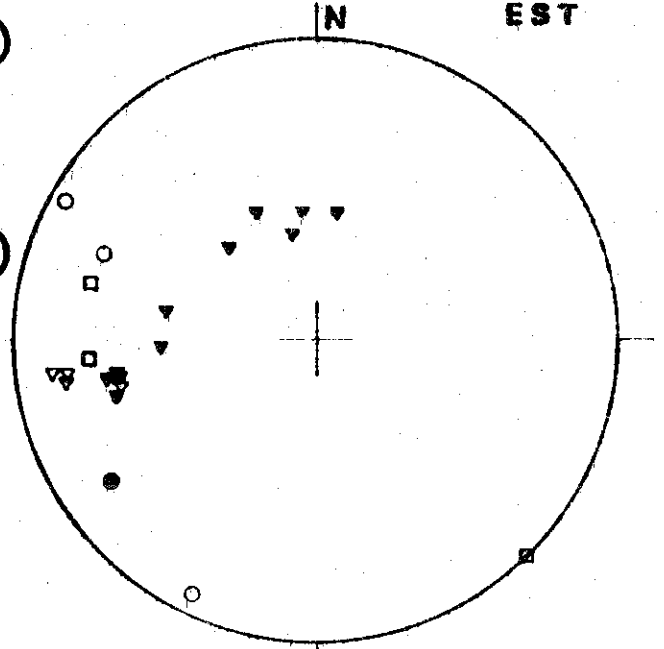
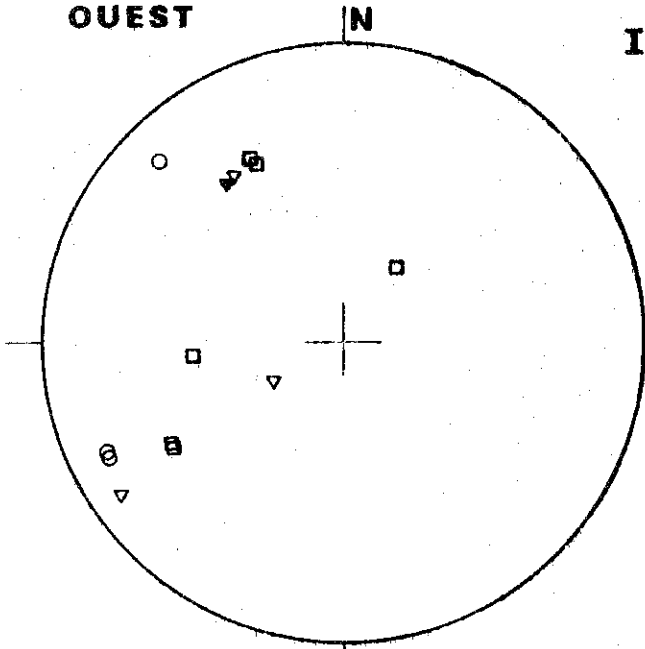
OUEST

N

I (6)

EST

N

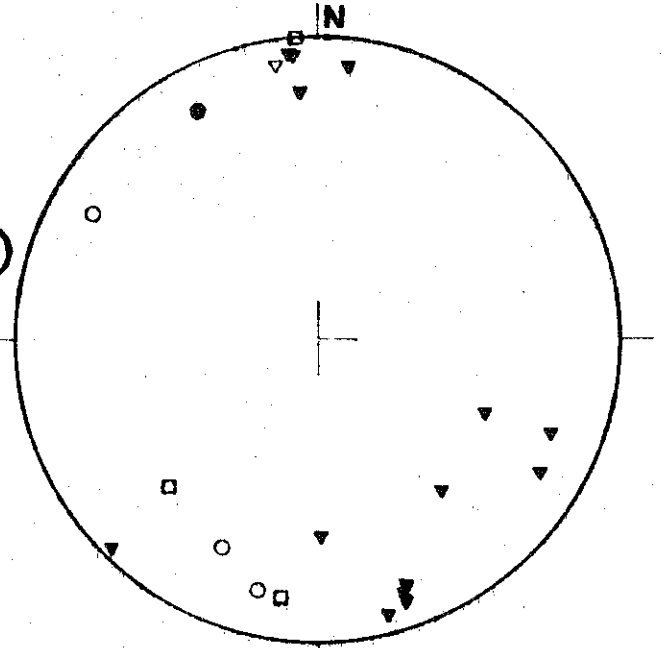
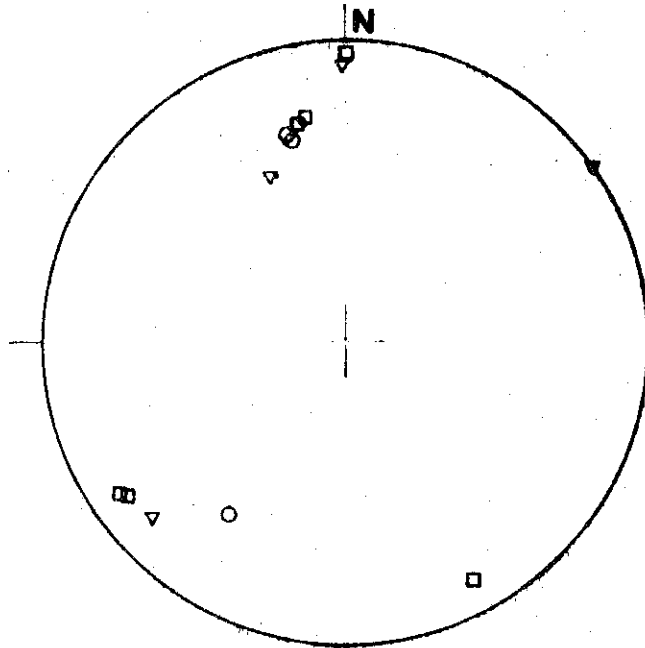


(m)

N

(i)

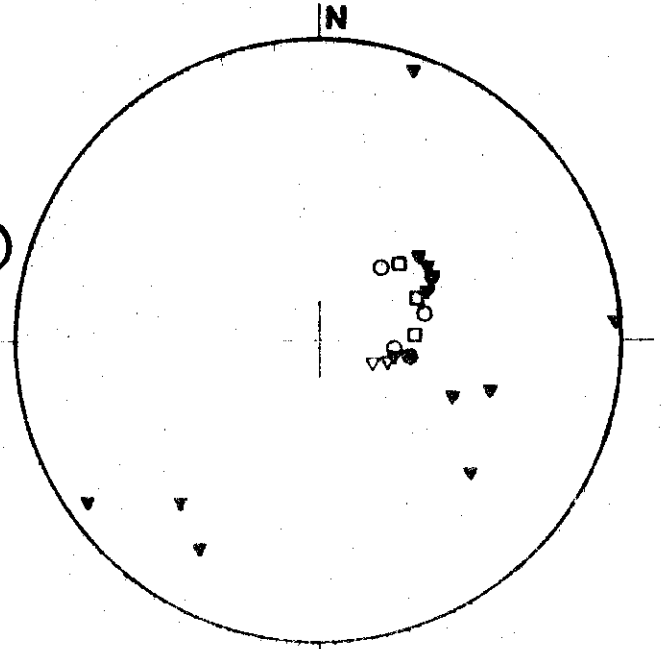
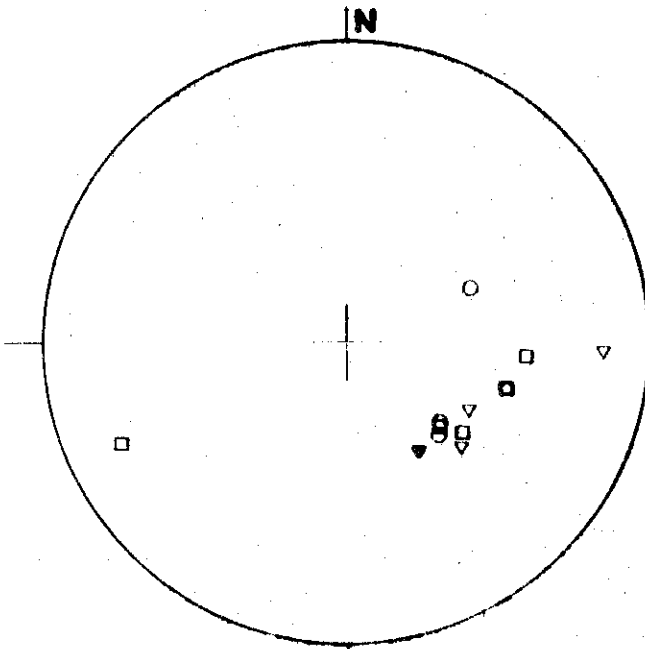
N



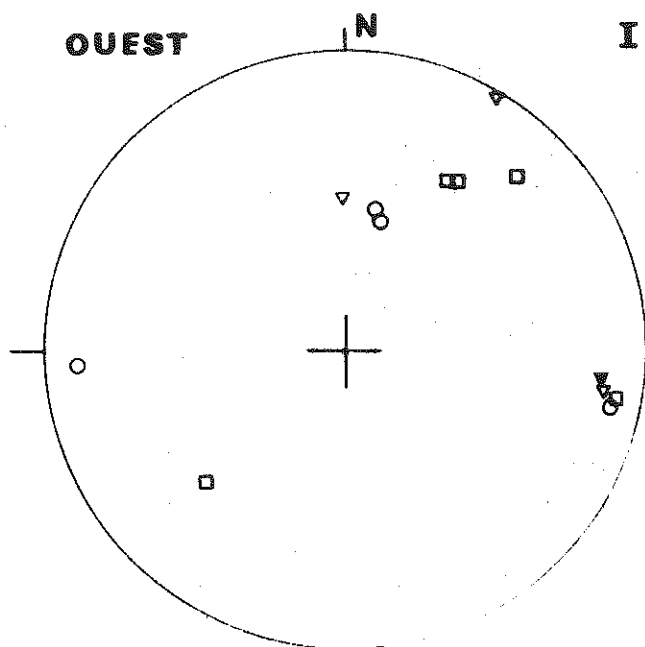
N

(M)

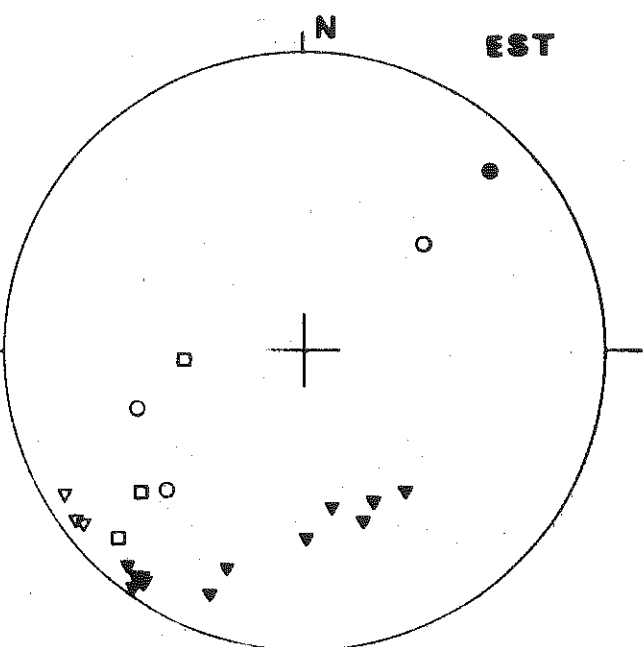
N



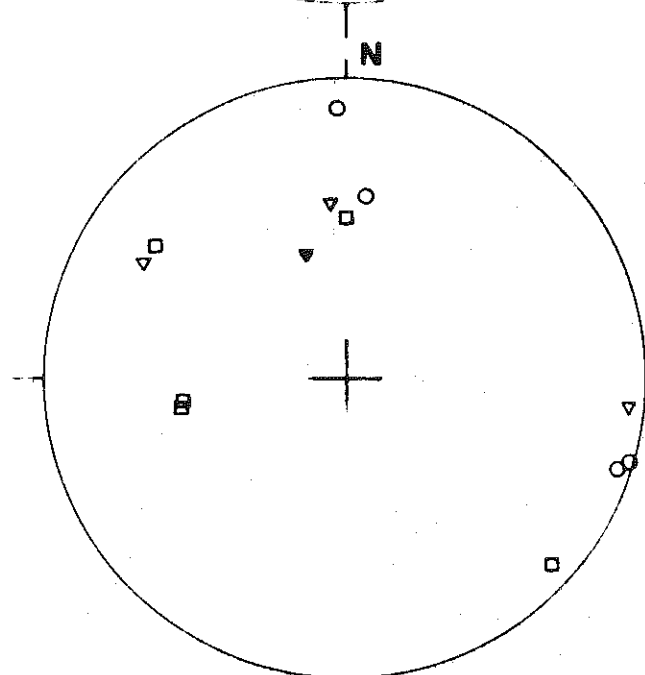




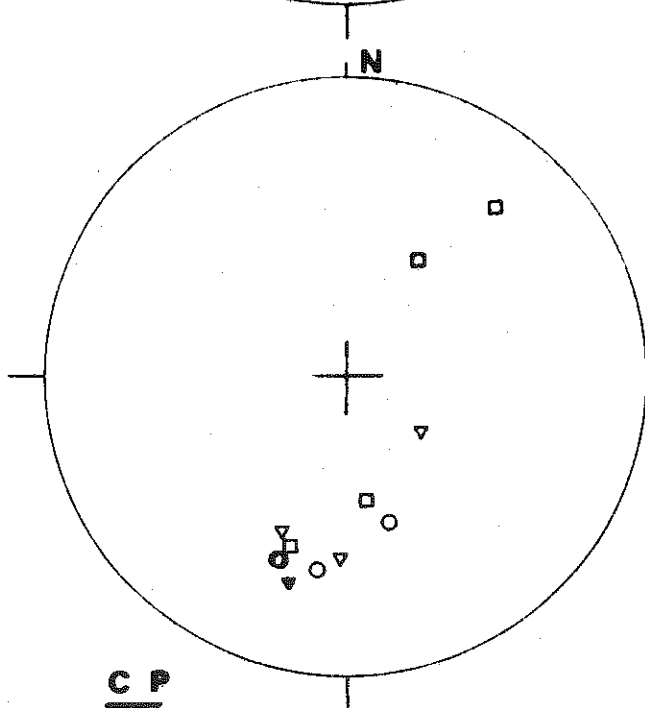
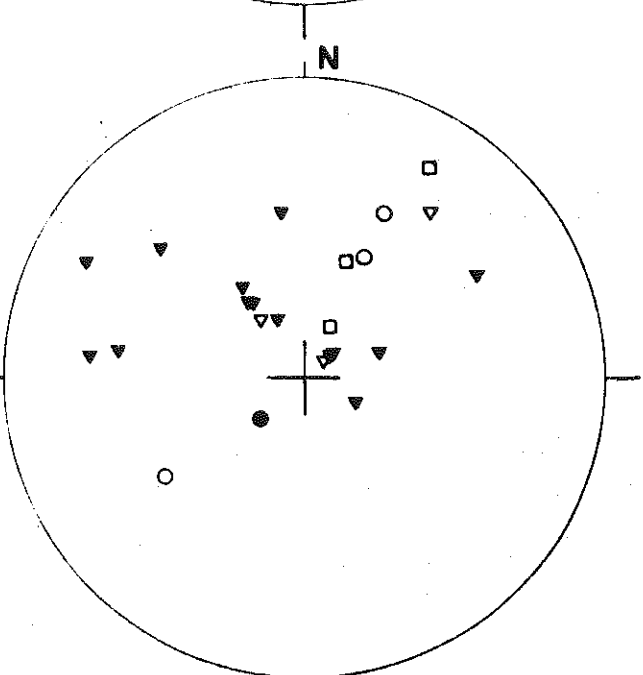
**I** **(6)**



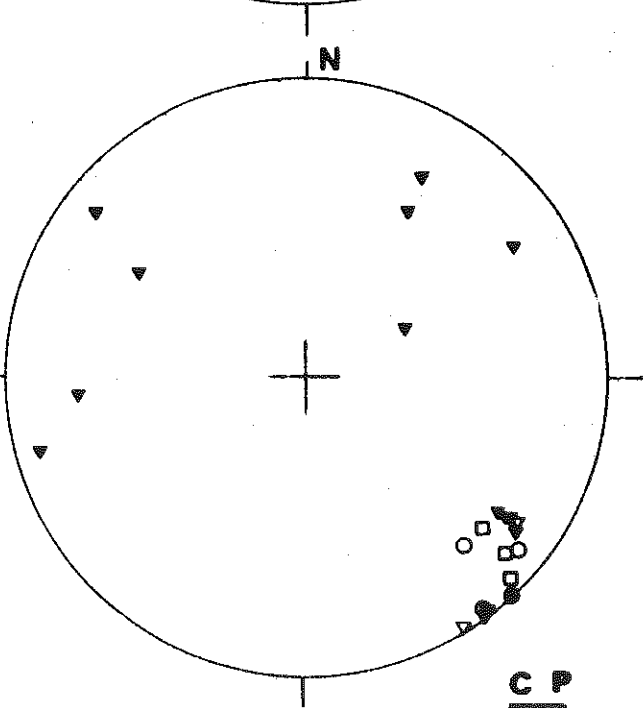
**(m)**



**(i)**



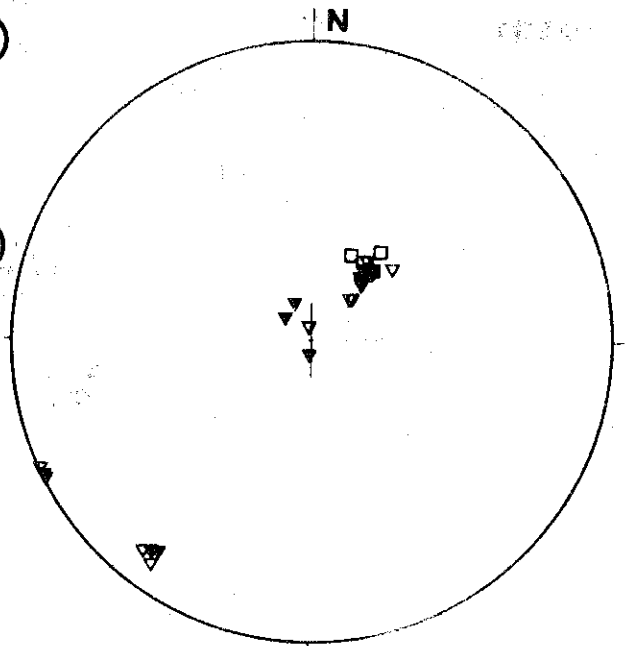
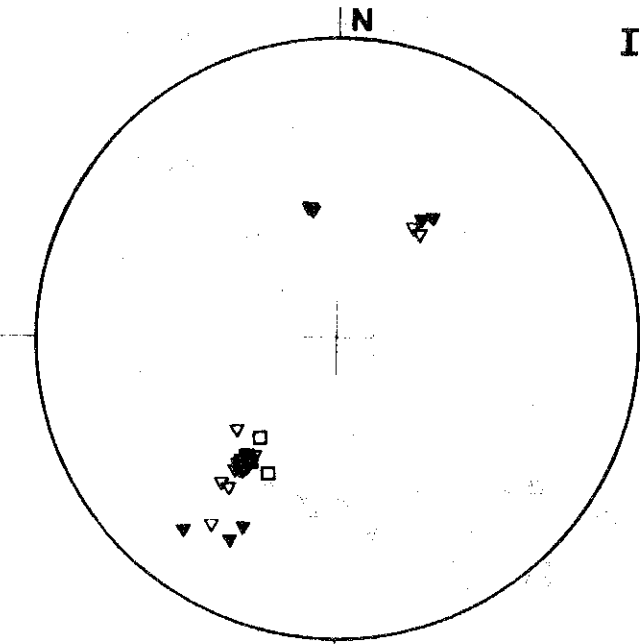
**(M)**



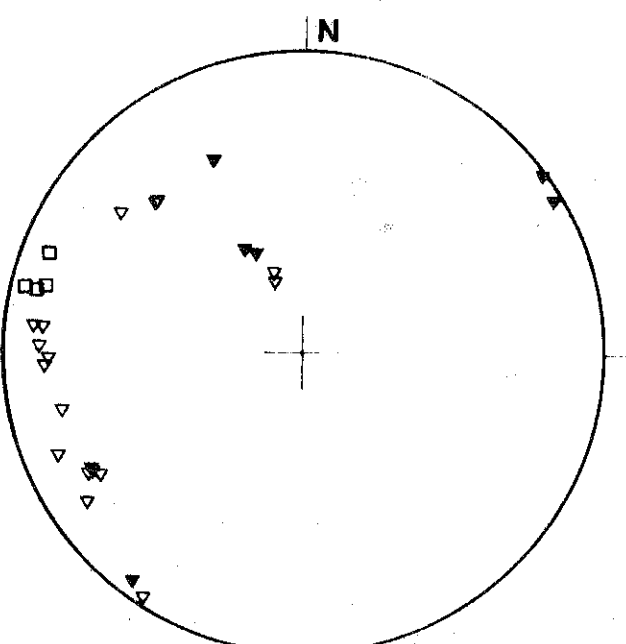
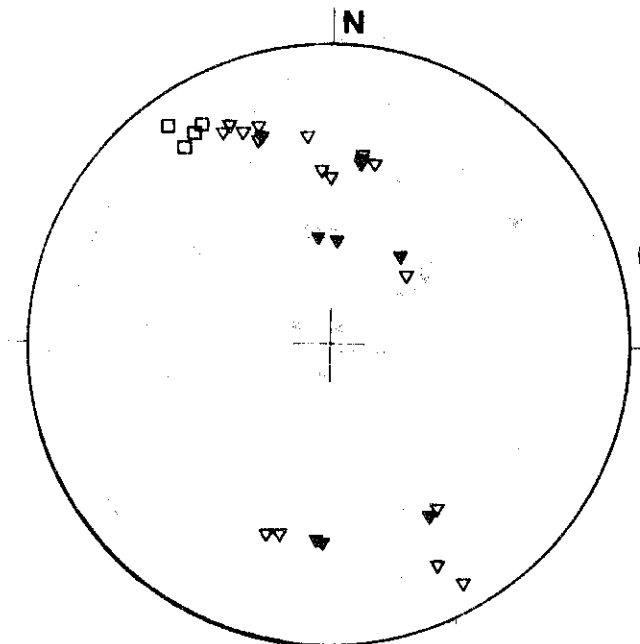
**C P**

**C P**

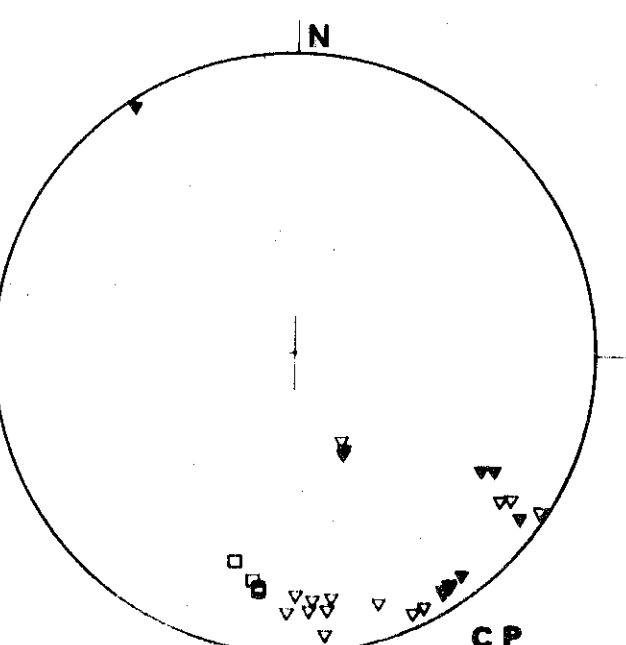
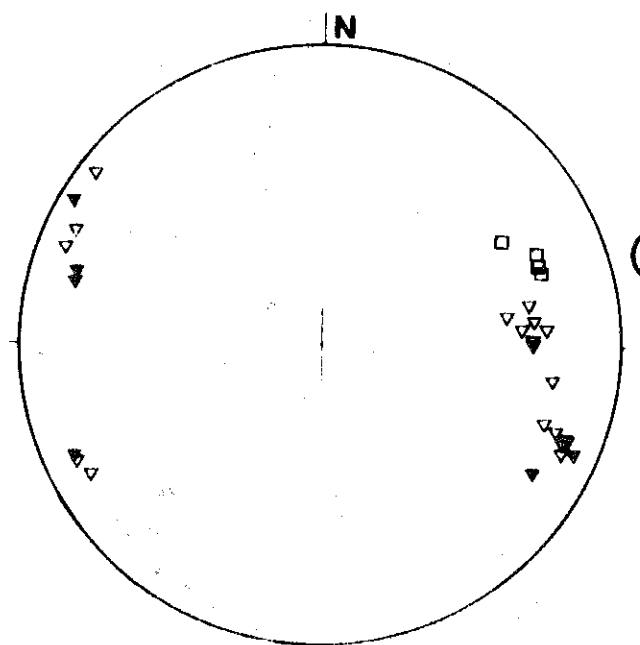
I (7)



(m)

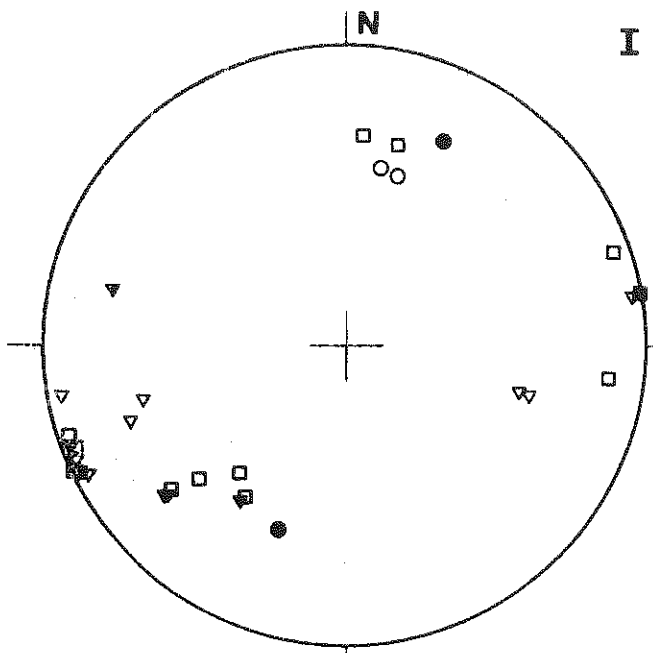


(i)



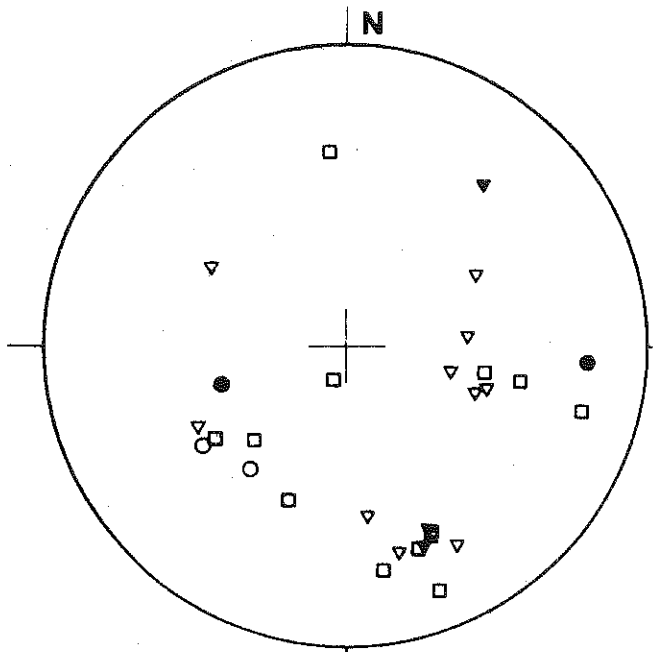
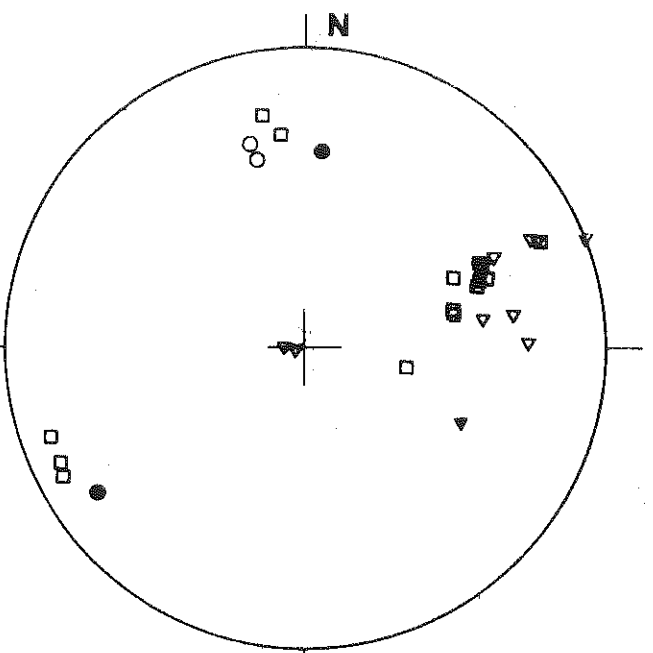
(M)

CP

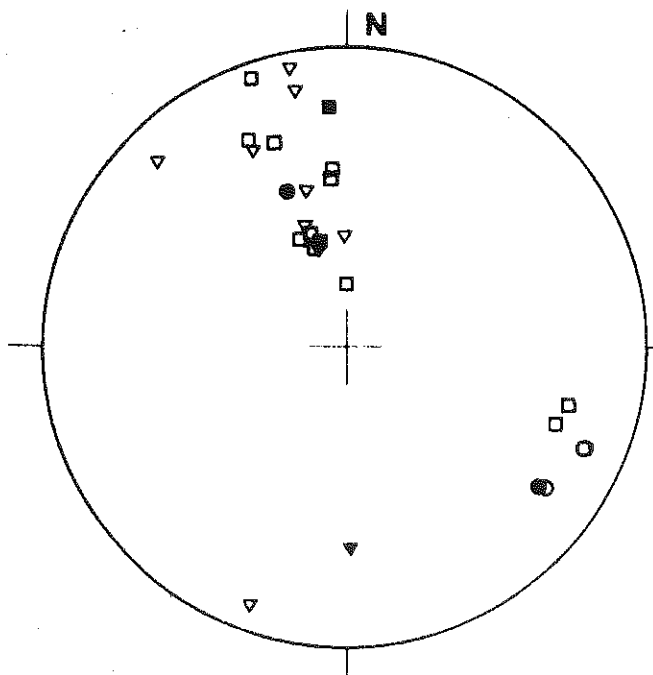
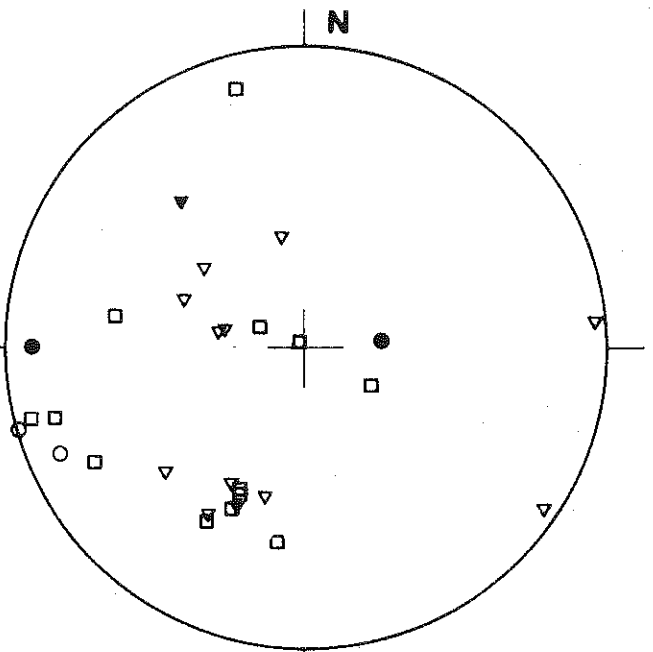


I (8)

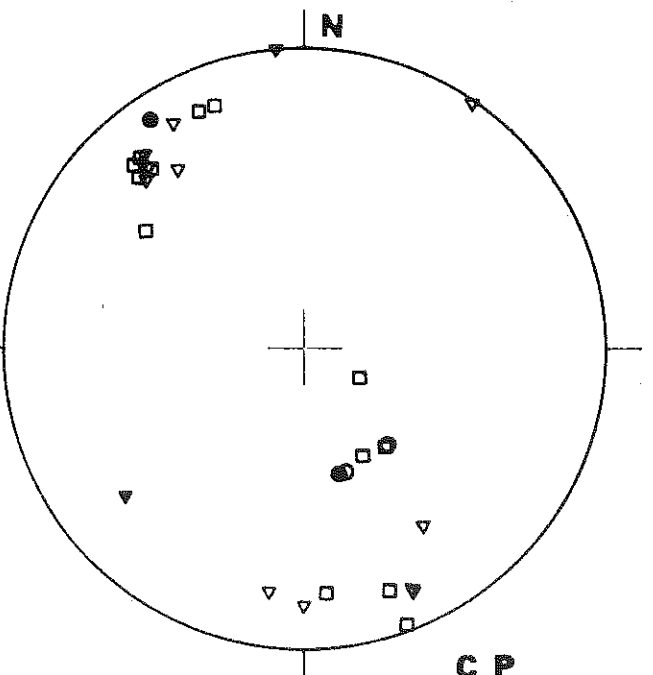
(m)



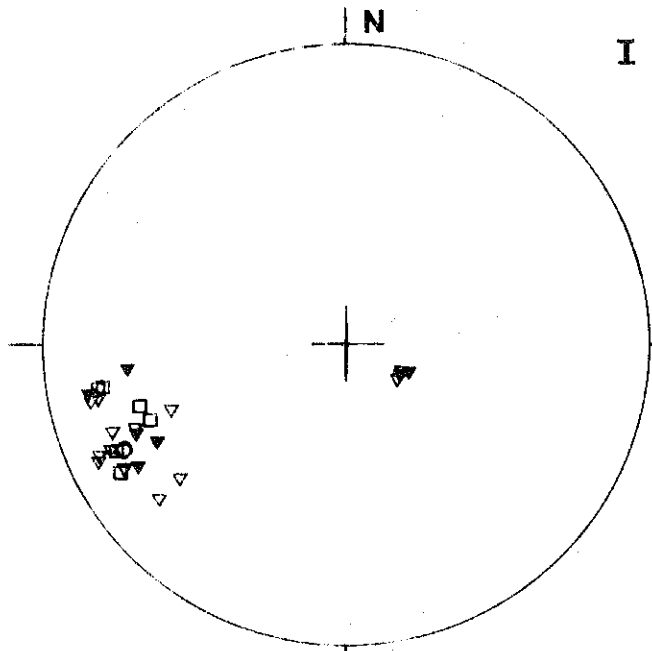
(i)



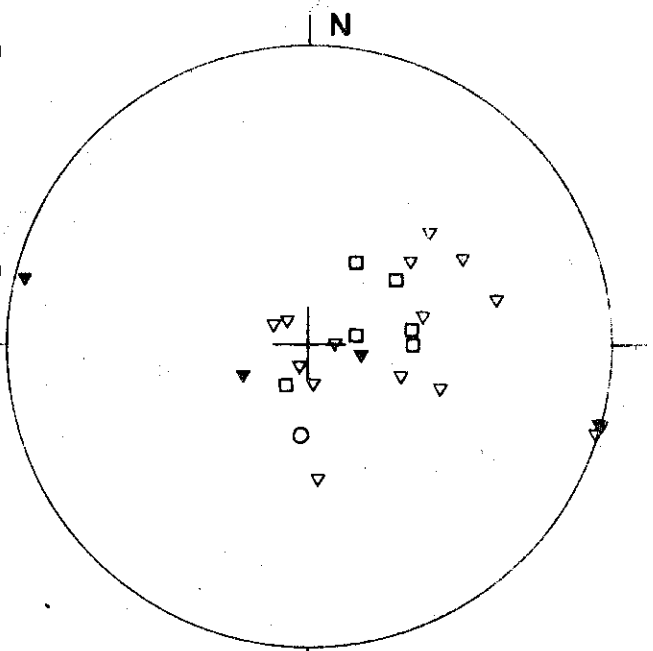
(M)



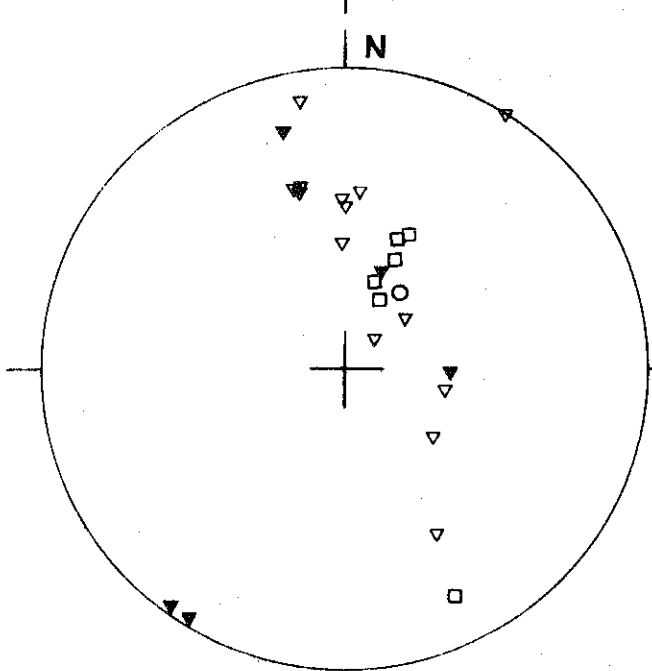
CP



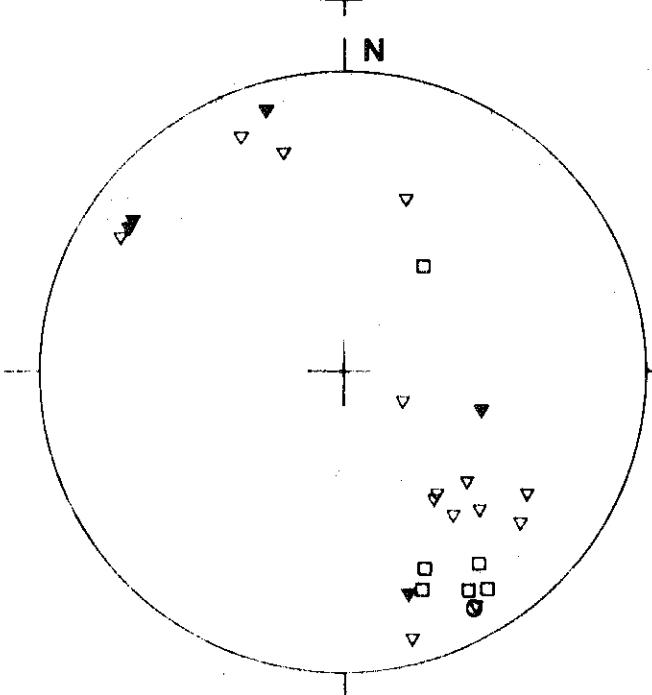
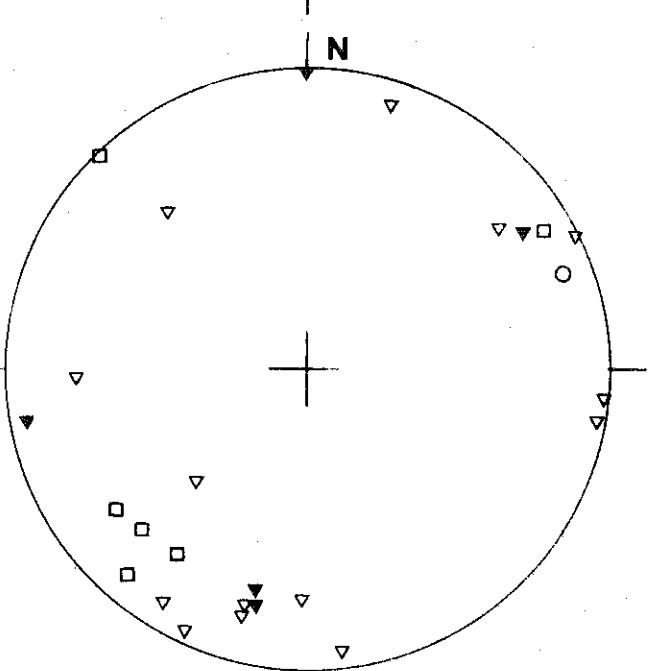
I (9)



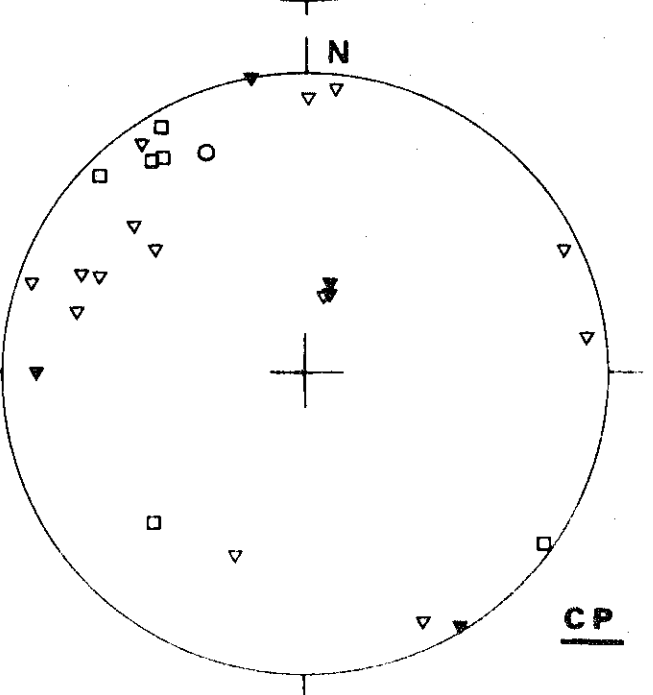
(E)



(i)



(M)



CP

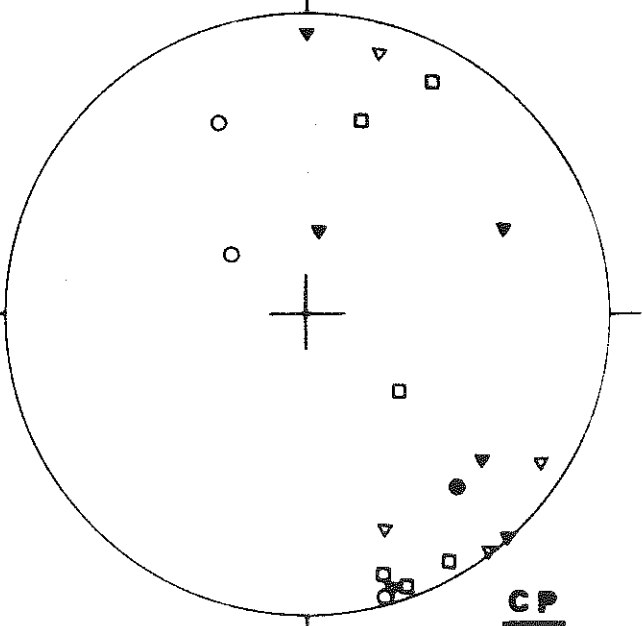
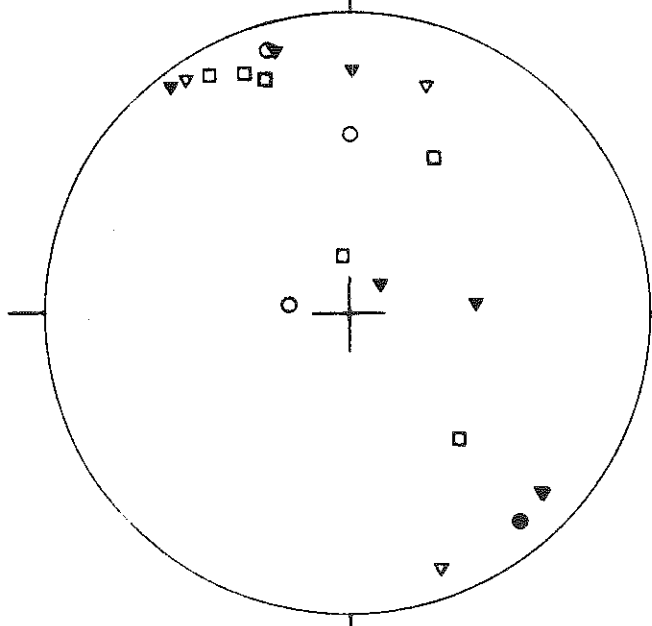
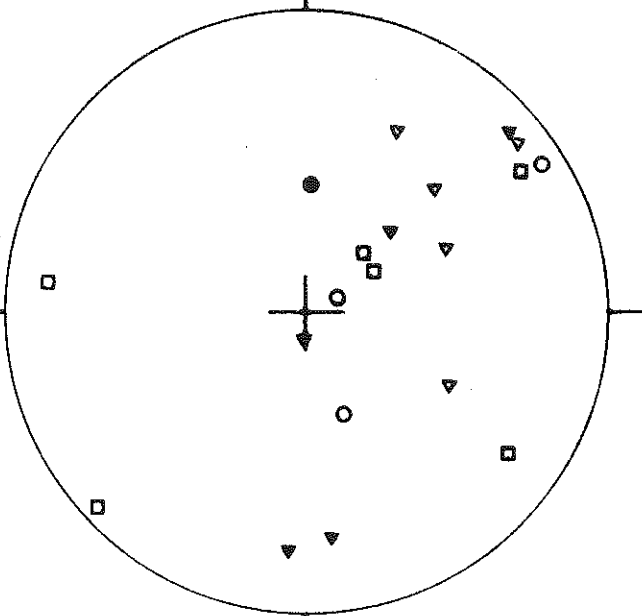
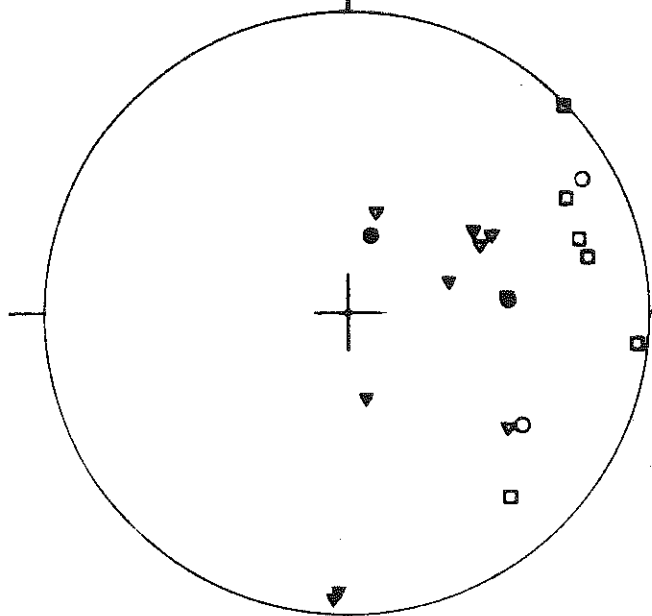
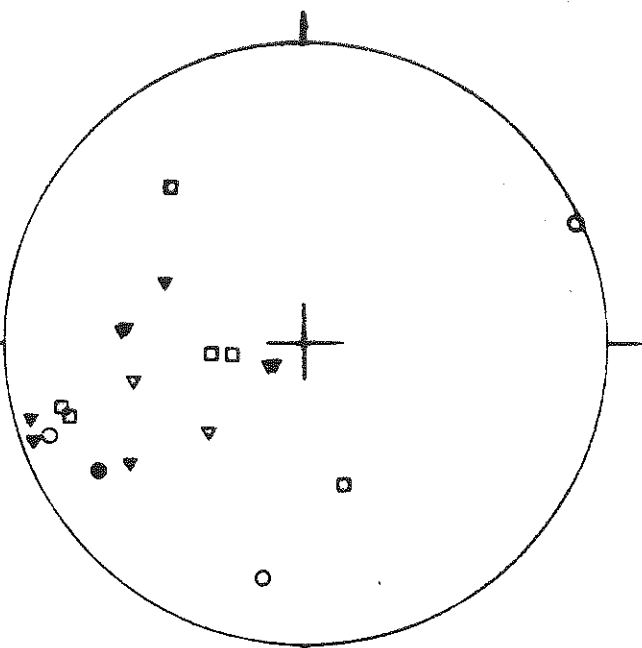
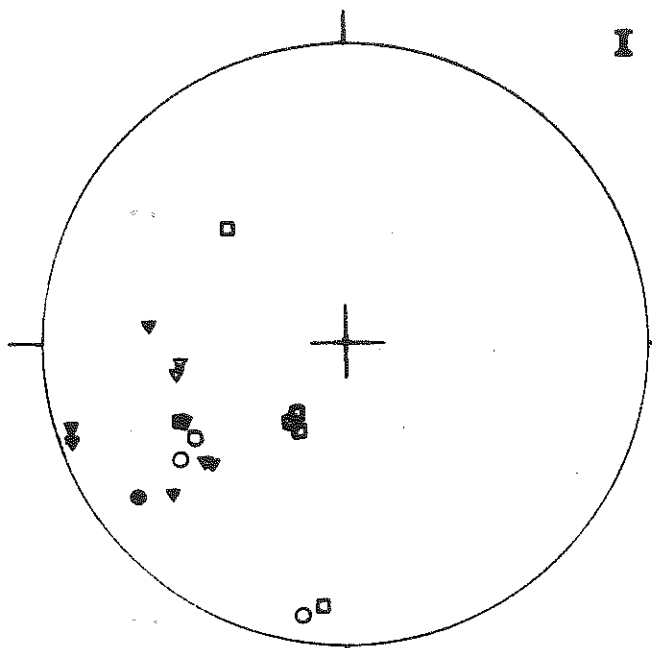
I (10)

(11)

(12)

(13)

CP



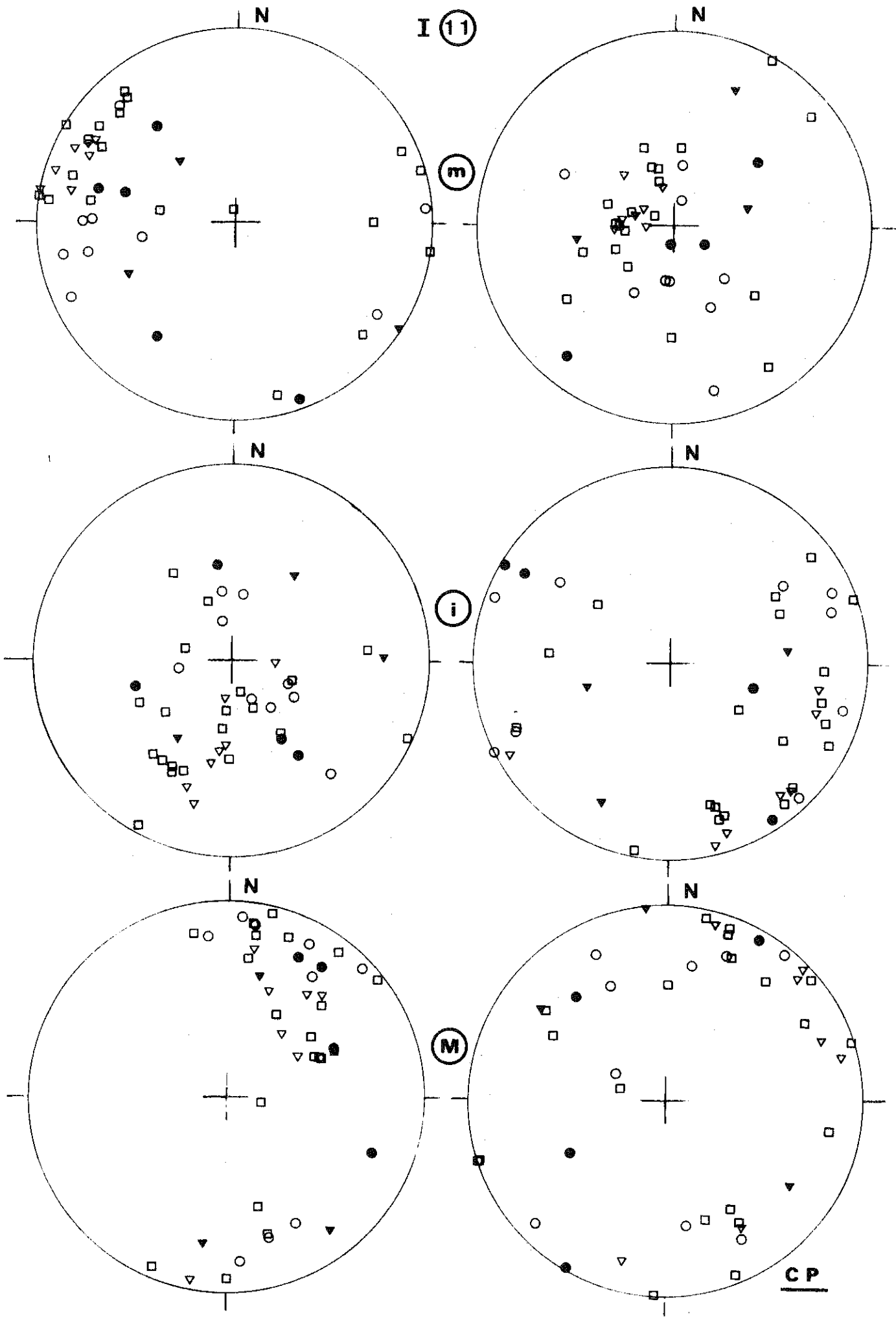
I (11)

(3)

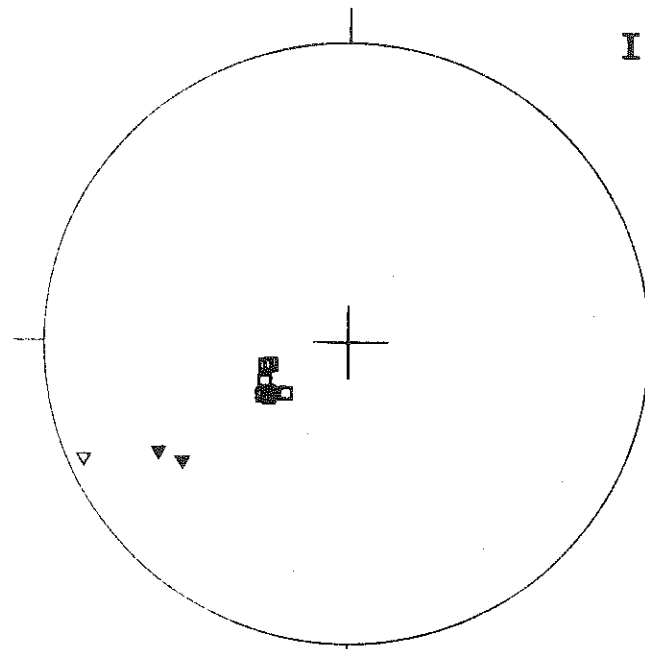
(i)

(M)

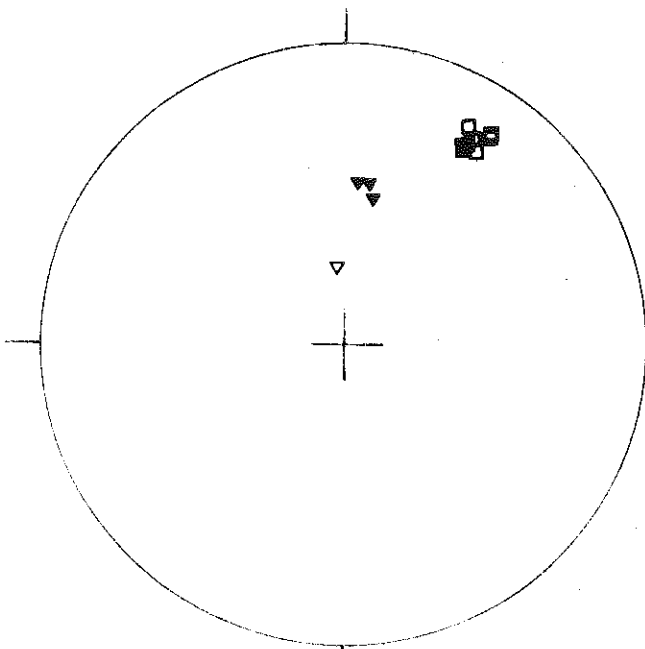
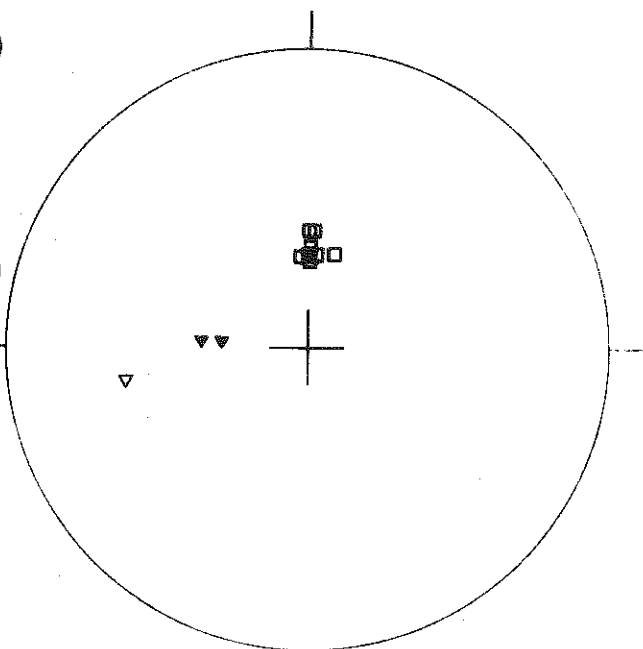
CP



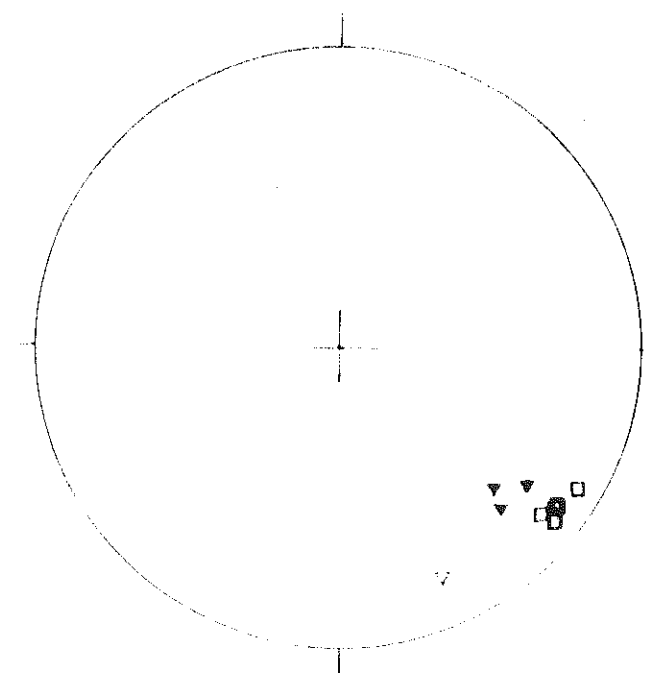
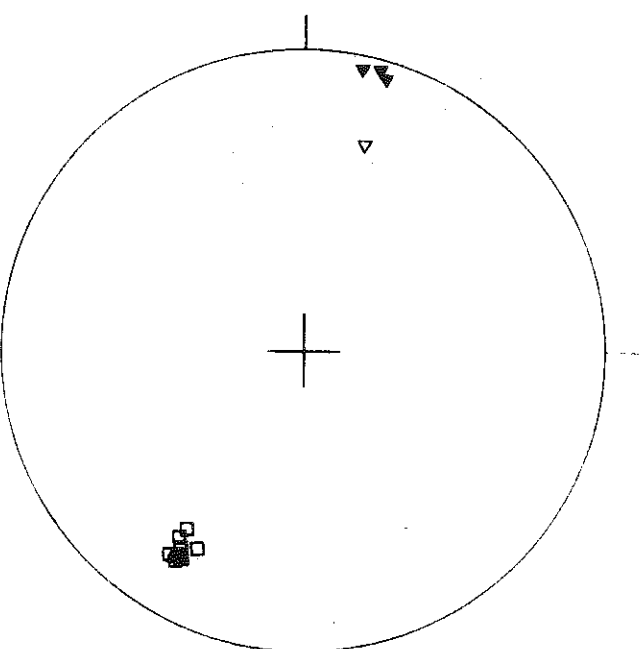
I (12)



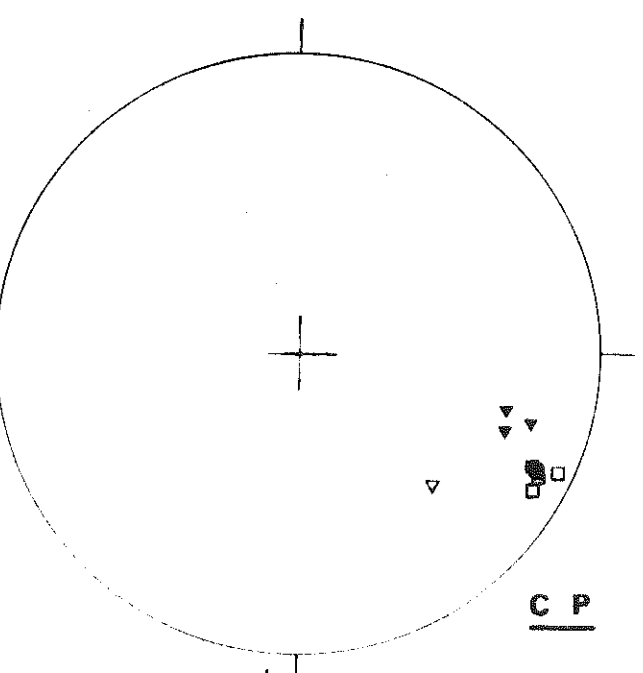
(m)



(i)

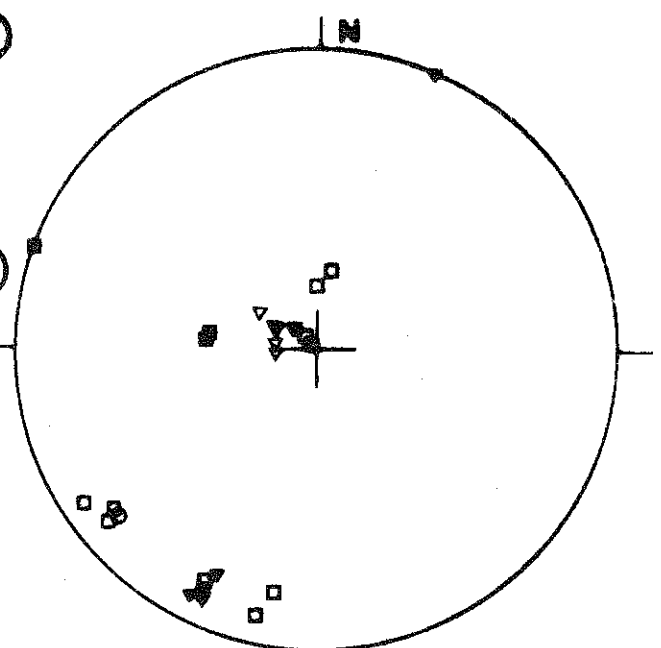
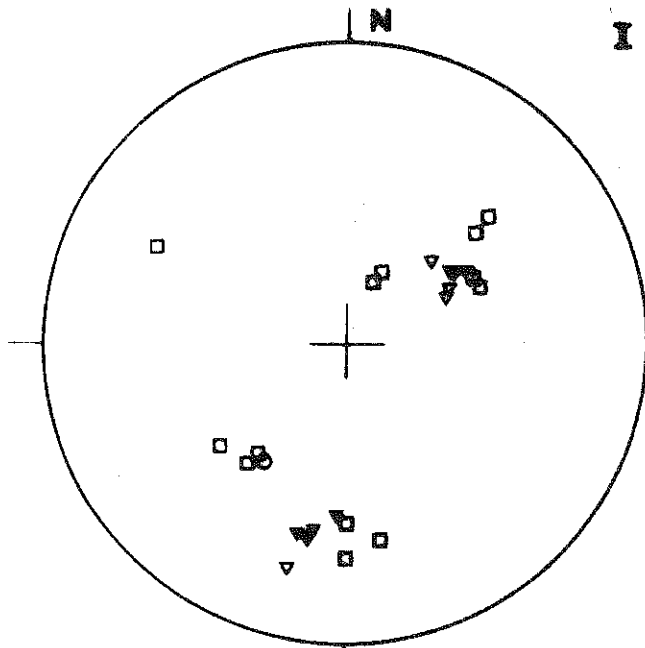


(M)

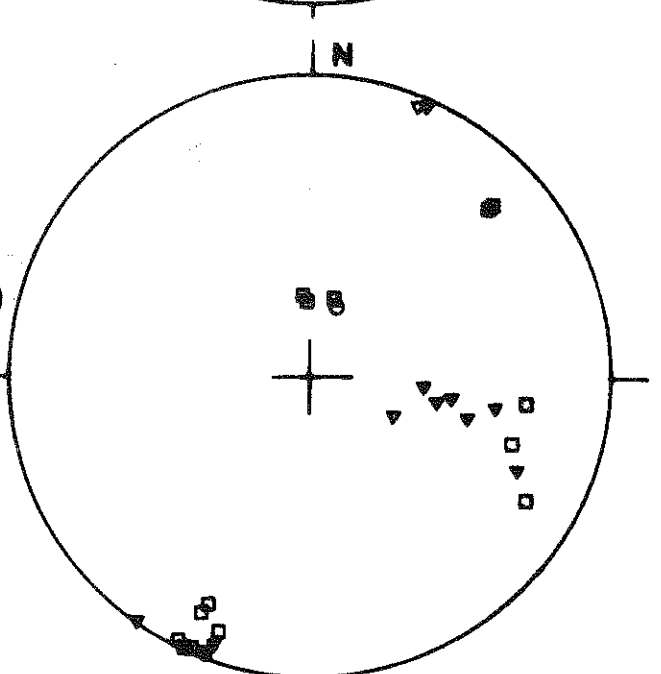
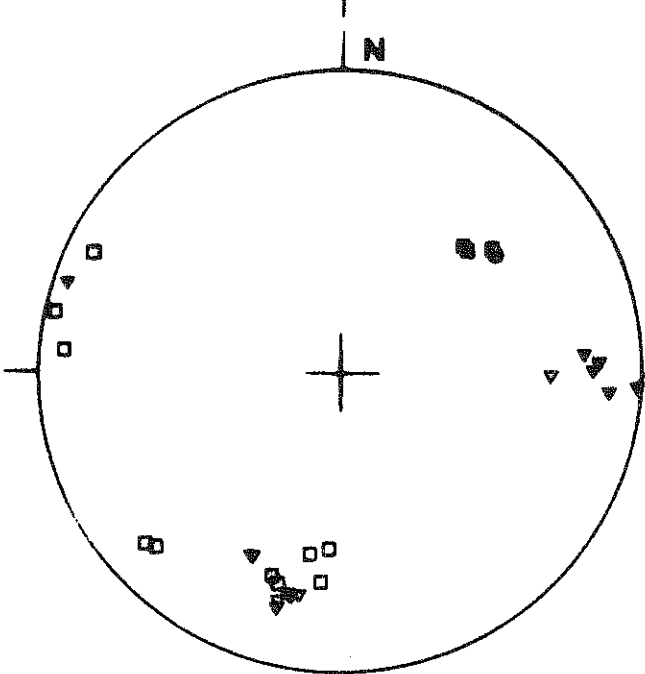


C P

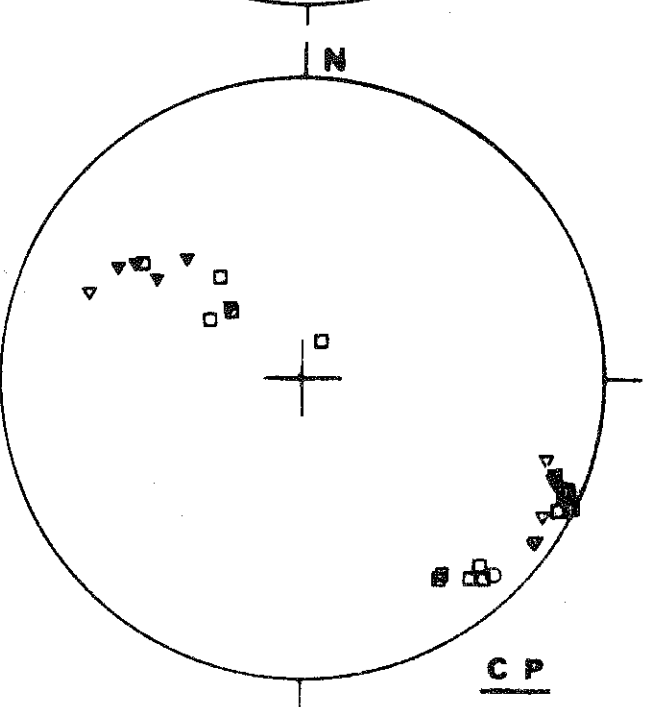
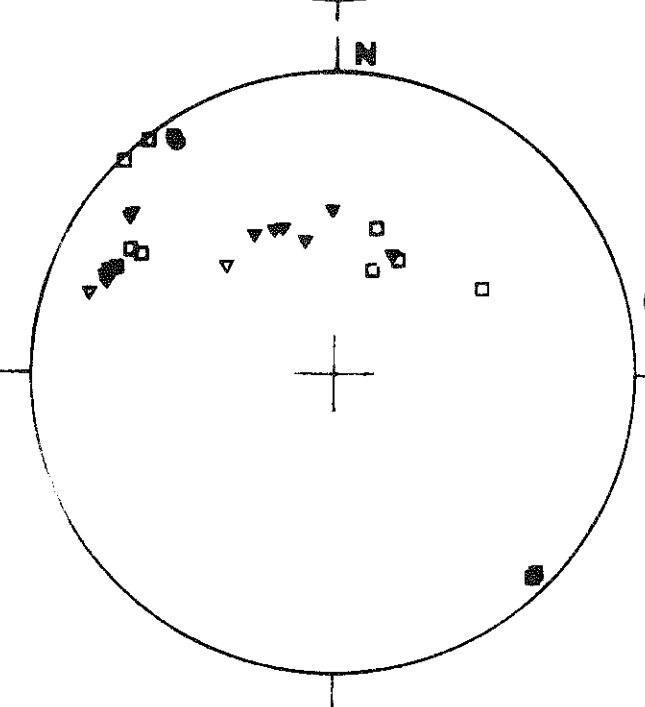
I (13)



(M)



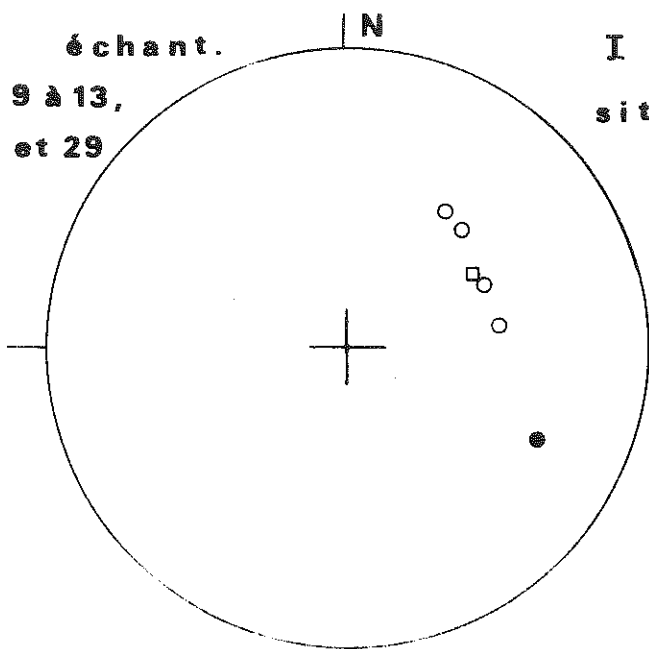
(i)



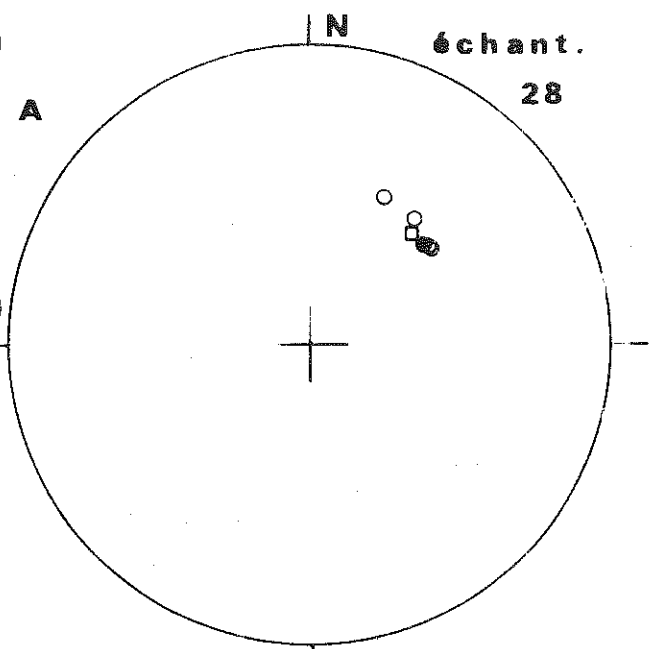
(M)

CP

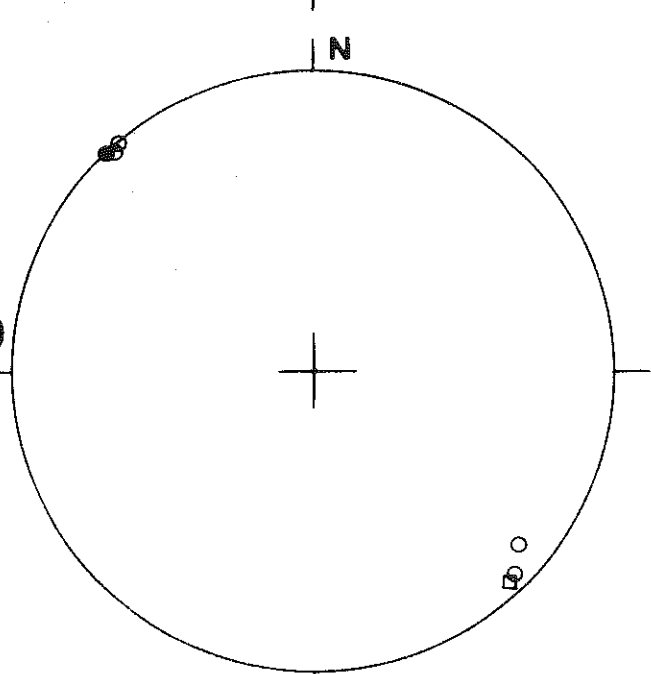
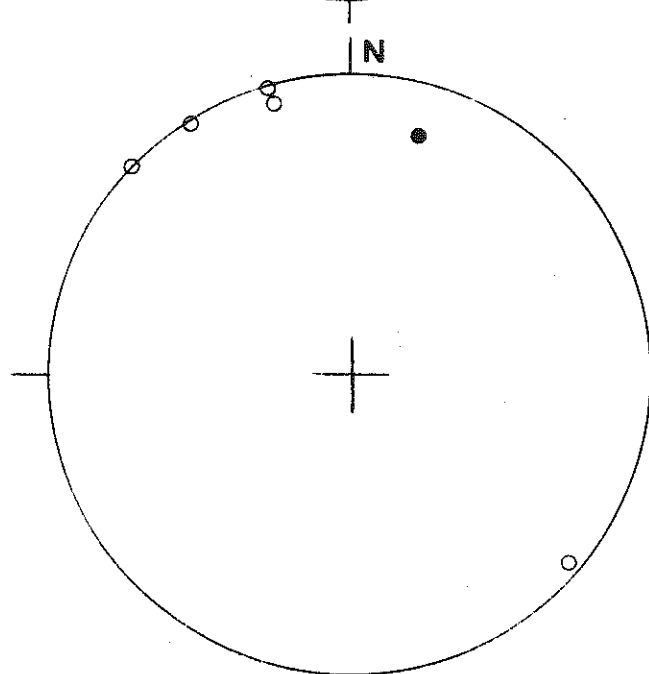




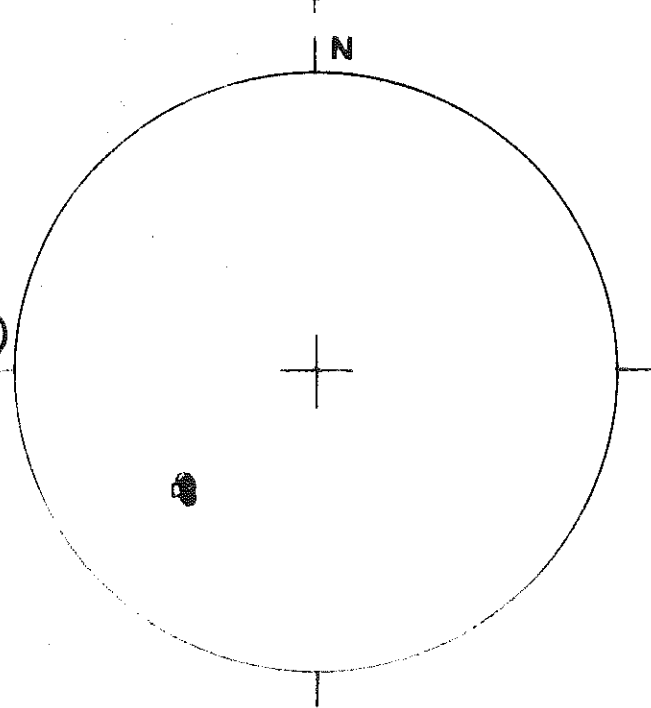
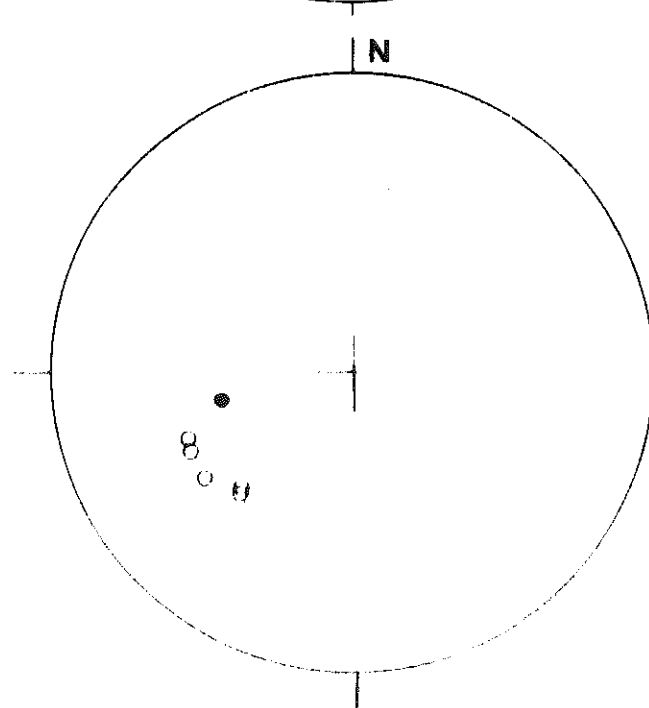
I (14)  
site A



(m)

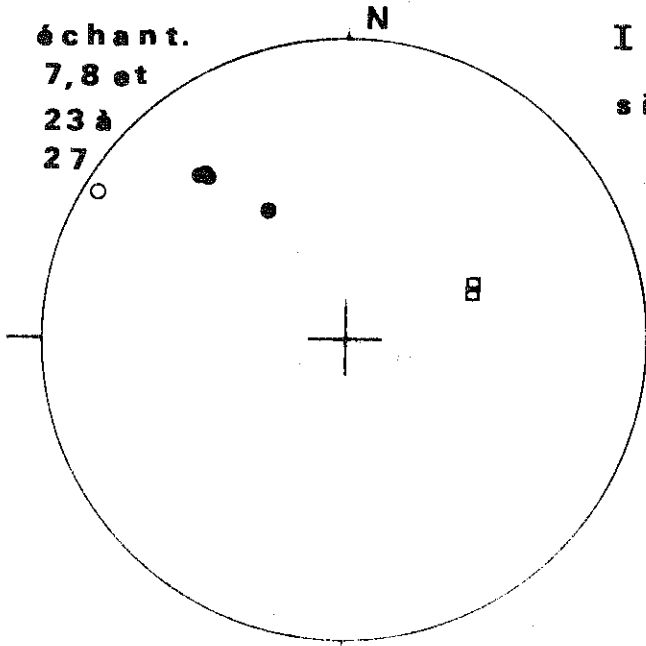


(i)



(M)

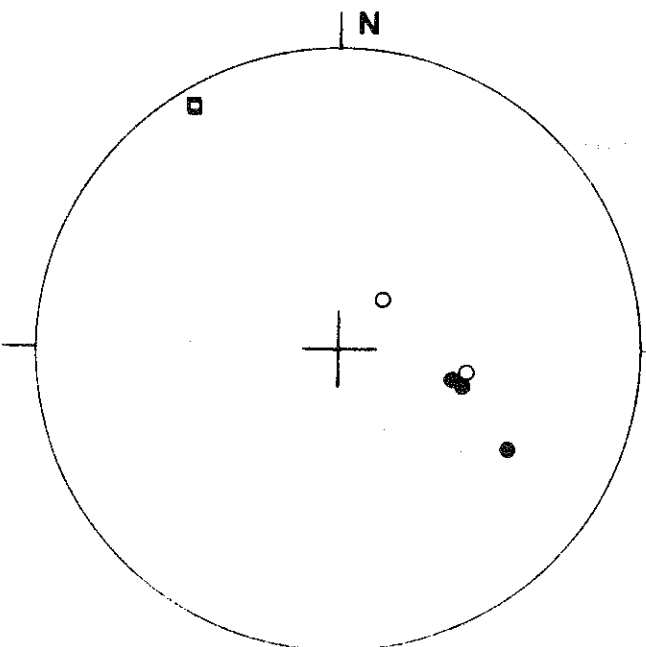
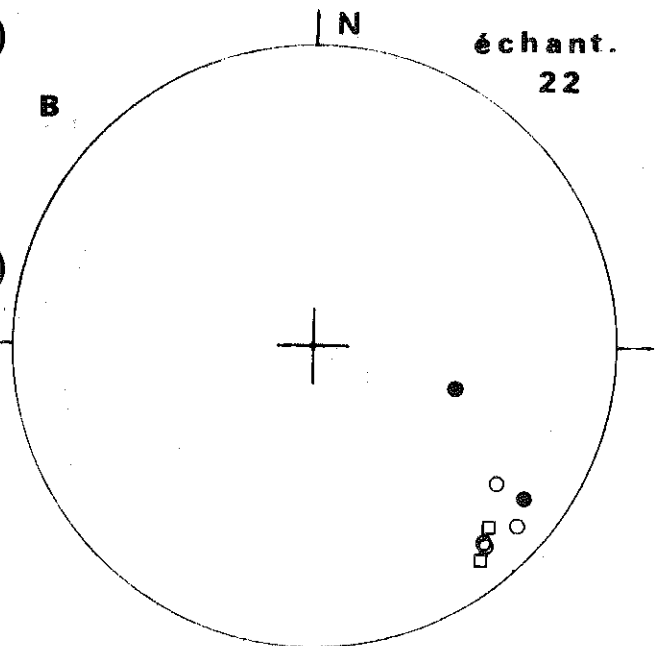
échant.  
7,8 et  
23 à  
27



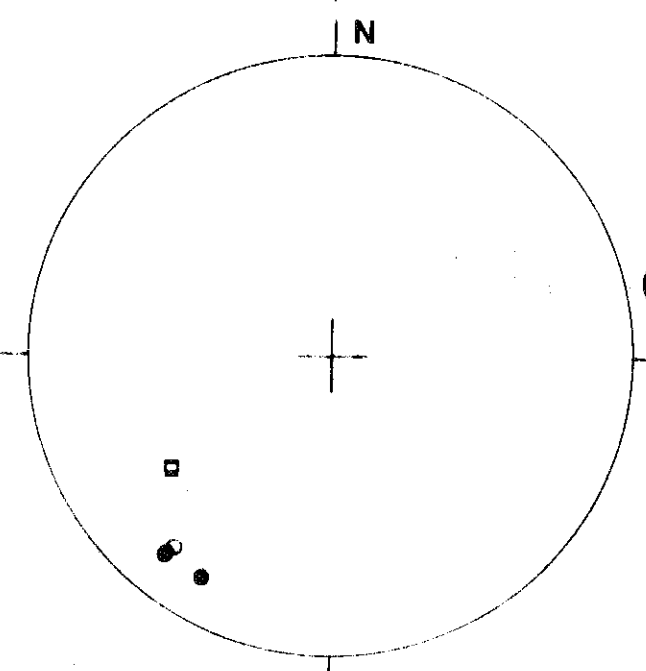
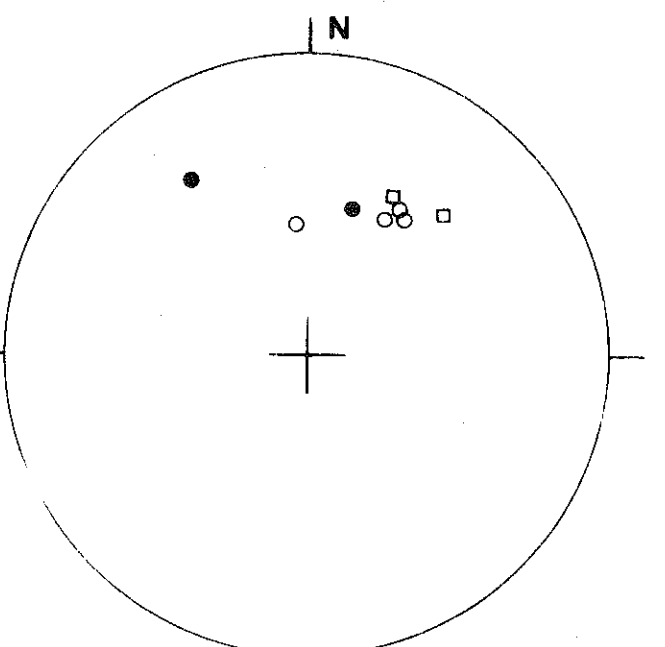
I (14)  
site B

(m)

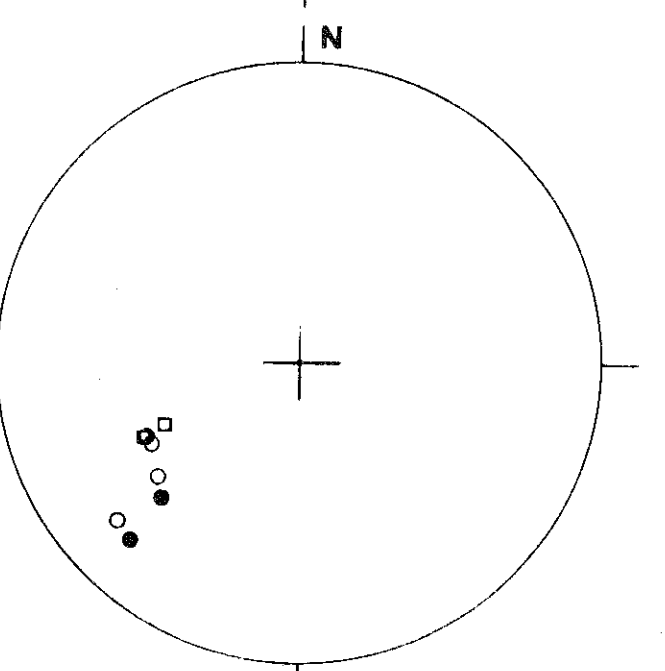
échant.  
22



(i)



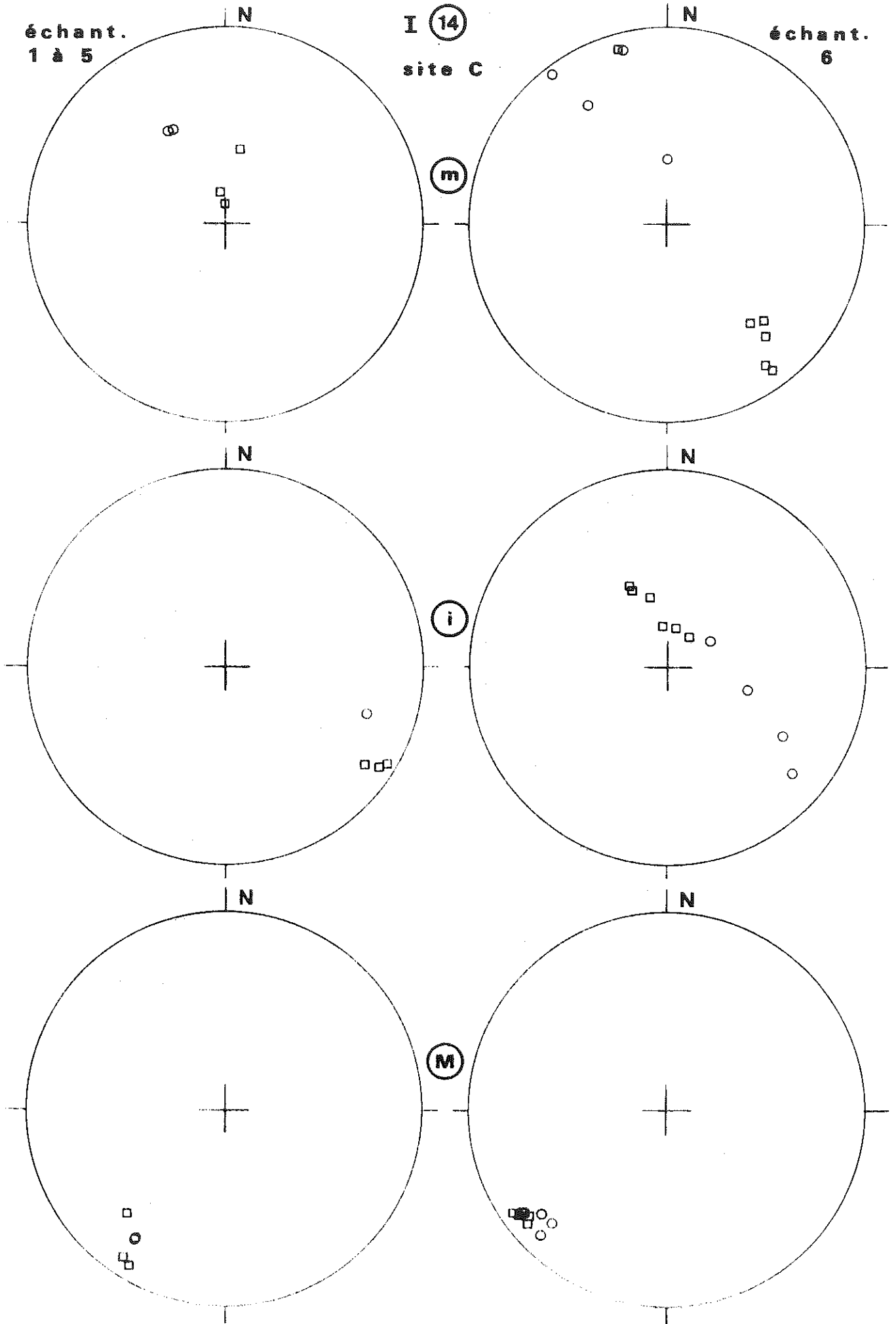
(M)



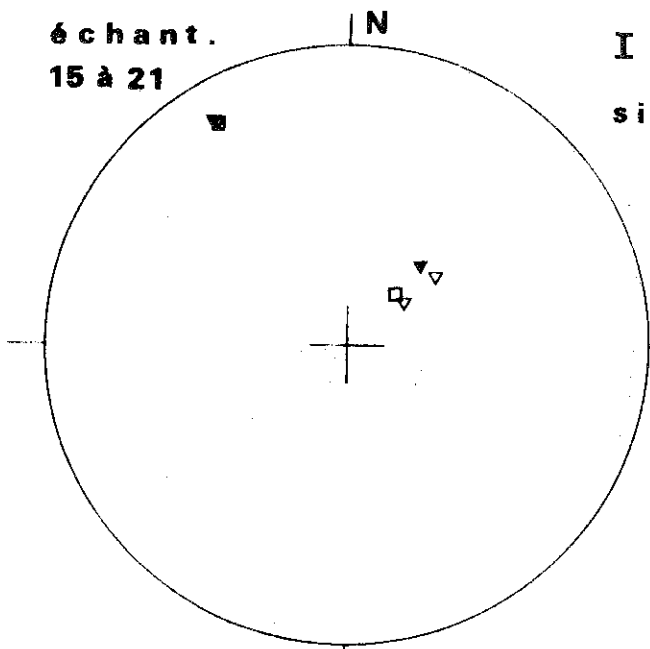
échant.  
1 à 5

I (14)  
site C

échant.  
6

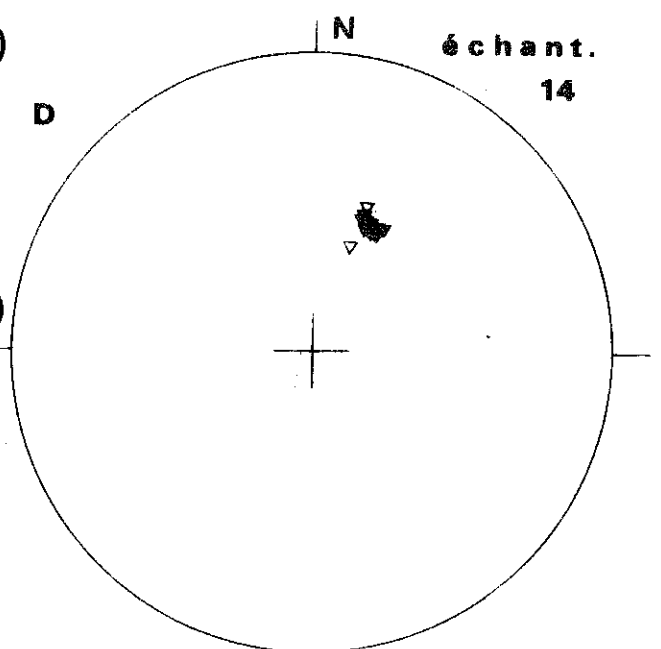


échant.  
15 à 21



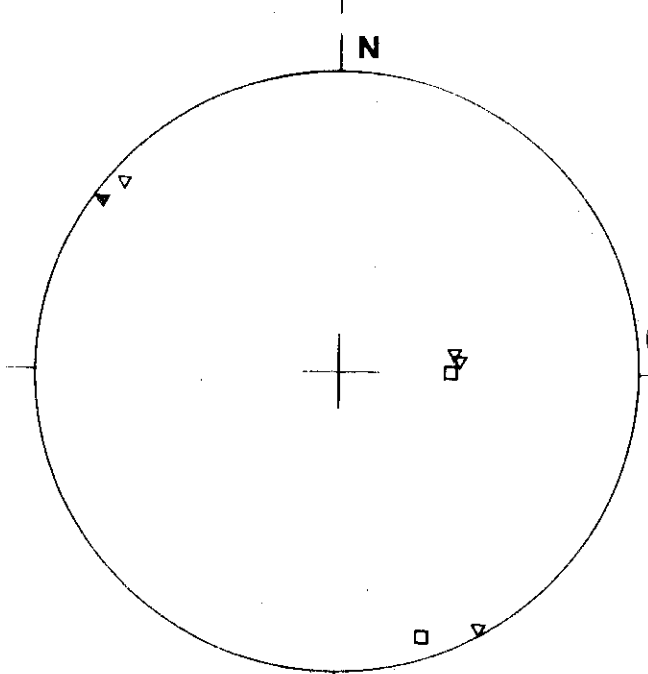
I (14)  
site D

échant.  
14

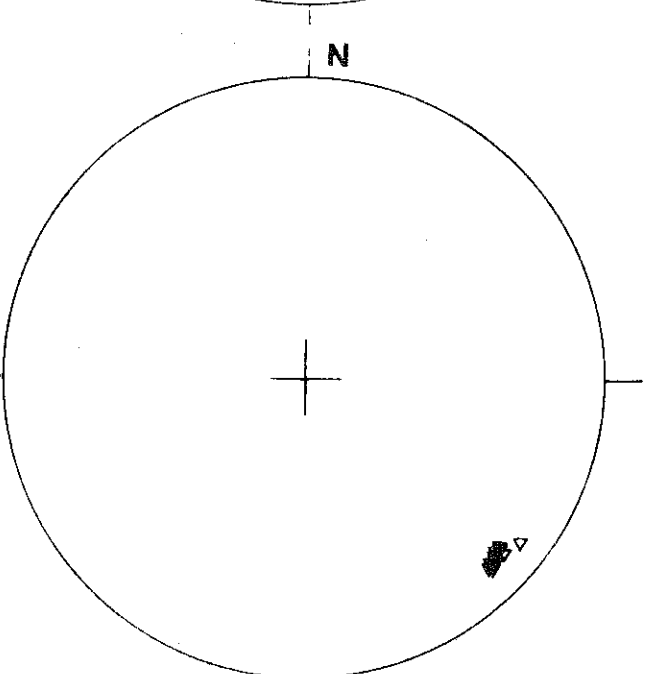


(m)

N

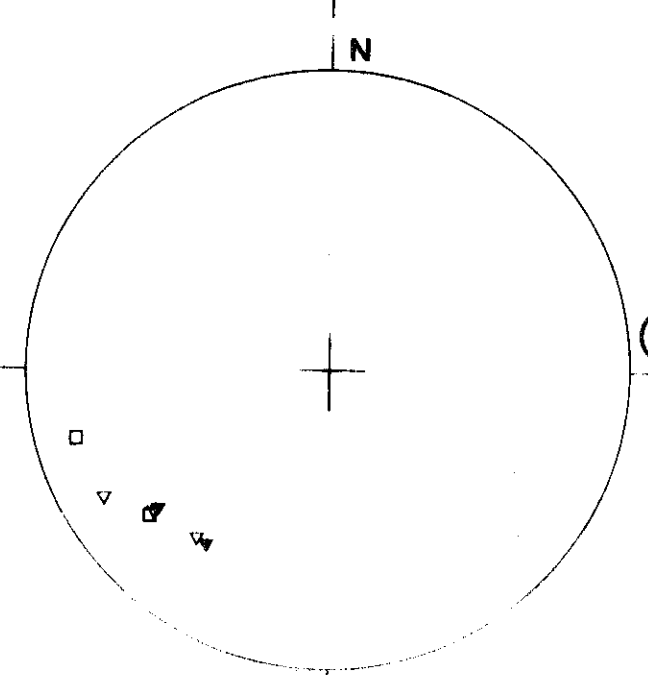


N

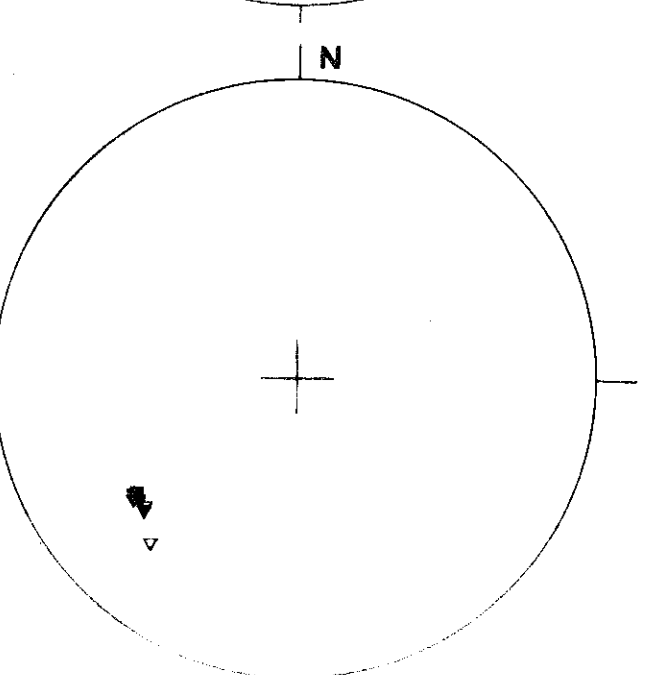


(i)

N



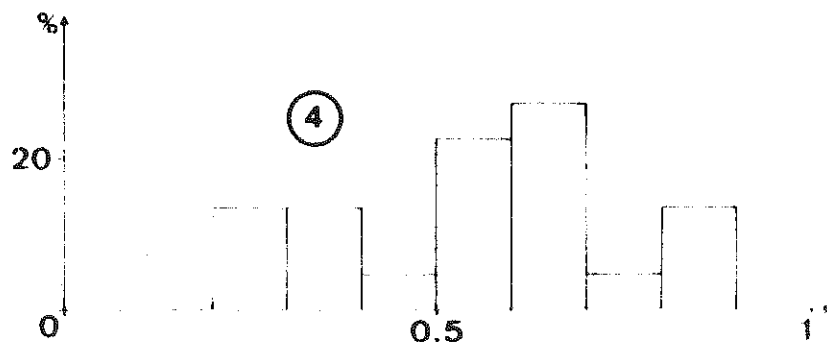
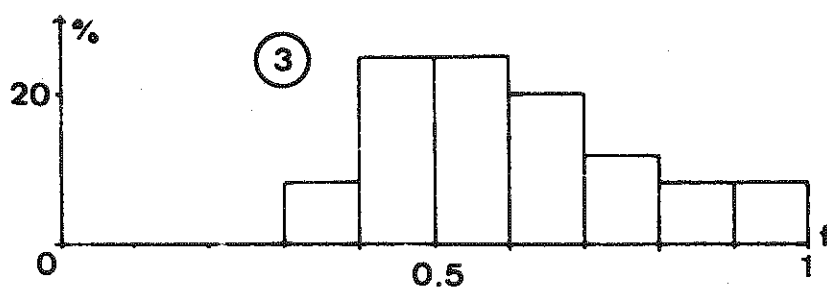
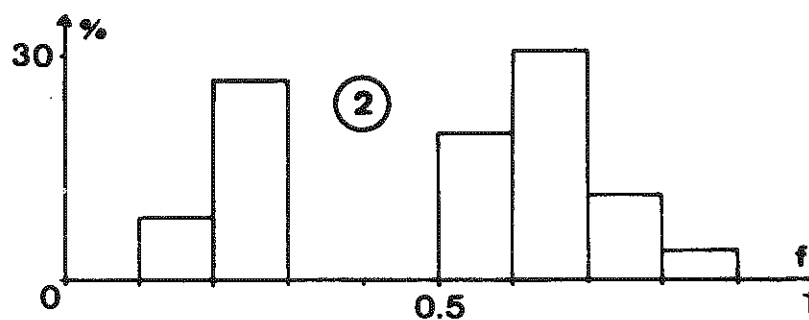
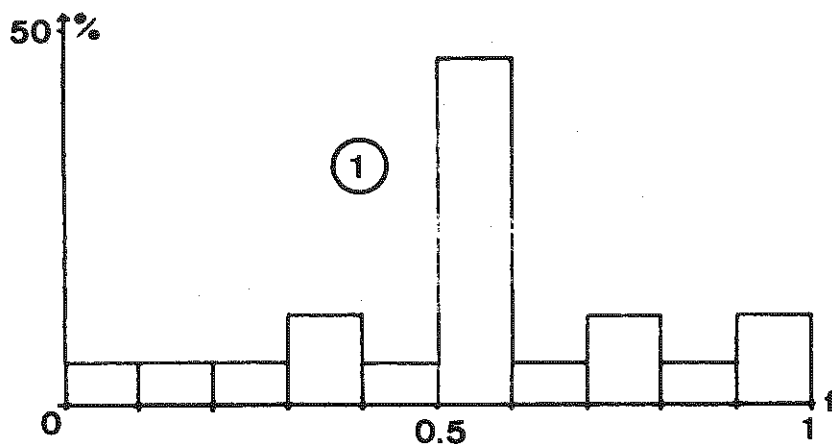
N

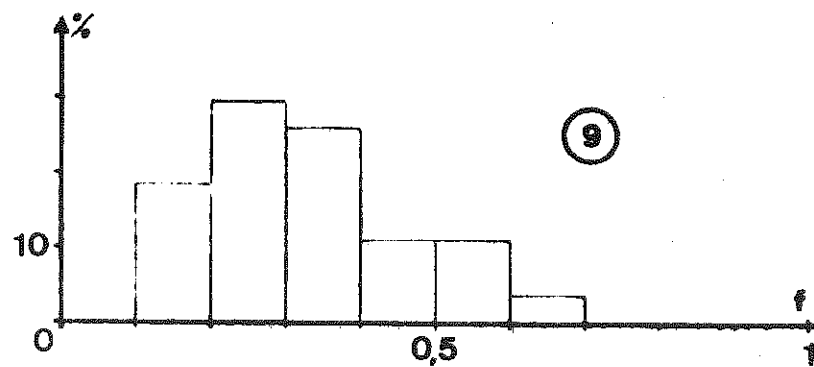
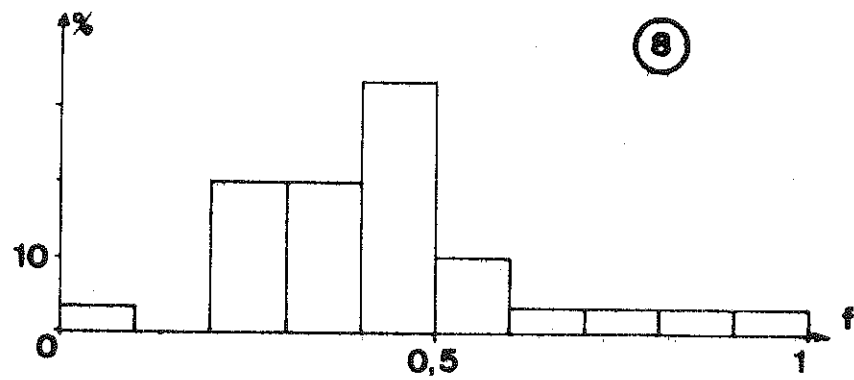
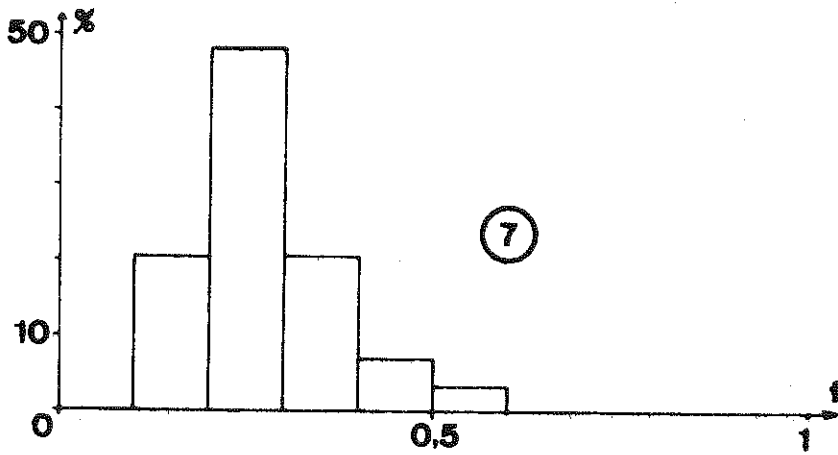
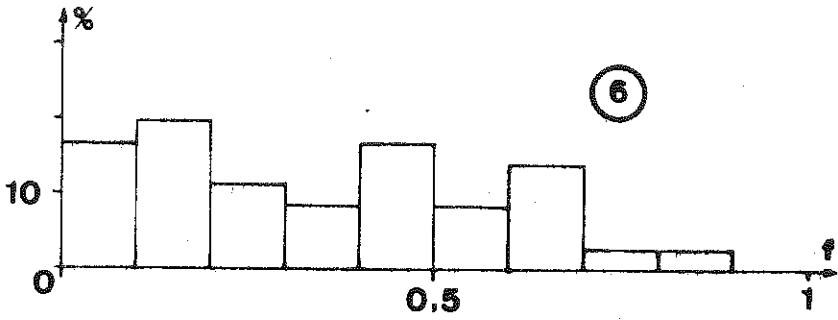
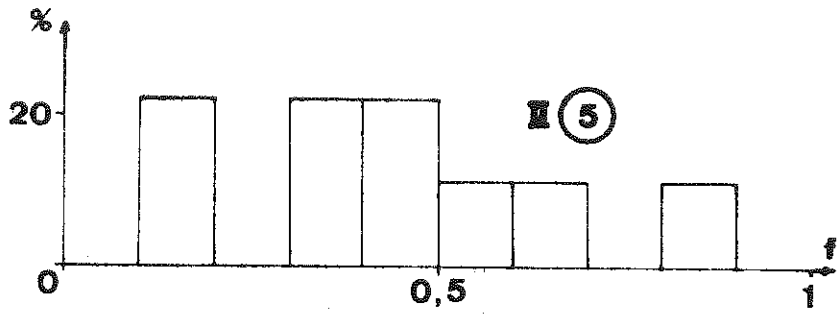


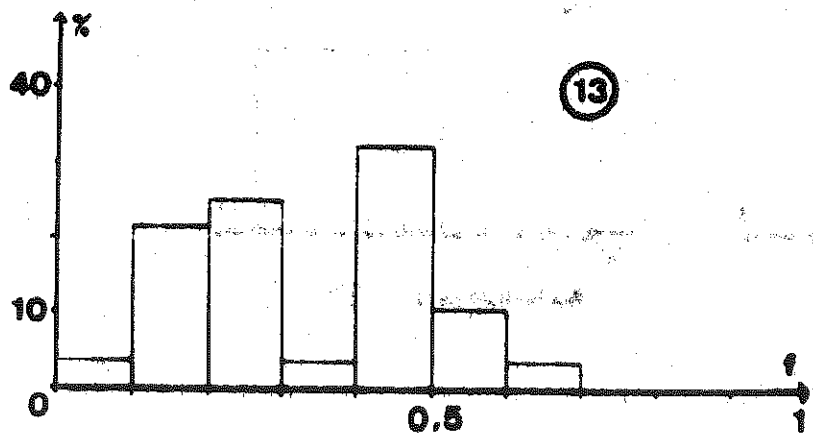
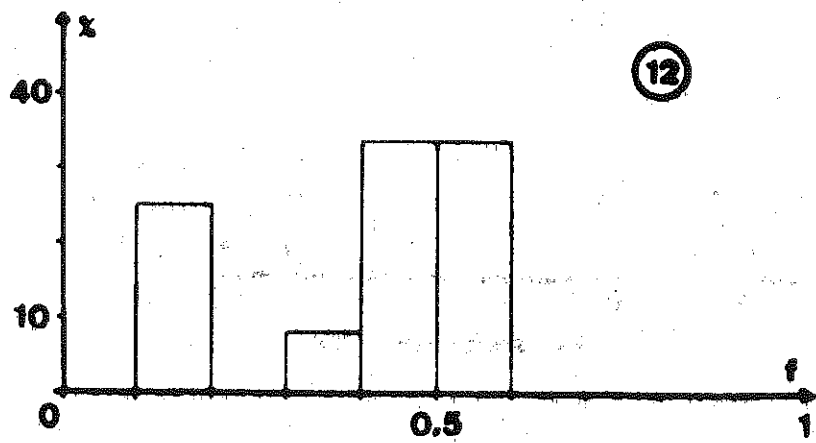
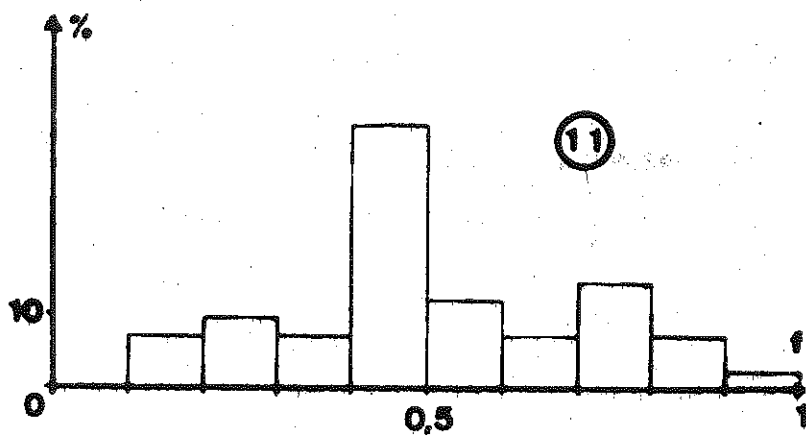
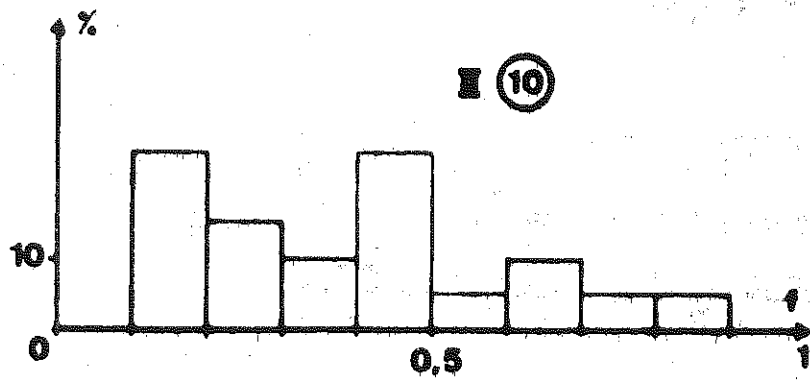
(M)

PLANCHE HORS TEXTE II

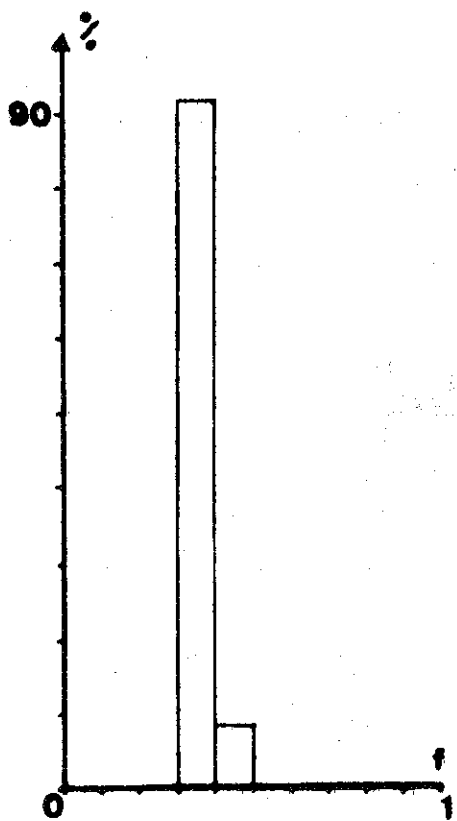
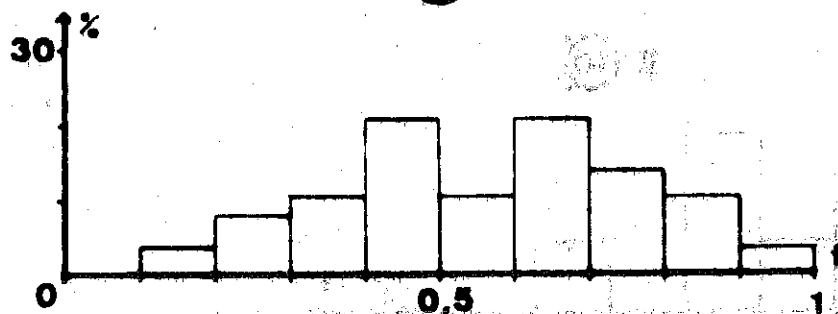
Histogramme des valeurs du paramètre  $f$ .



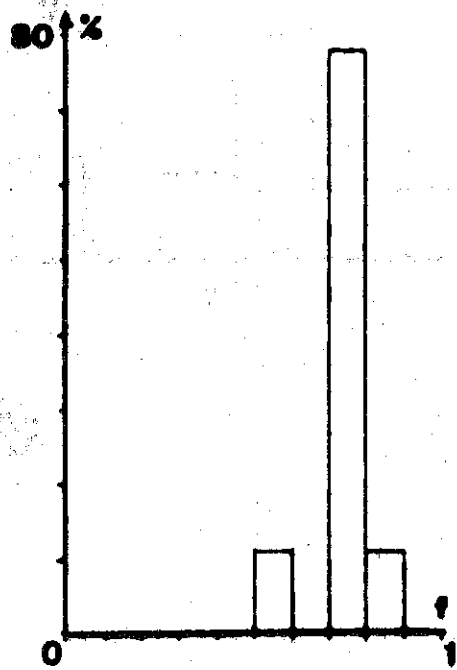




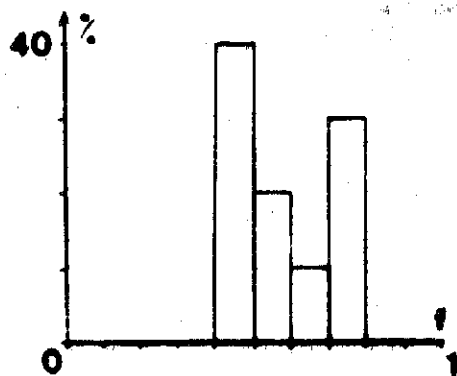
II (14)



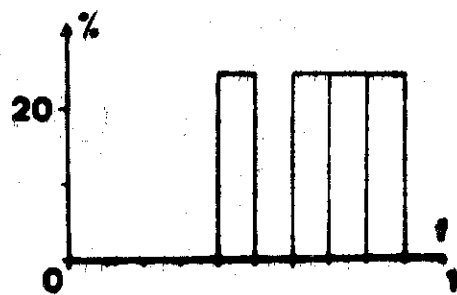
échant. 14



échant. 28



échant. 6



échant. 22



PLANCHE HORS TEXTE III

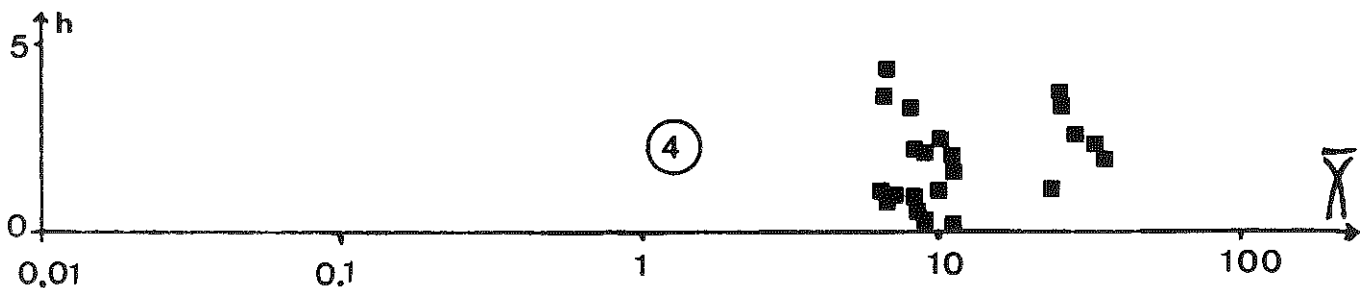
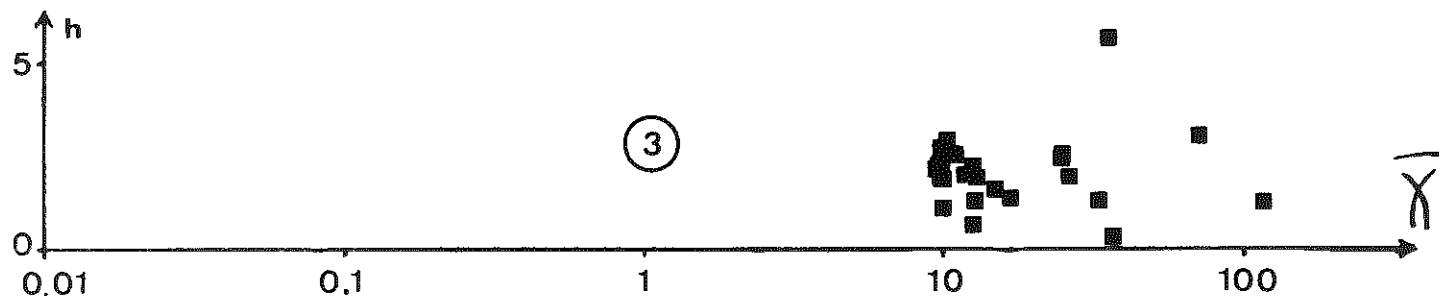
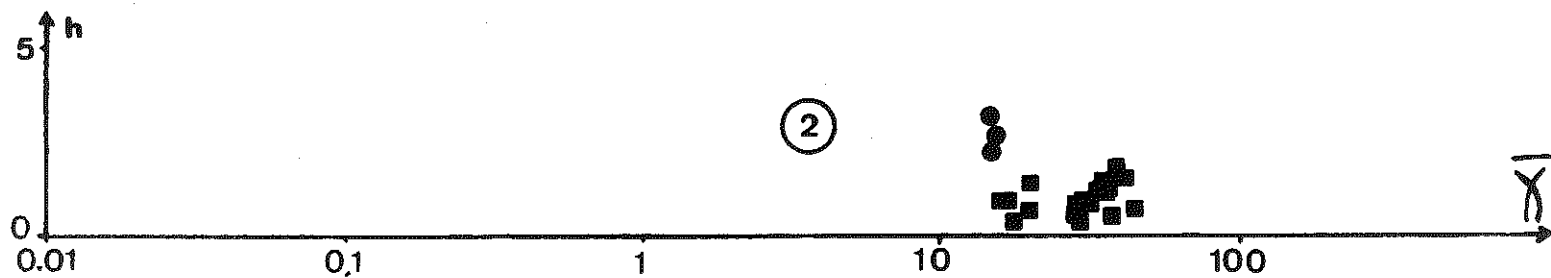
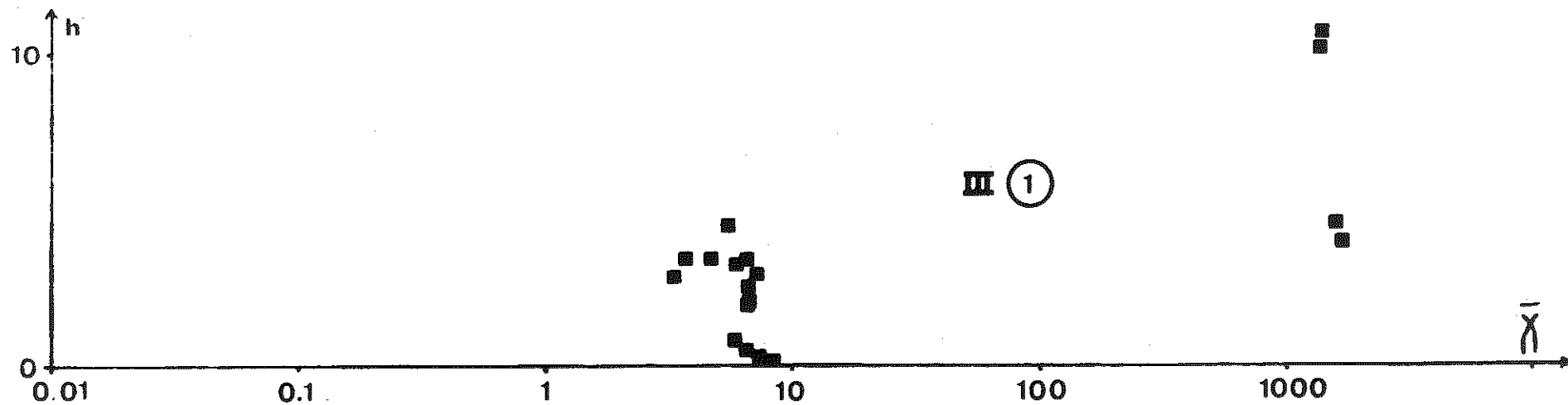
Valeurs du paramètre  $n$  en fonction de celles de la susceptibilité moyenne (en  $10^{-6}$  uem cgs/0e.g ; échelle logarithmique) positive (figures pleines) ou négative (figures vides).

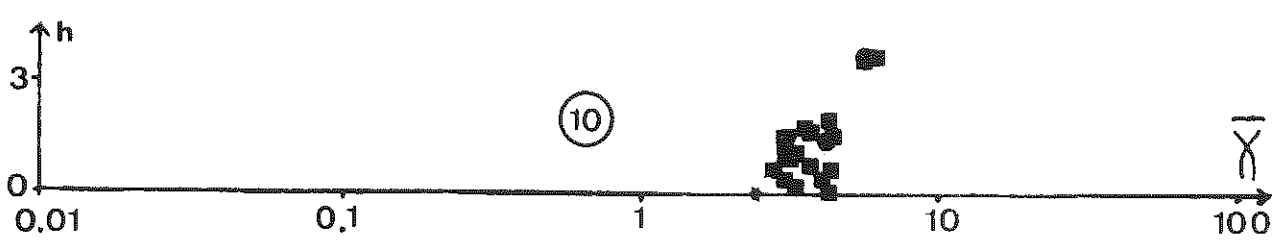
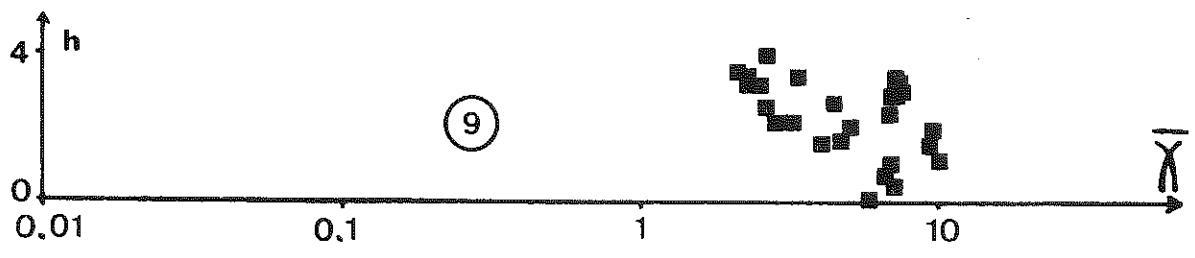
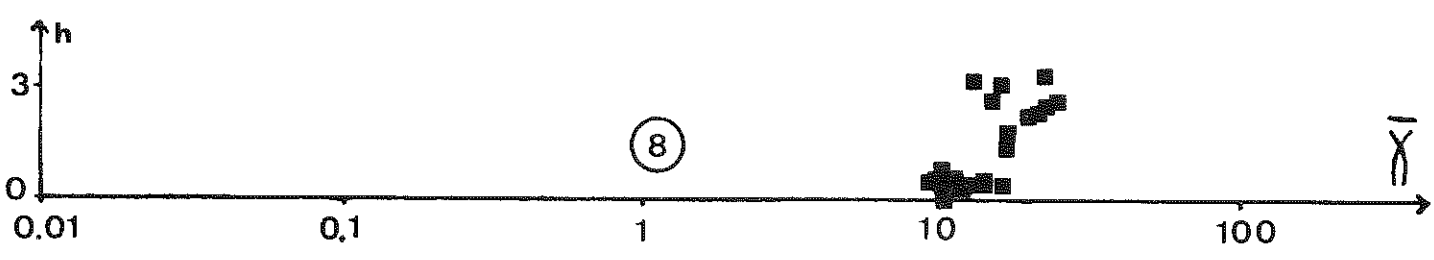
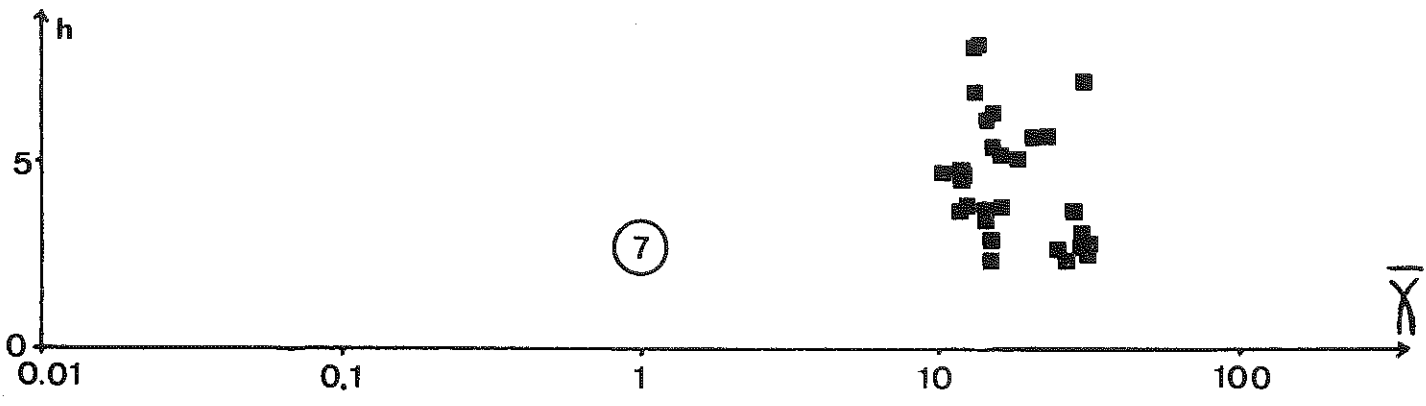
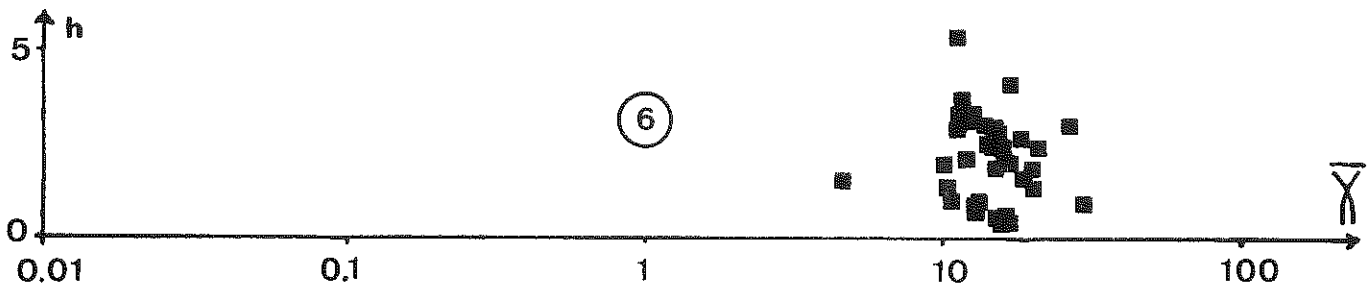
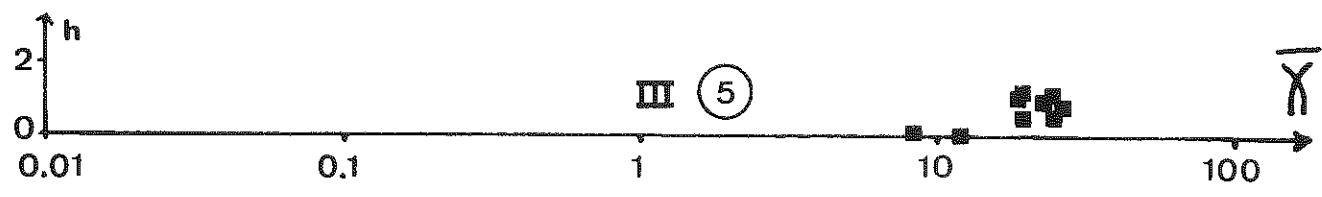
Les cercles pleins correspondent aux échantillons bréchiques (séries 2 et 10)

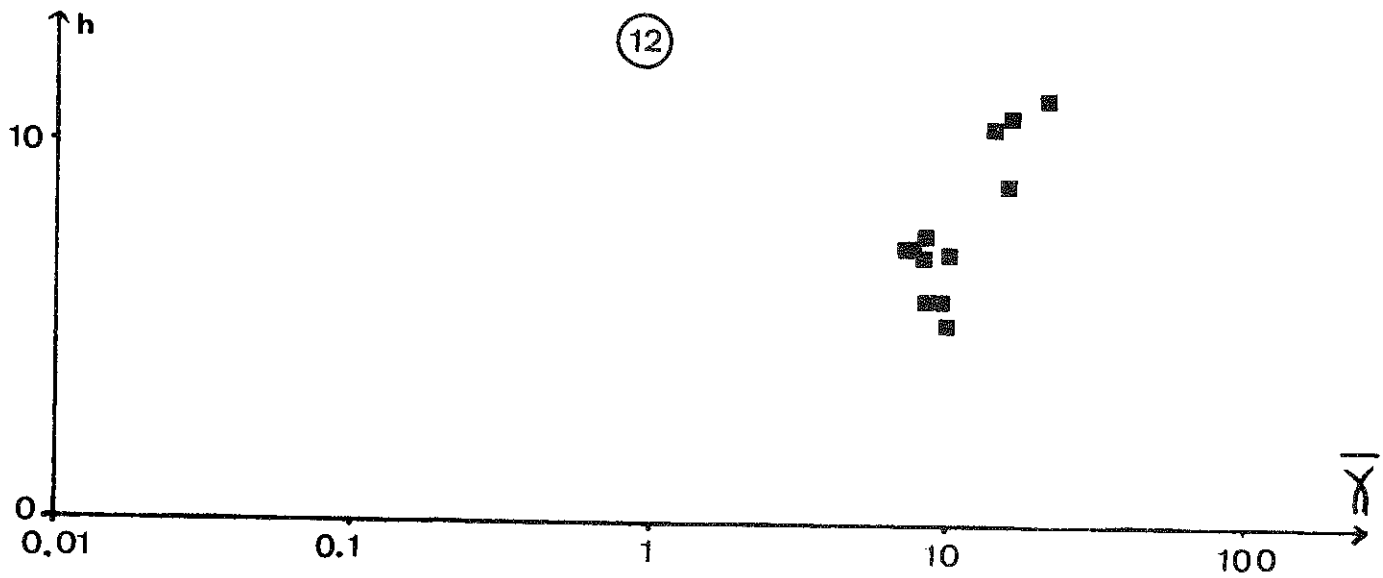
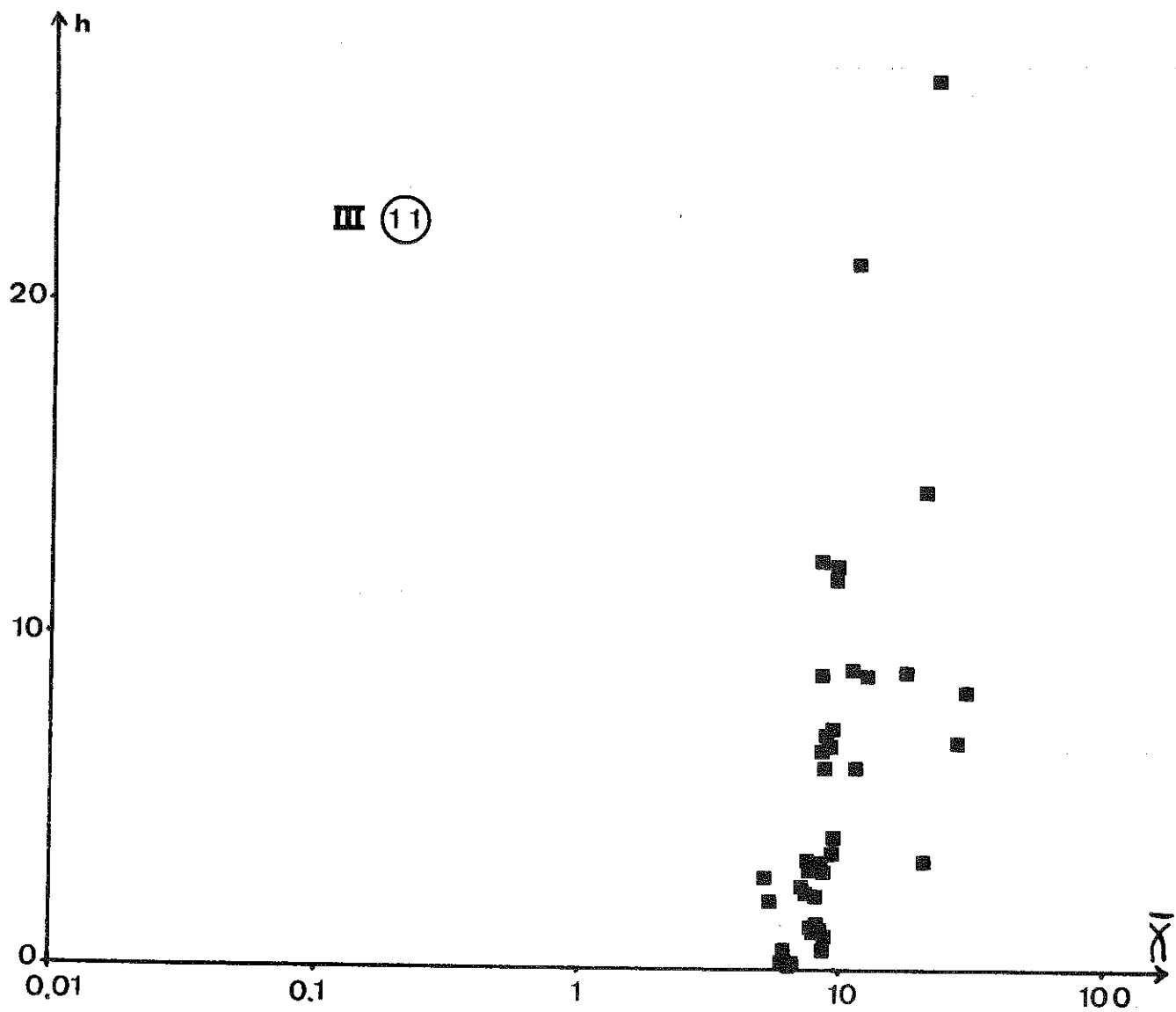
Les étoiles correspondent aux roches sédimentaires prélevées à proximité des laves.

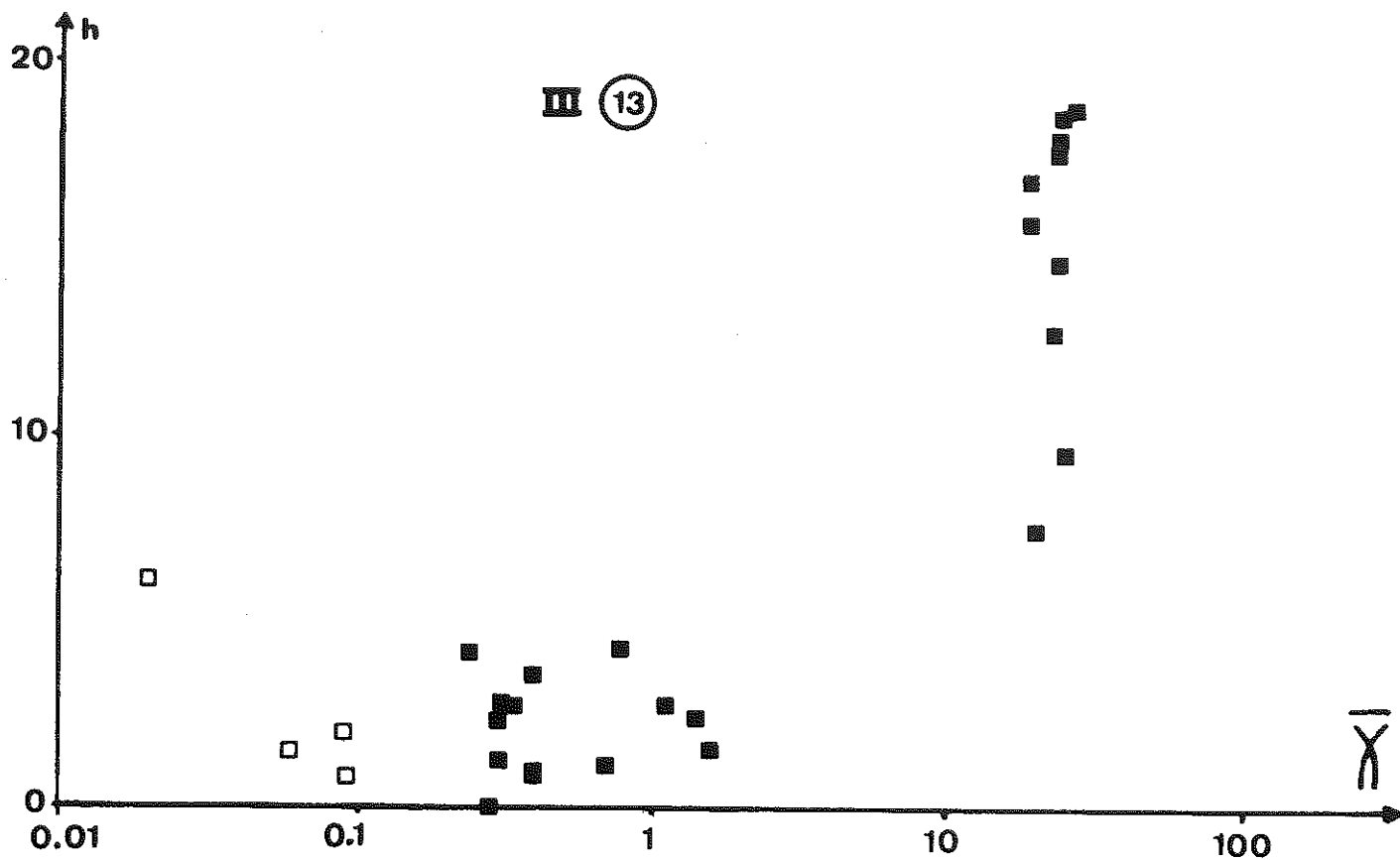
Univ. J. Fourier - O.S.U.G.  
MAISON DES GEOSCIENCES  
DOCUMENTATION  
B.P. 53  
F. 38041 GRENOBLE CEDEX  
Tel. 04 76 69 54 27 - Fax 04 76 51 40 58  
Mail: pjalour@ujf-grenoble.fr

19 AOÛT 2003









(14)

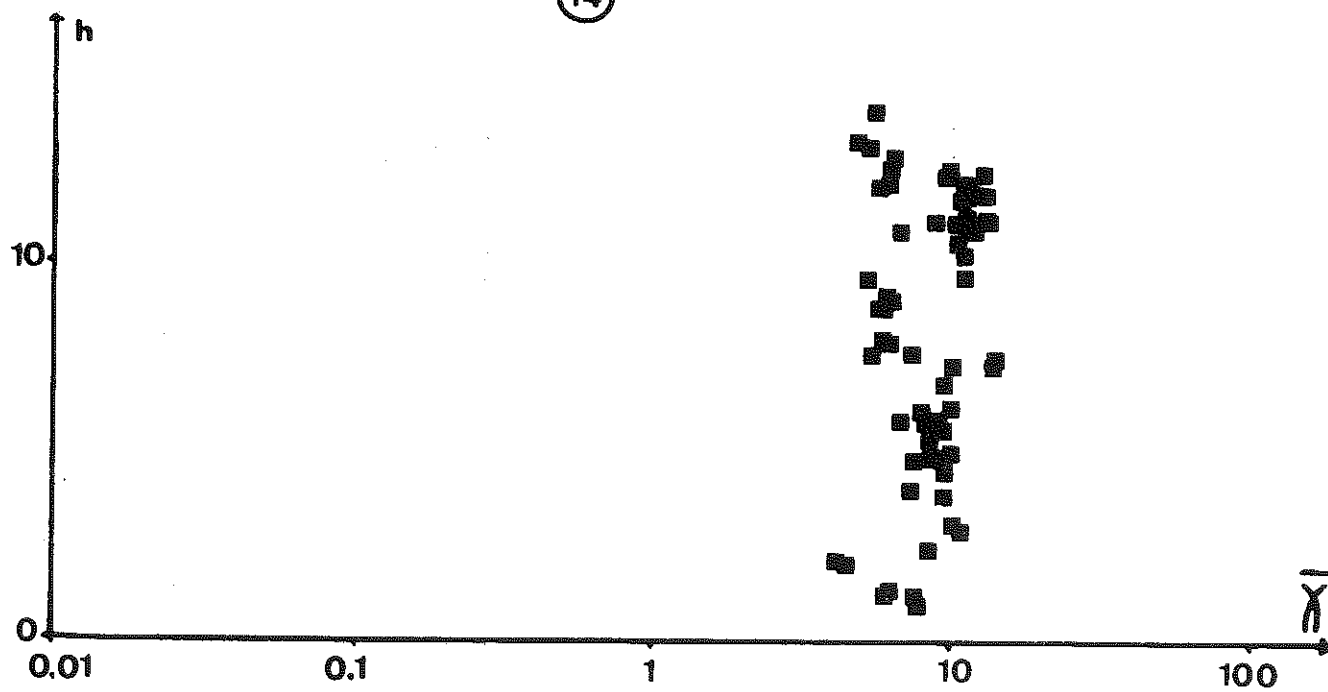


PLANCHE HORS TEXTE IV

Histogramme des valeurs de l'aimantation spécifique en  $10^{-6}$  uem cgs/g.

Noir : aimantation stable

blanc avec triangles : aimantation stable liée à la tectonique  
(séries 6 et 7).

blanc : aimantation instable.

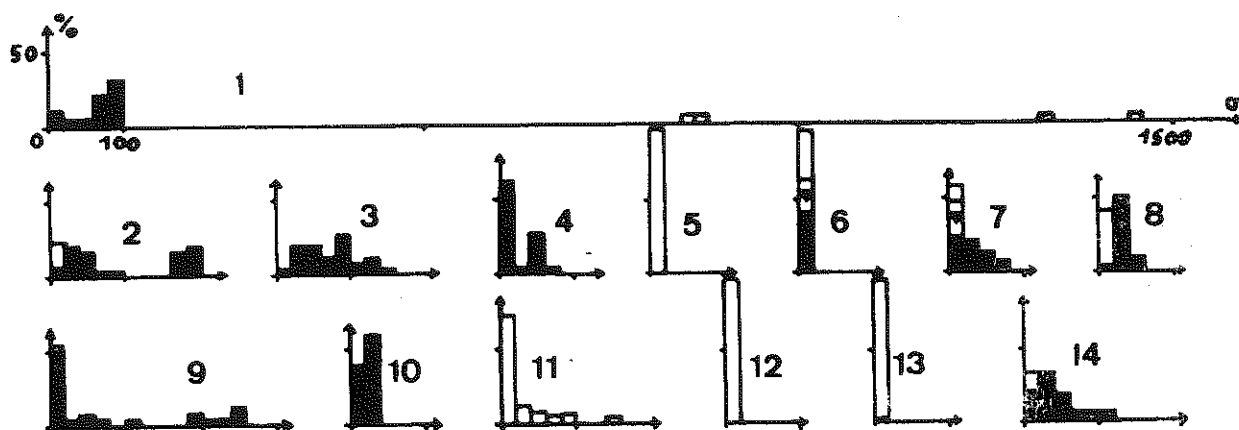


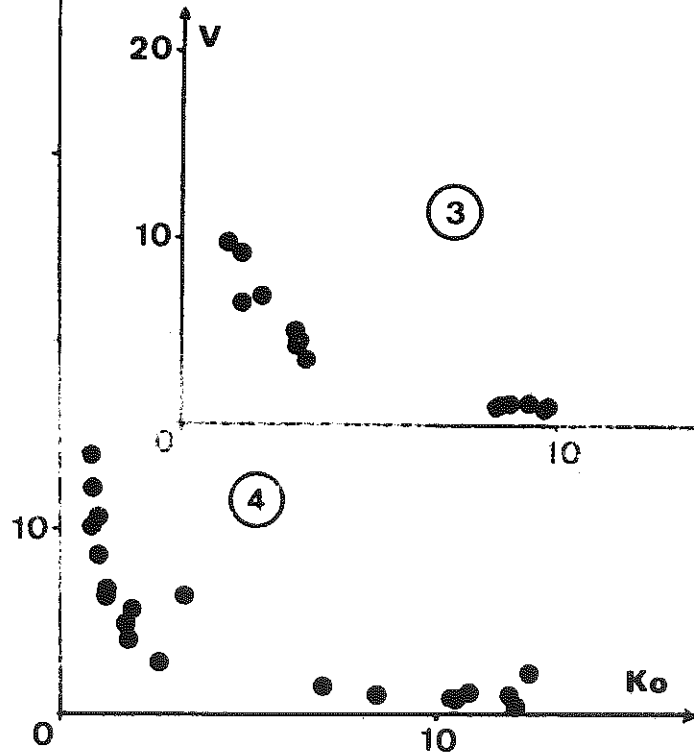
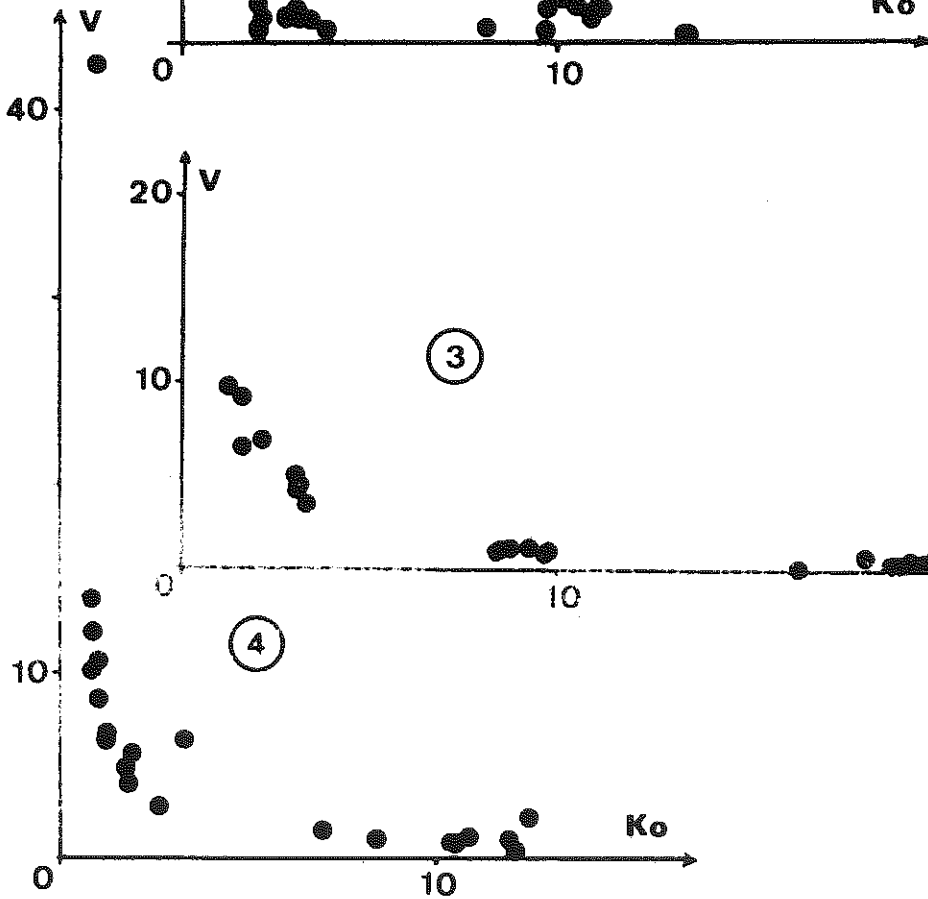
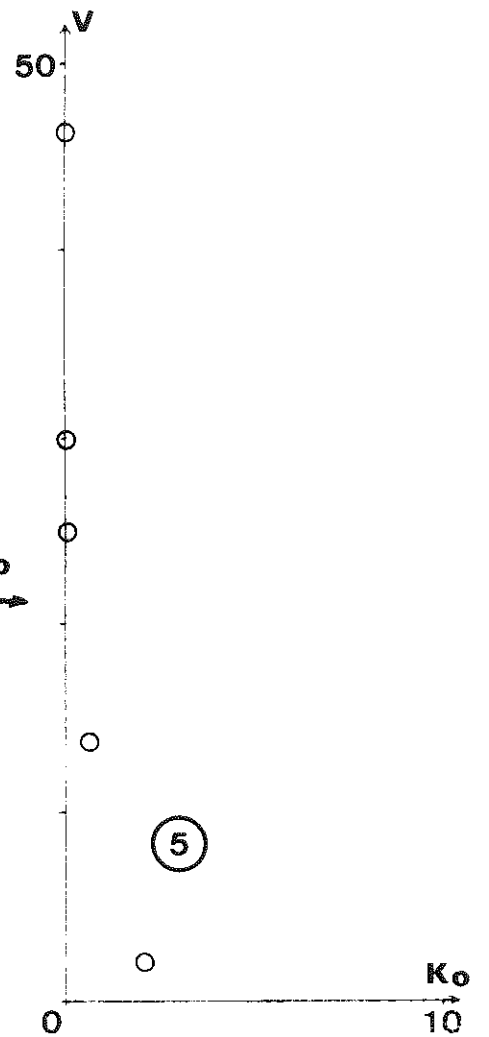
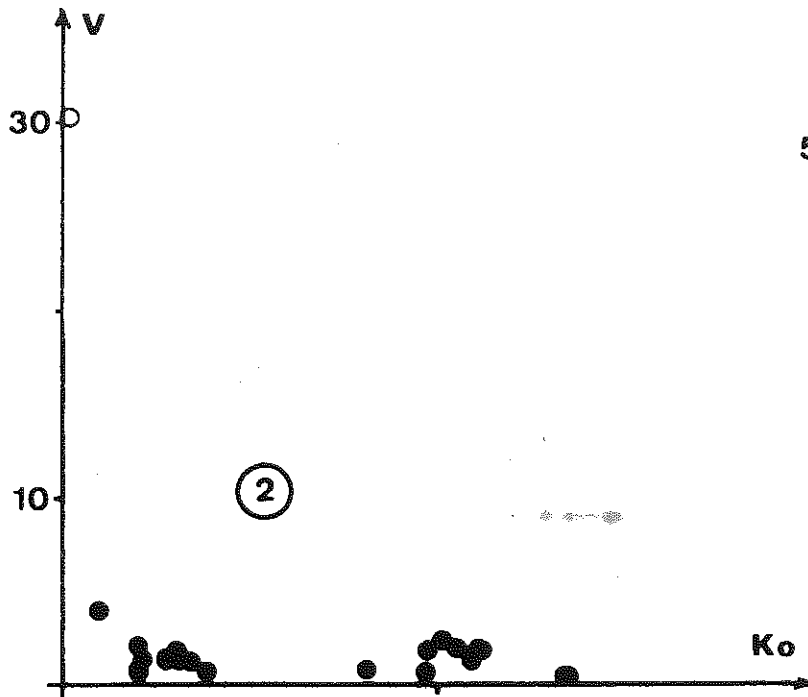
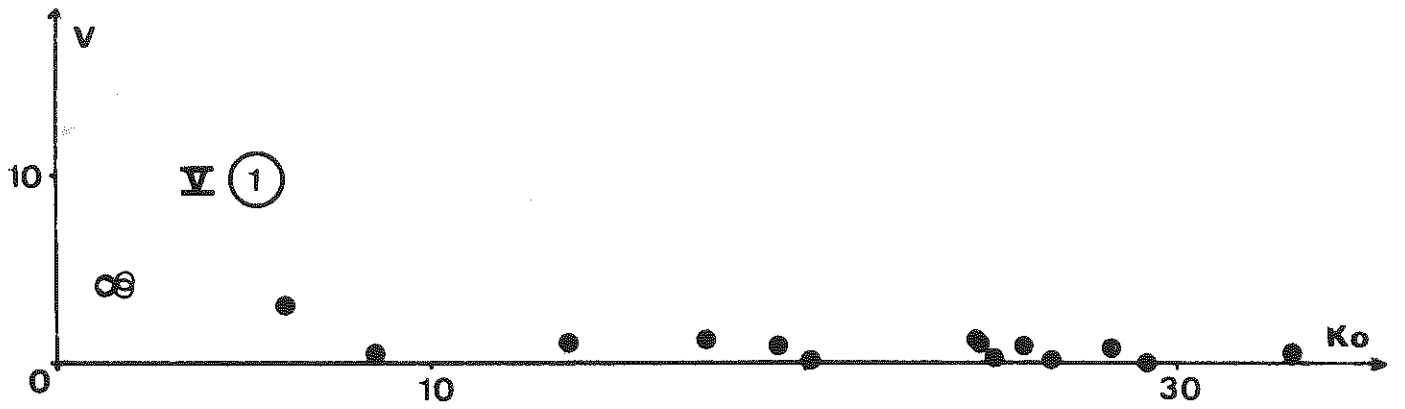
PLANCHE HORS TEXTE V.

Valeurs de la viscosité (V) en fonction de celles du coefficient de Koenigsberger Ko. (figures pleines aimantation stable ; figure vides aimantation instable).

Triangle : aimantation perturbée par la tectonique (séries 6 et 7)

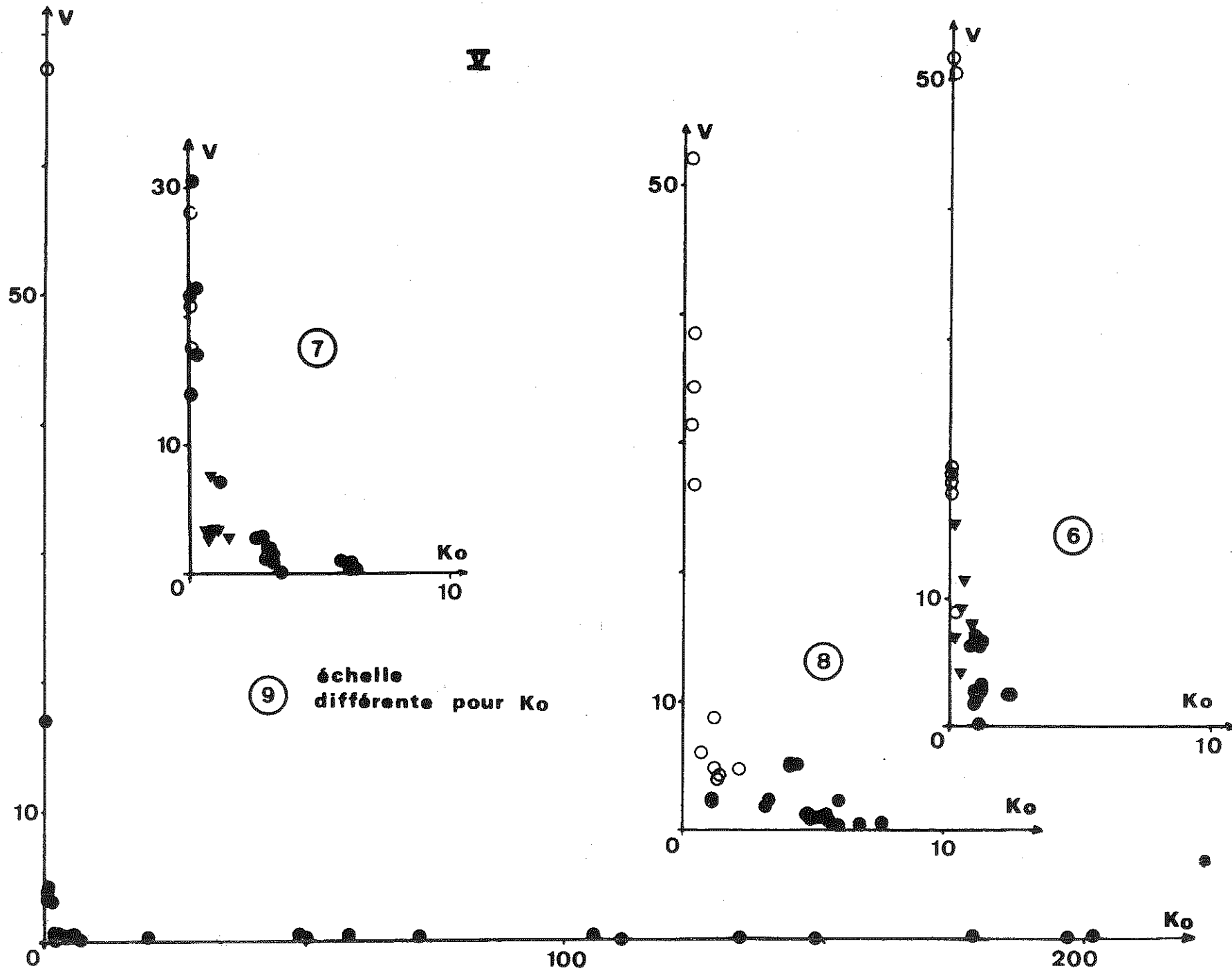
losange : échantillons bréchiques (série 10)

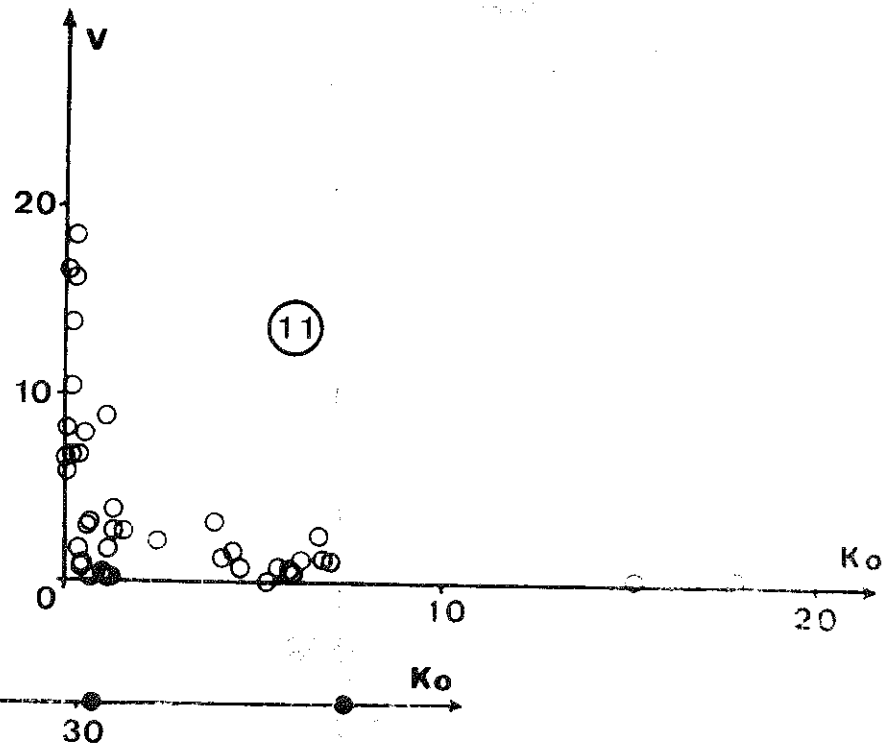
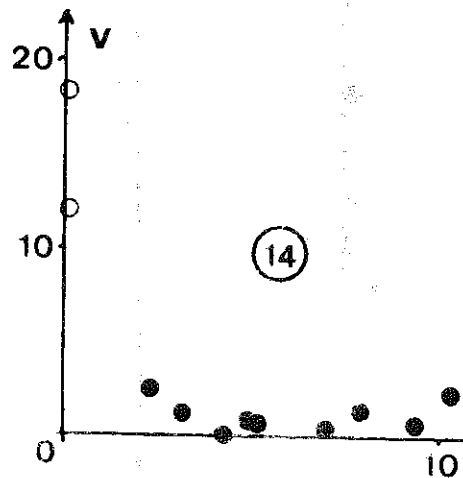
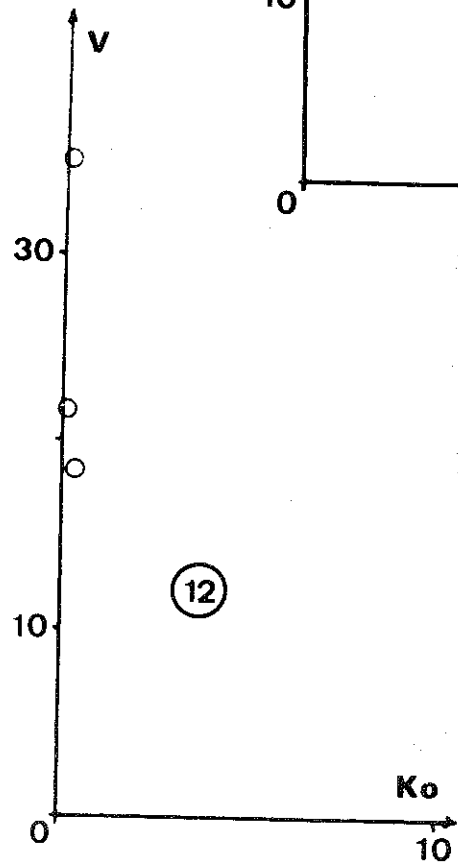
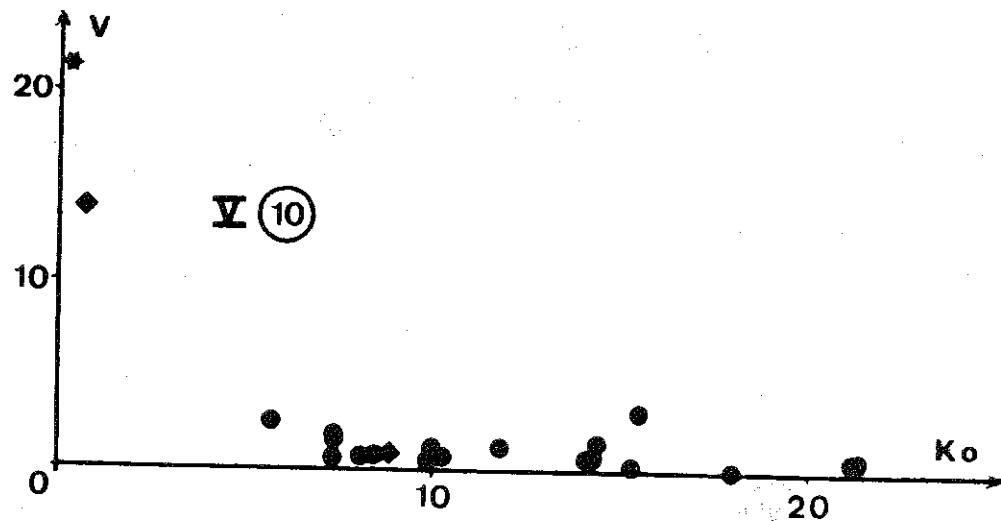
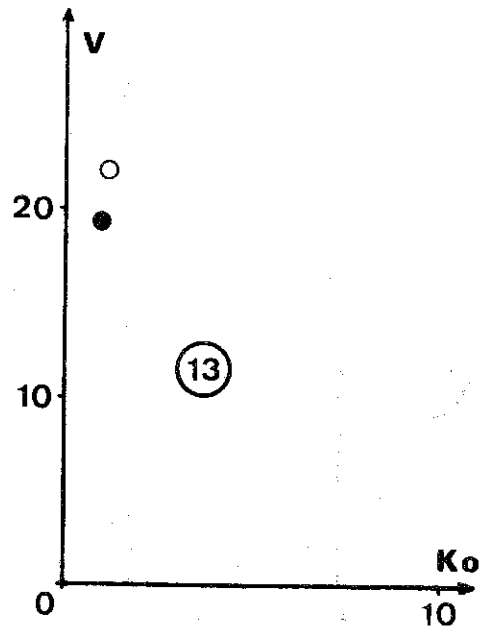
étoile : échantillon de roche sédimentaire (série 10).





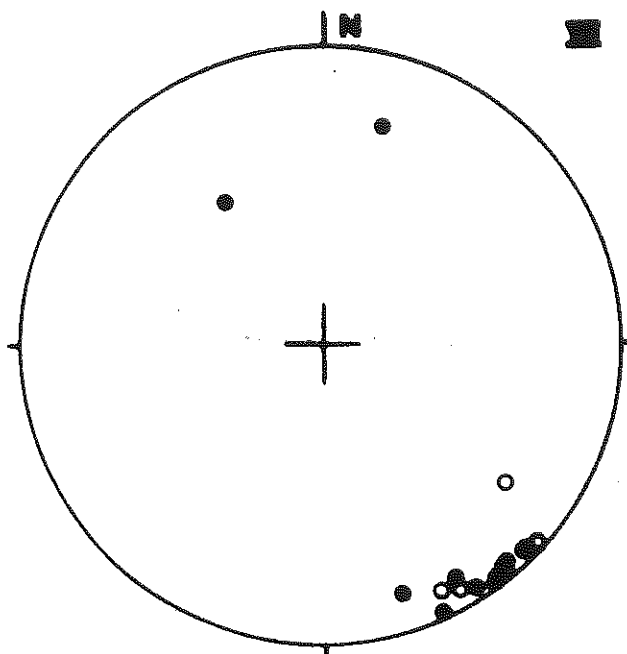
**V**



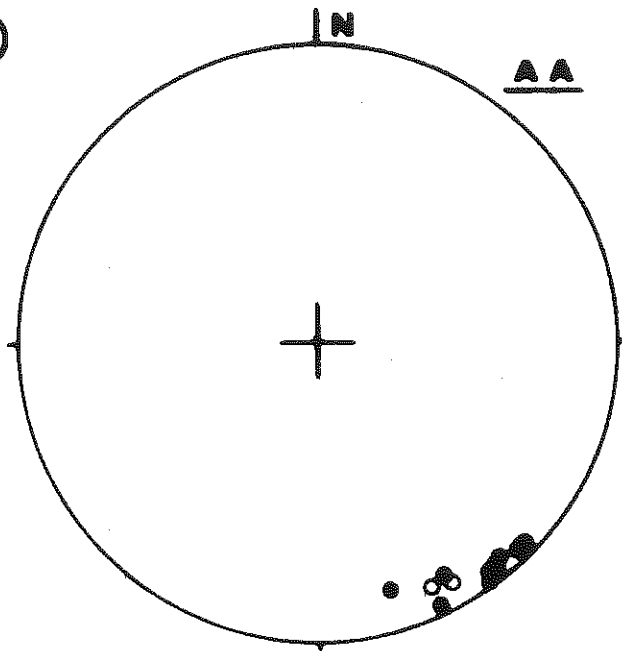


## PLANCHE HORS TEXTE VI

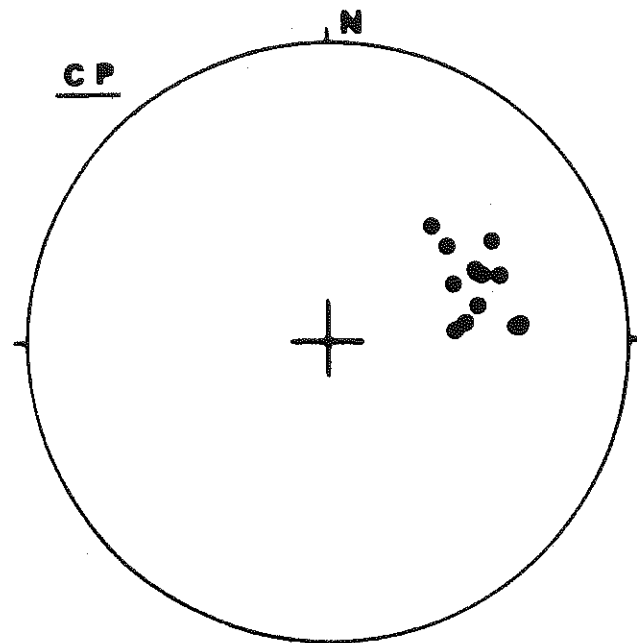
- Orientation des vecteurs aimantation totale, stable en cours d'analyse de l'aimantation (AA) et après correction de pendage (CP). L'indication CP<sup>+</sup> indique dans les séries 9 et 10 les corrections de pendage précises.
- Etude des variations de la déclinaison et de l'inclinaison (avec la précision figurée par la valeur de l'angle  $\alpha$  95), en fonction du temps (échelle arbitraire ; coulées les plus récentes vers le haut).  
N : Nombre d'échantillons utilisés pour le calcul (en grands chiffres) et rejetés (en petits chiffres)
- Courbe de désaimantation par champ alternatif (H) ou par traitement thermique (T).



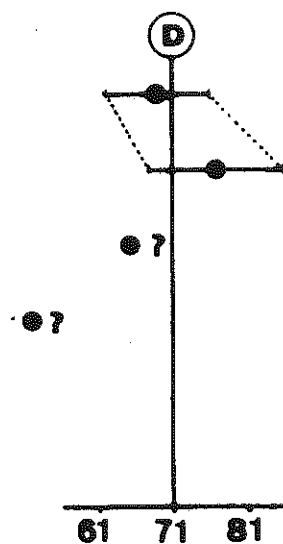
①



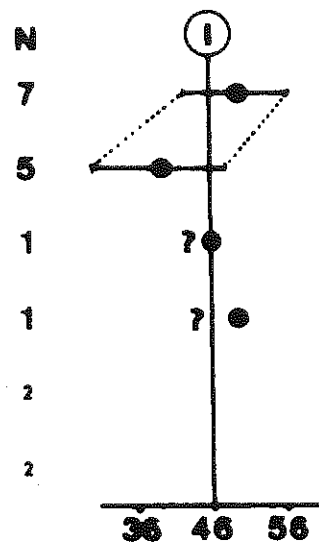
AA



CP

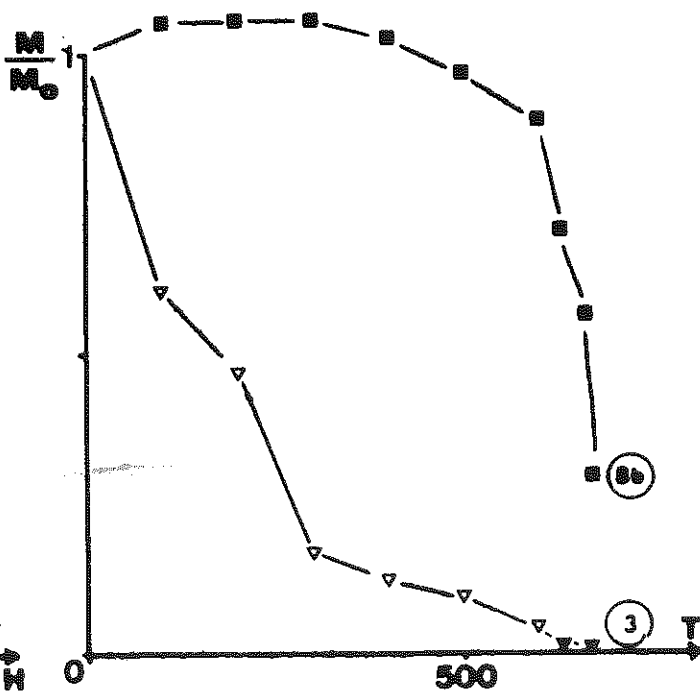
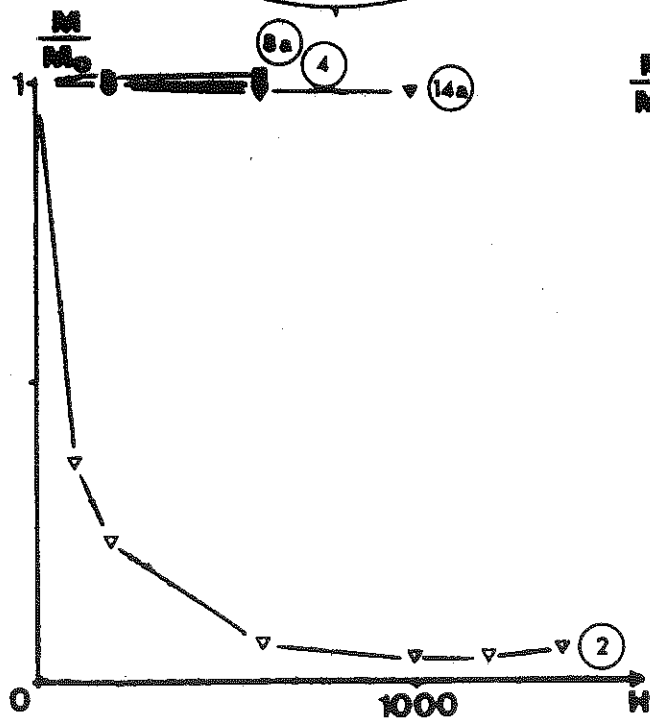


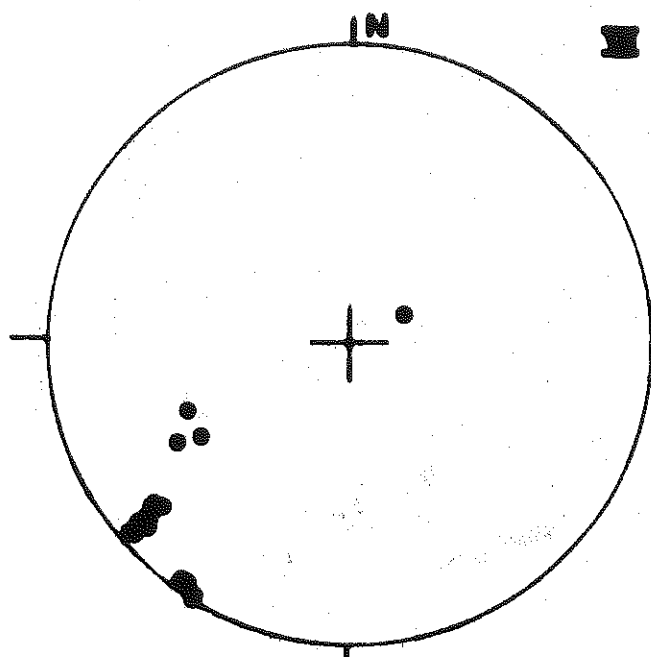
61 71 81



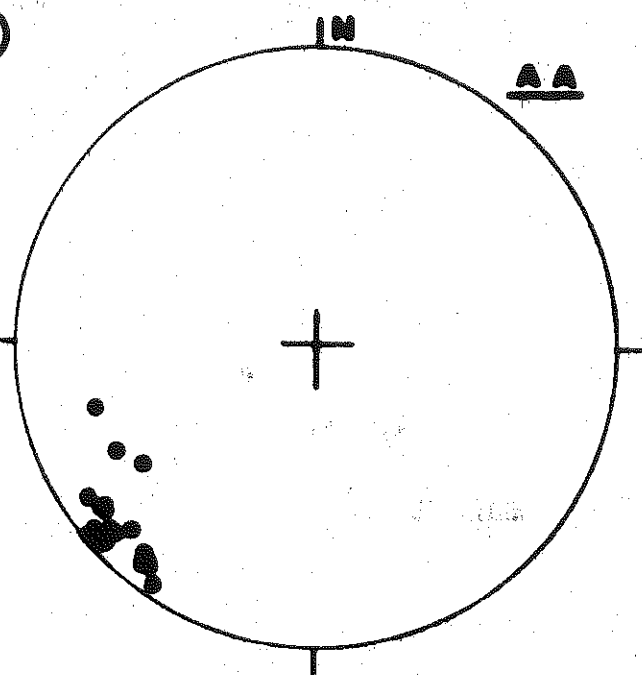
36 46 56

N  
7  
5  
1  
1  
2  
2

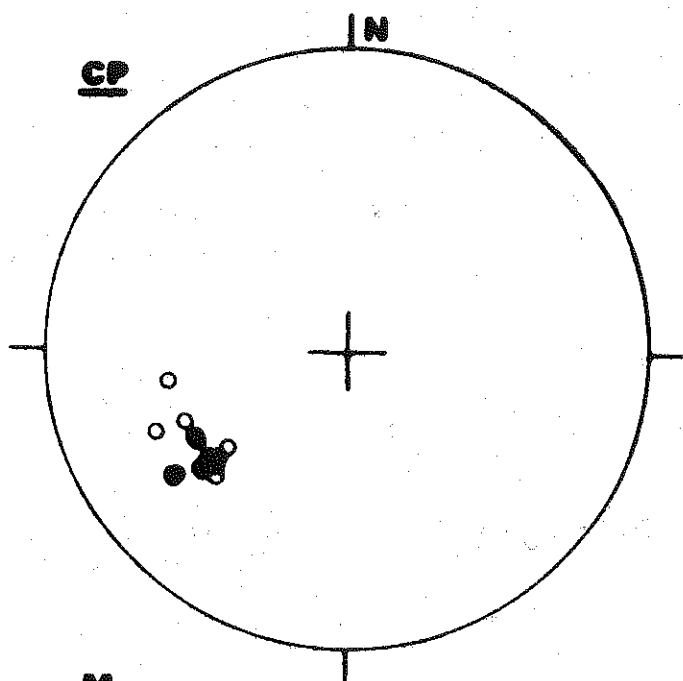




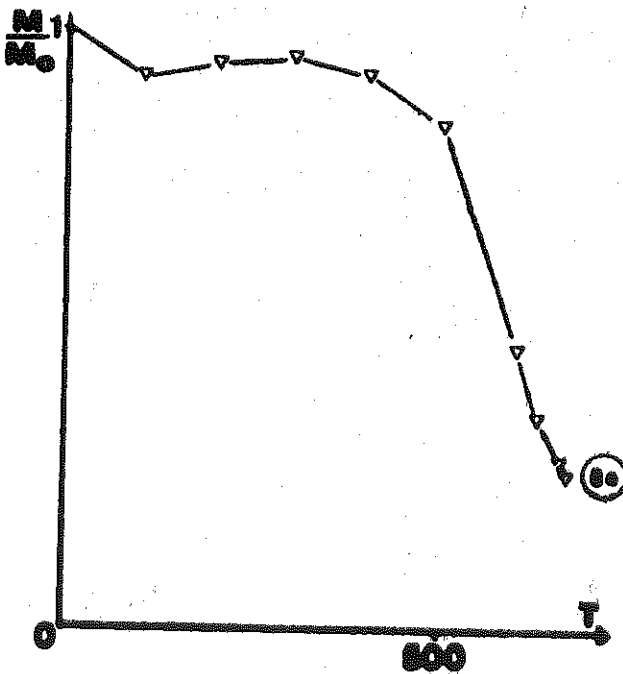
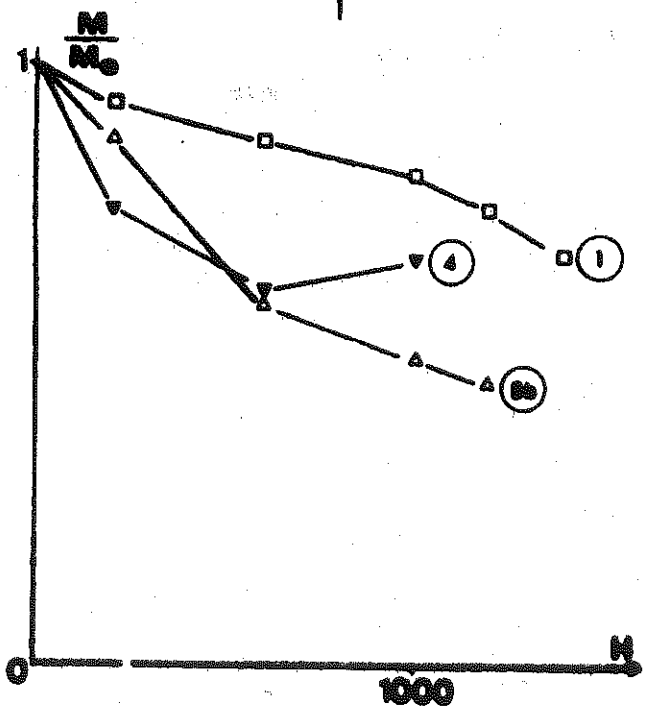
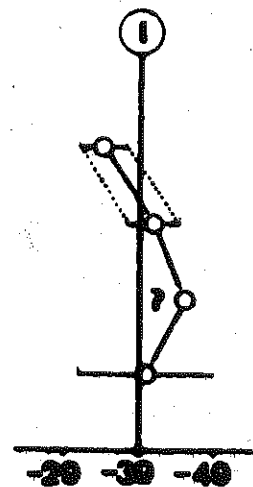
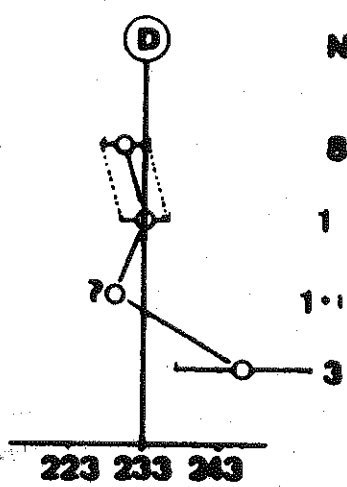
②

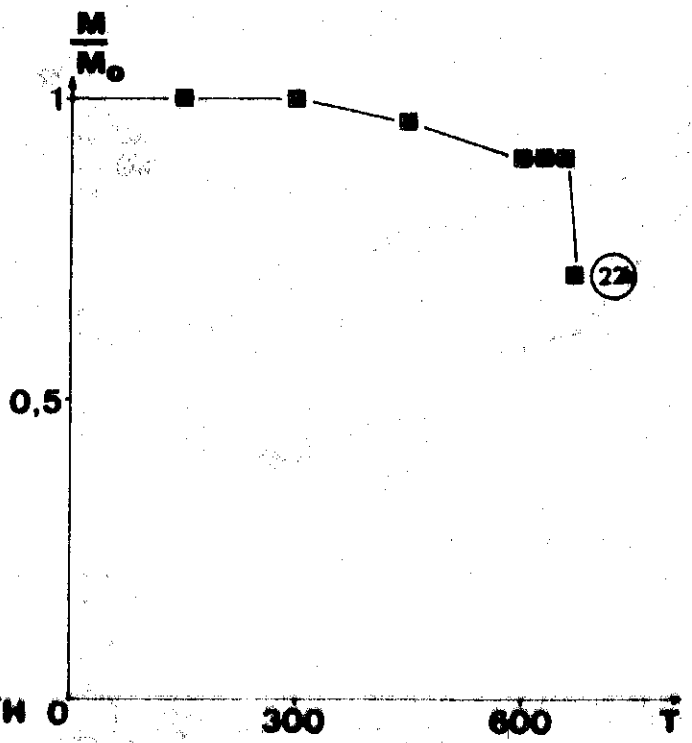
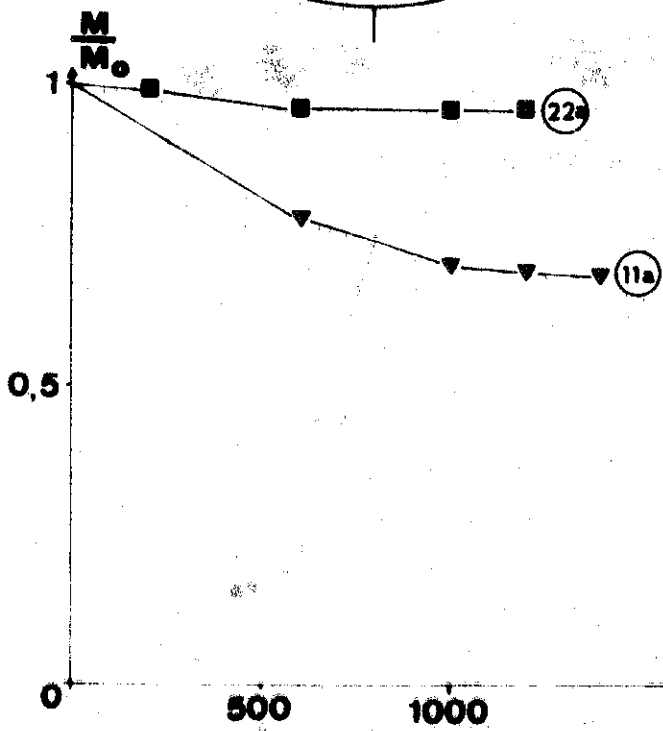
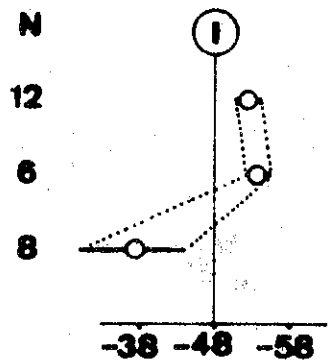
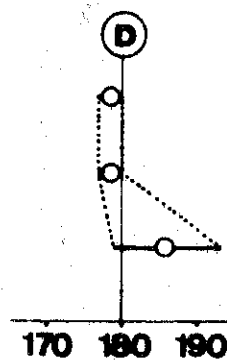
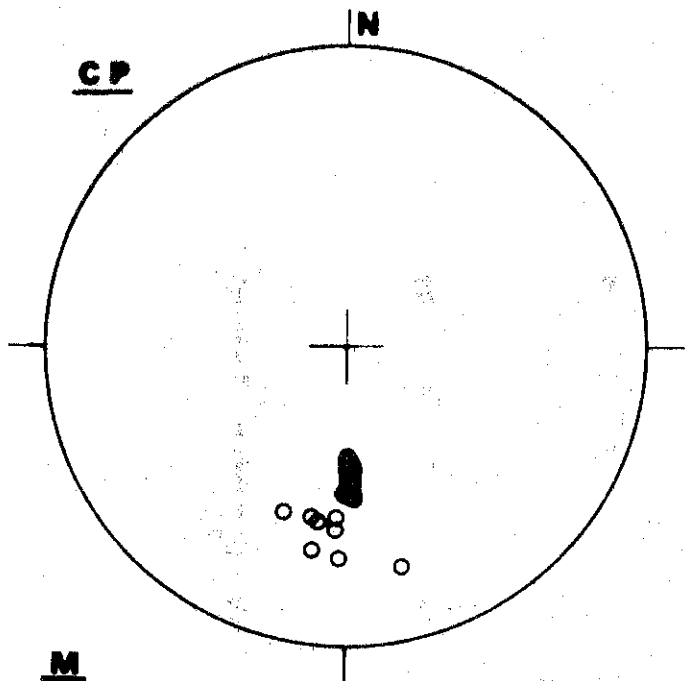
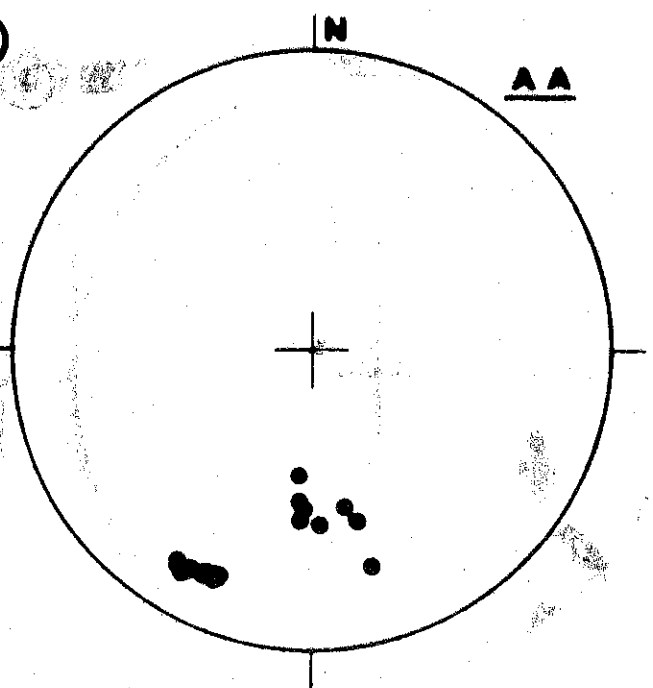
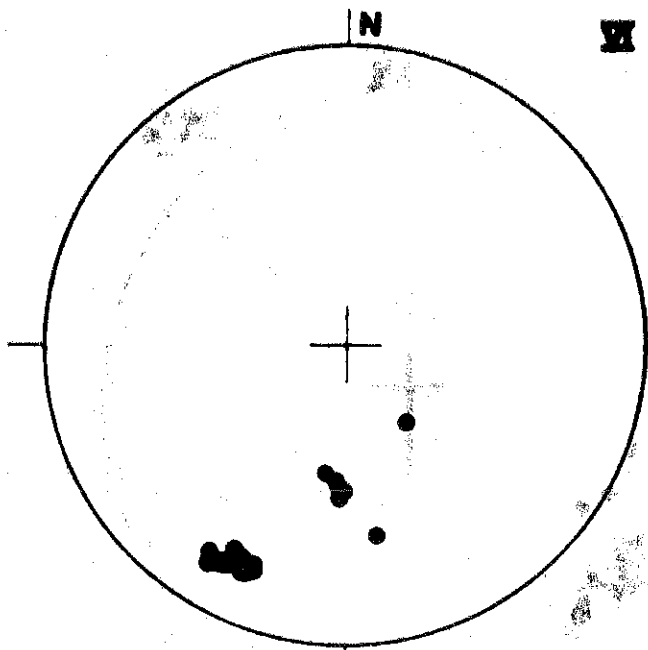


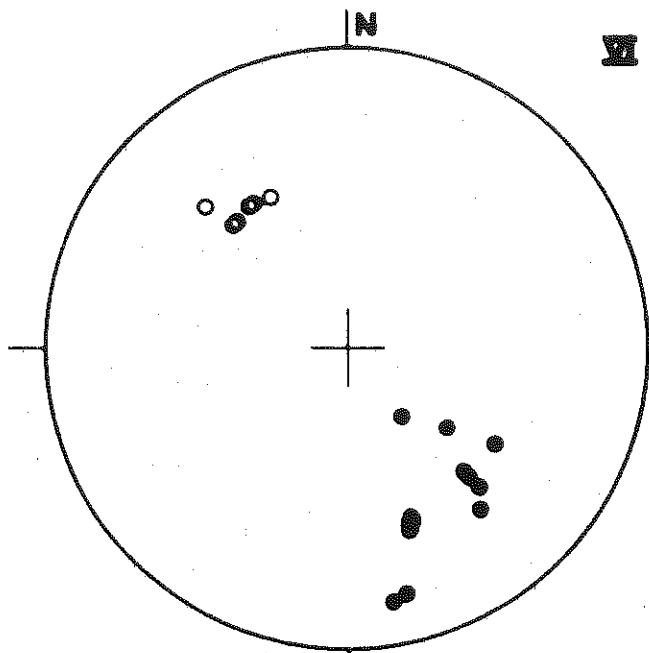
AA



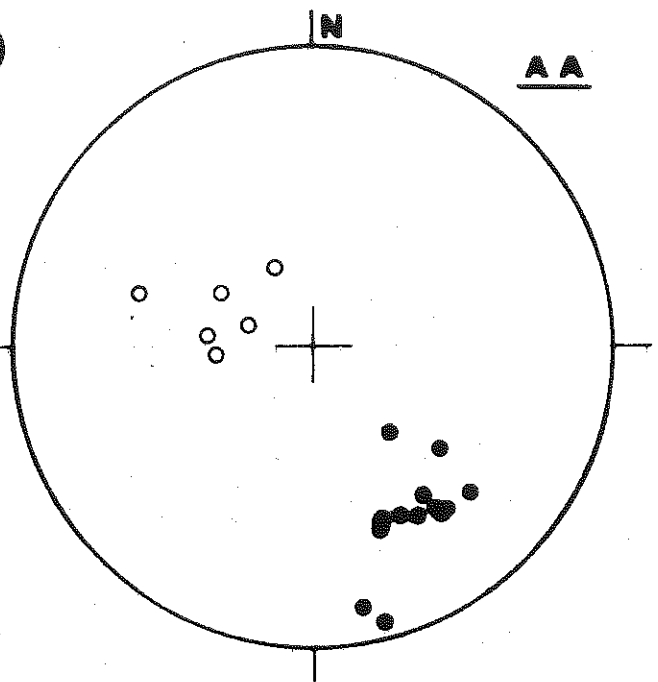
CP



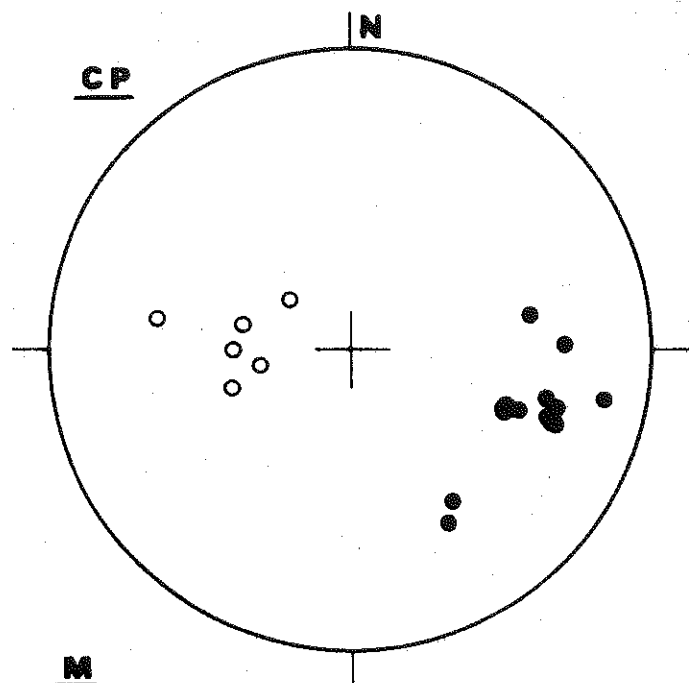




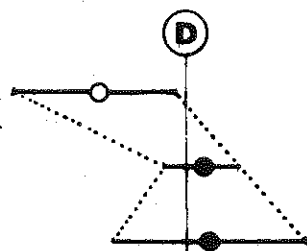
VI (4)



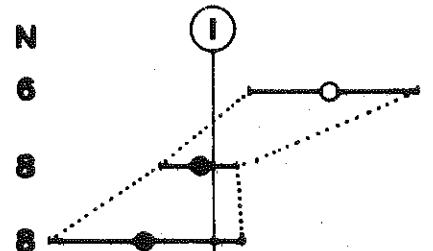
AA



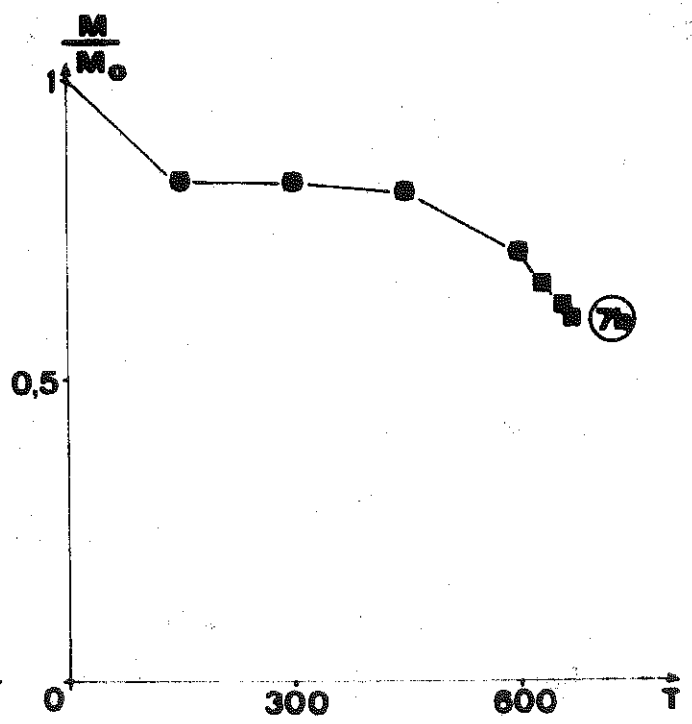
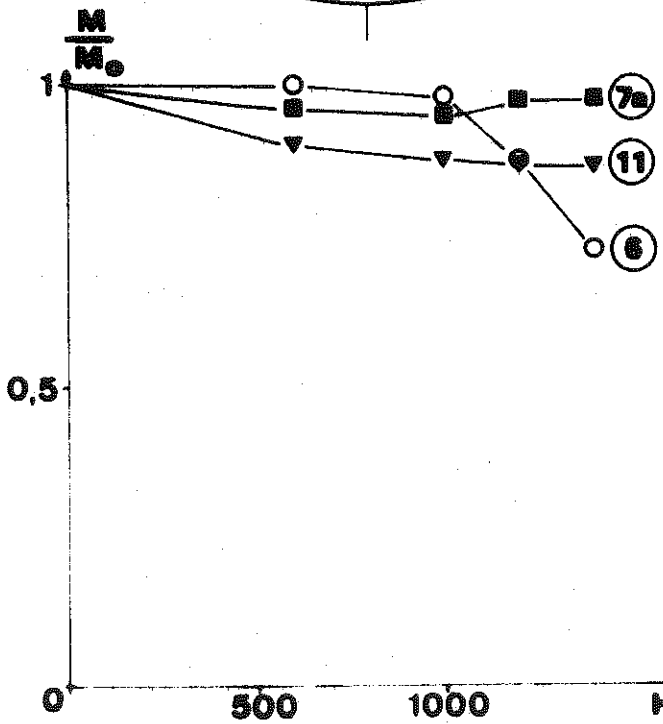
CP



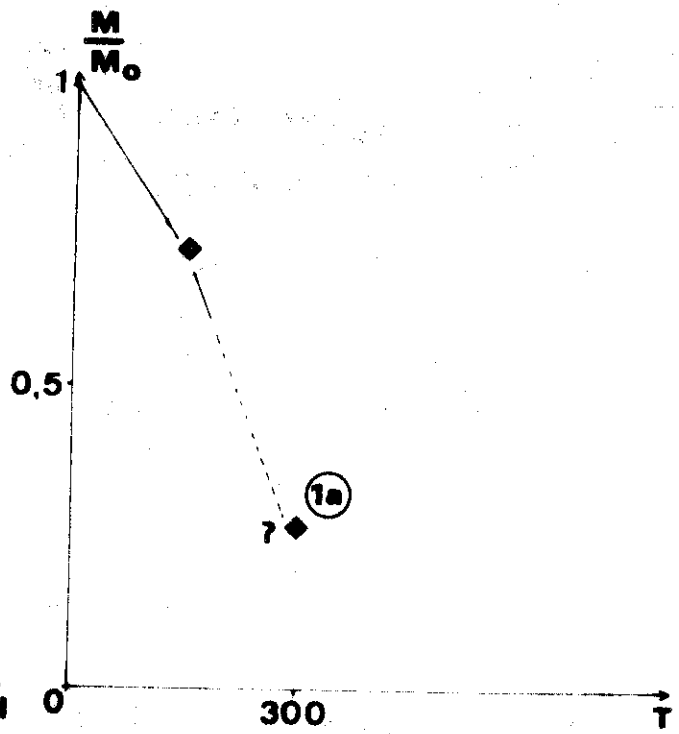
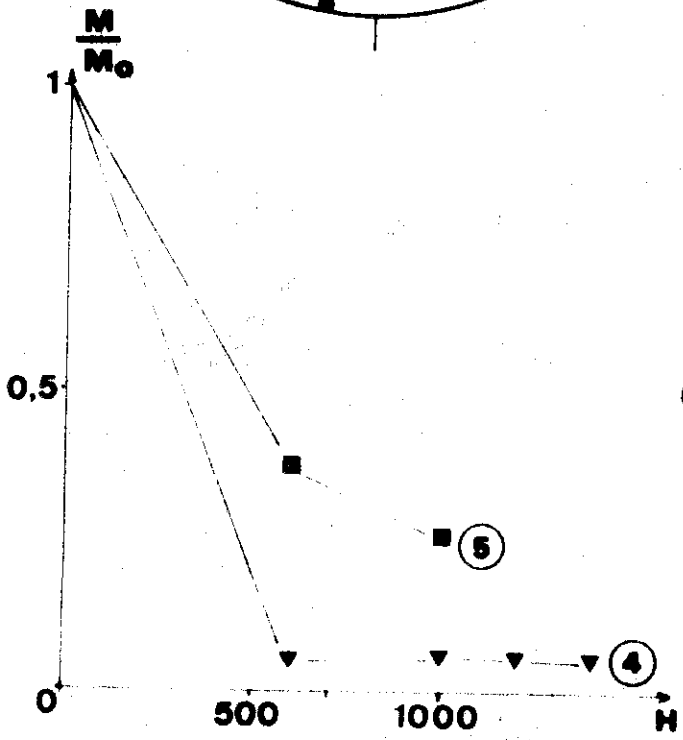
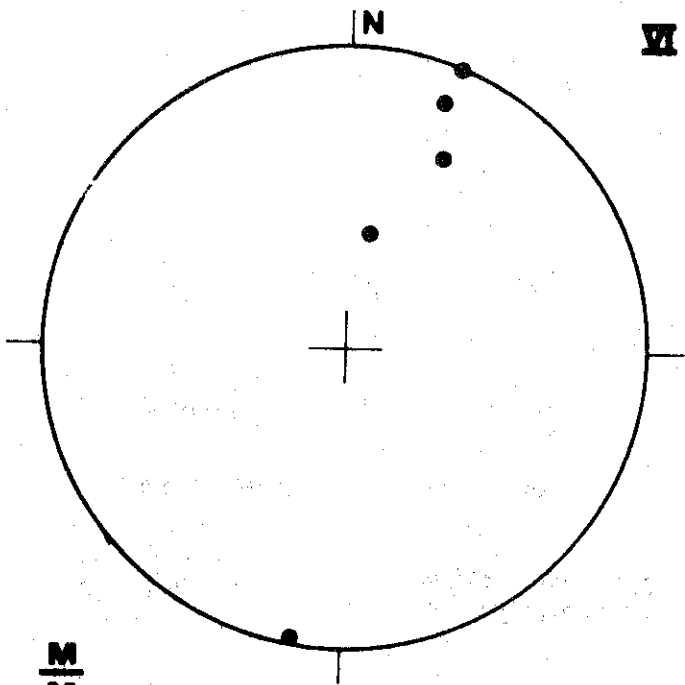
97 107 117 ●  
277 287 297 ○



33 43 53  
● ○

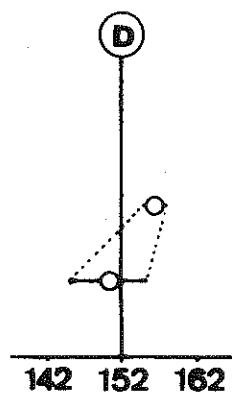
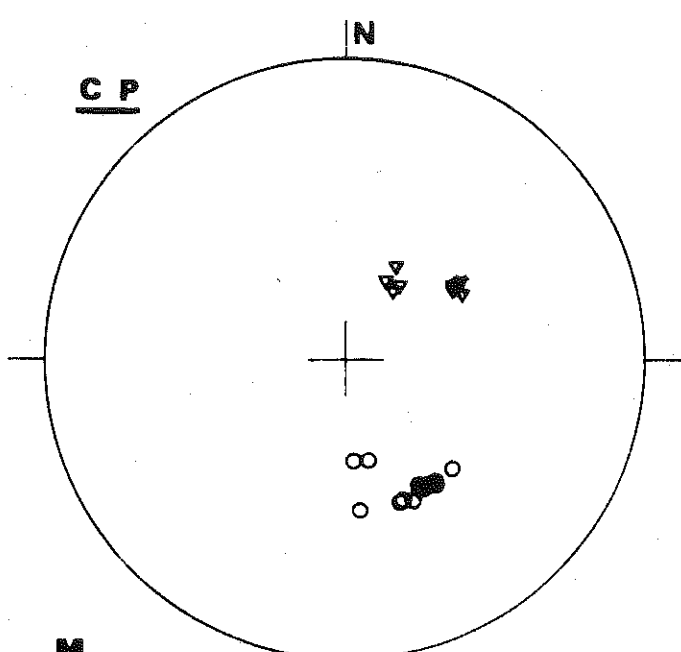
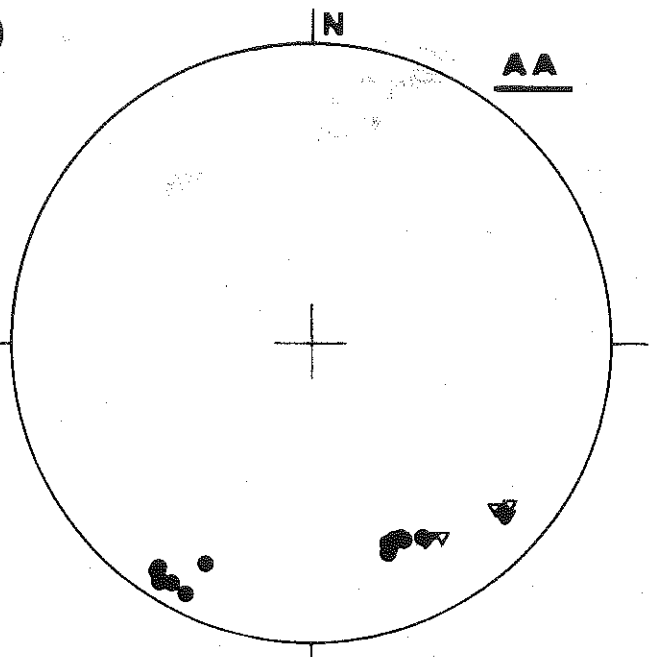
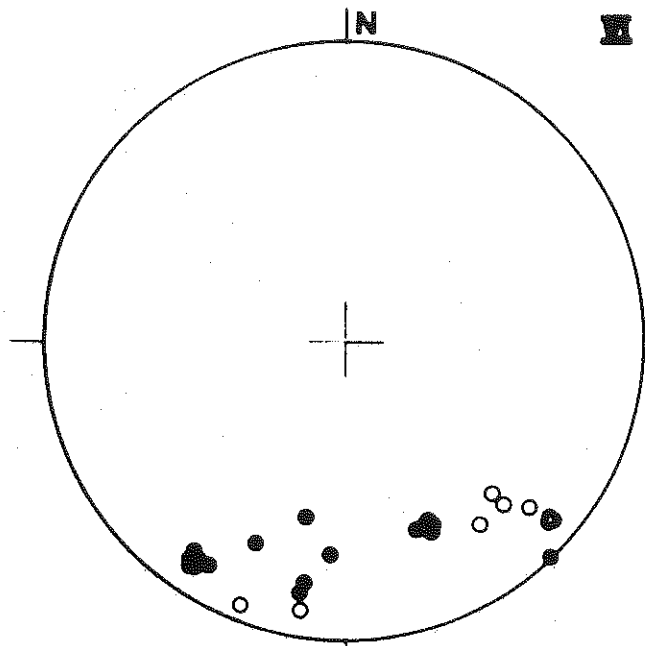


VI (5)

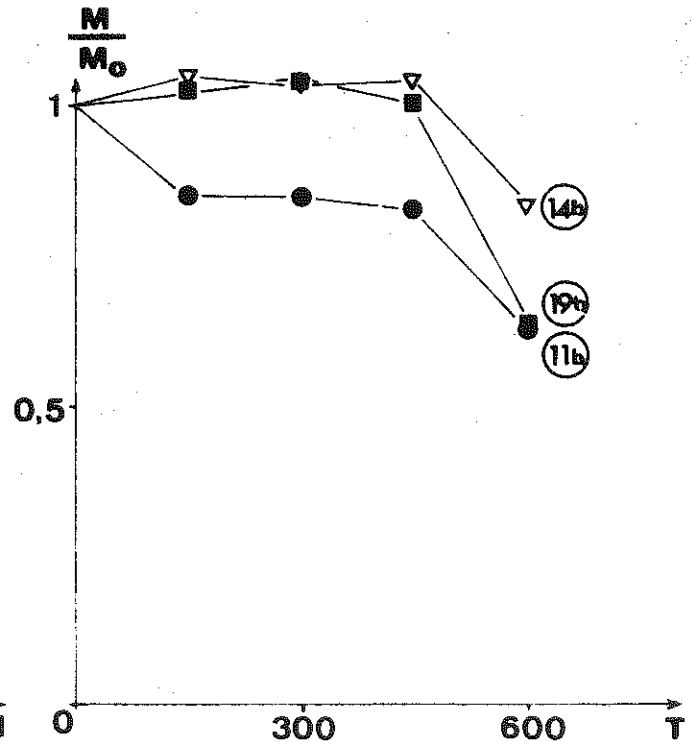
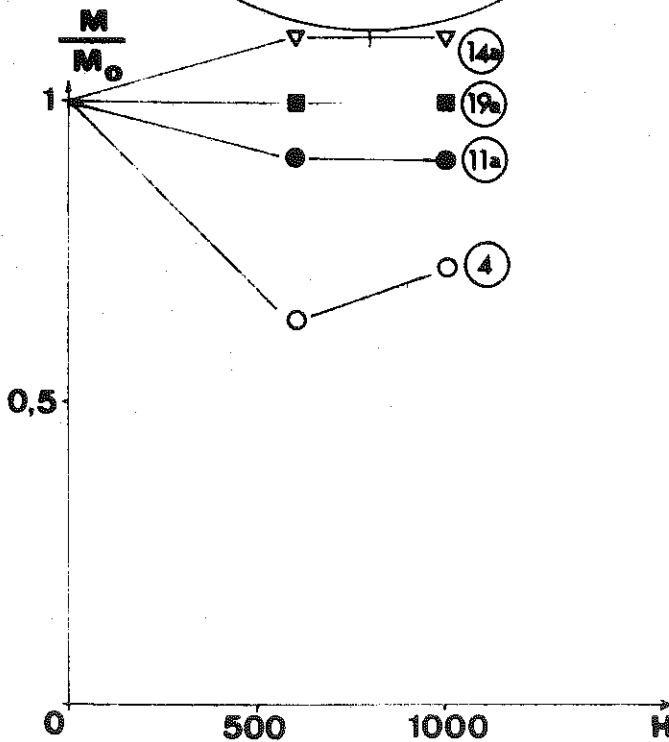
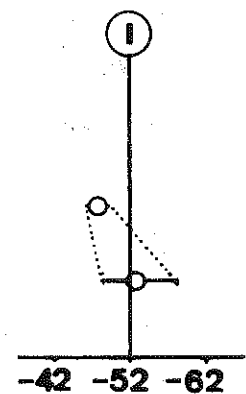


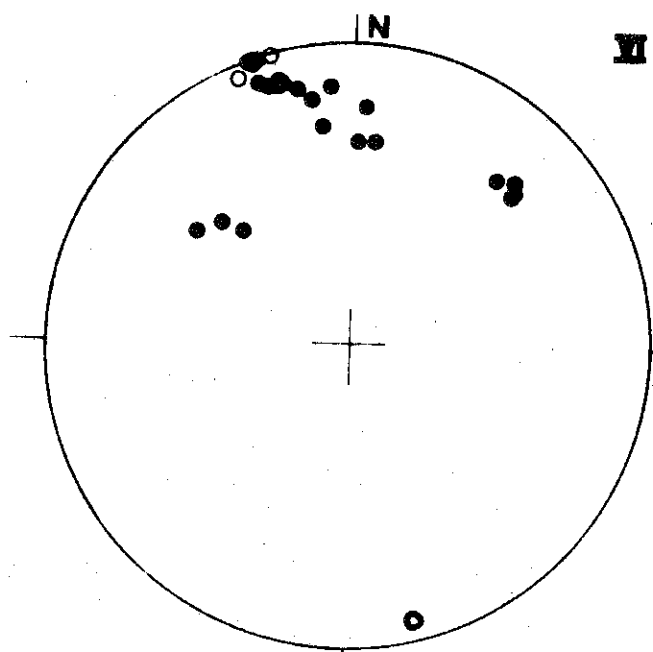


II (6)

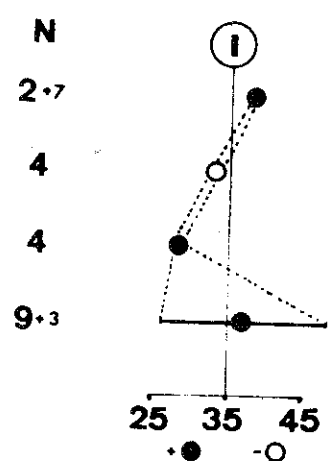
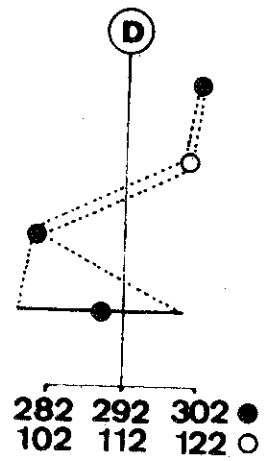
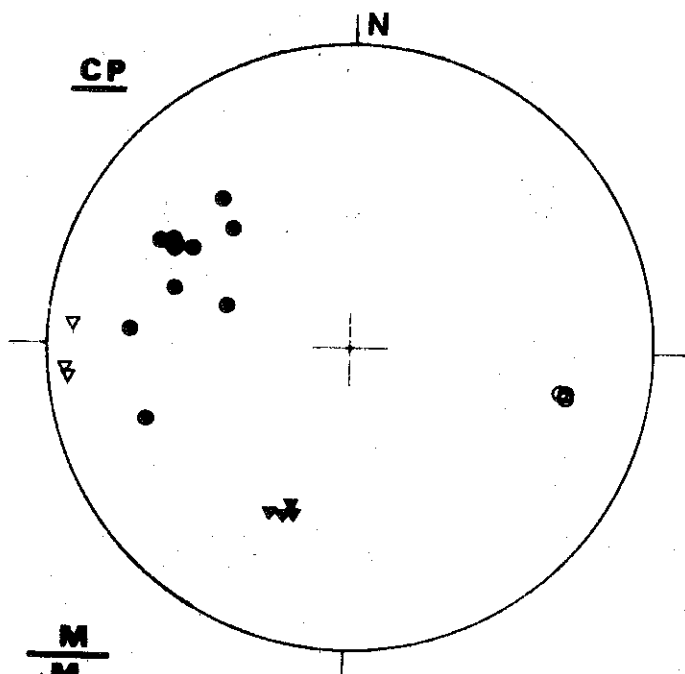
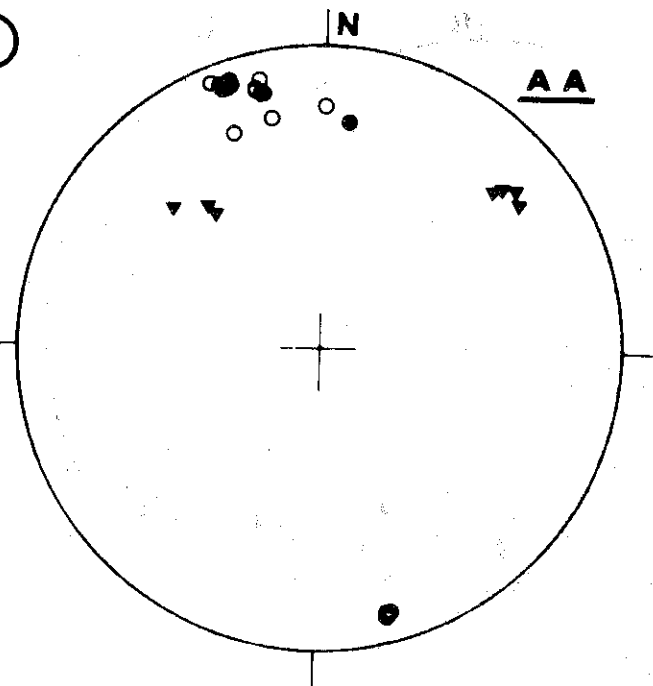


N  
14  
11  
3.8

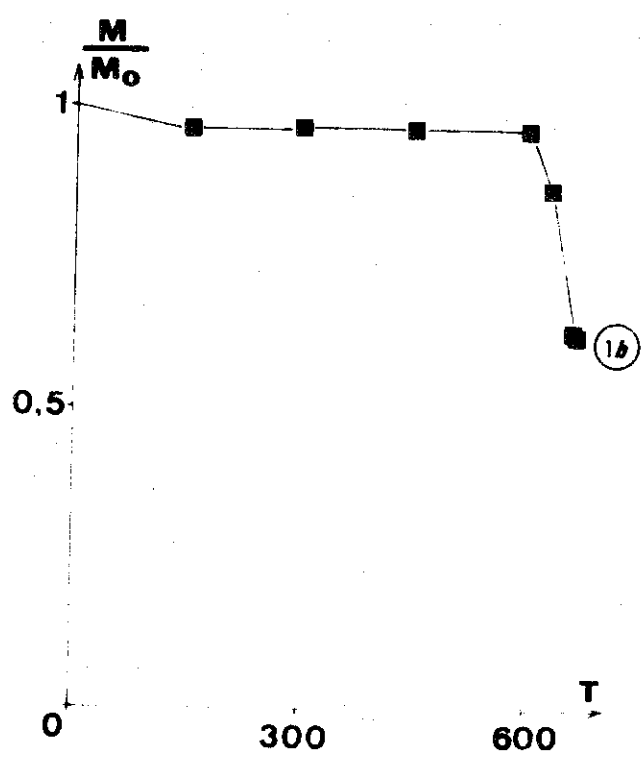
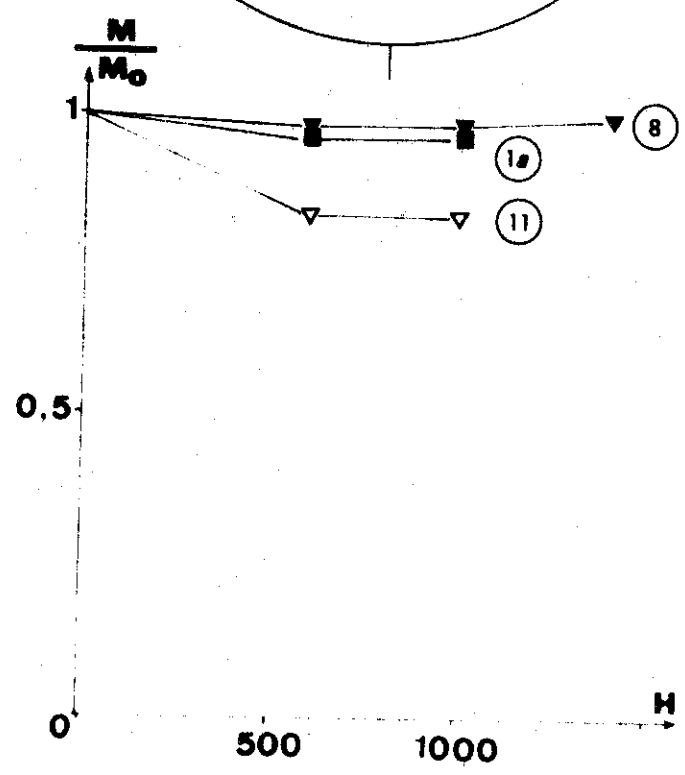


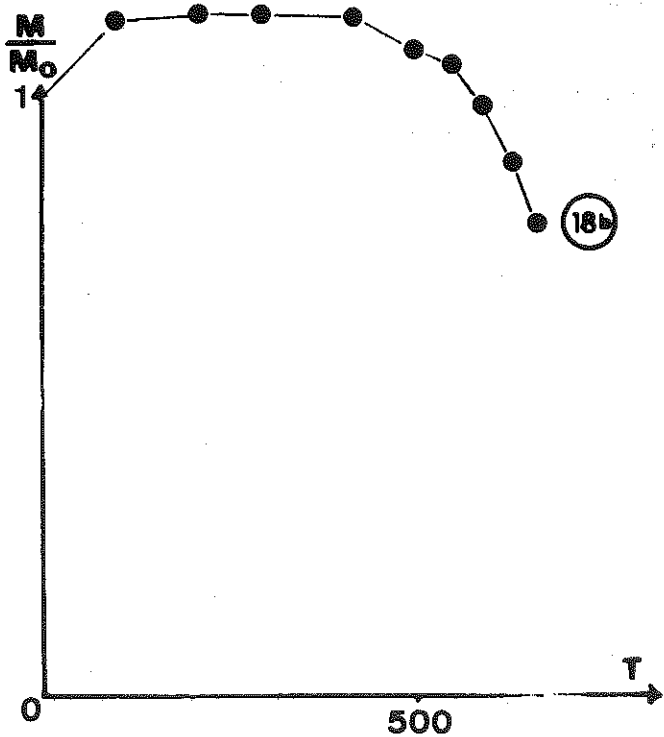
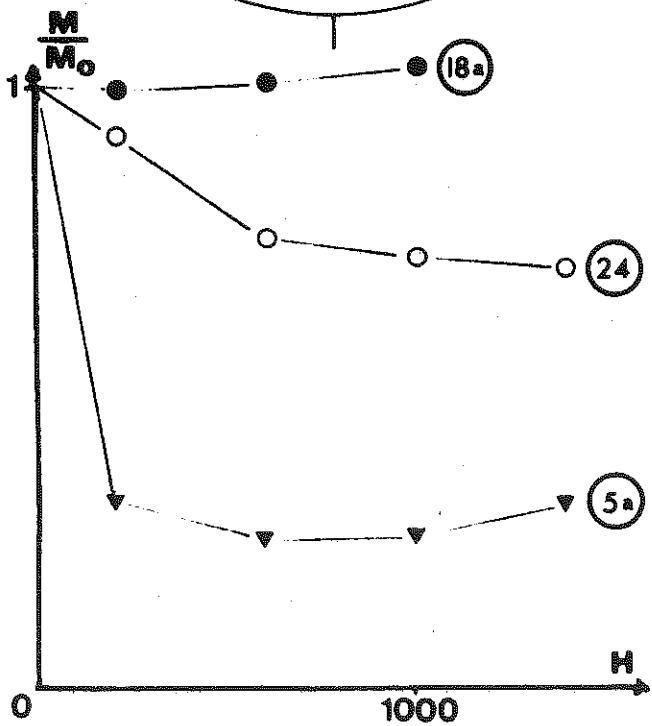
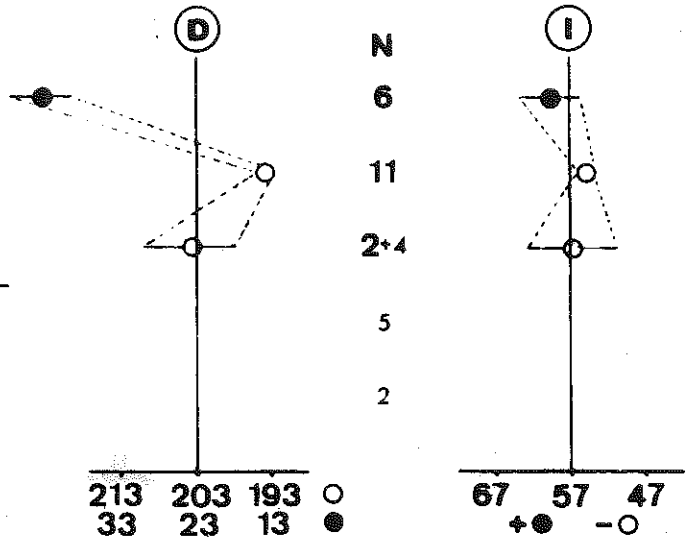
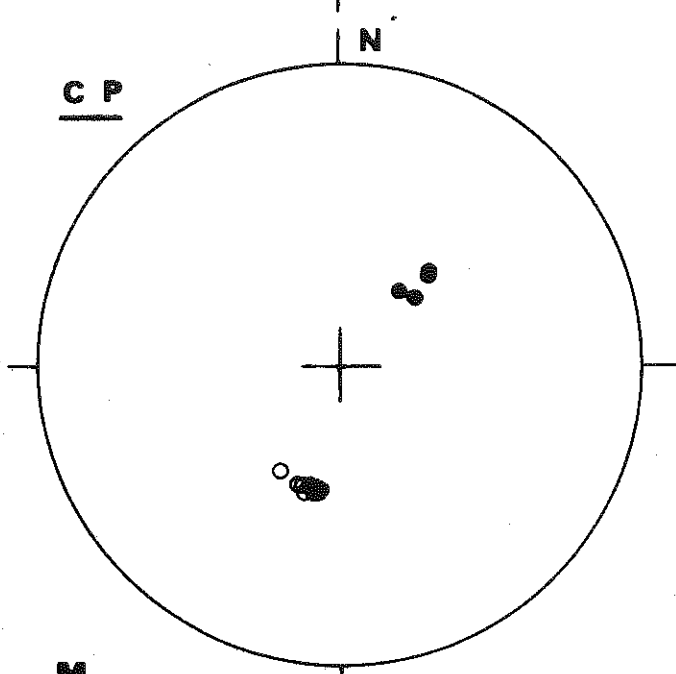
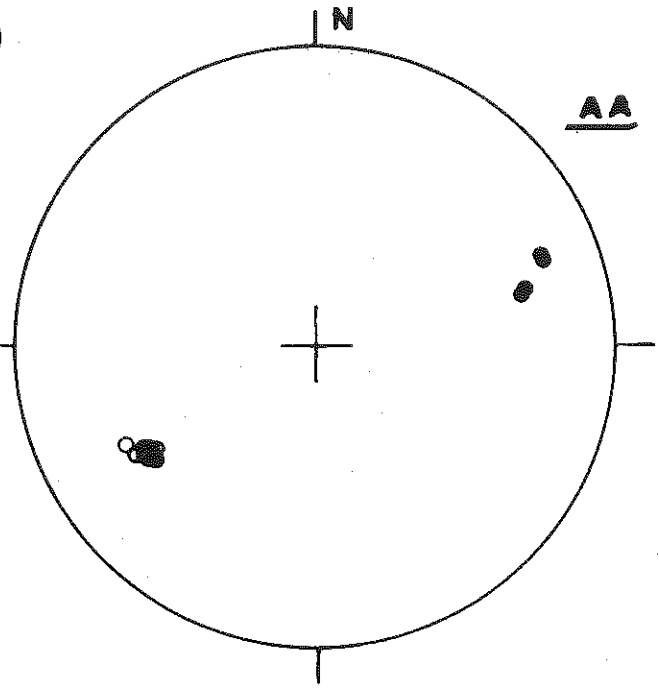
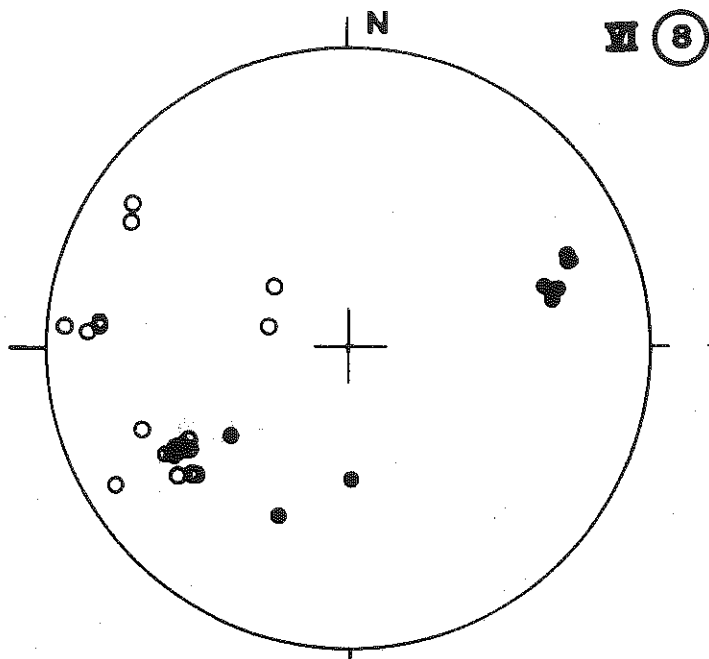


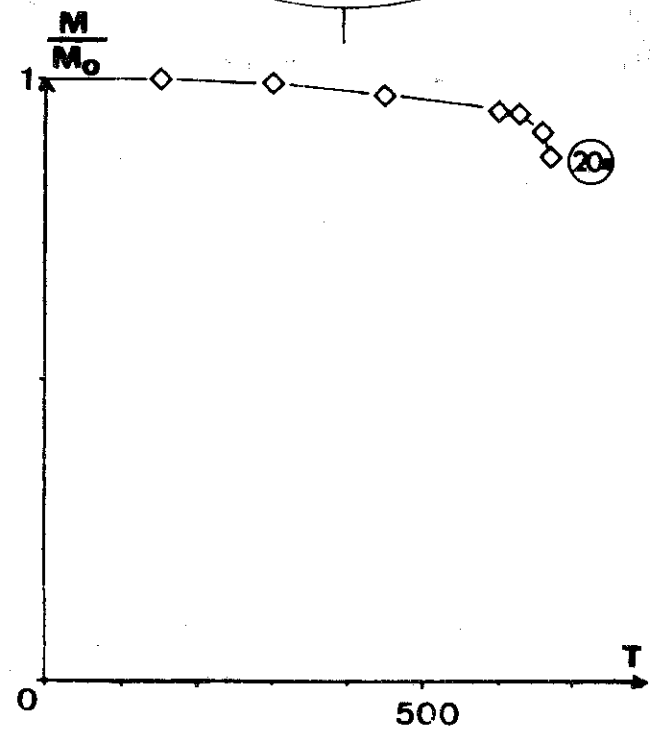
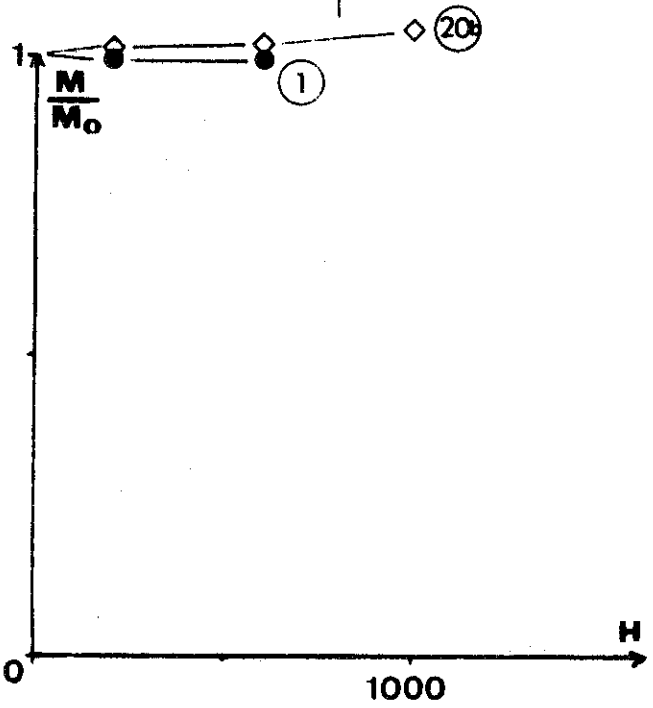
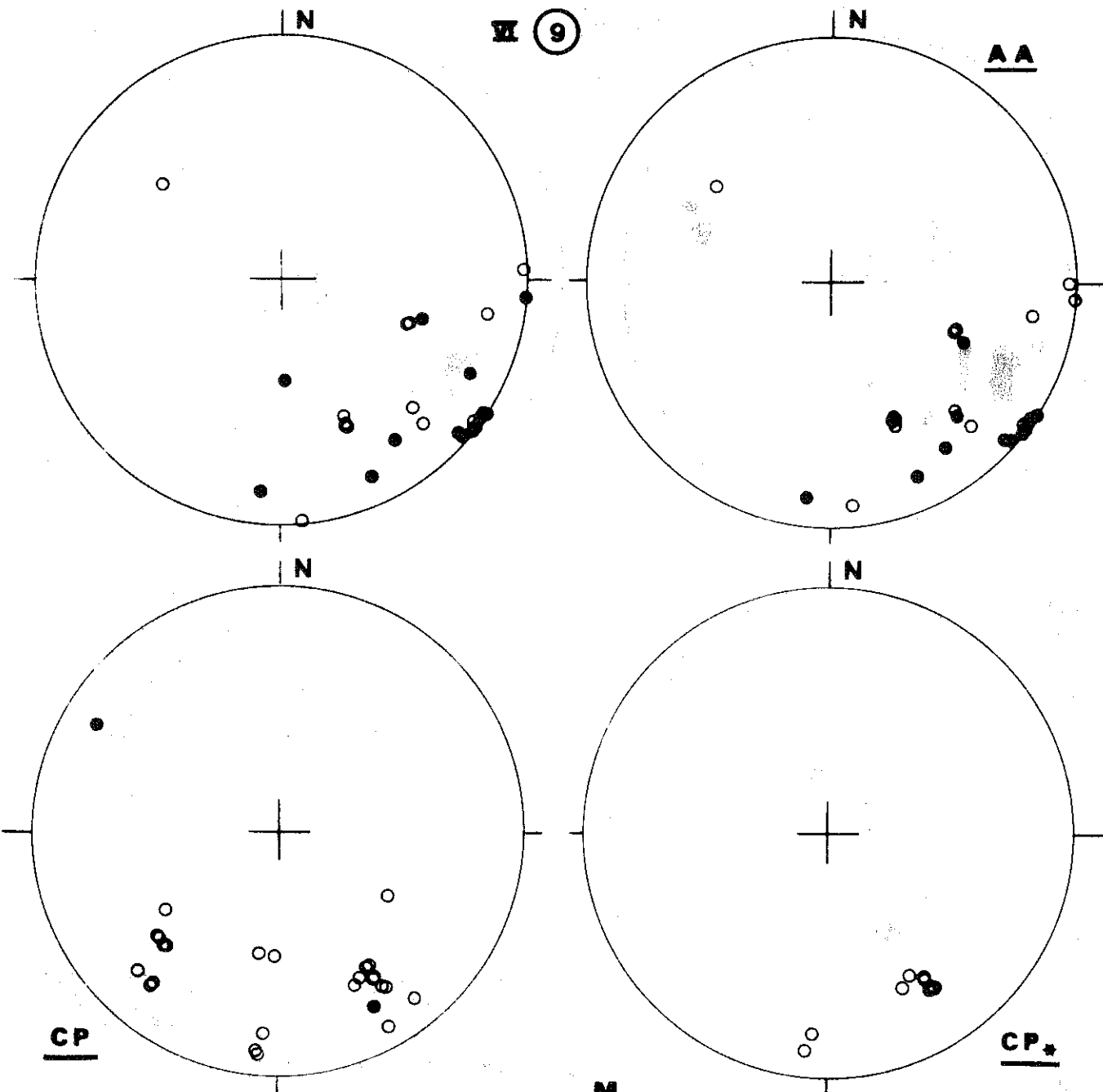
VI (7)

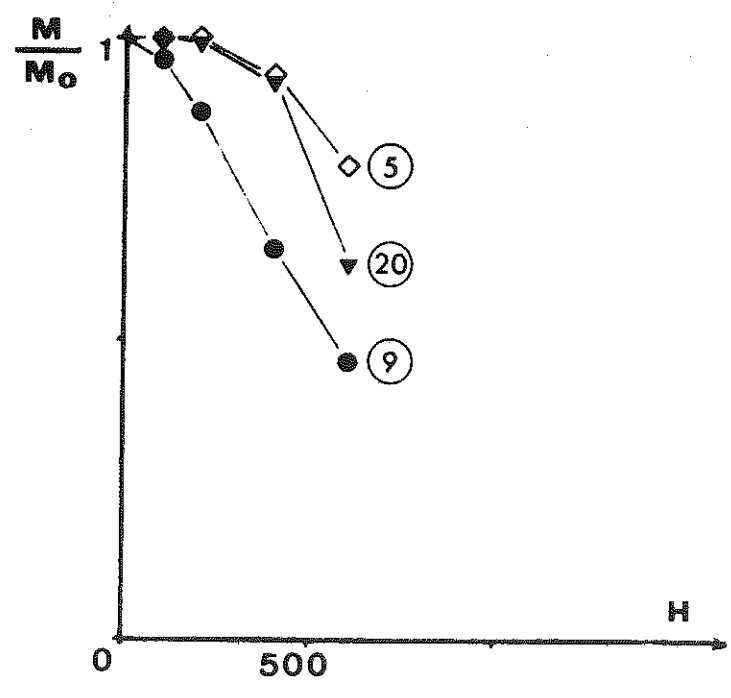
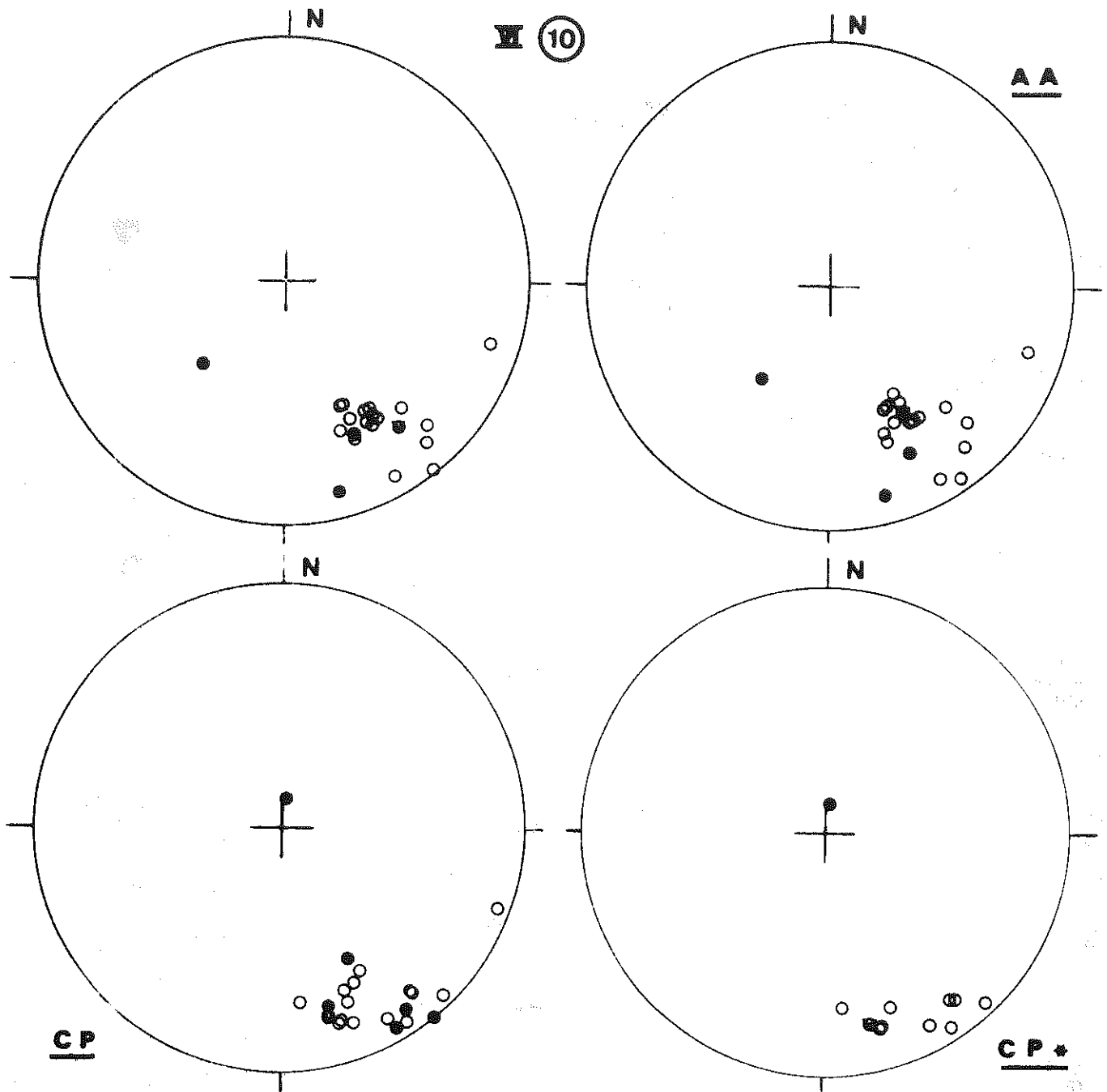


N  
2.7  
4  
4  
9.3

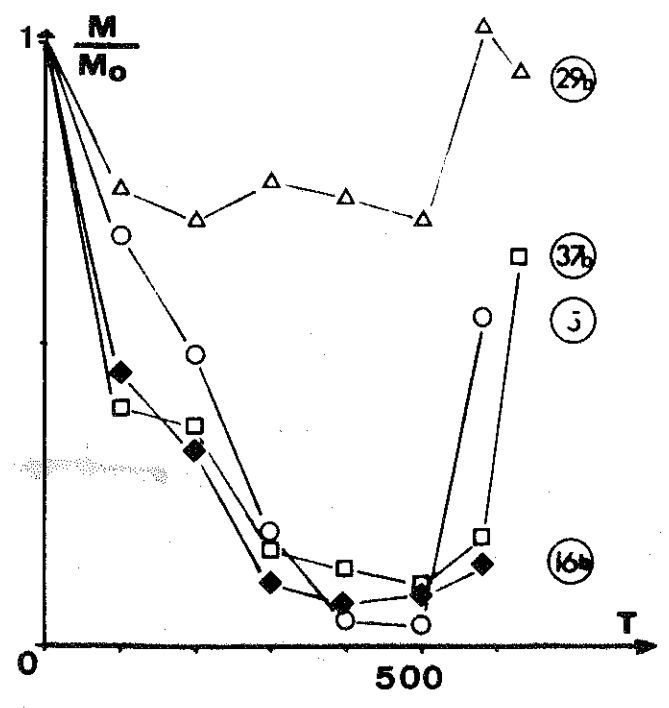
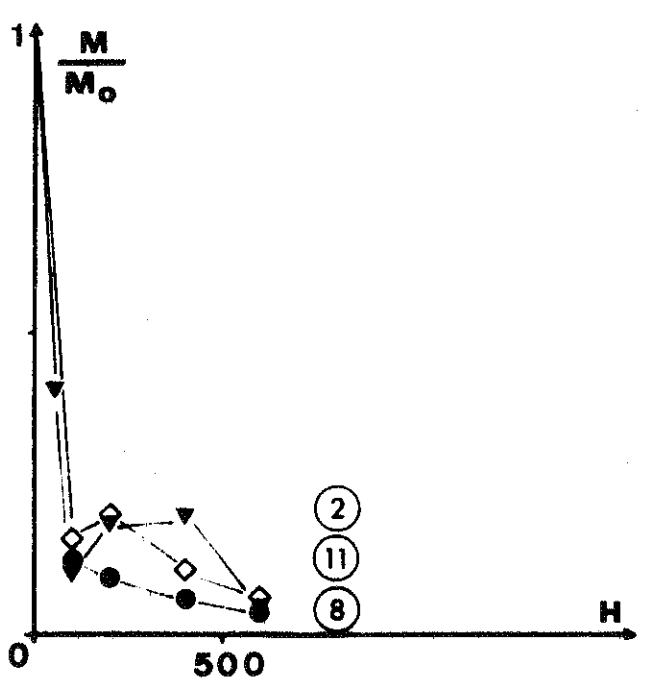
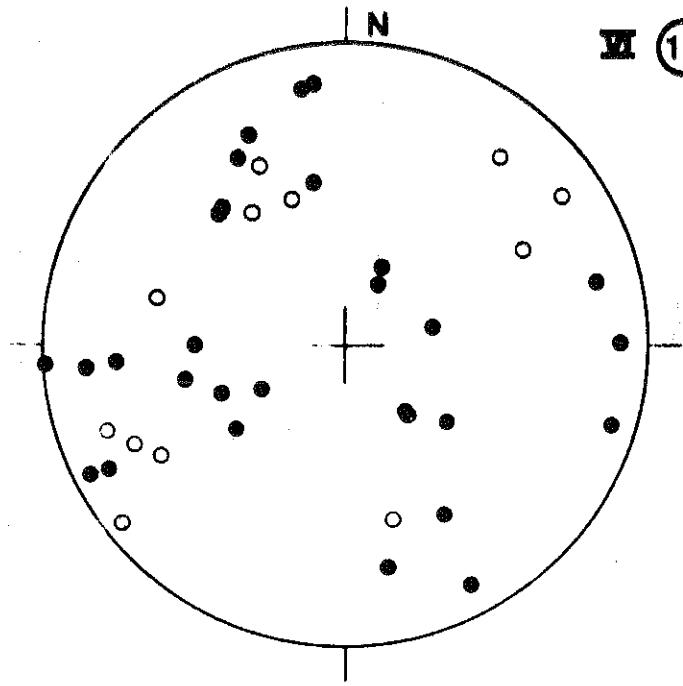




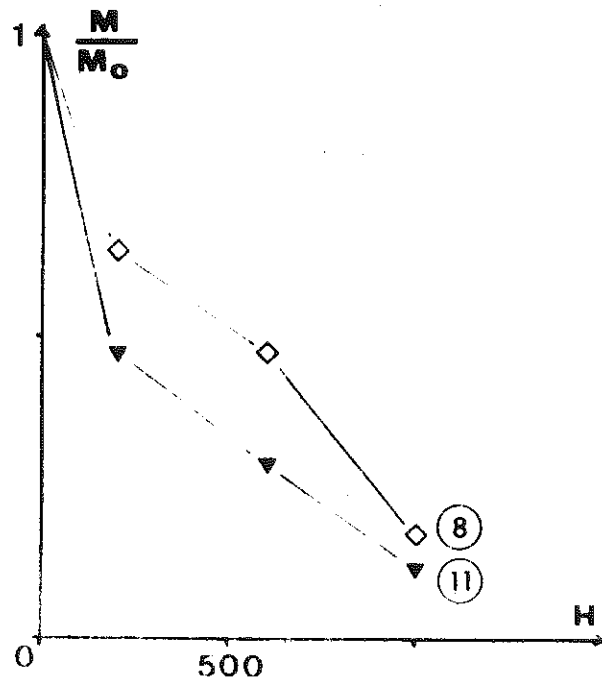
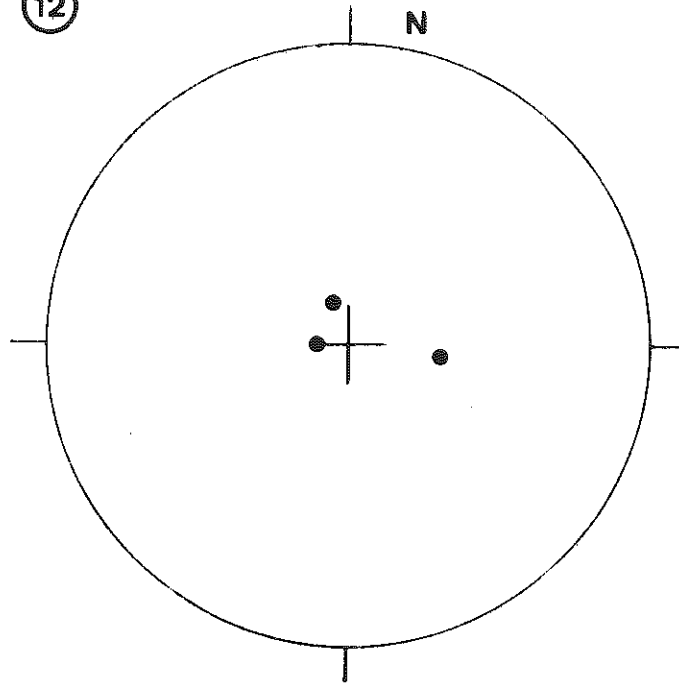




VI (11)

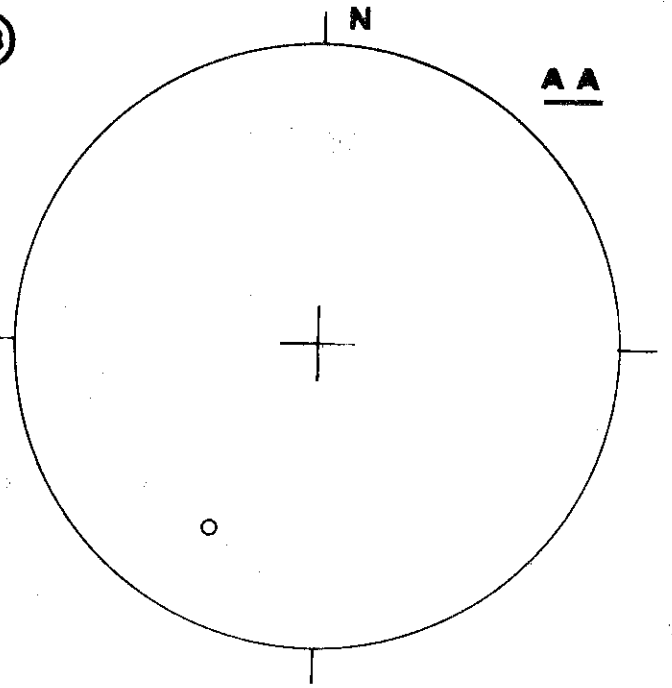
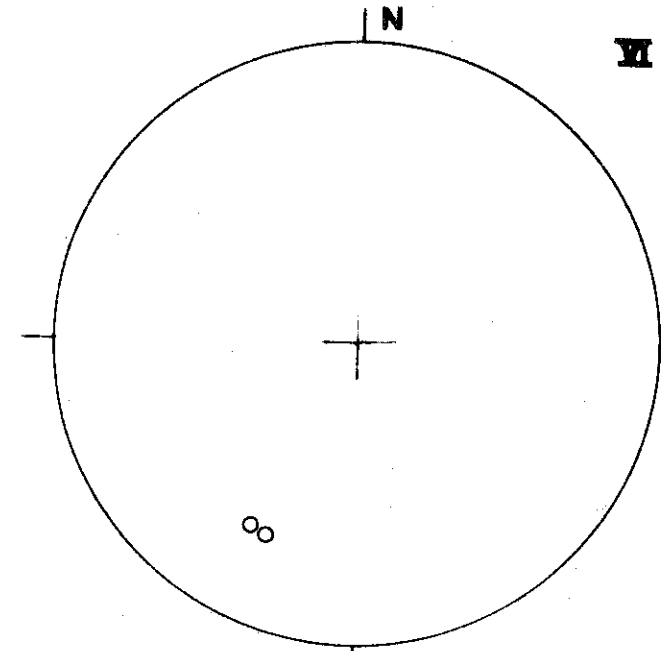


VI (12)

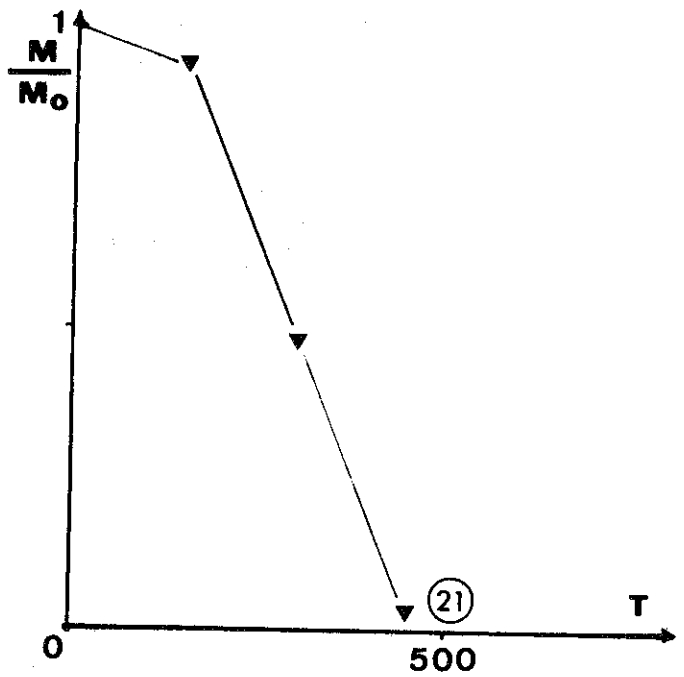
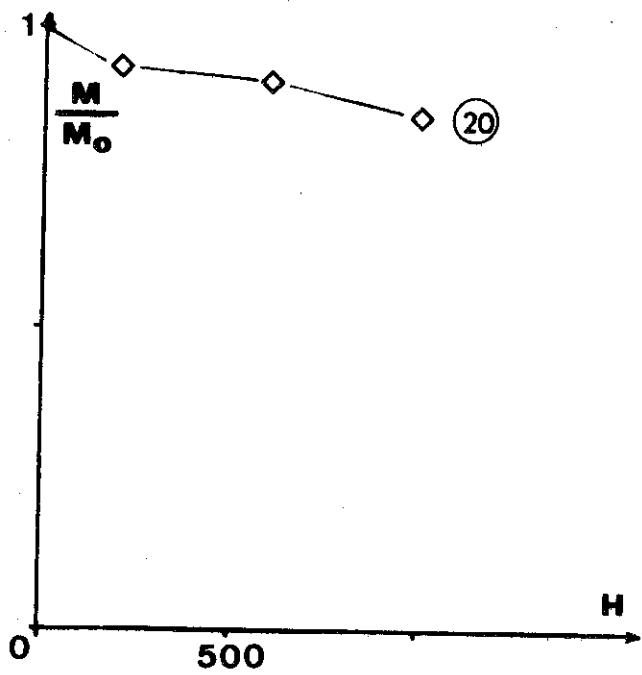
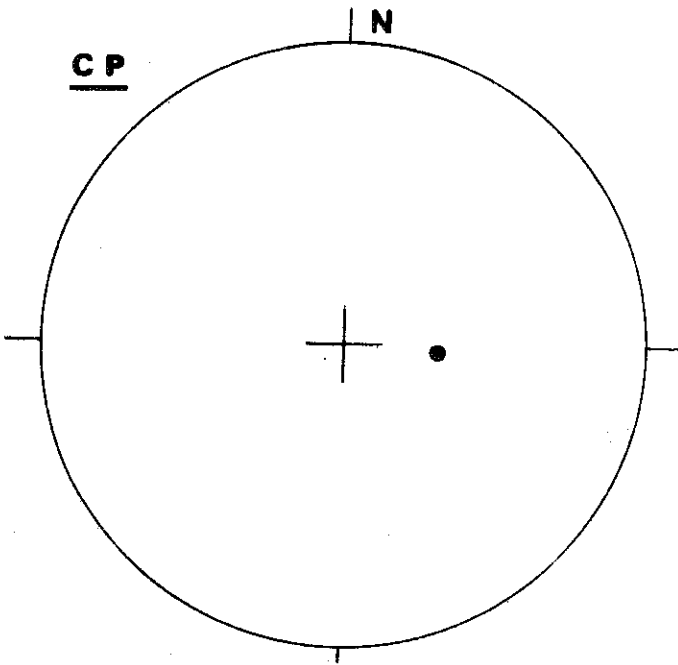


II (13)

AA



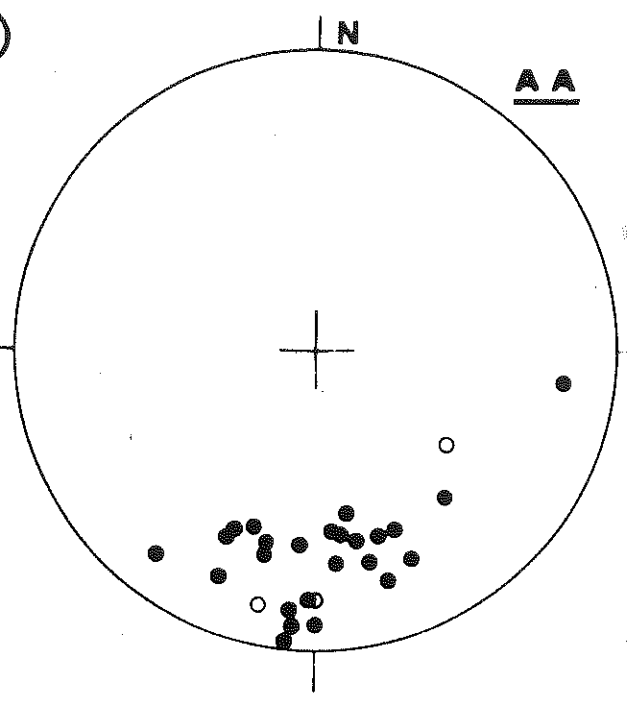
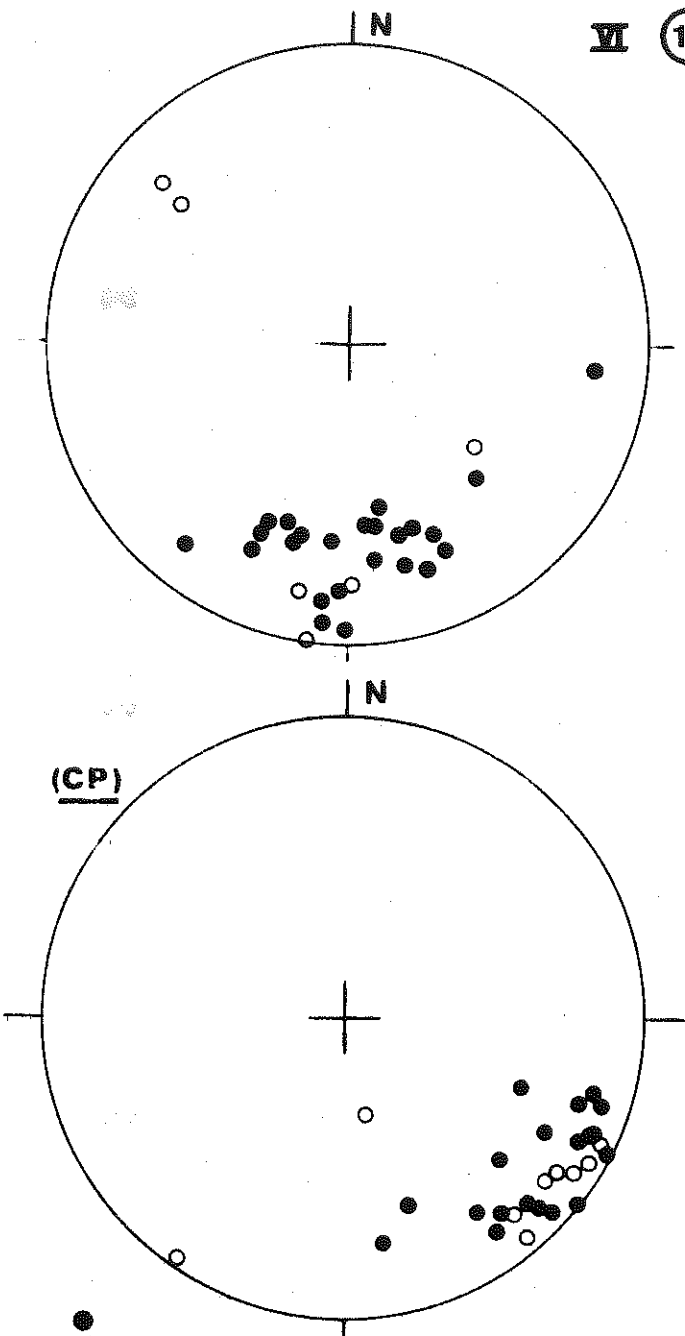
CP





VI (14)

AA



(CP)

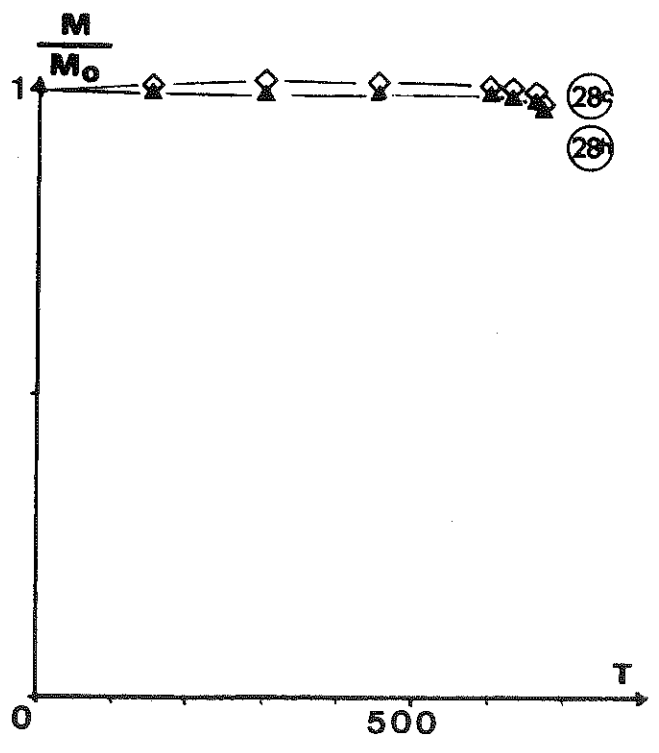
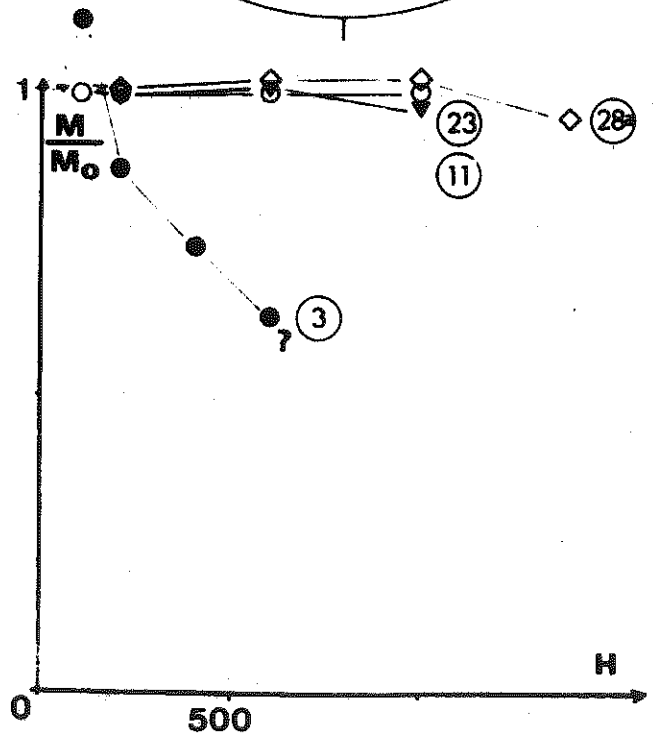
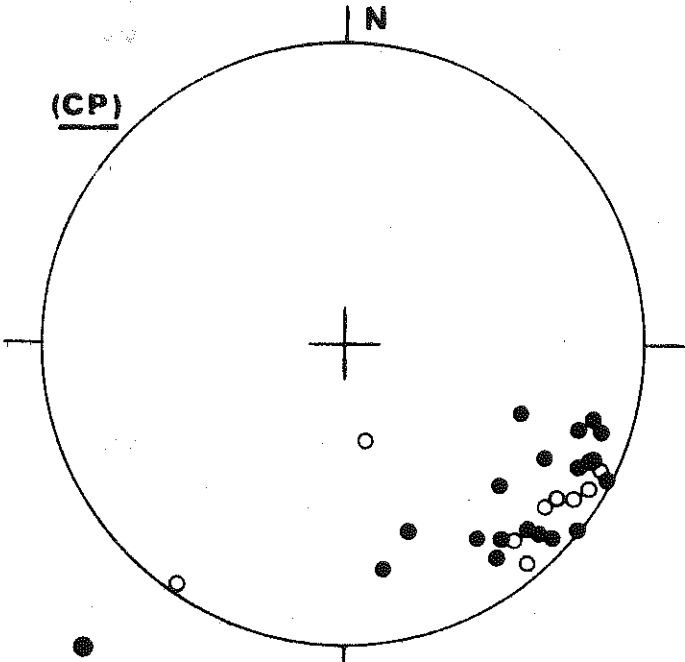
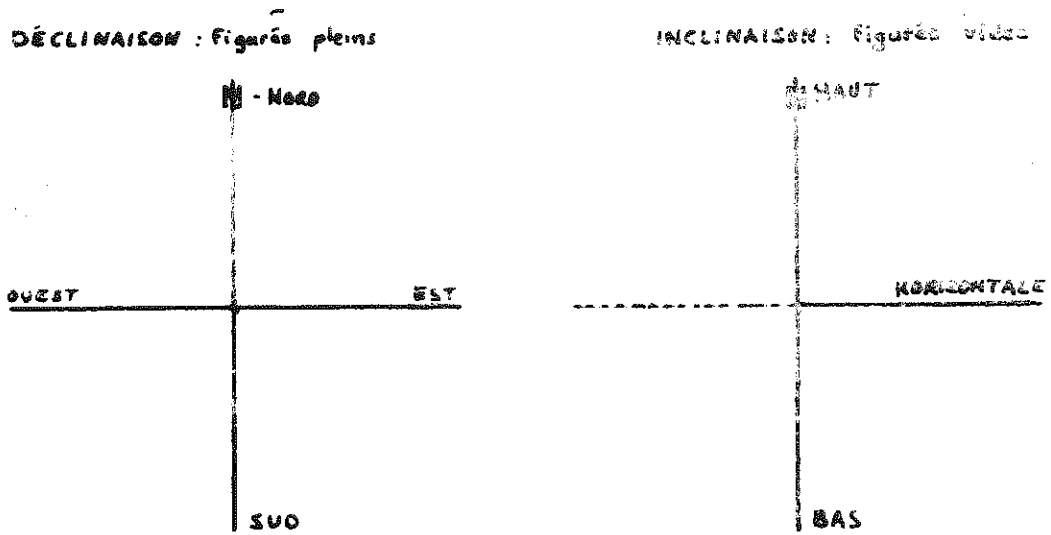


PLANCHE HORS TEXTE VII

Diagramme de Zijderveld : évolution de la direction d'aimantation au cours d'un traitement par champ alternatif (H) ou thermique (T).

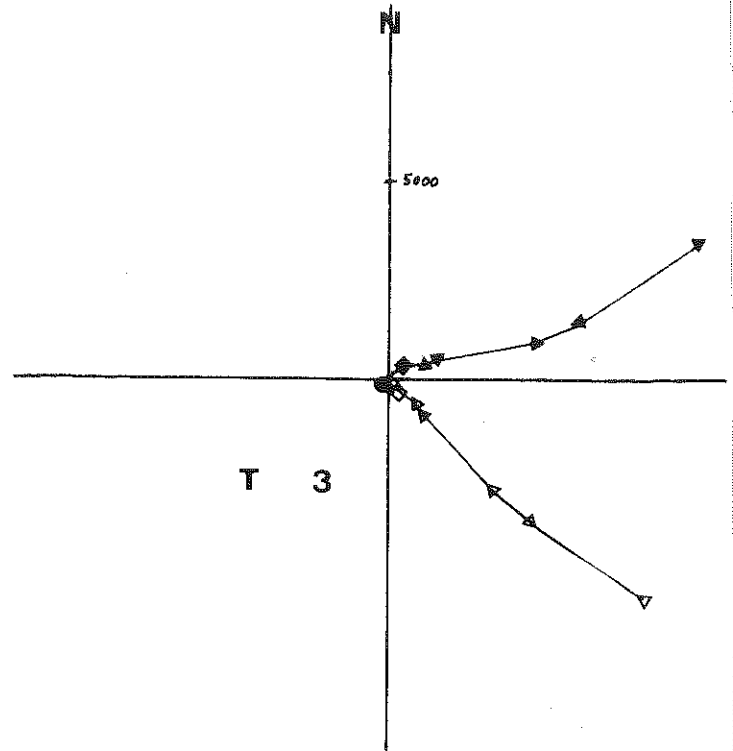
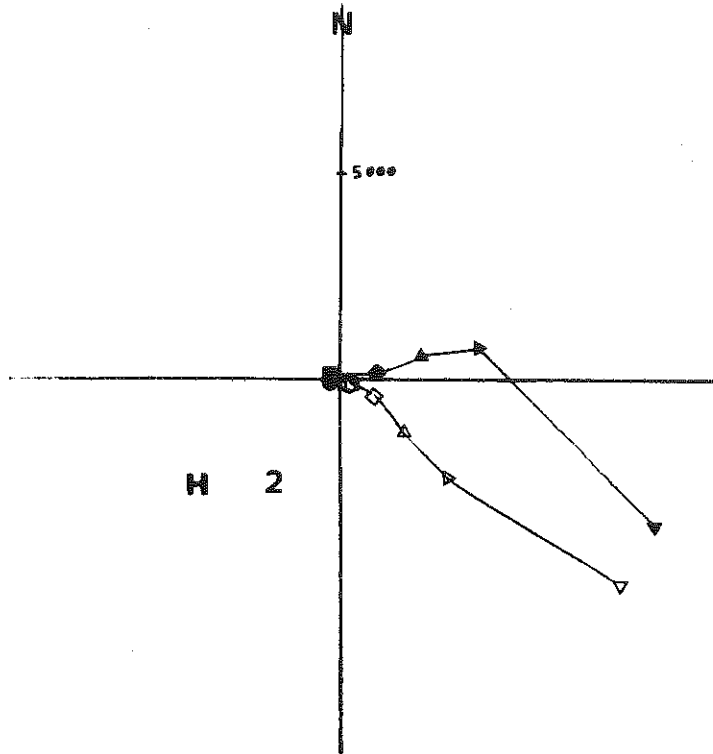
La valeur de l'aimantation spécifique (proportionnelle à la distance entre le point et l'origine des axes) est étalonnée sur l'axe Nord-haut (en  $10^{-6}$  uem cgs/g).



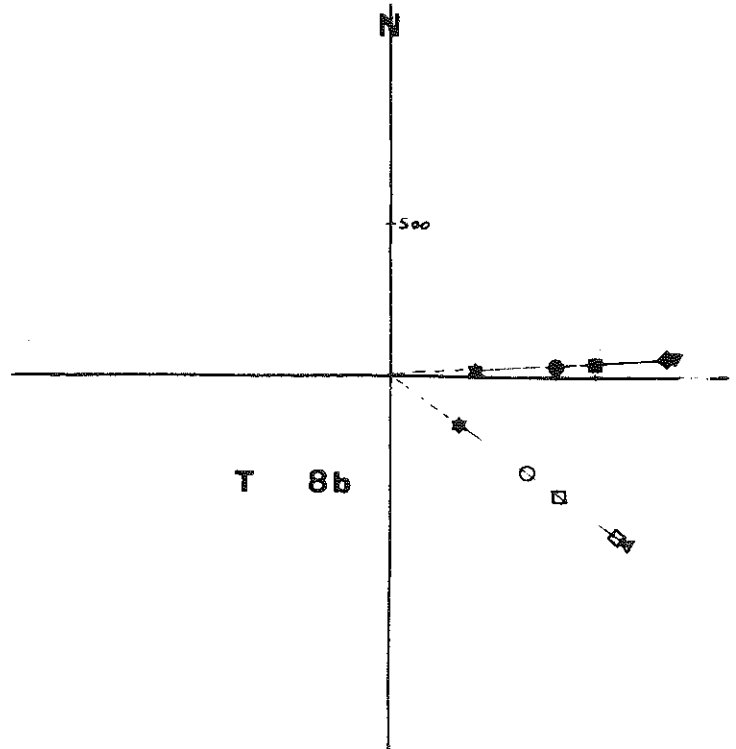
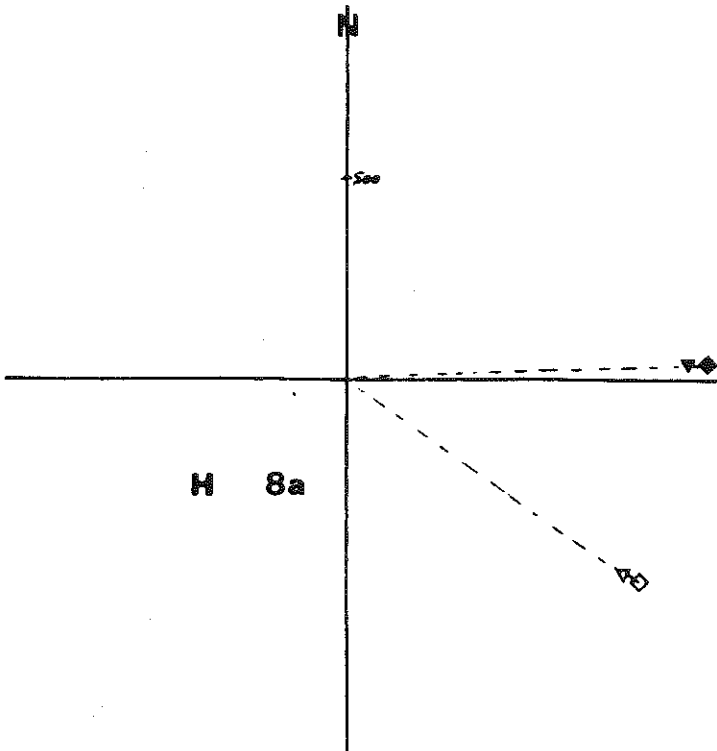
H (cm)	T	H	T	H	T
0	0°	200	300°	600	600°
50	100°		400°	1000	630°
100	150°	600	450°	1200	660°
	200°		500°	1400	670°

Univ. J. Fourier - O.S.U.G.  
 MAISON DES GEOSCIENCES  
 DOCUMENTATION  
 B.P. 53  
 F. 38041 GRENOBLE CEDEX  
 Tél. 04 76 63 54 27 - Fax 04 76 51 40 58  
 Mail : ptalour@ujf-grenoble.fr

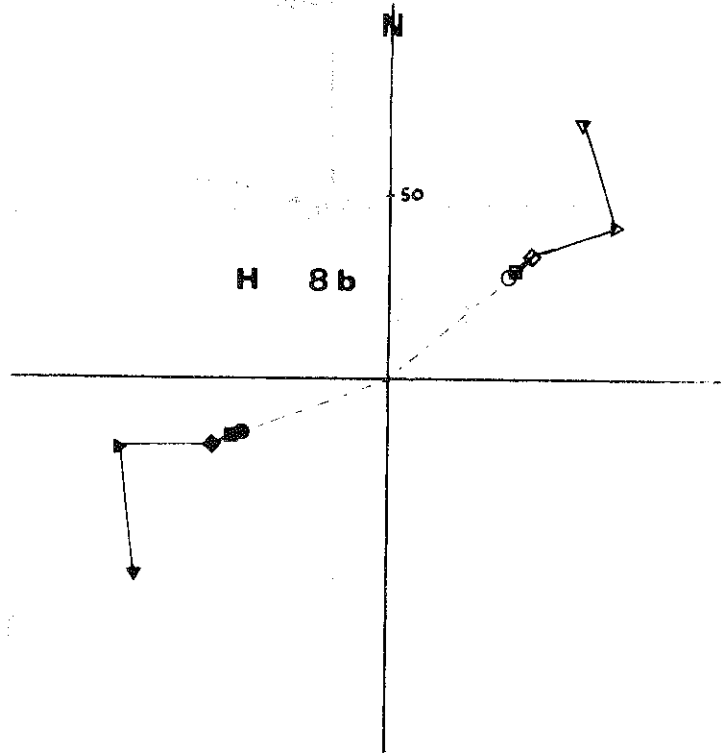
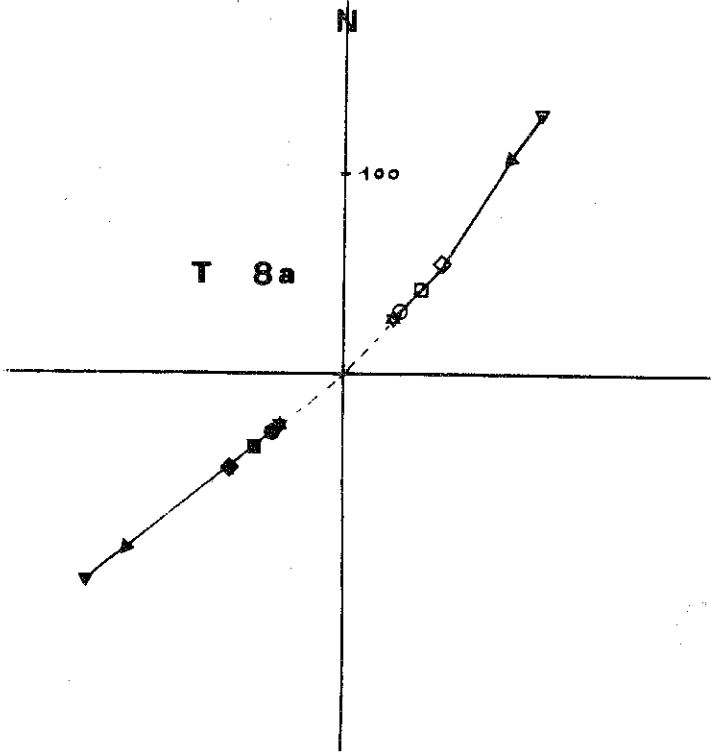
19 AOÛT 2003



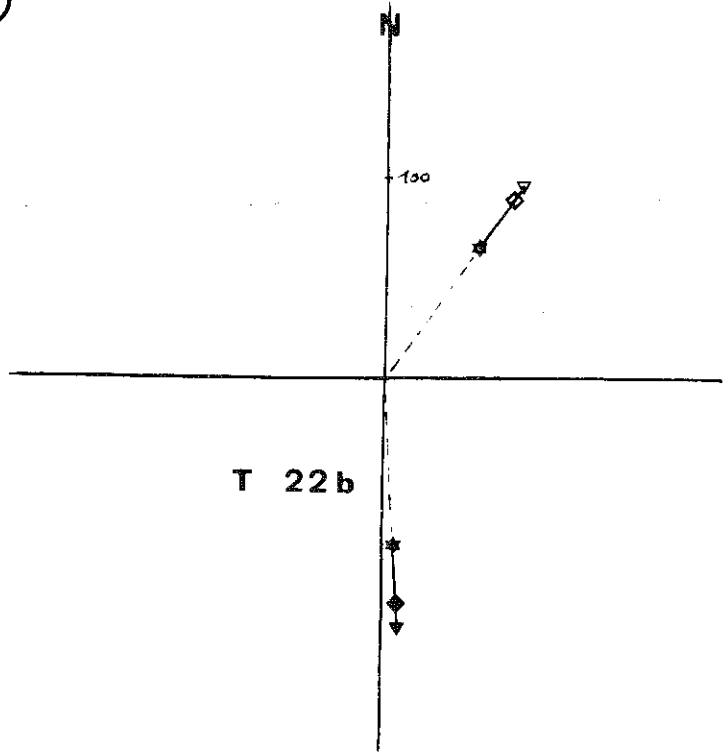
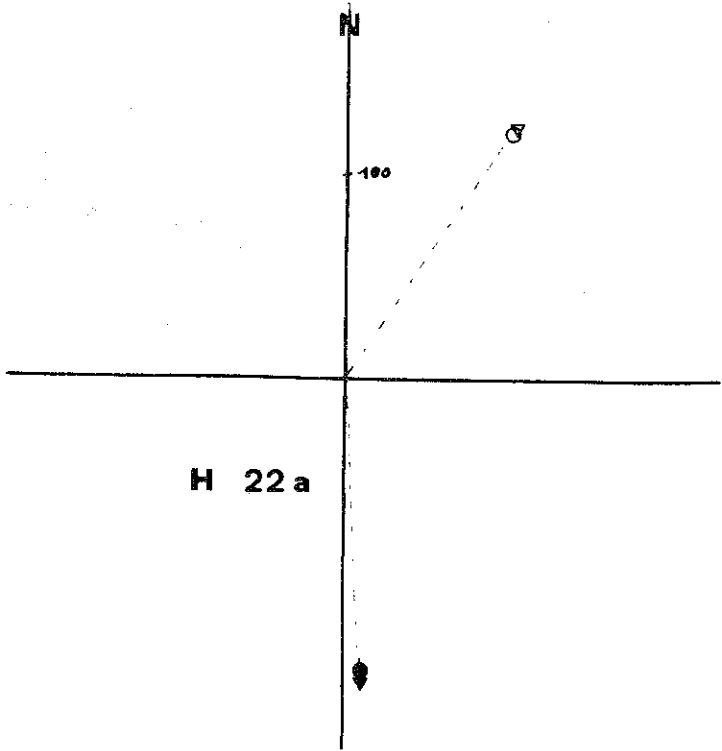
VII (1)

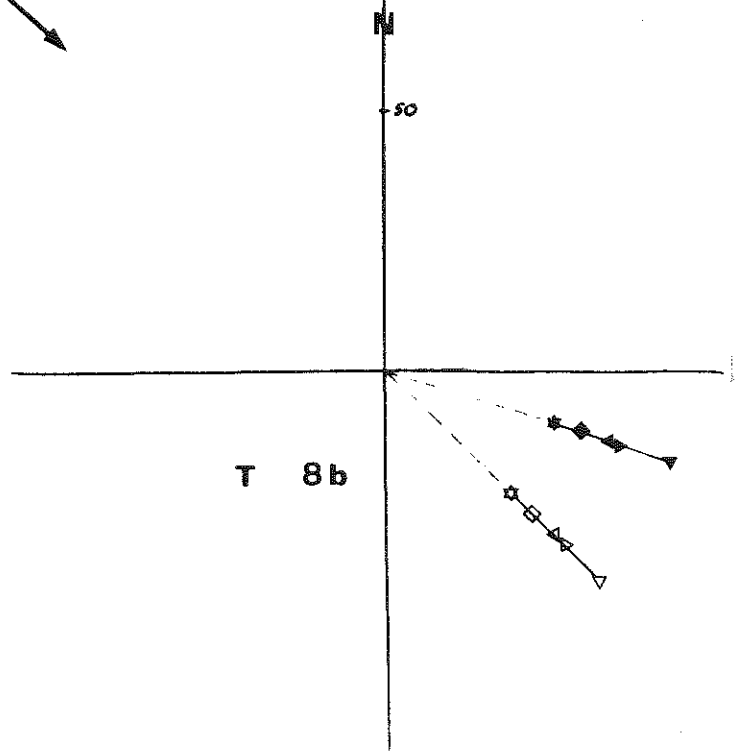
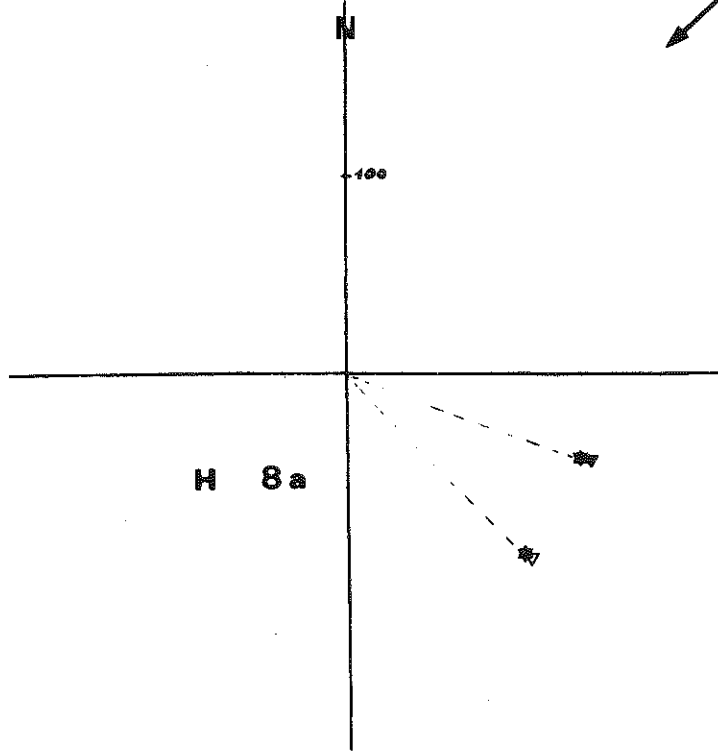
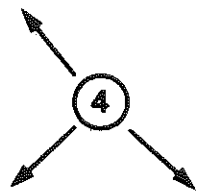
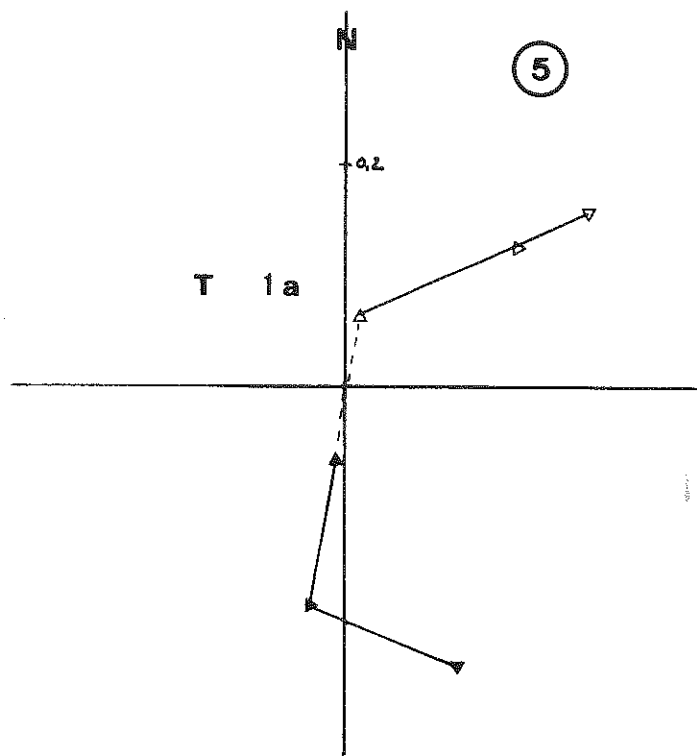
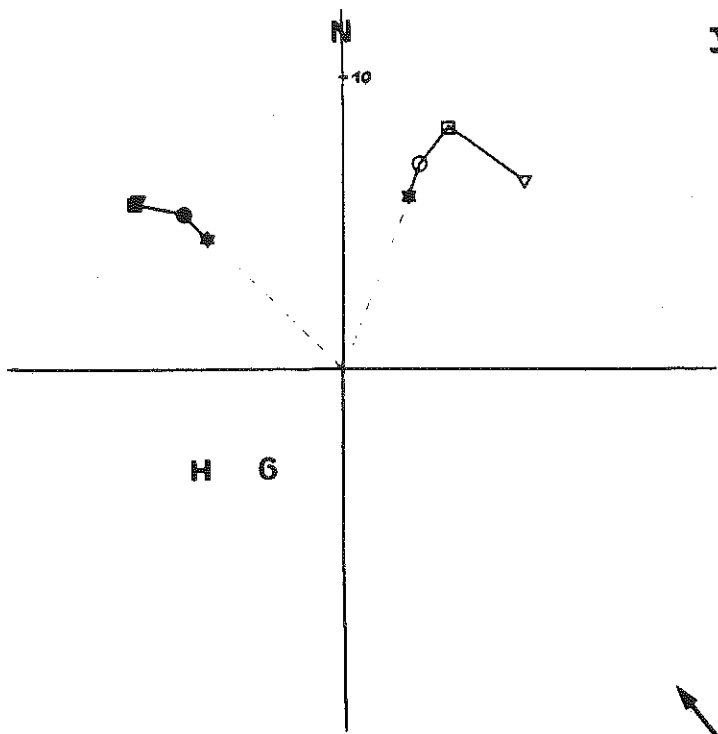


VI (2)

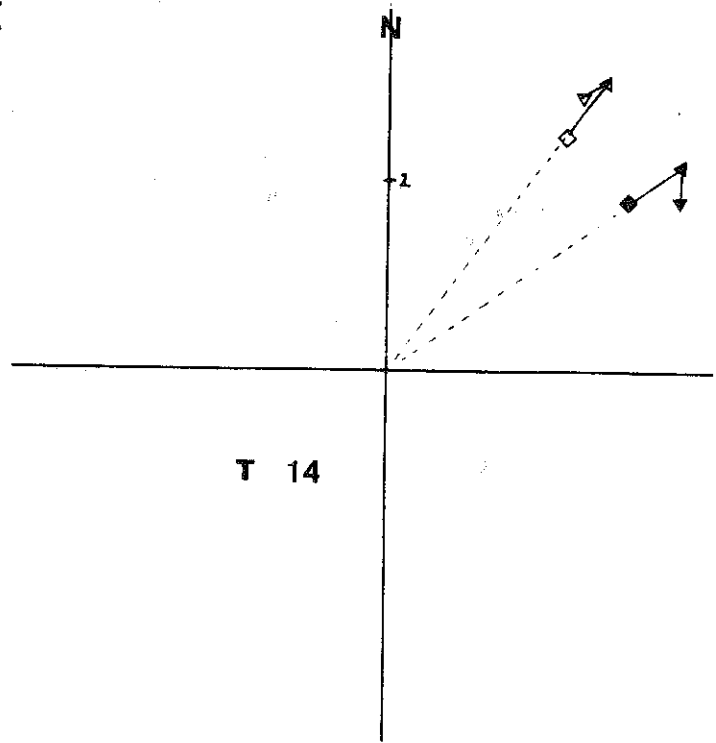
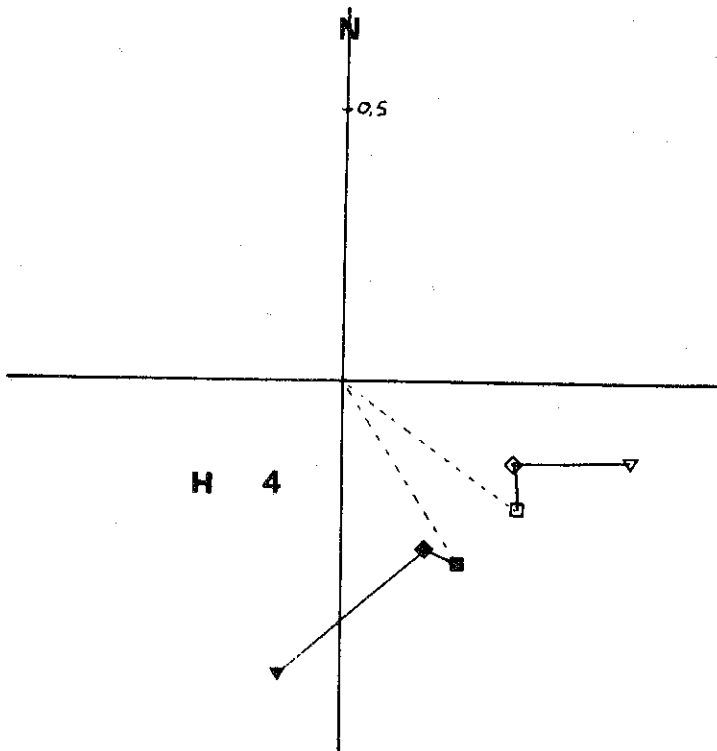


3

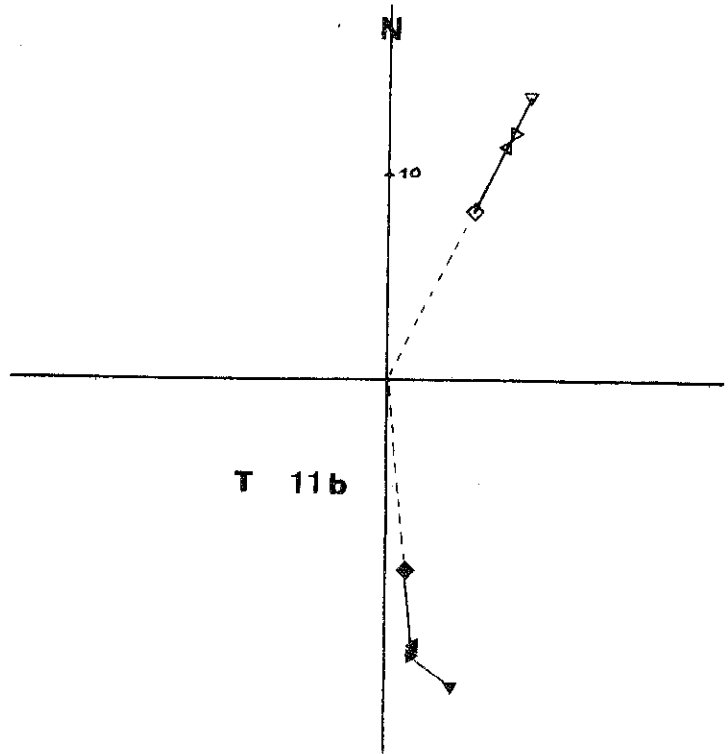
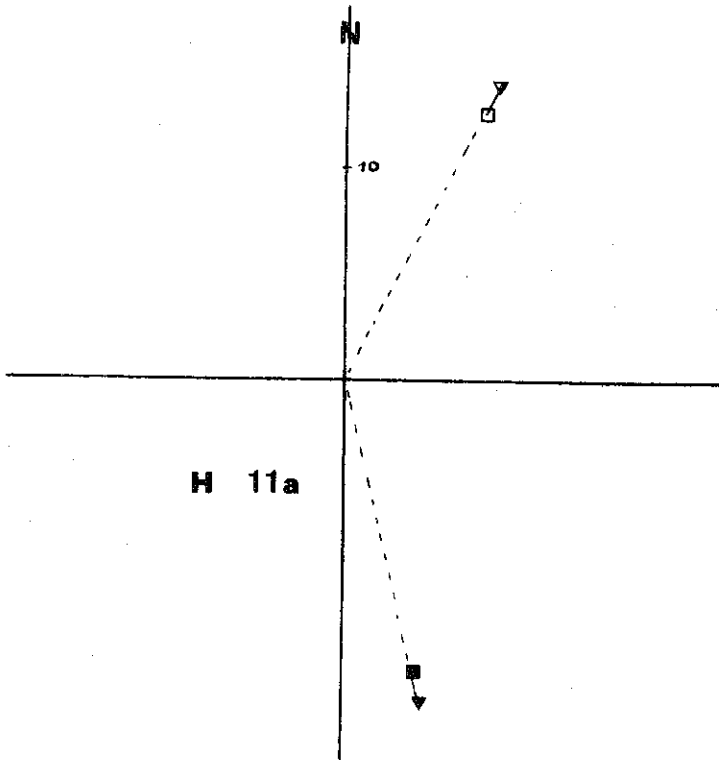




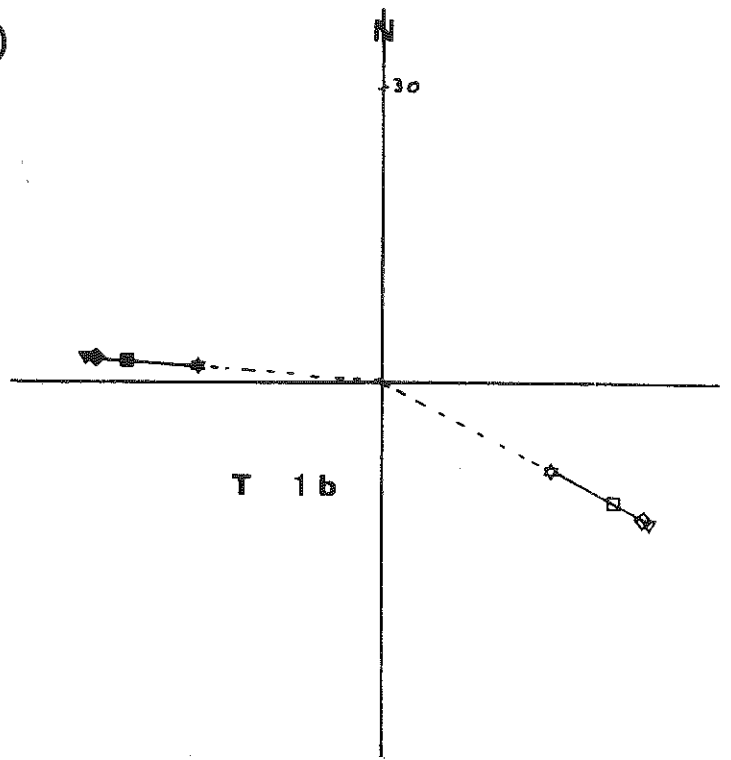
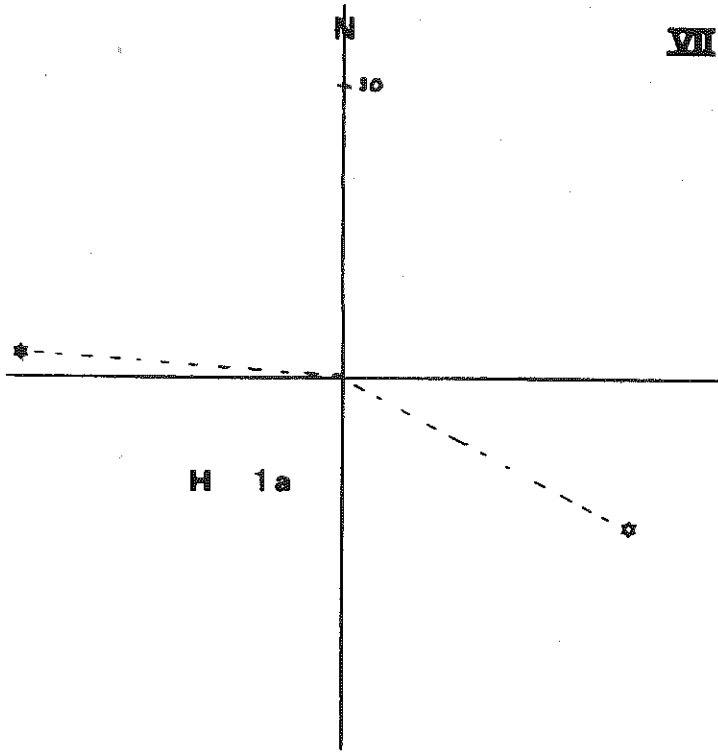
**VII**



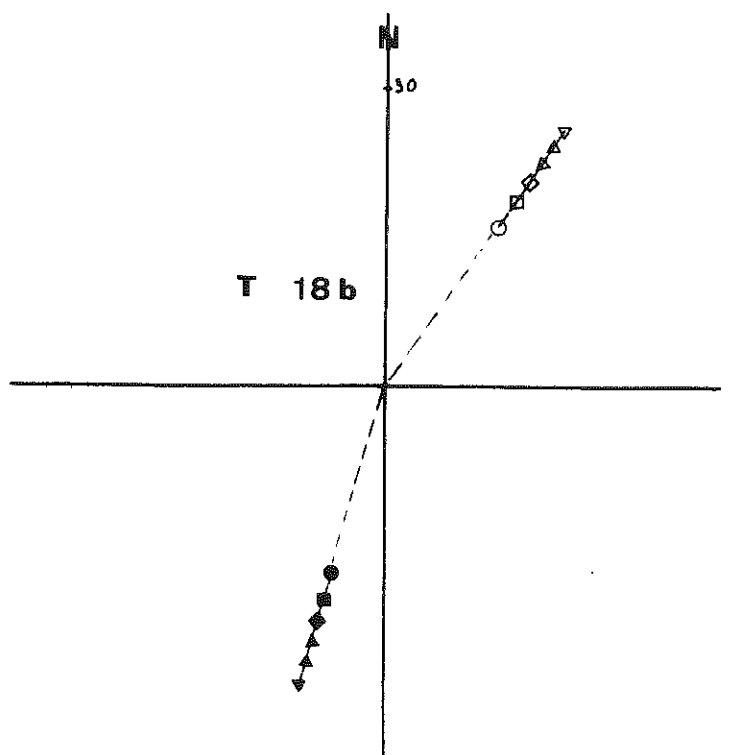
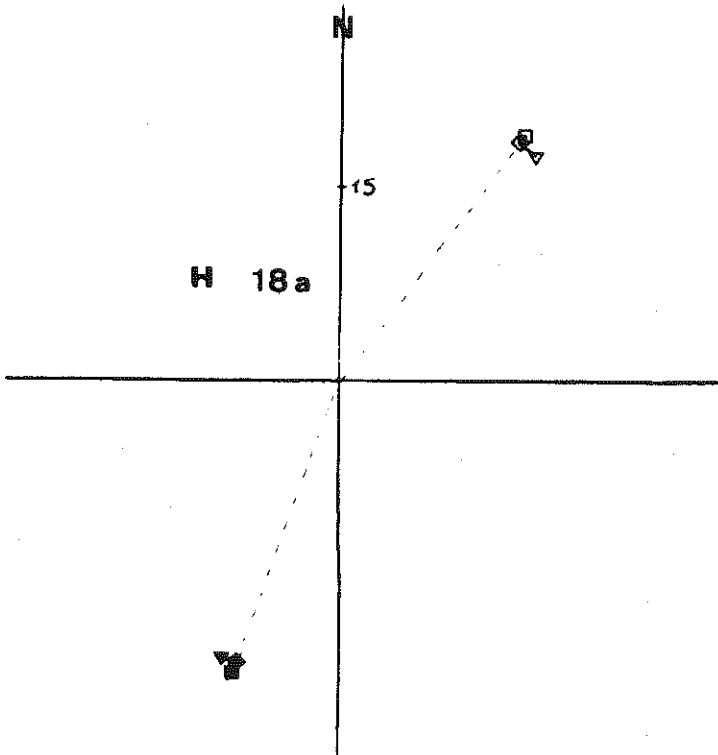
6



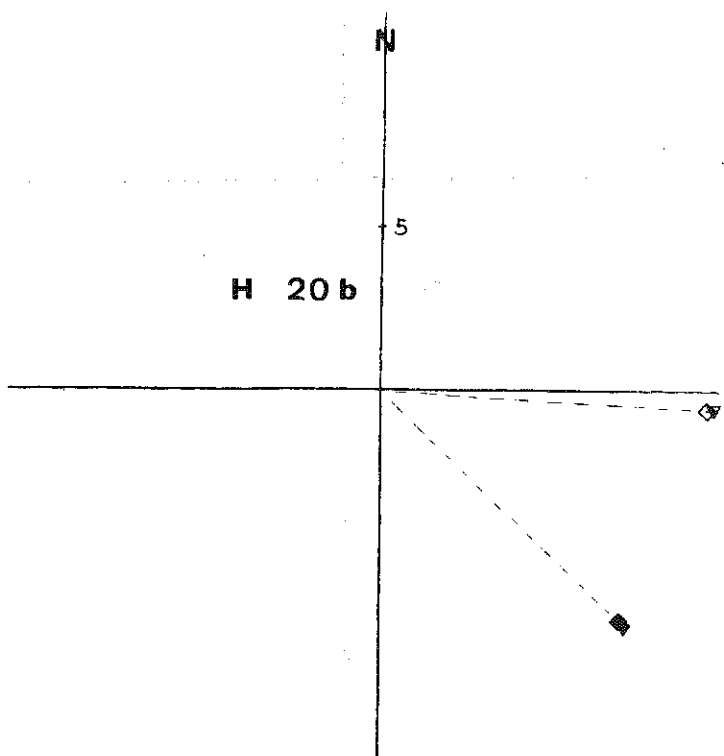
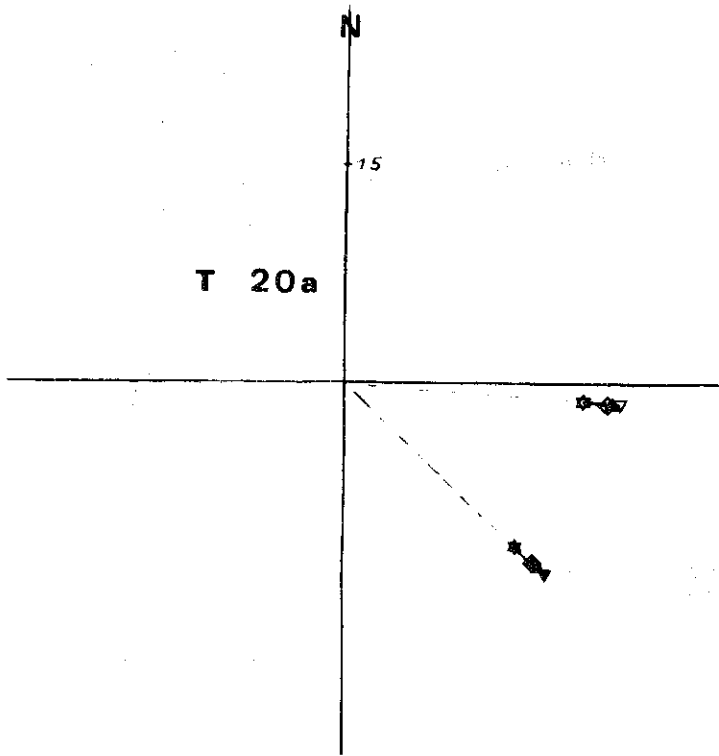
VII (7)



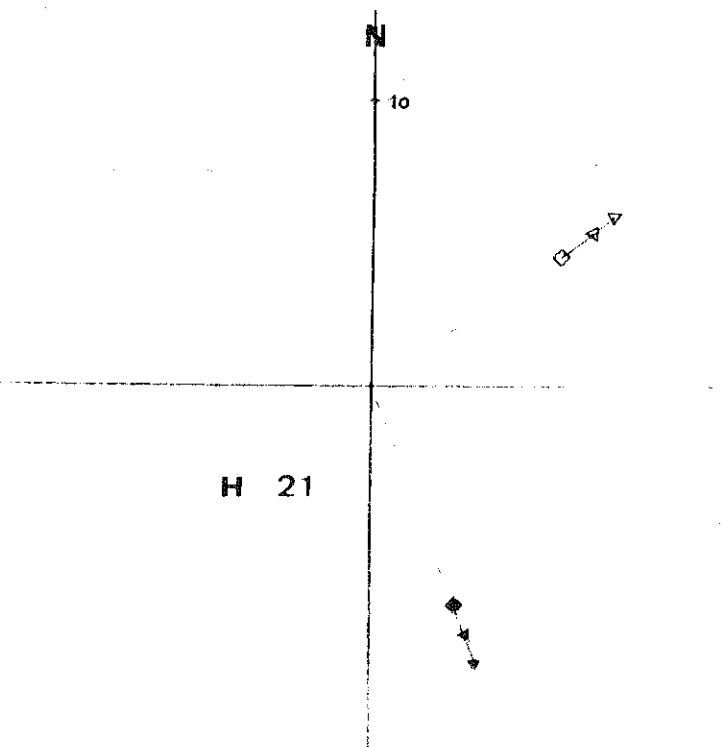
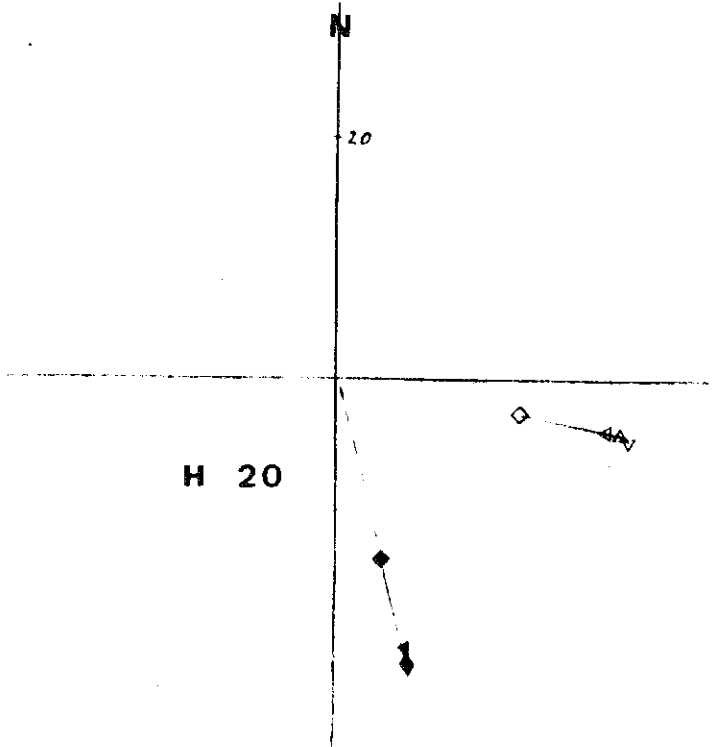
(8)



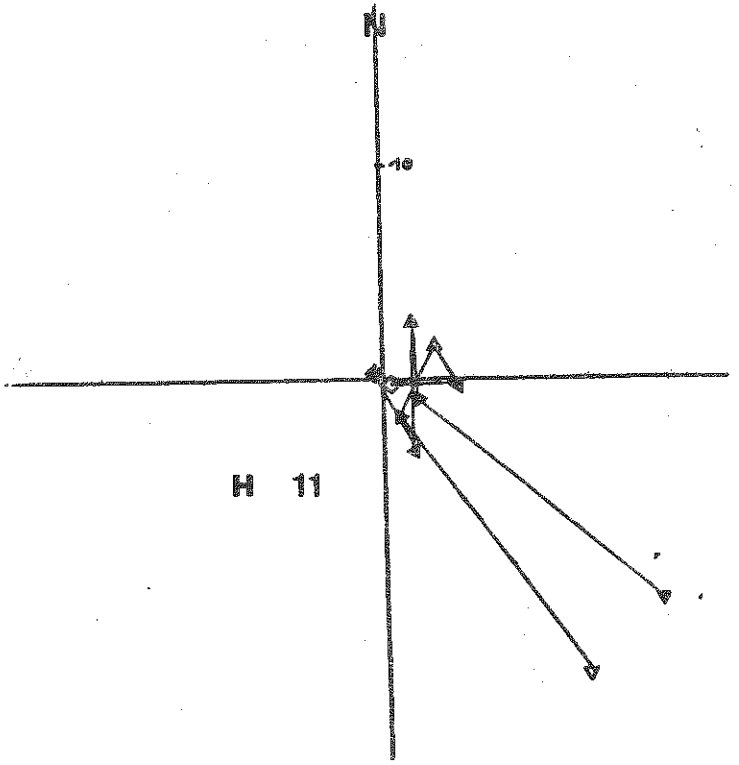
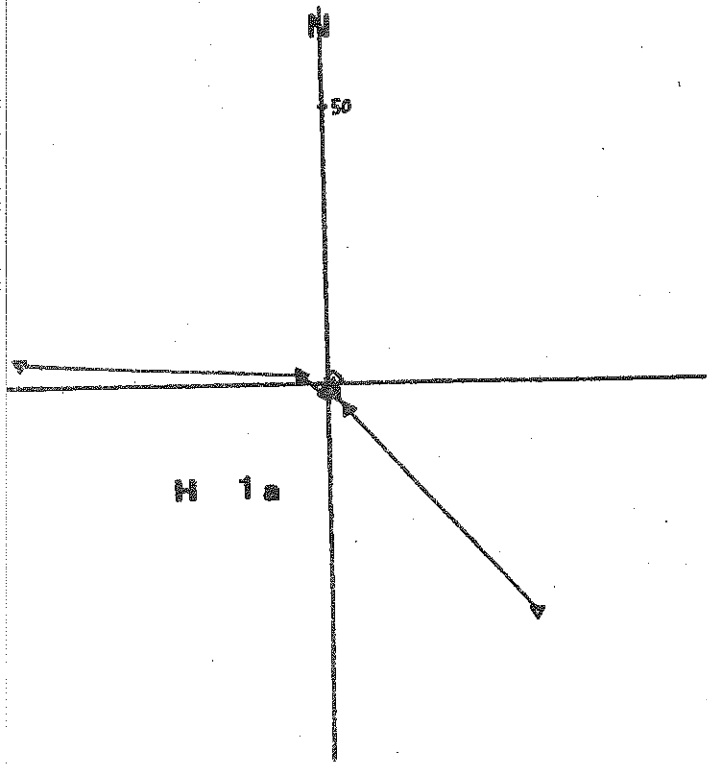
VII (9)



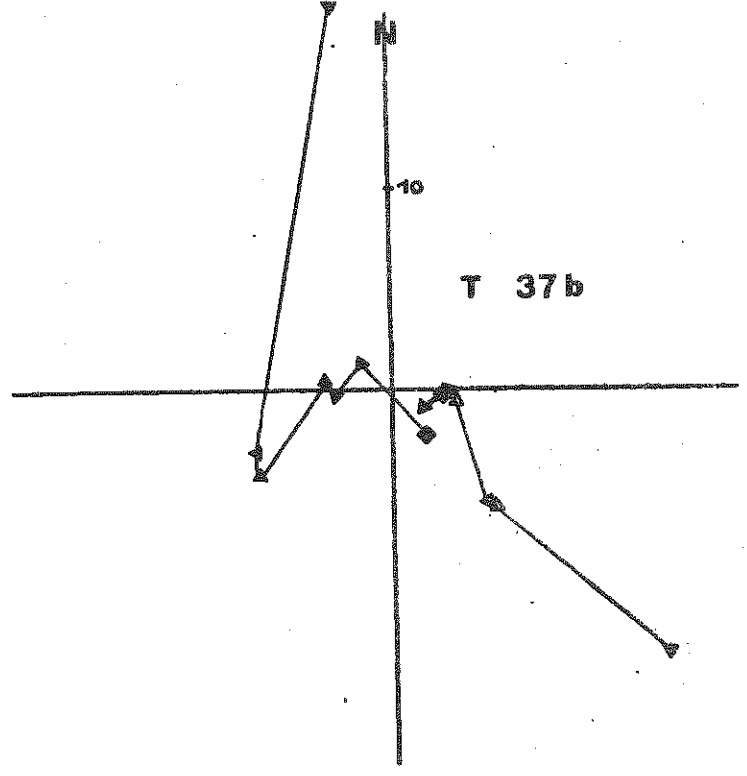
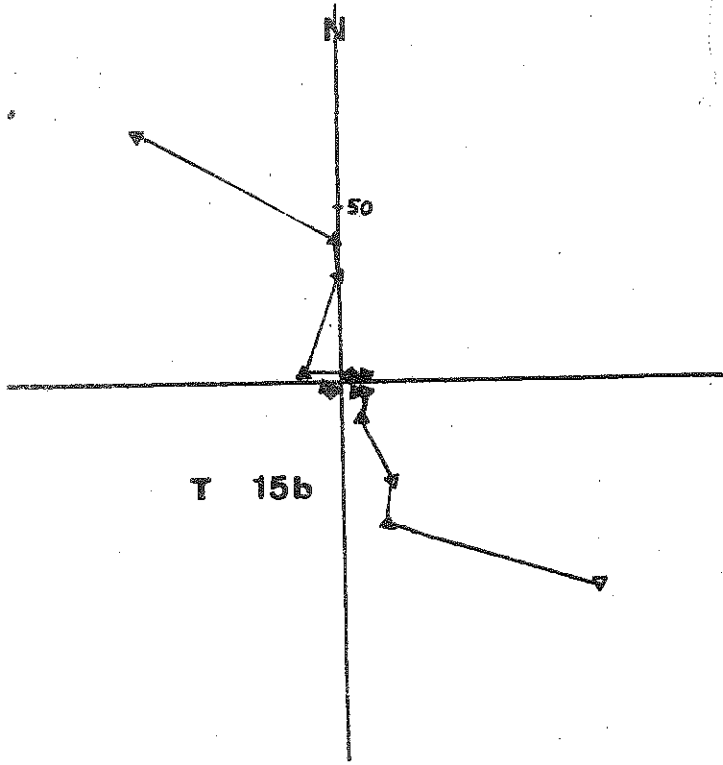
(10)



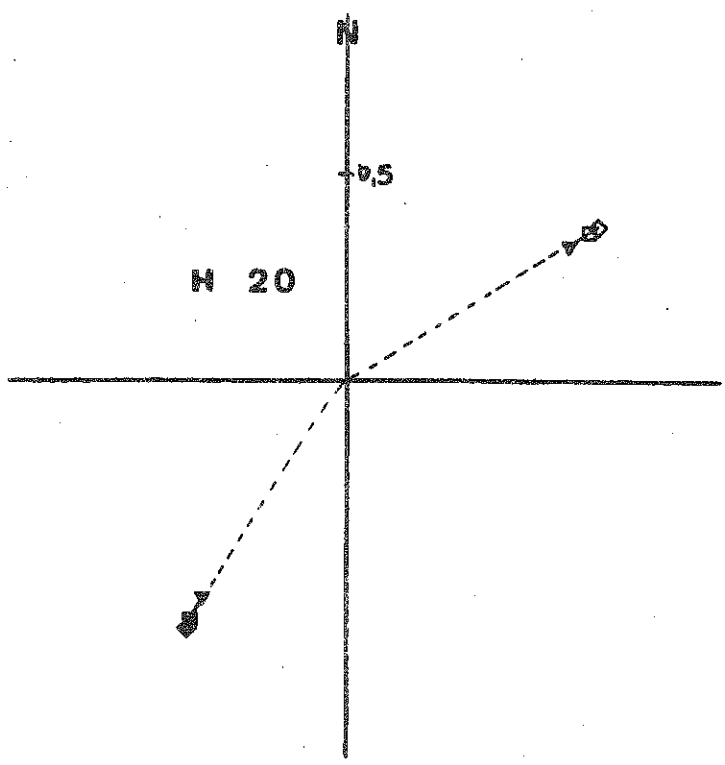
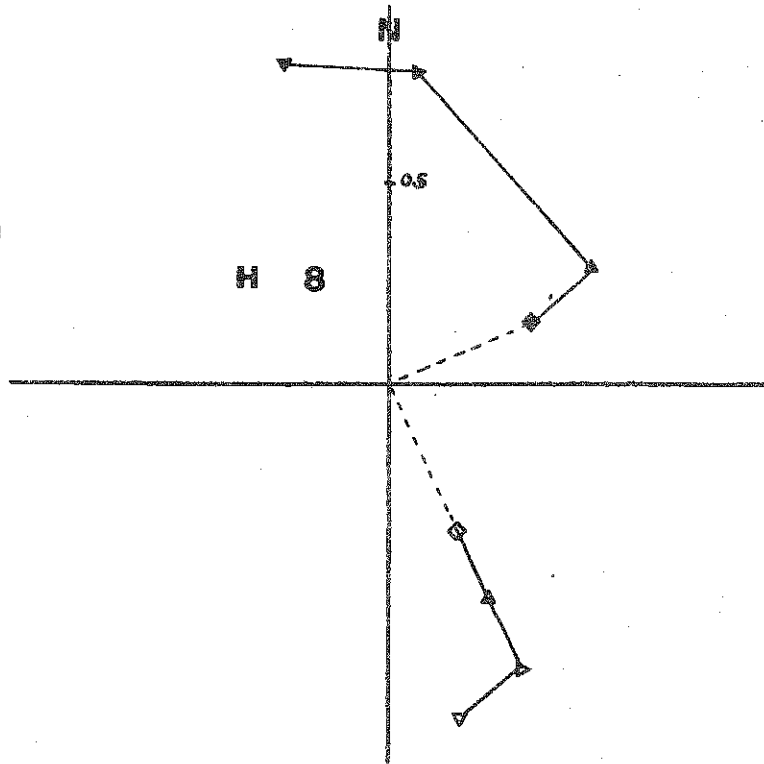




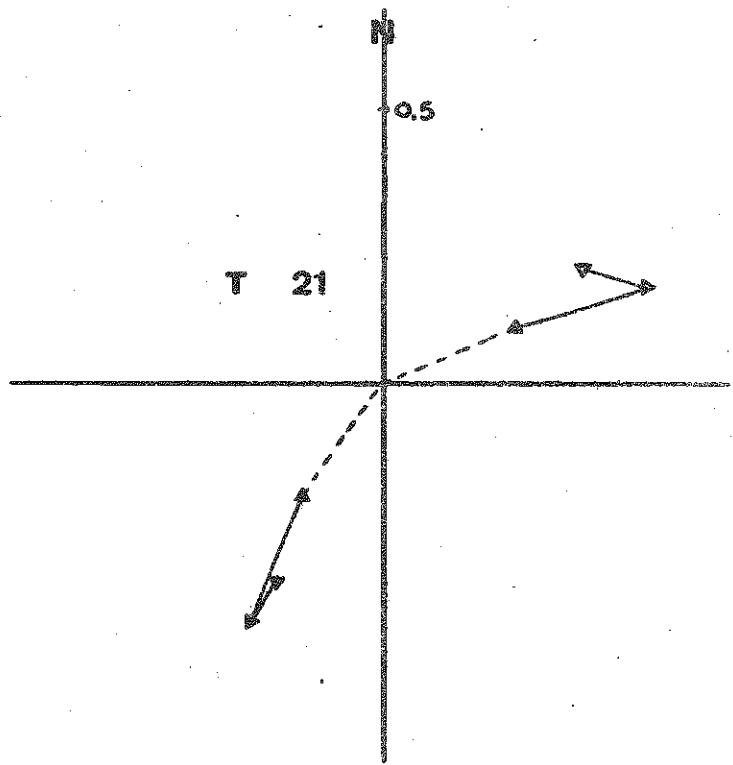
VII (11)

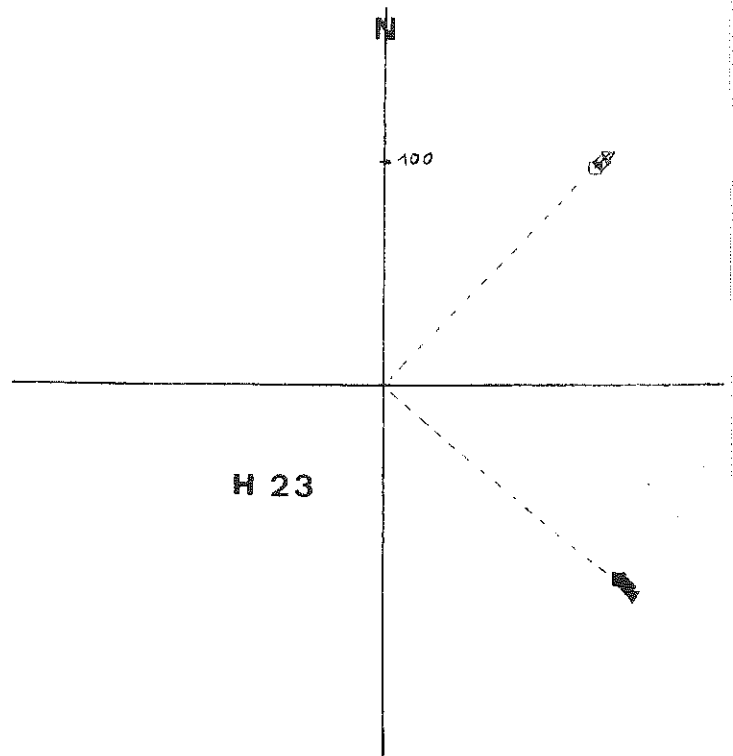
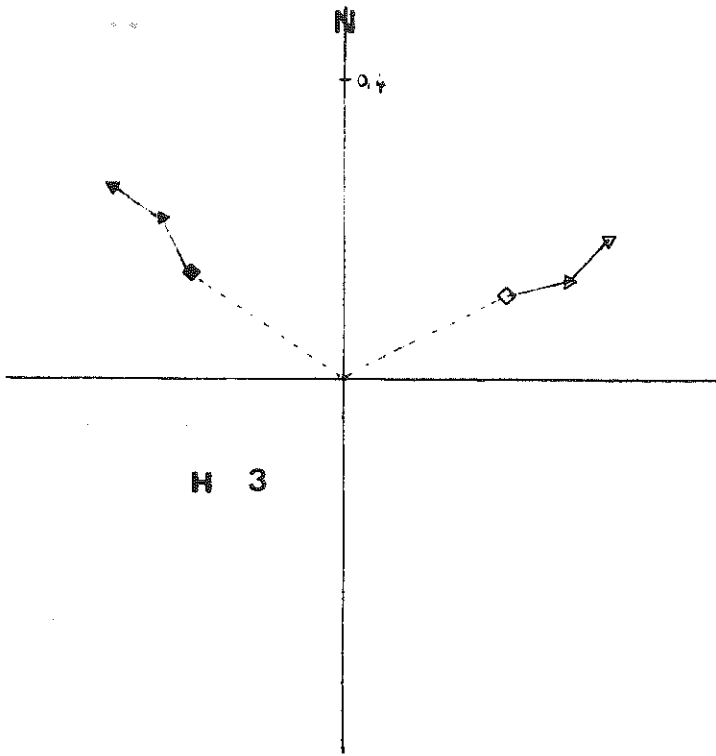


VII (12)



(13)





VII (14)

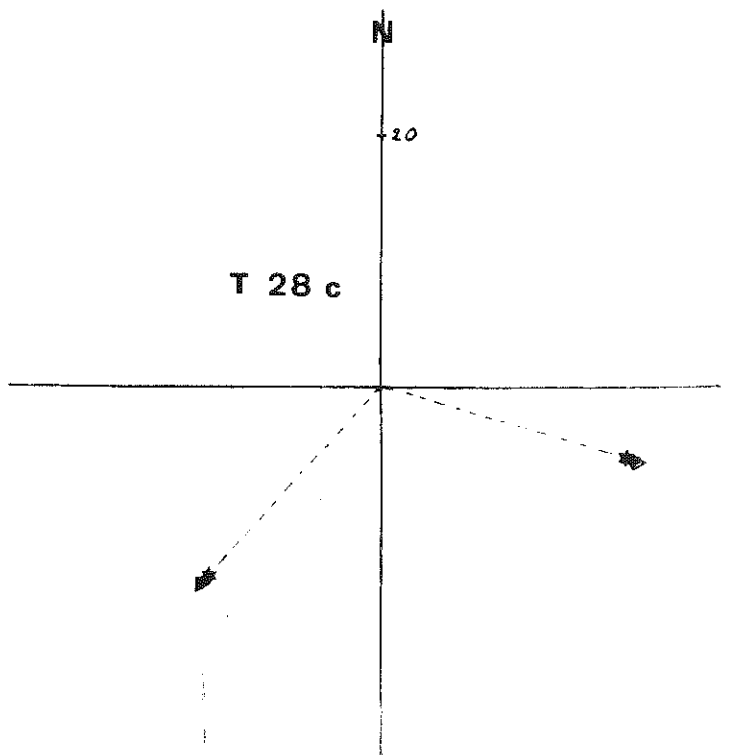
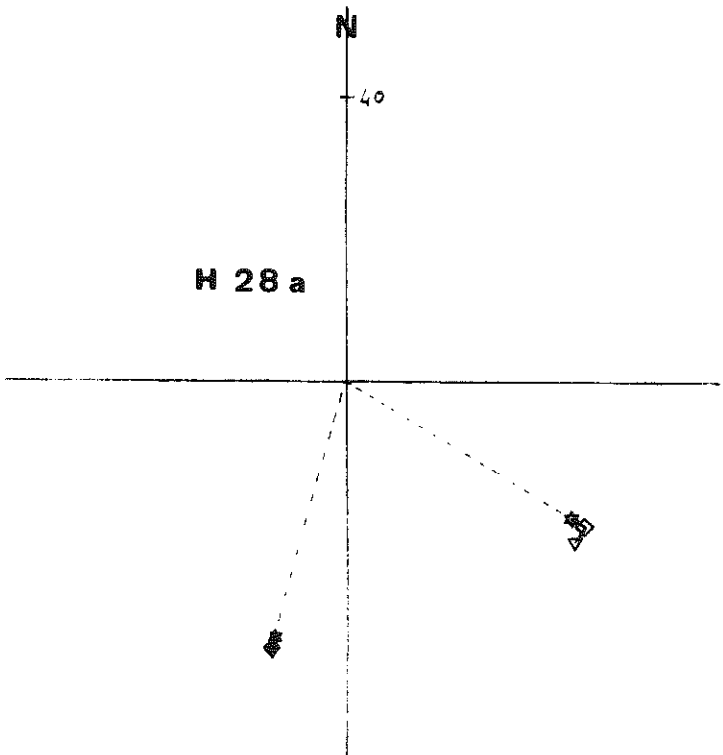


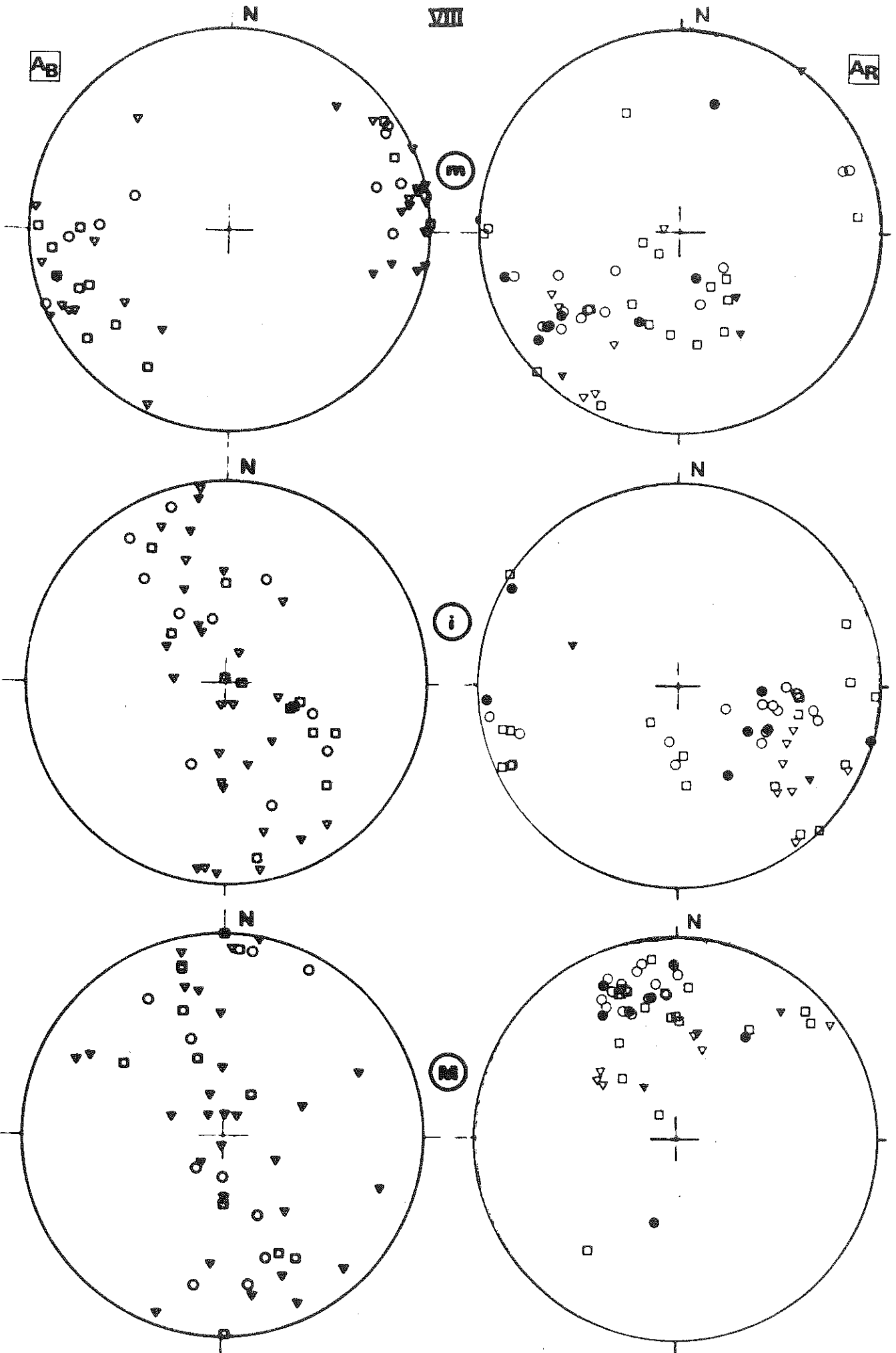
PLANCHE HORS TEXTE VIII

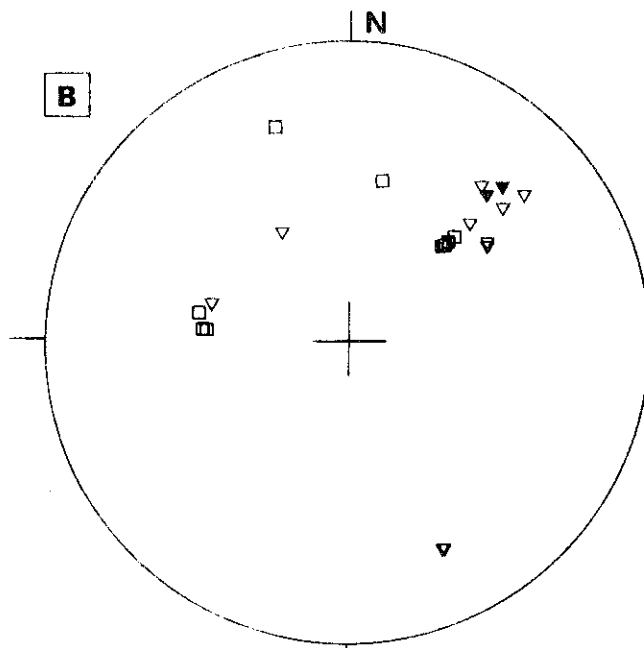
Orientation des axes principaux de susceptibilité minimale (m),  
intermédiaire (i) et maximale (M).

F de 0 à 0,19 : triangles pleins  
de 0,20 à 0,39 : triangles vides  
de 0,40 à 0,60 : carrés vides  
de 0,61 à 0,80 : cercles vides  
de 0,81 à 1 : cercles pleins.

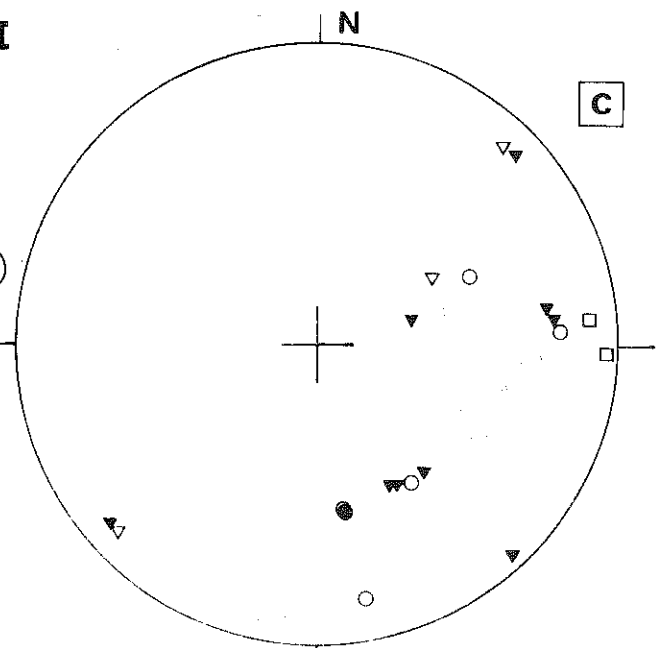
La première lettre désigne le massif et la seconde (éventuellement)  
le type de roche (G : intrusion elle même ; F : filon ; E : encaissant ;  
N : granite de Novate).

VIII

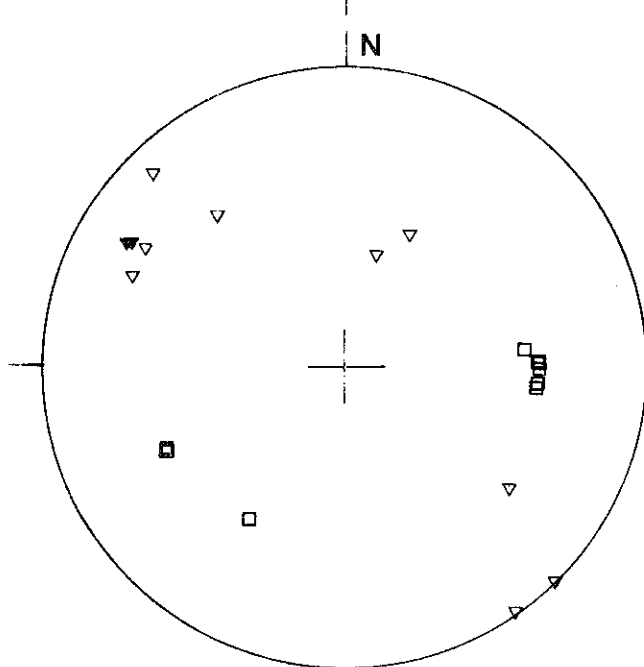




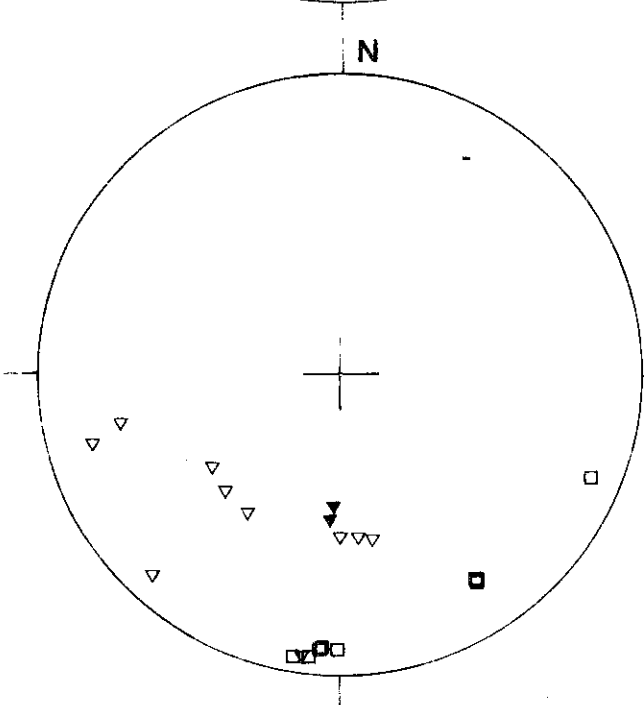
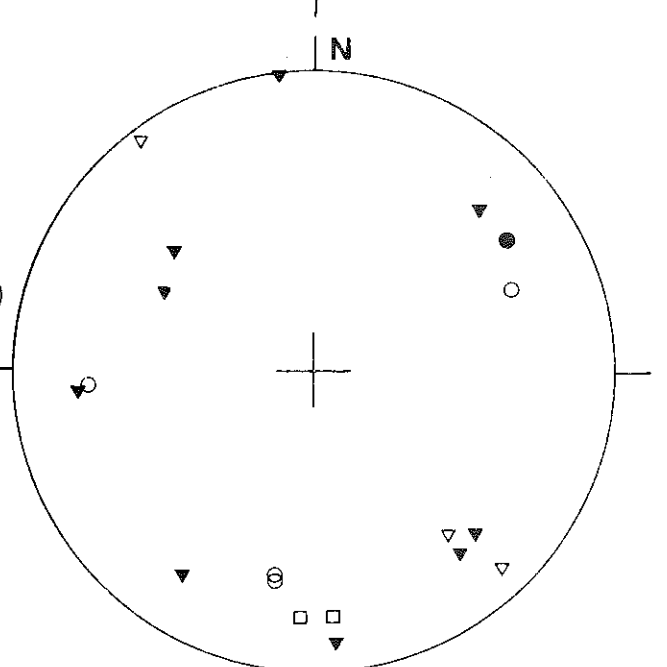
VIII



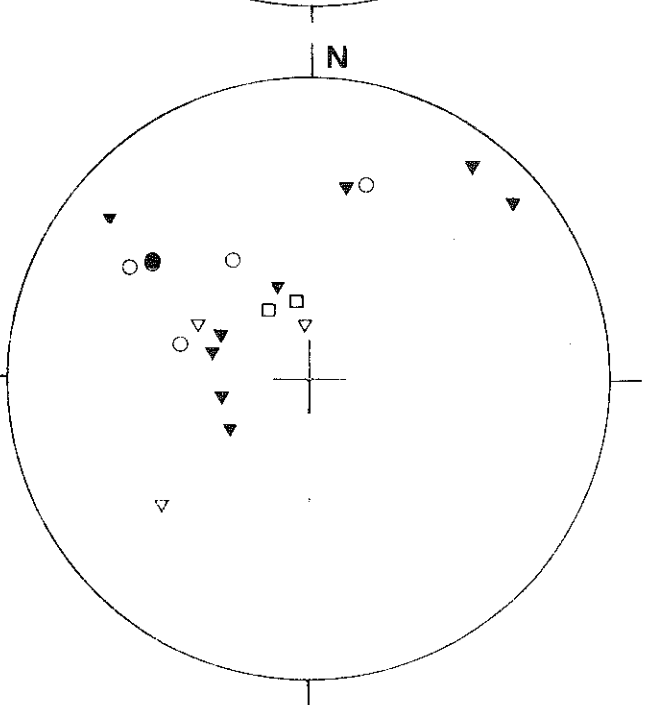
(m)



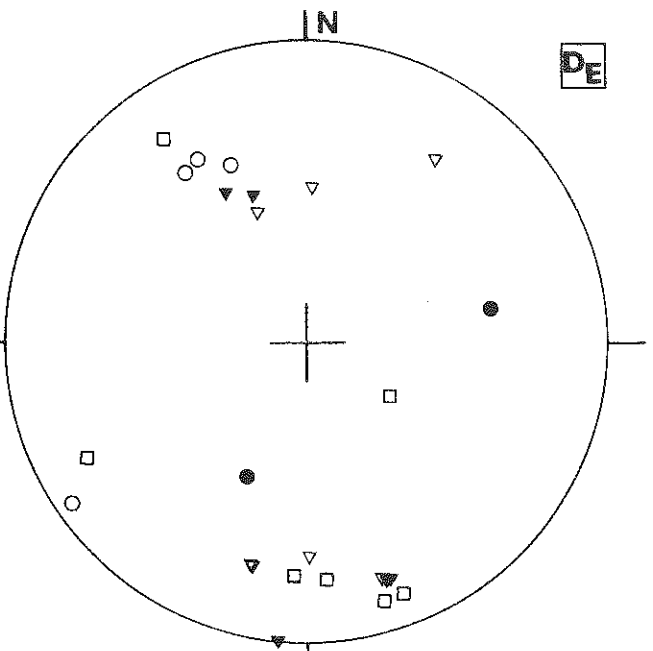
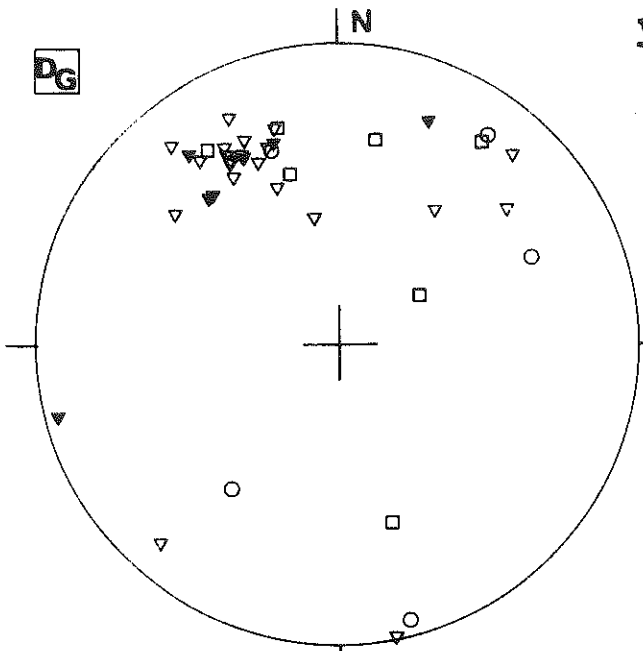
(i)



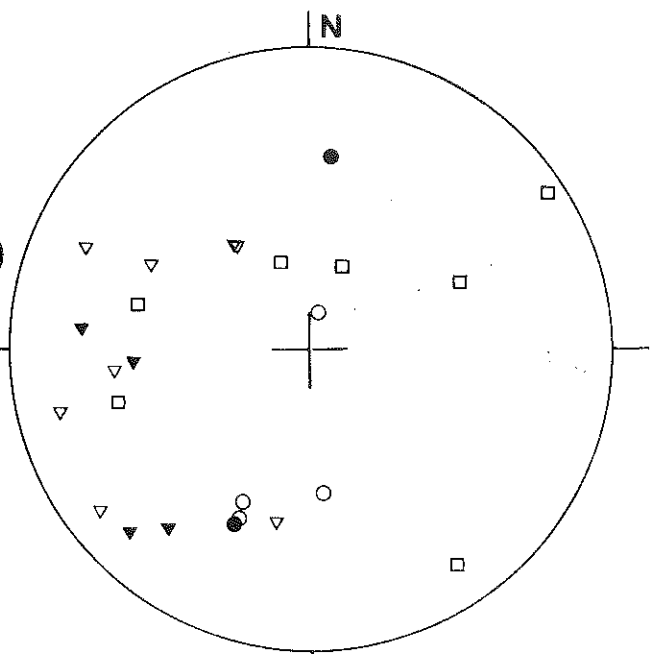
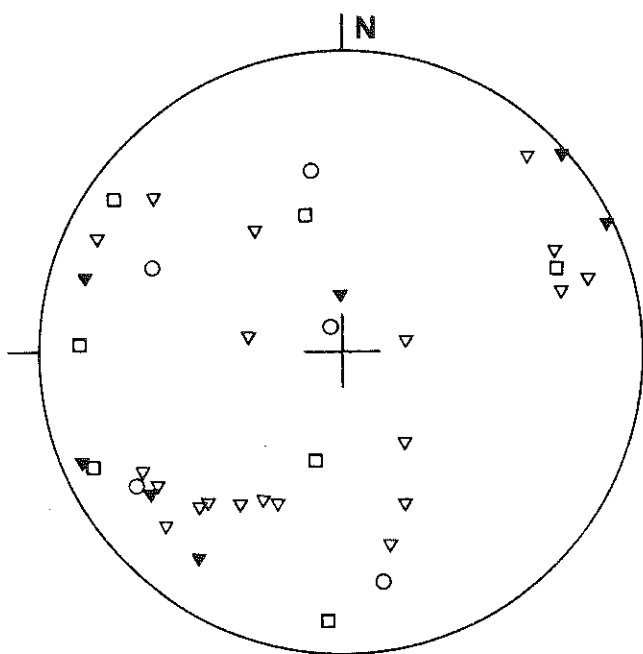
(M)



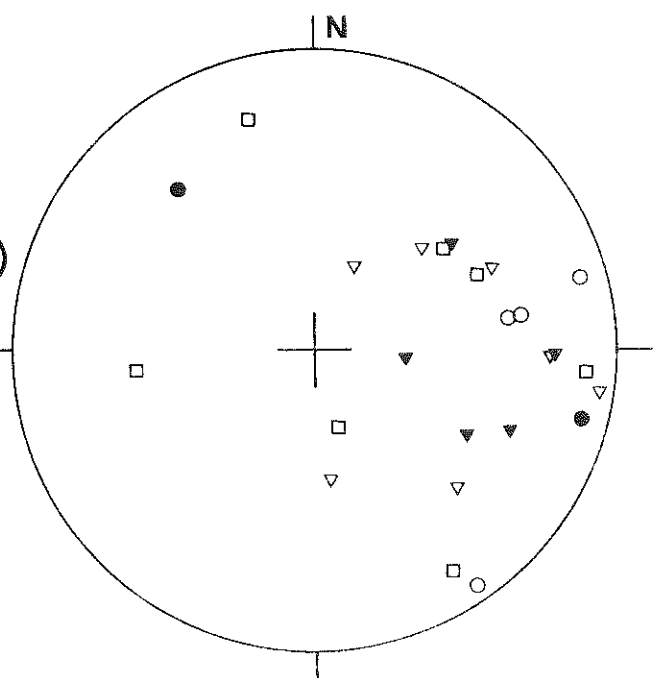
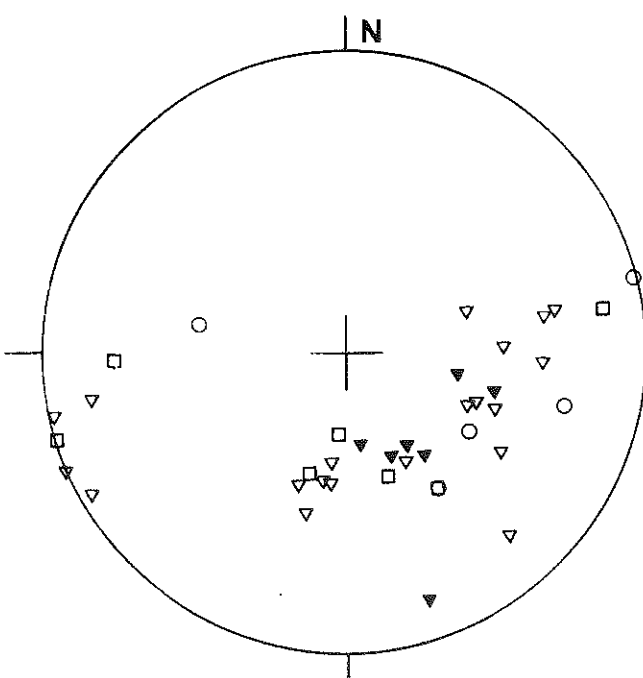
VII



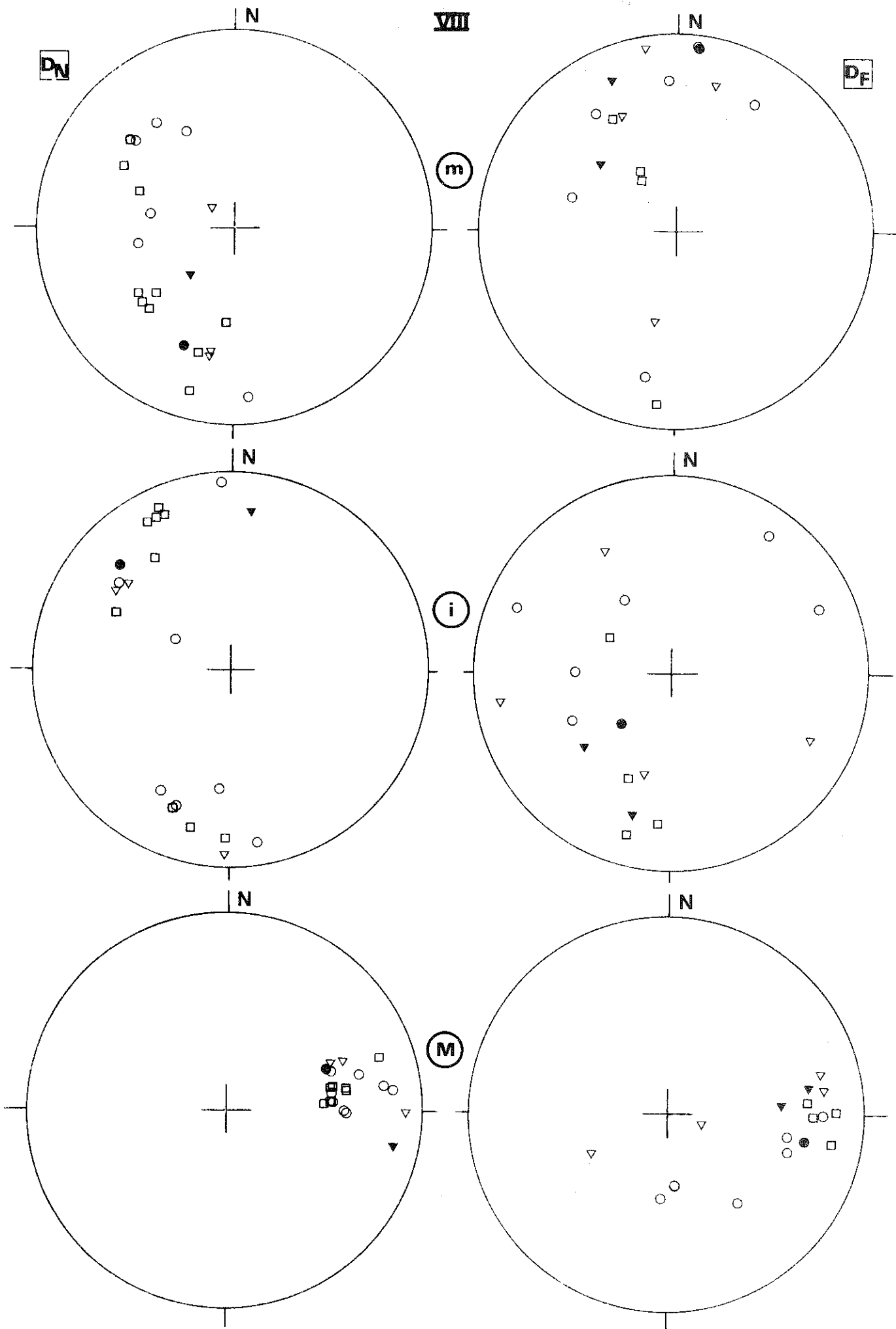
(m)



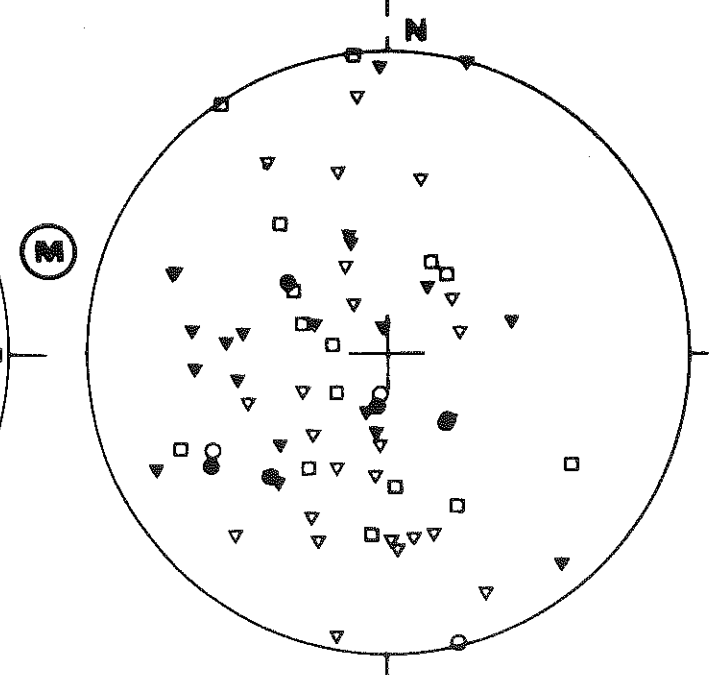
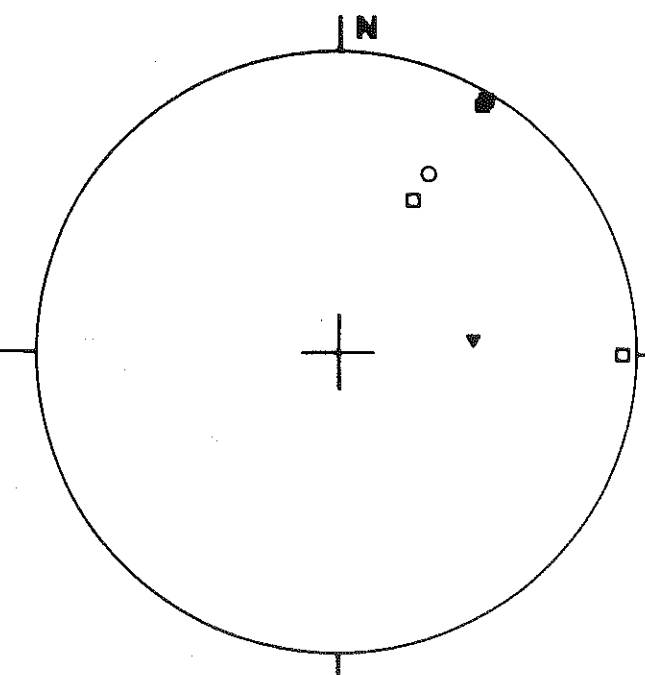
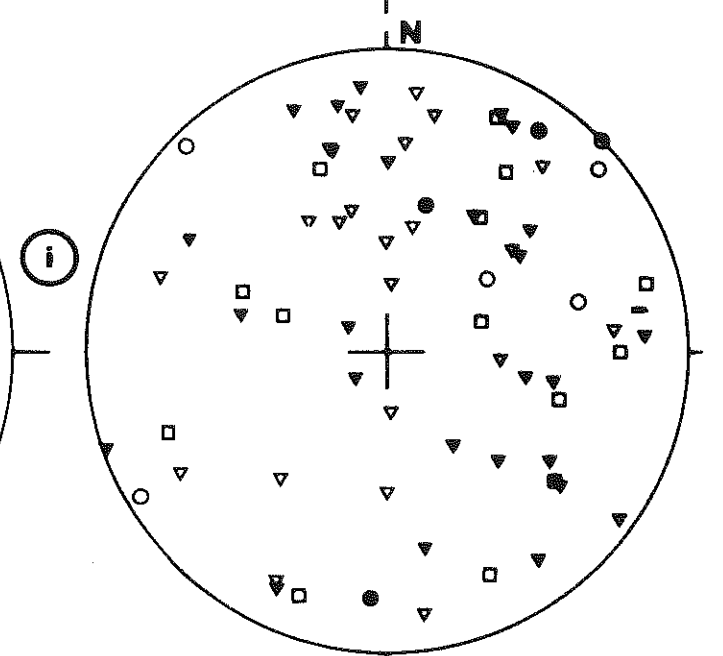
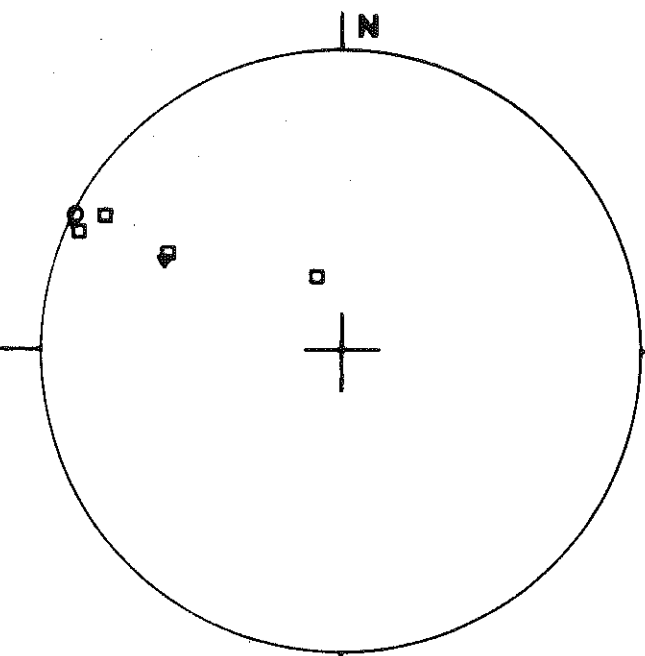
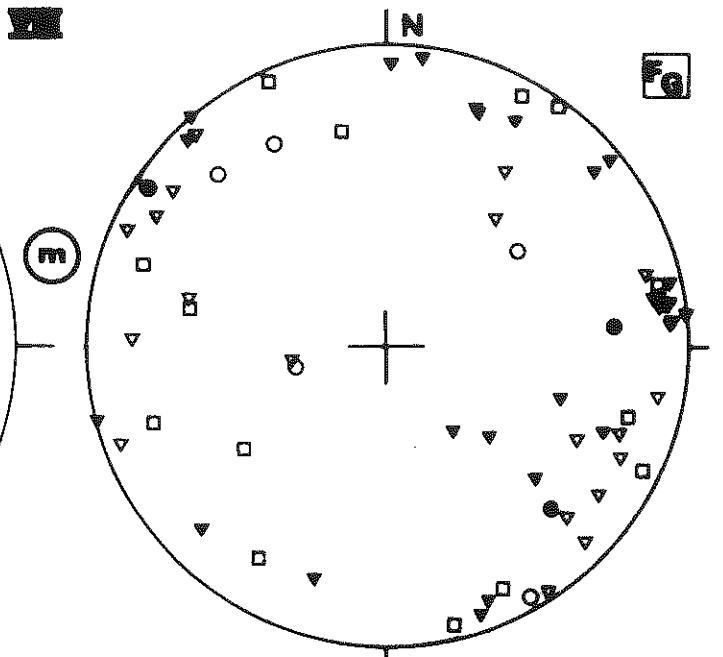
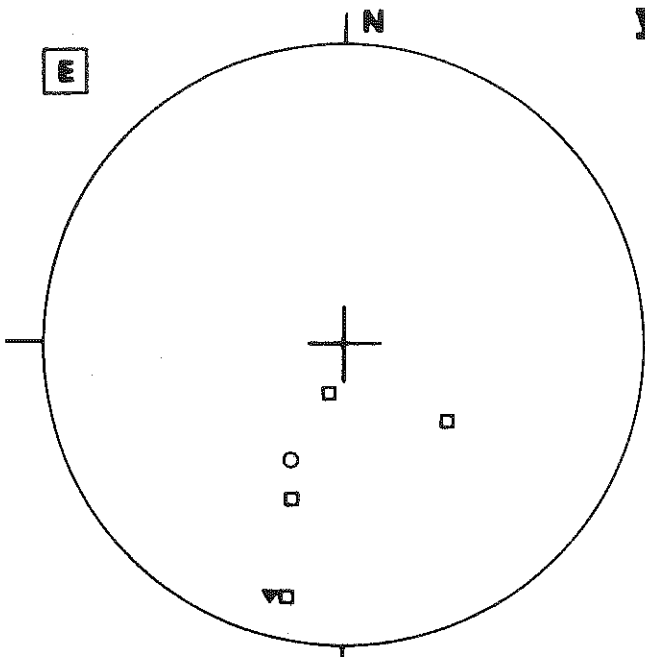
(i)

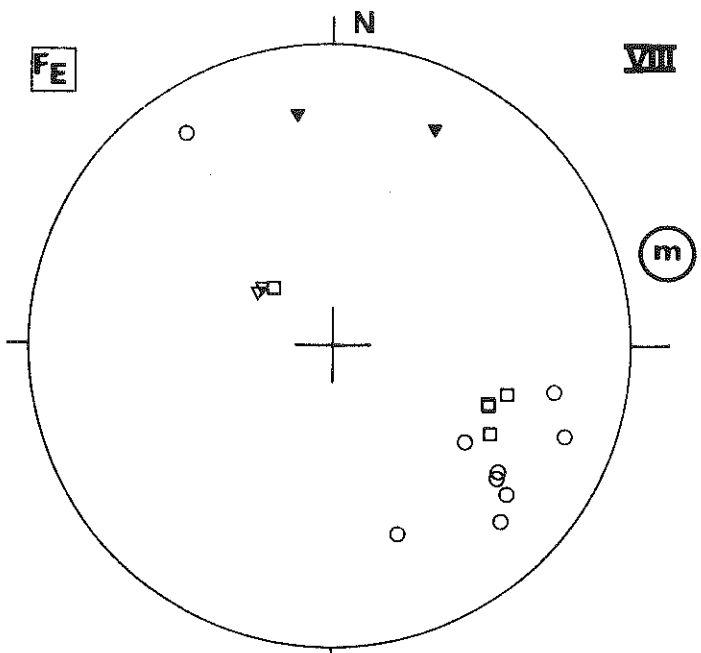


(M)

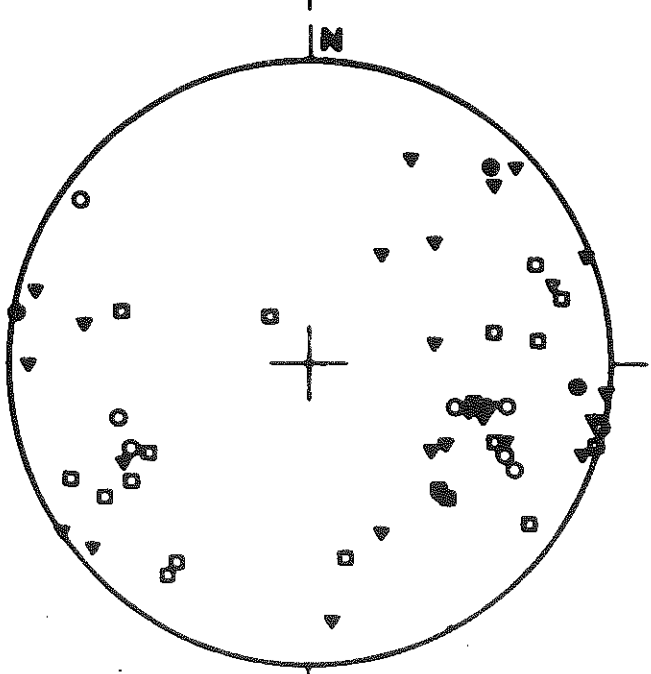
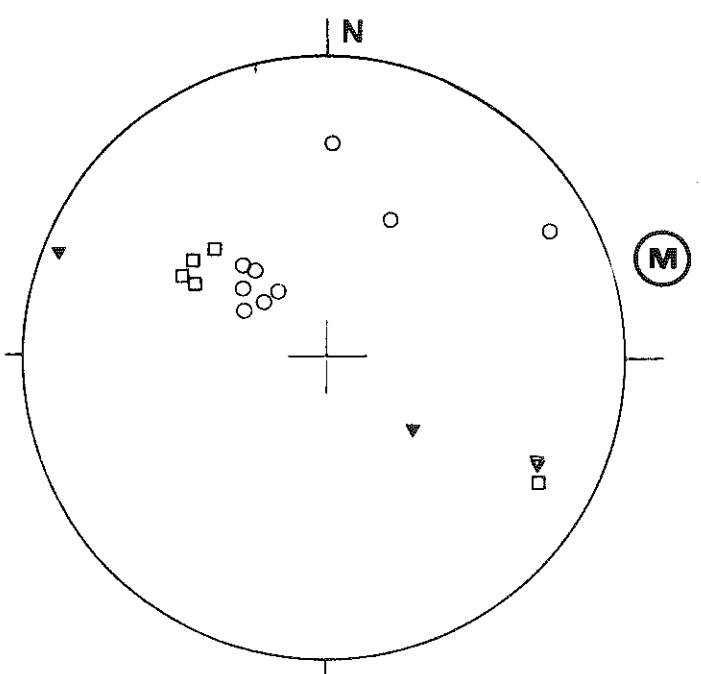
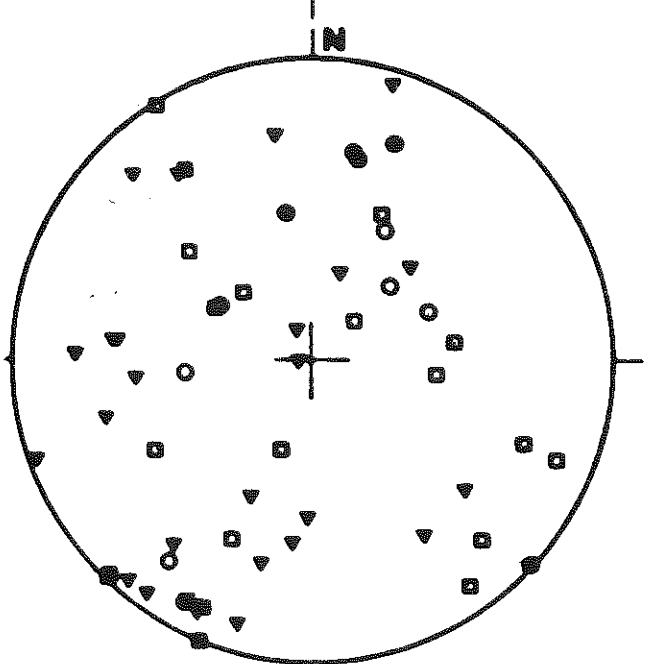
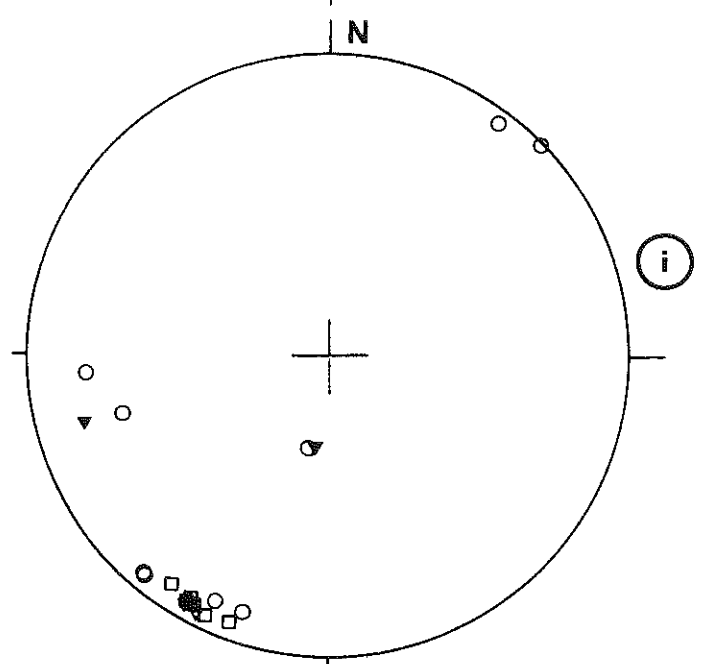
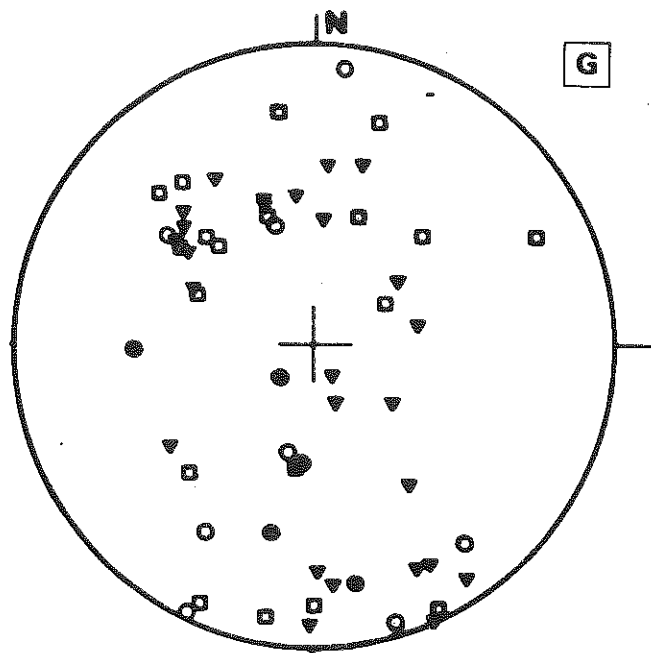


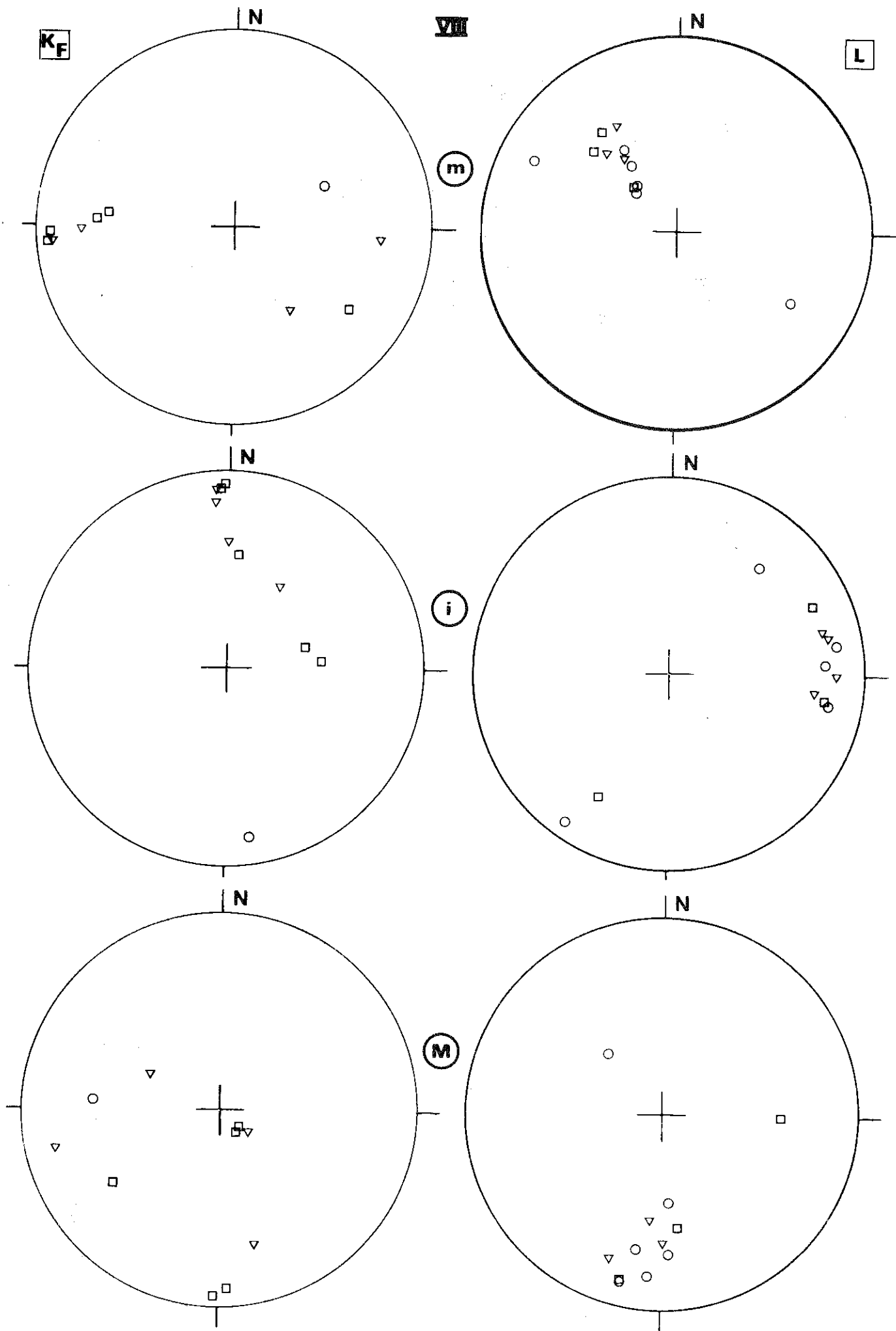


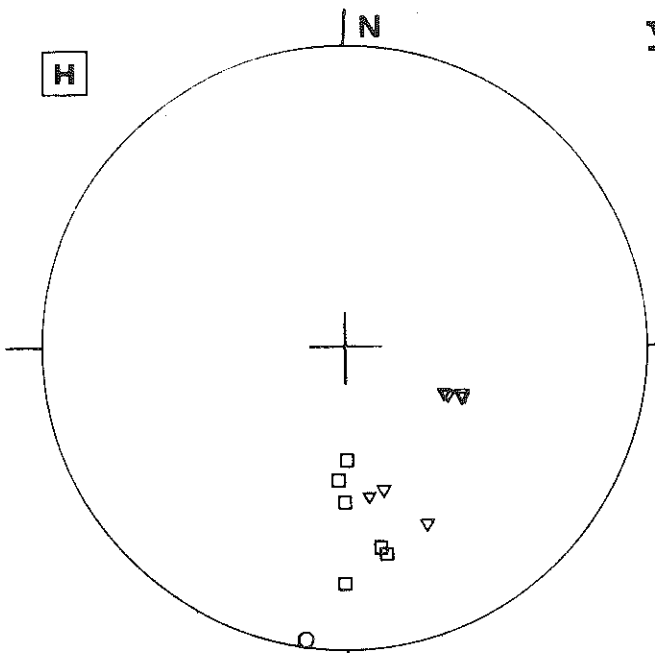




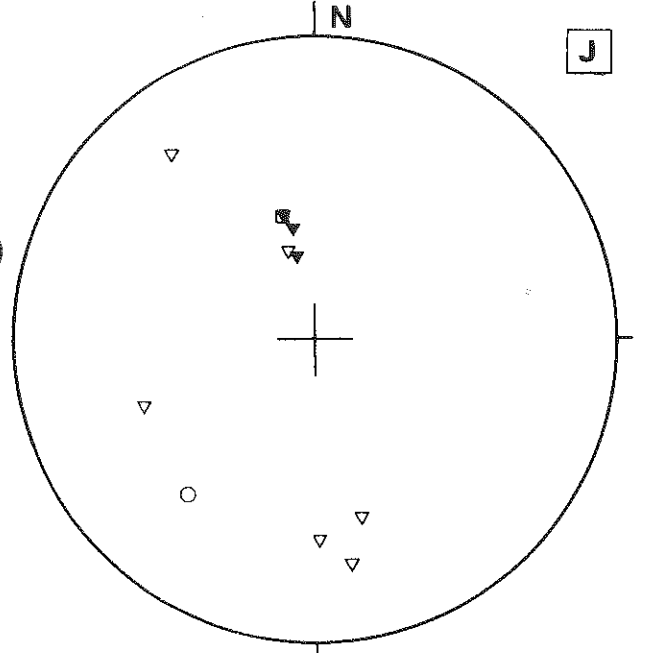
VIII



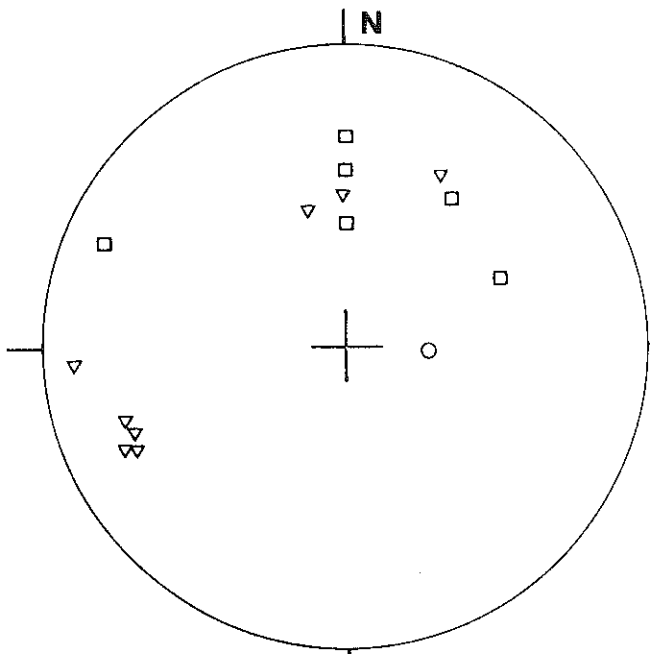




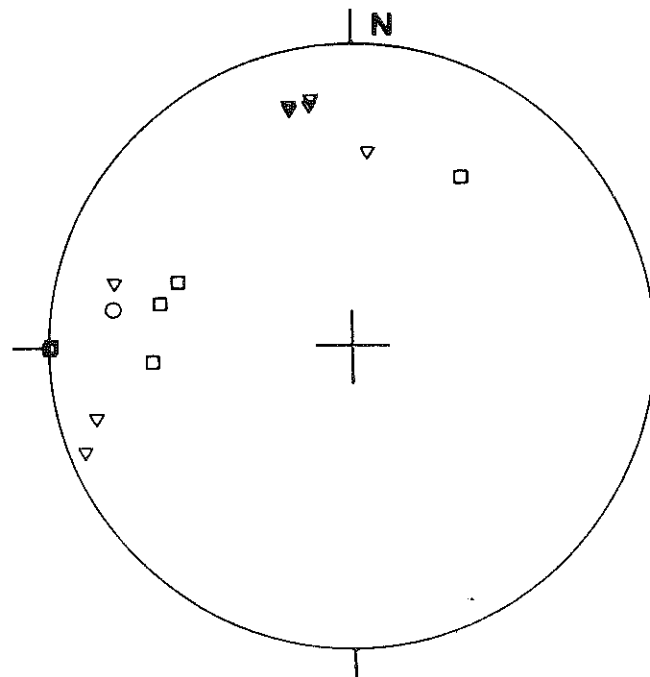
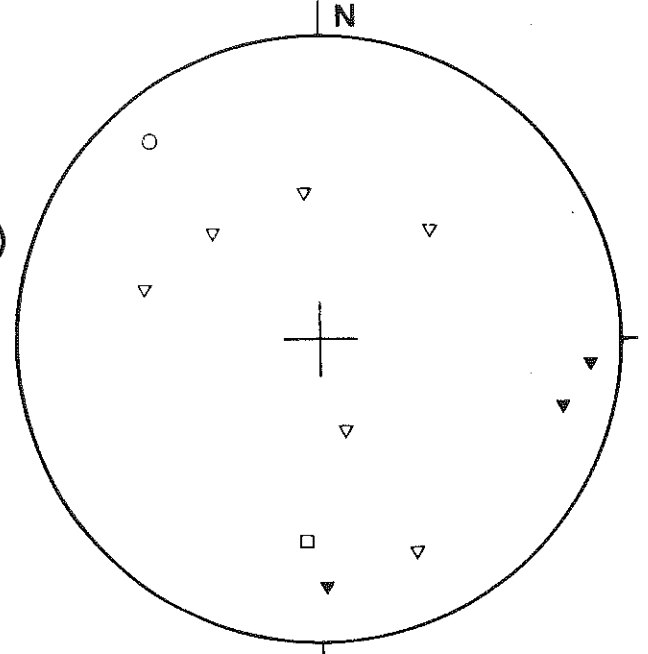
**VII**



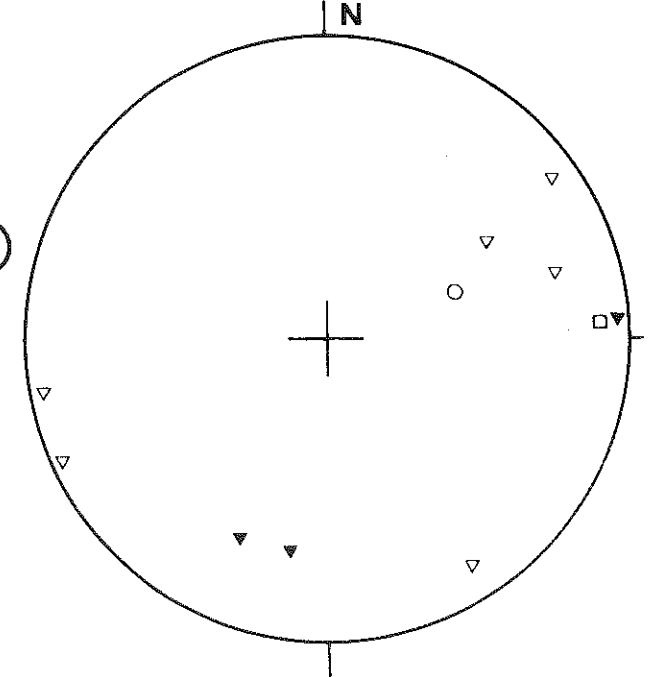
**(m)**

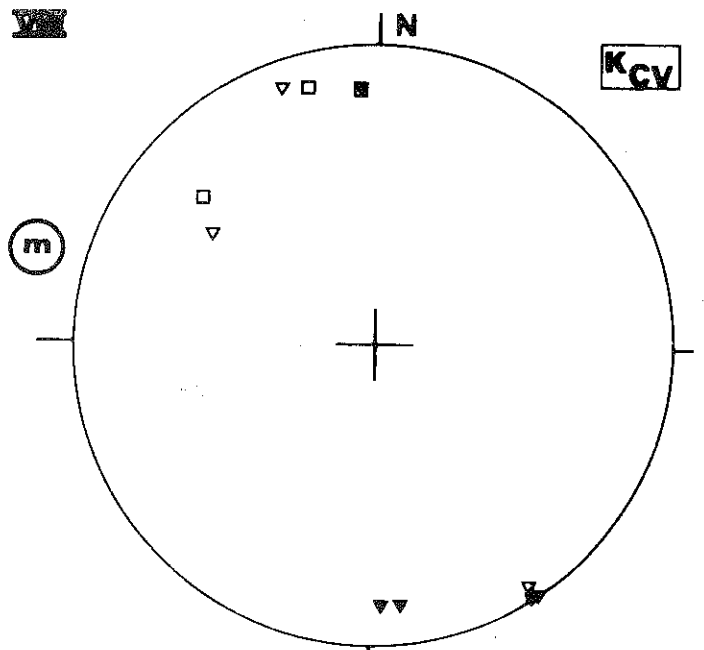
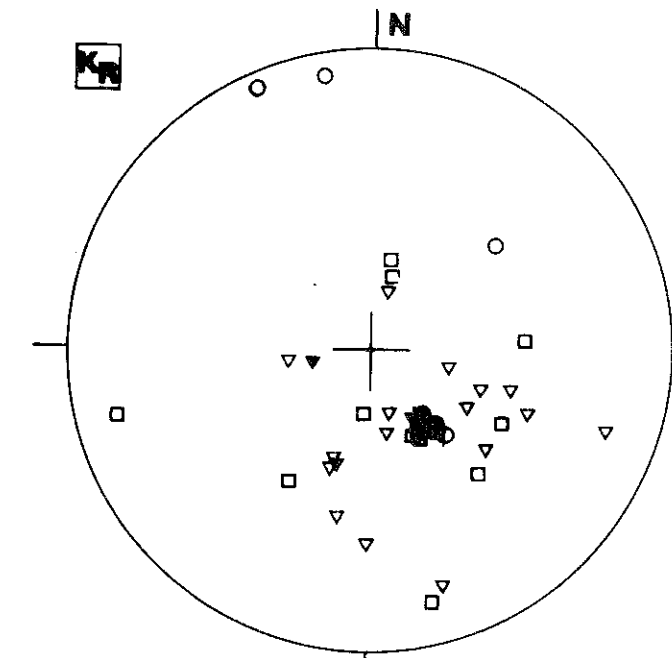


**(i)**

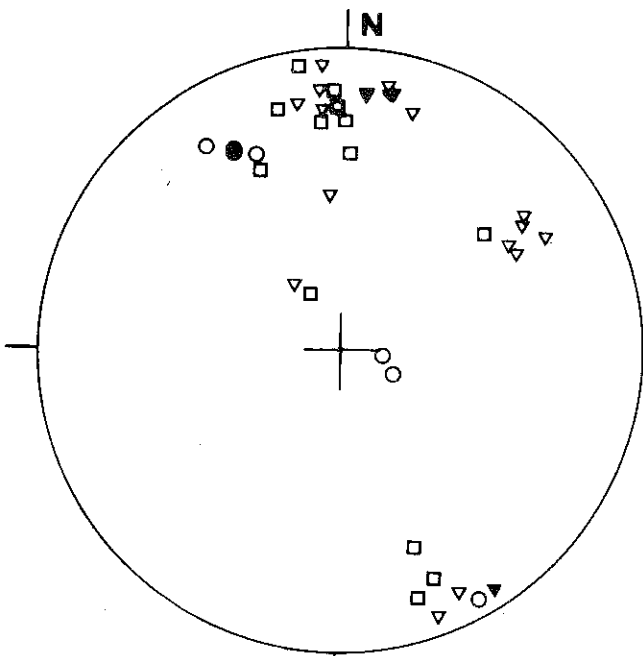


**(M)**

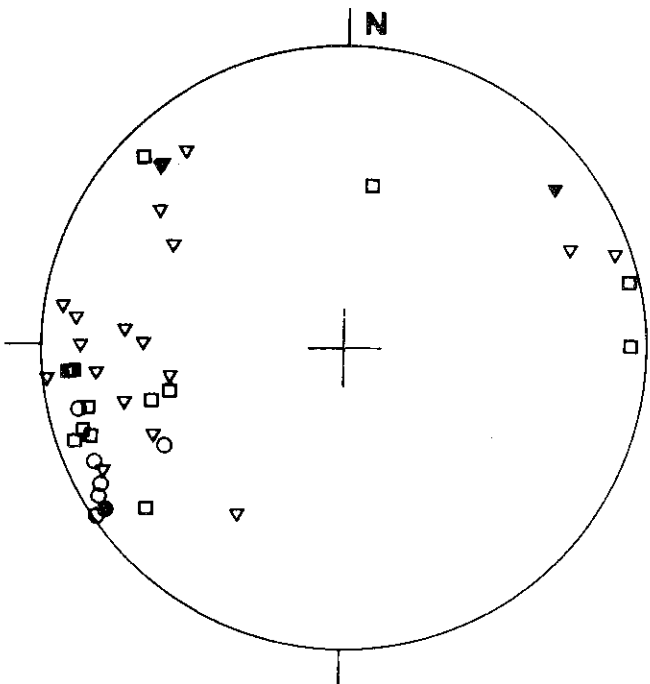
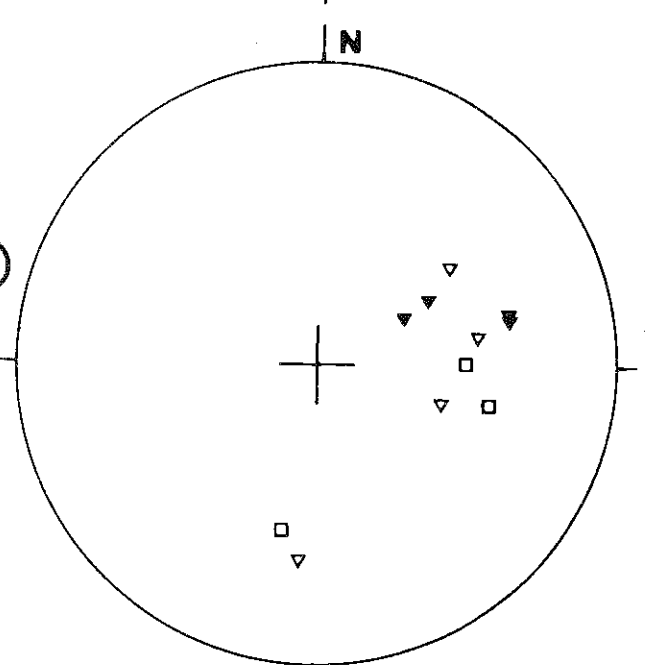




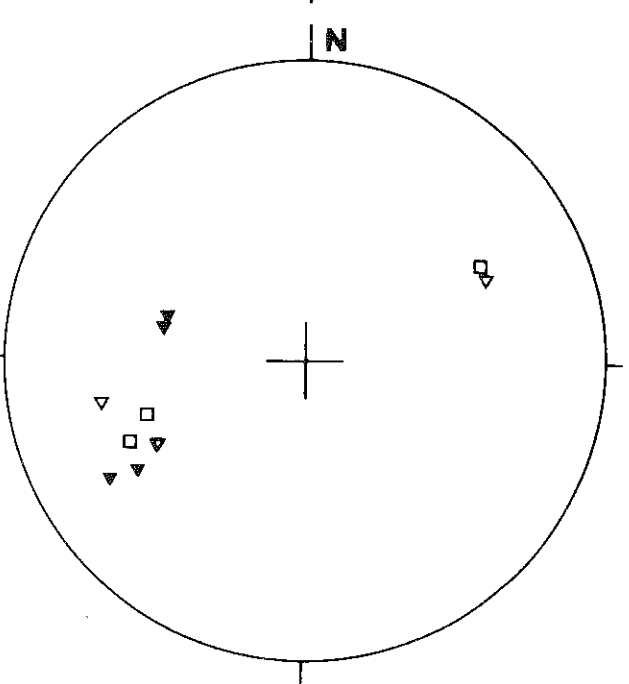
(M)



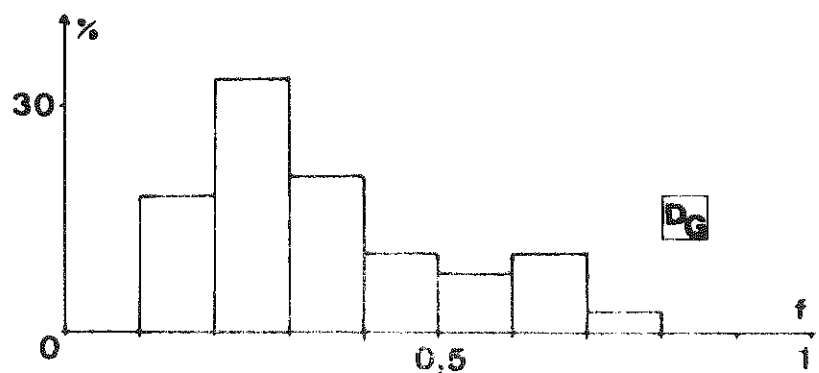
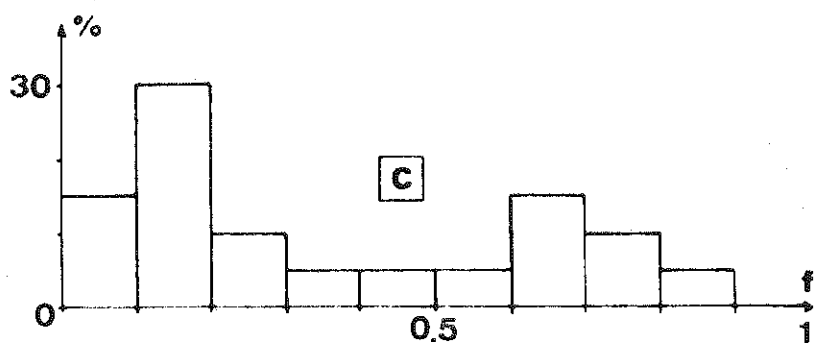
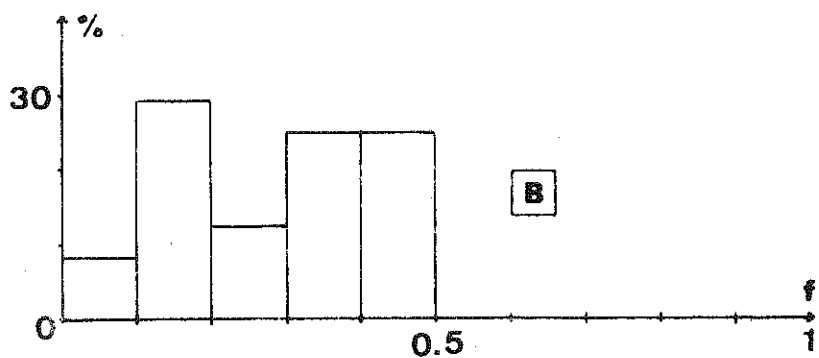
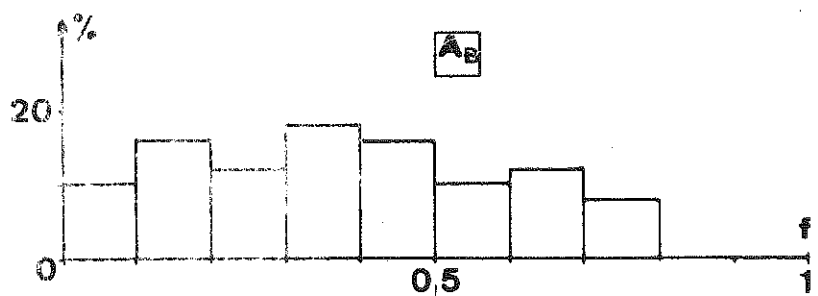
(i)

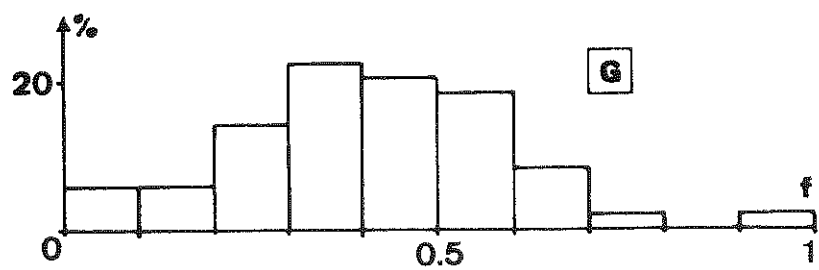
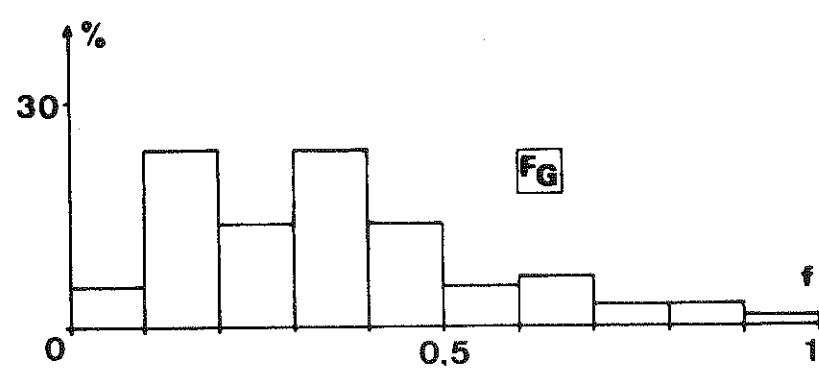
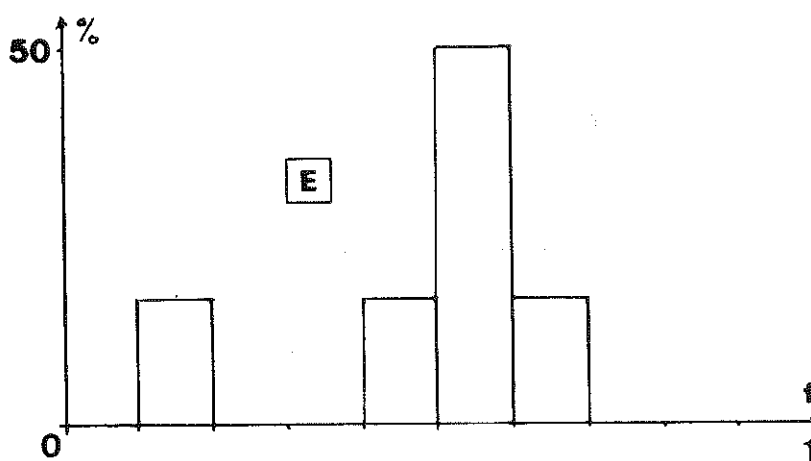
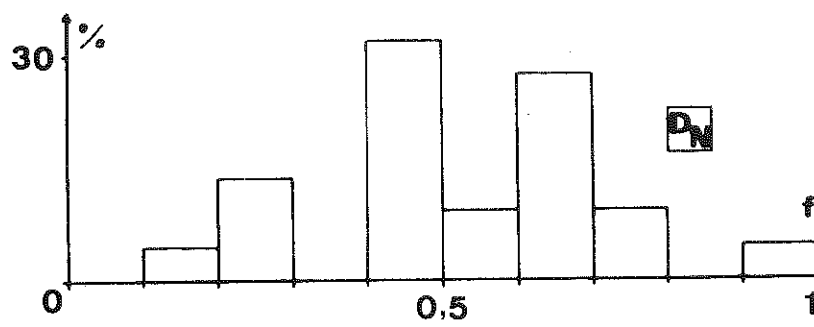
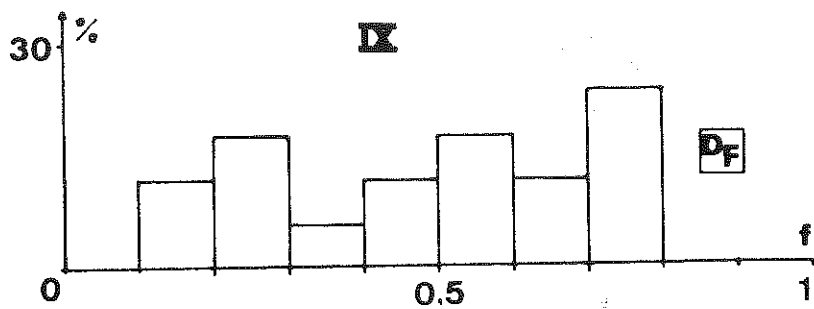


(M)



Histogramme des valeurs du paramètre  $f$  (voir légende planche VIII).





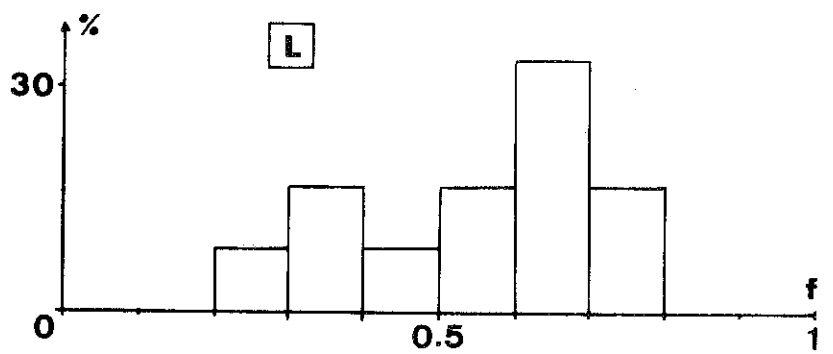
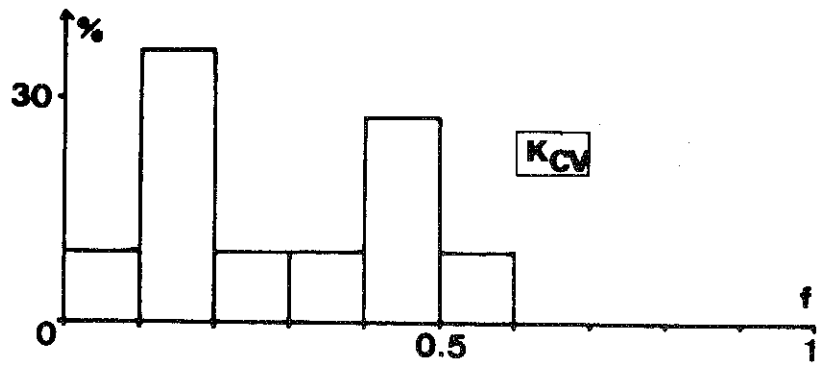
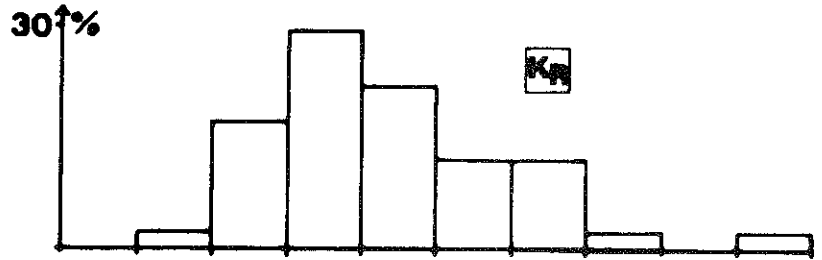
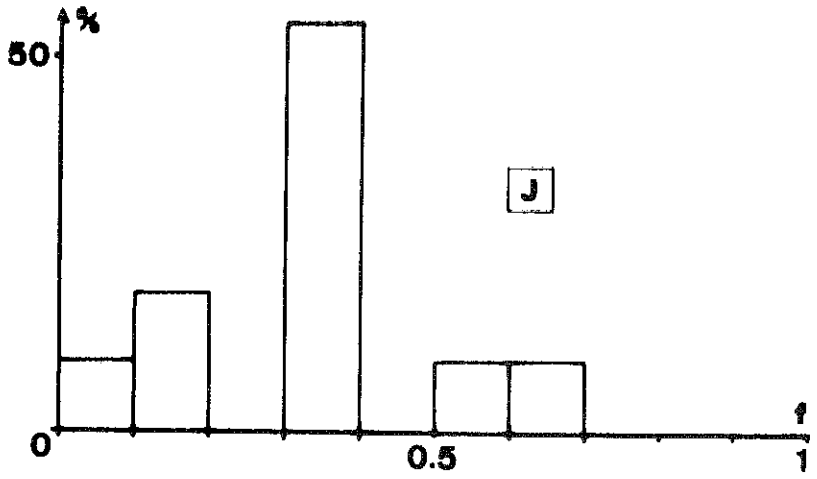
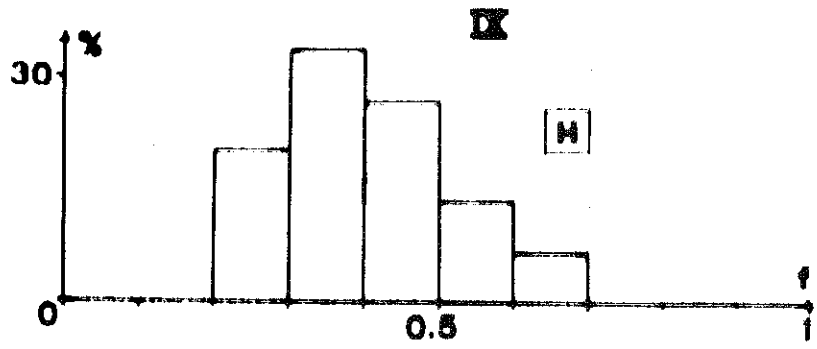
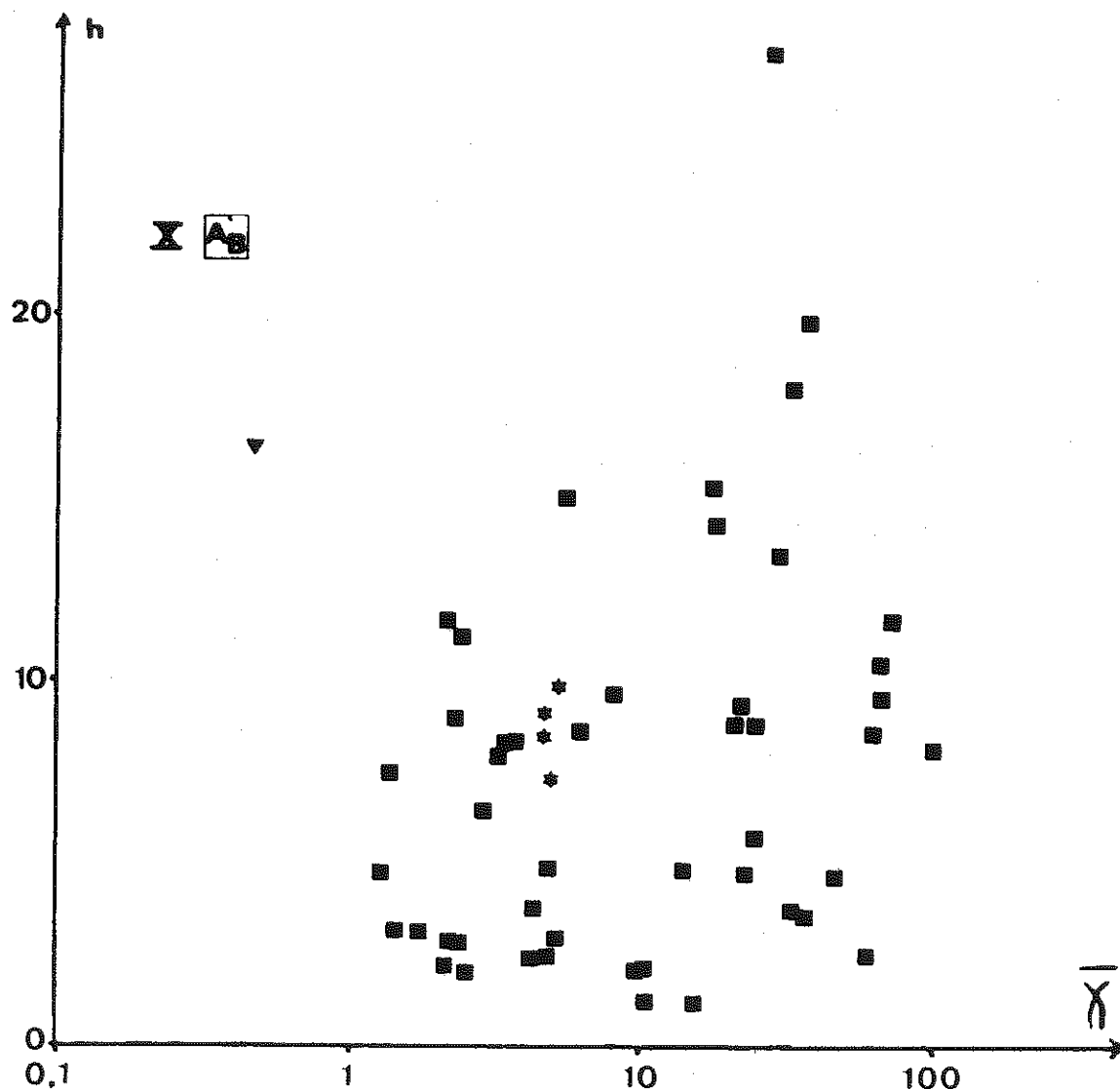


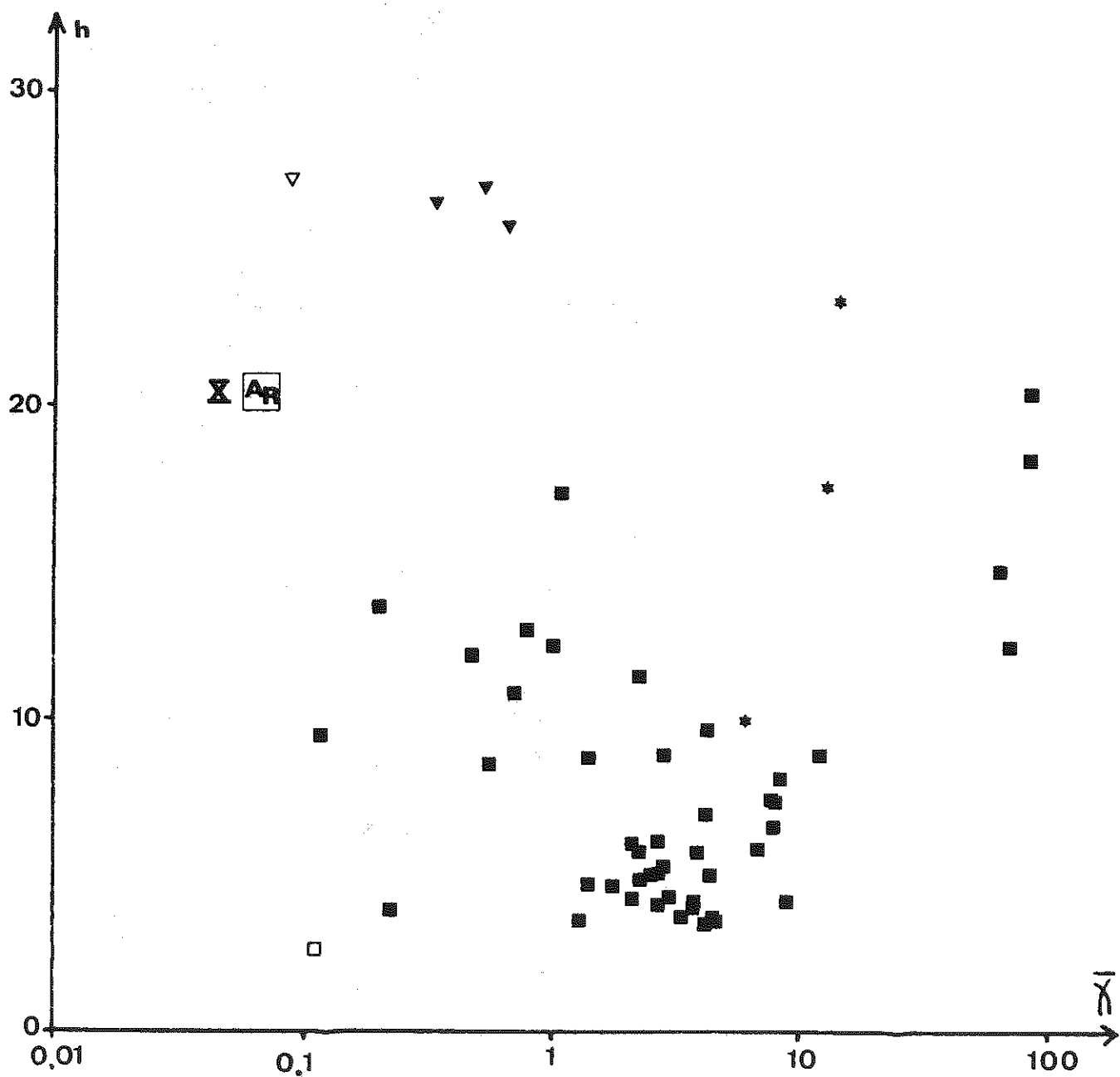


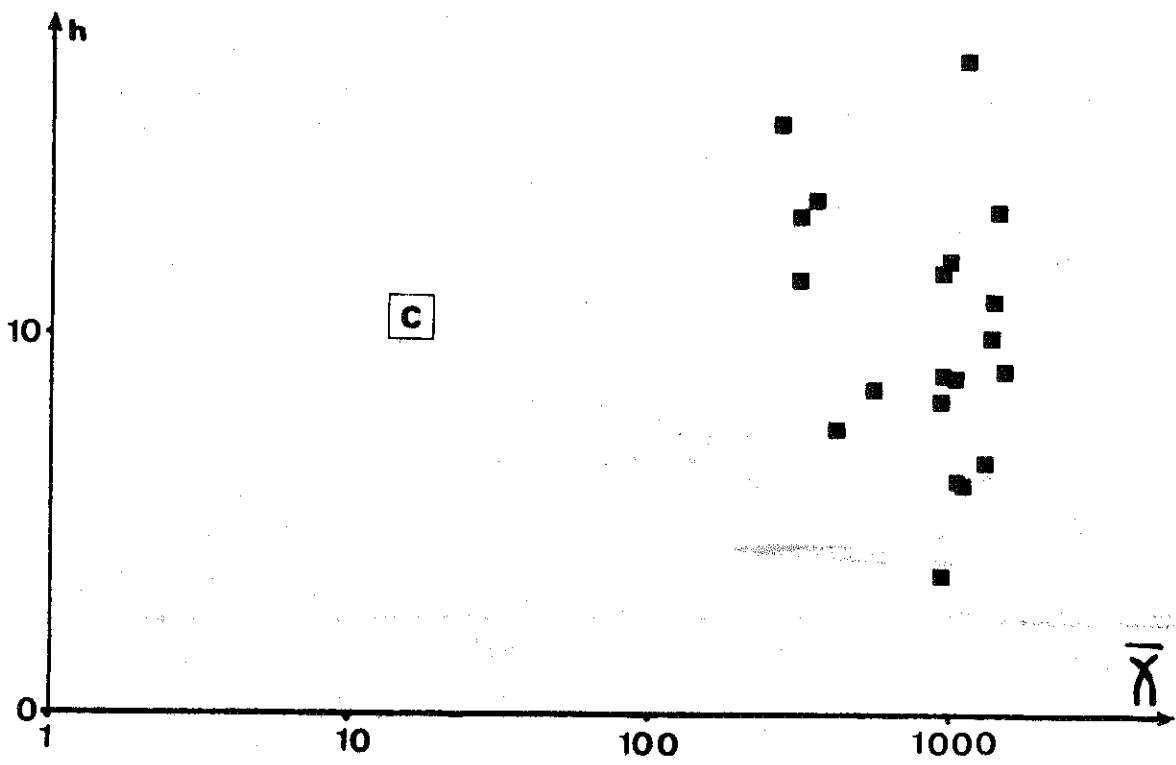
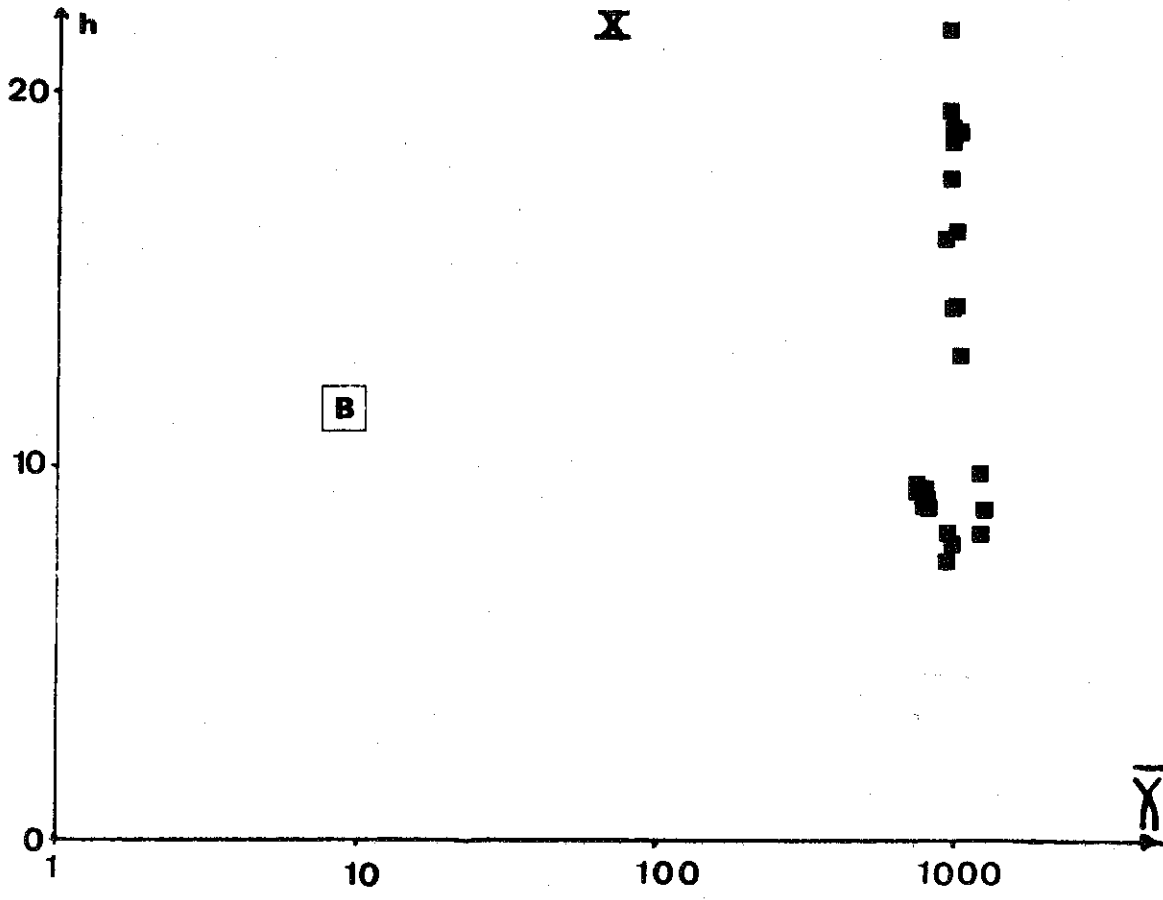
PLANCHE HORS TEXTE X

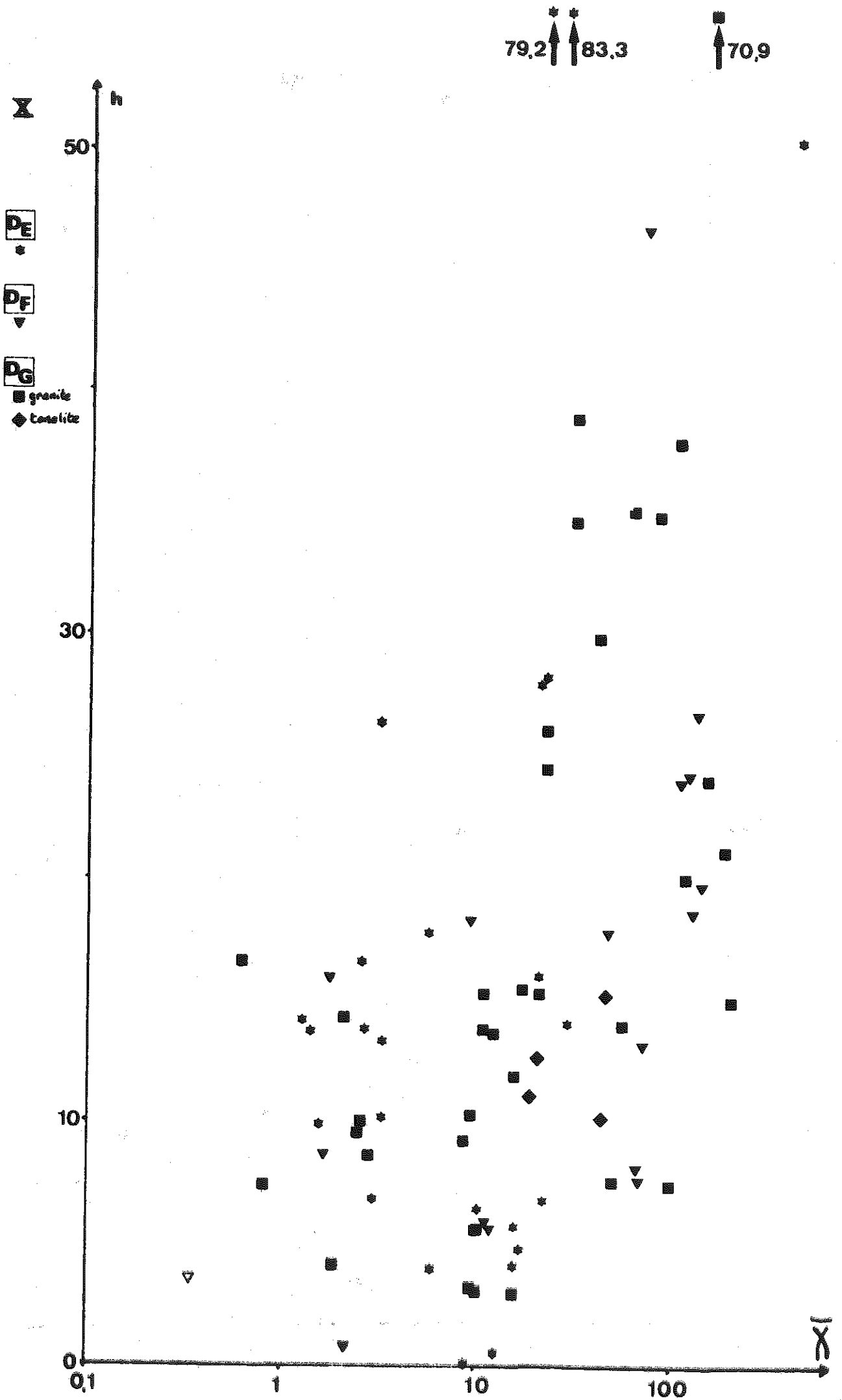
Valeurs du paramètre  $h$  en fonction de celles de la susceptibilité moyenne  $\bar{\chi}$  (en  $10^{-6}$  uem cgs/0c.g.; ; échelle logarithmique) dans les intrusions principales (carrés et losanges), les filons (triangles), les inclusions (étoiles à 8 branches) et les roches encaissantes (étoiles à 6 branches).

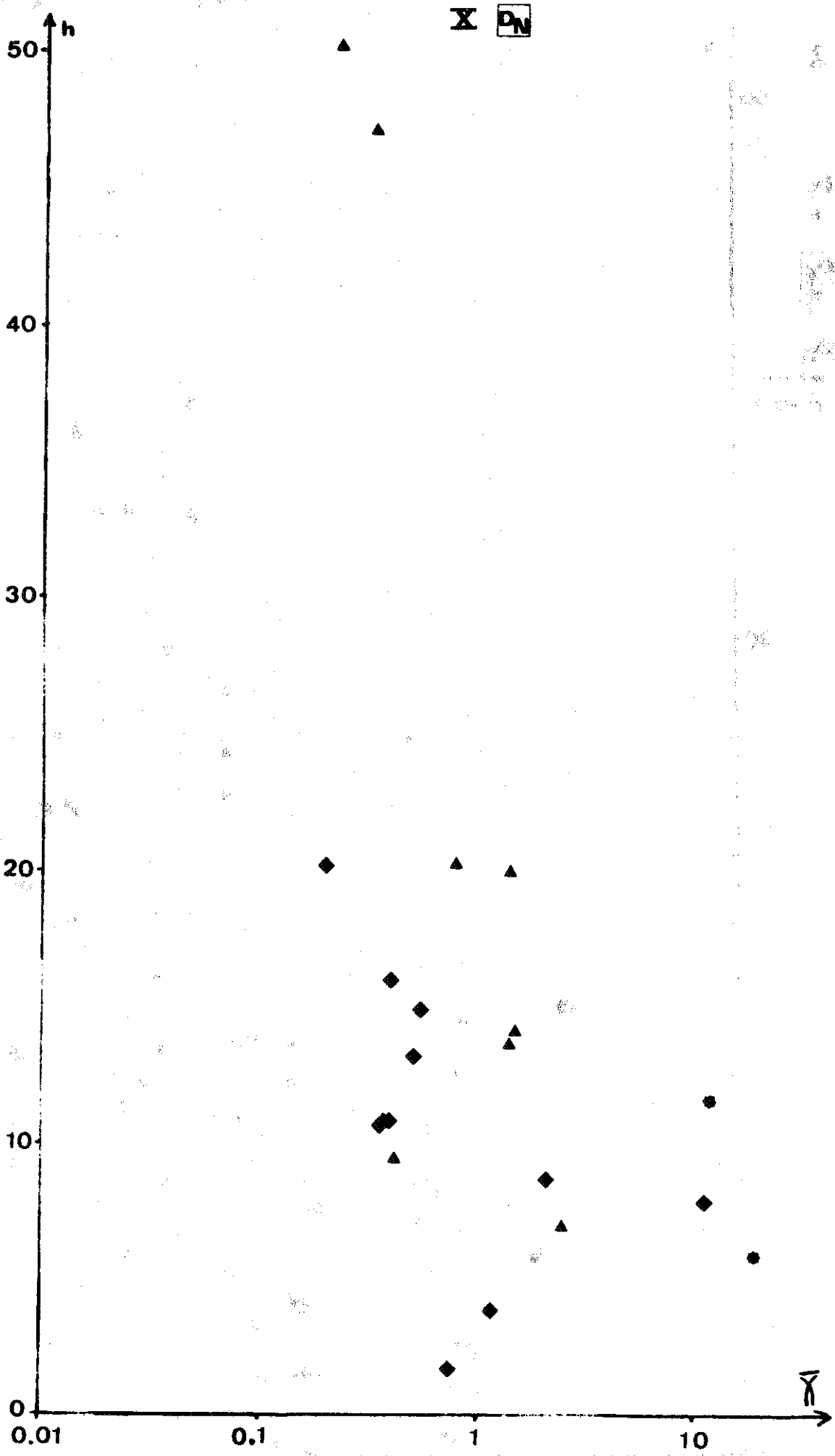
Voir légende de la planche VIII (pour la série F, 1 désigne la partie sud et ouest, 2 les vals Genova et Presena et 3 le Val Nambrone).

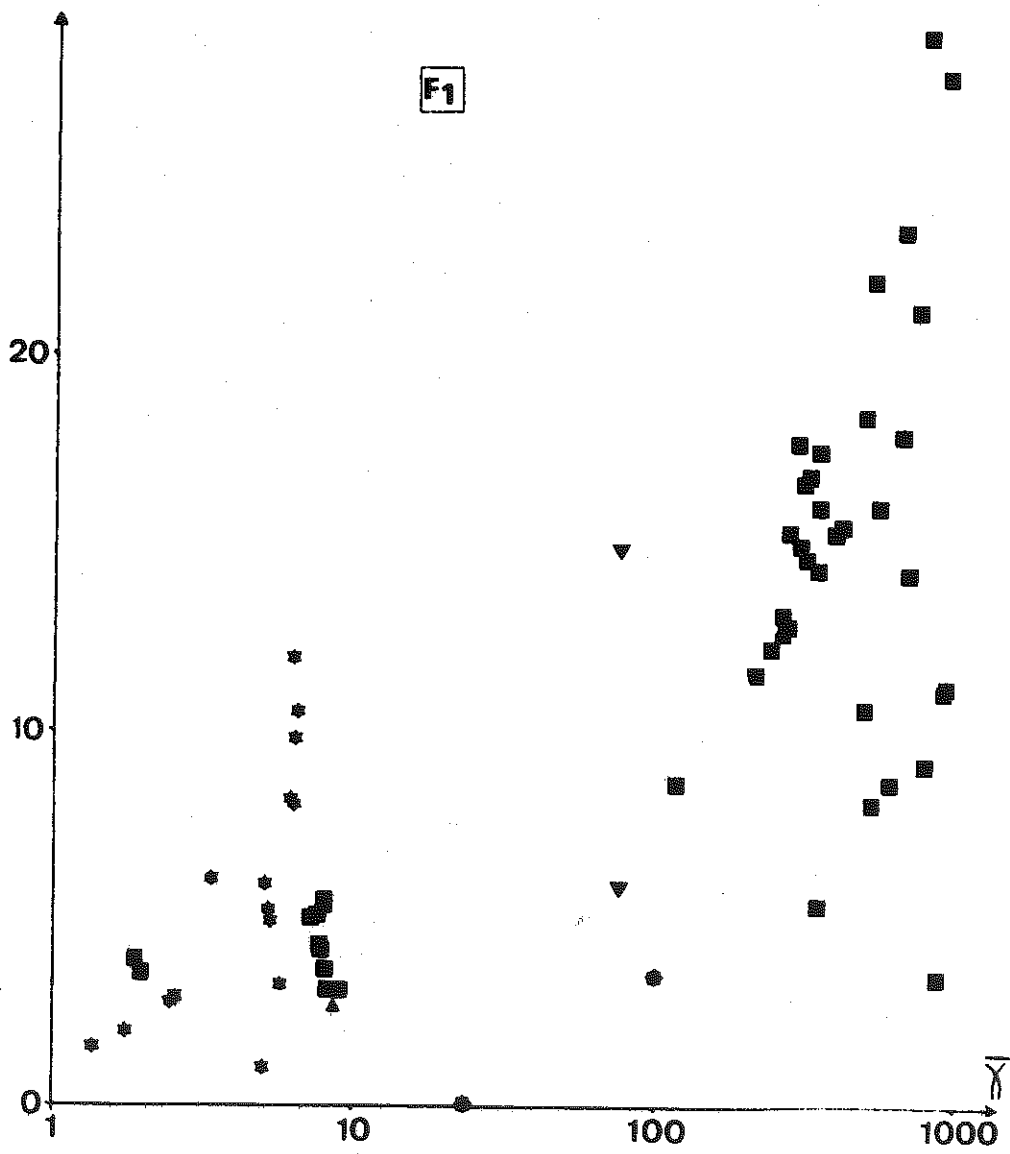
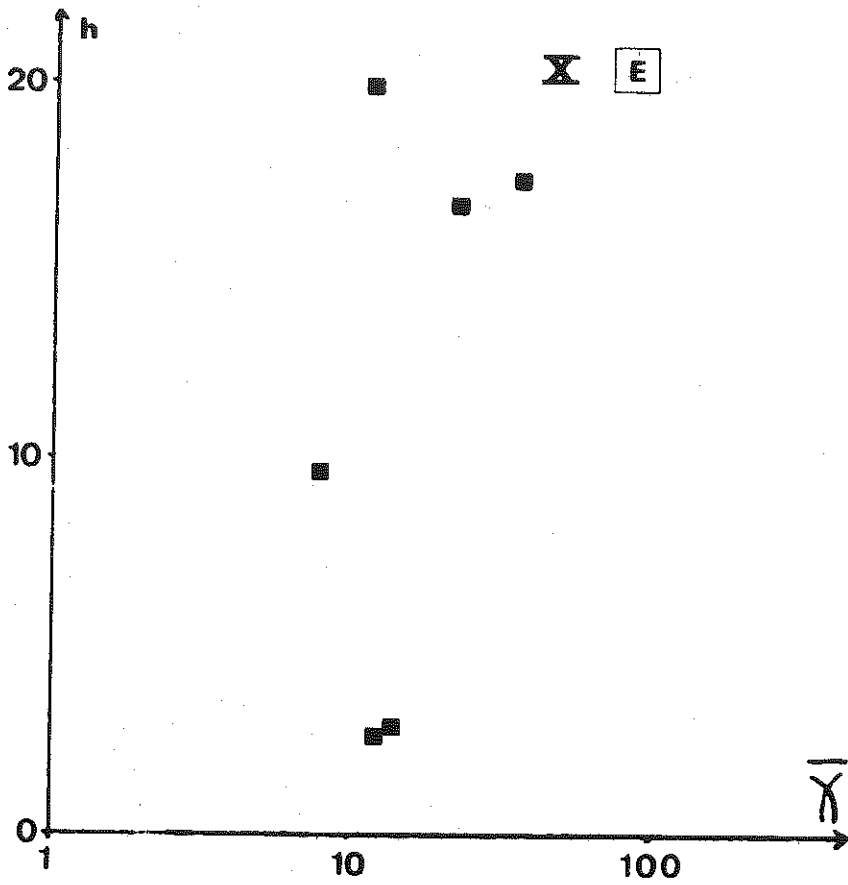


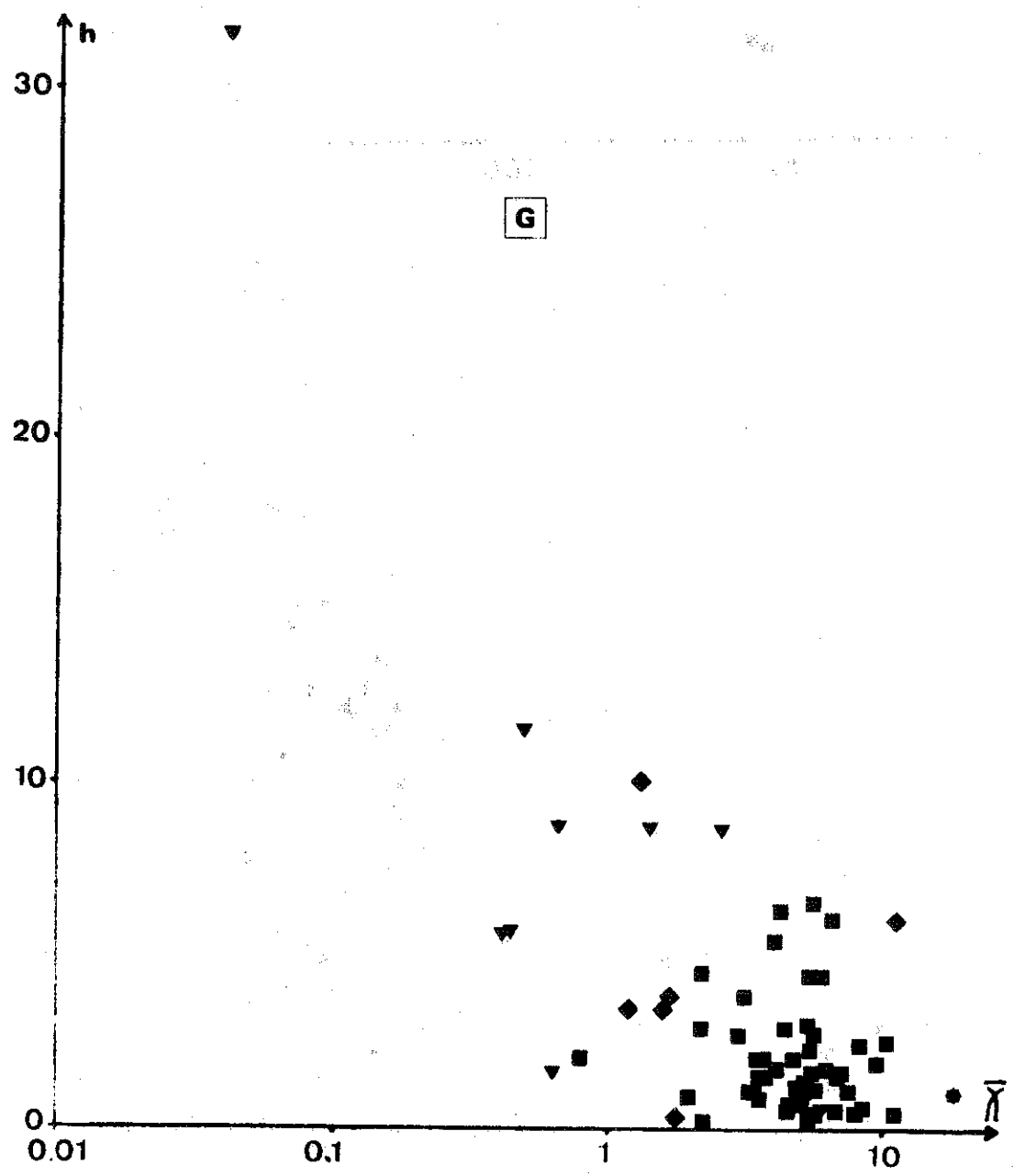
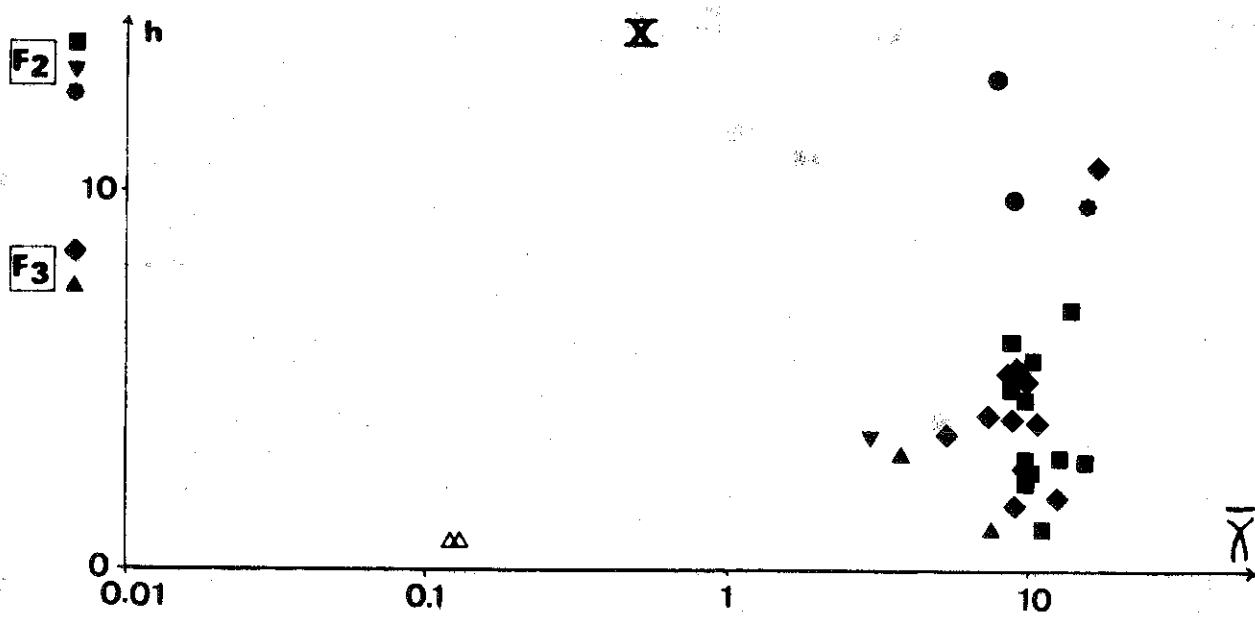


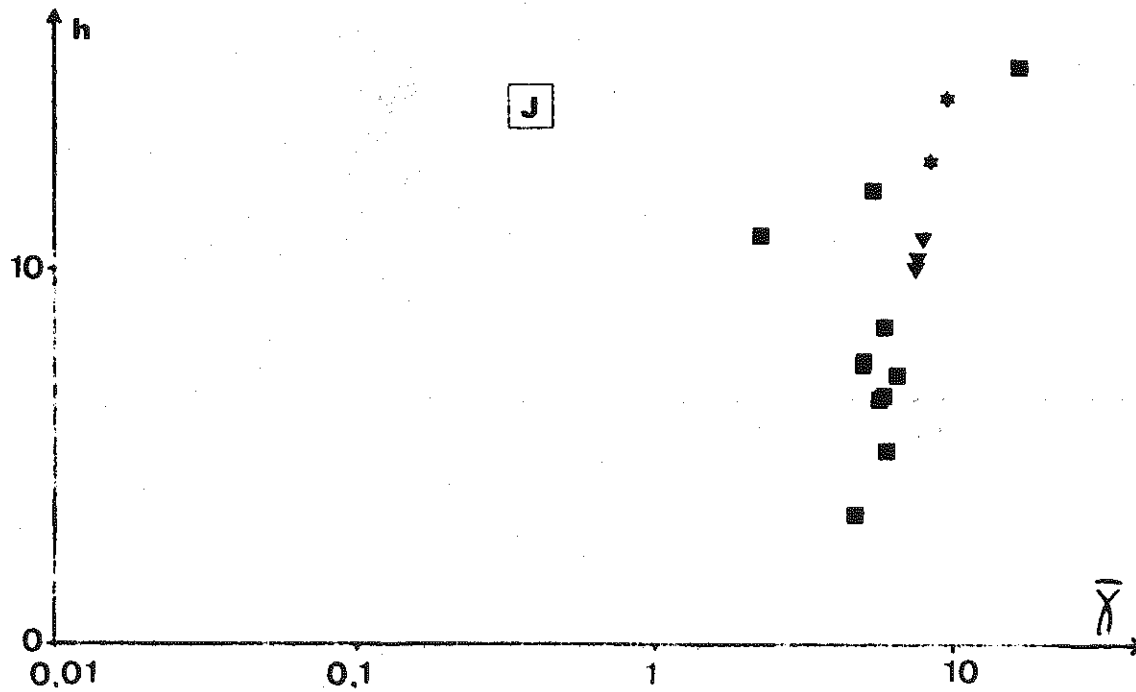
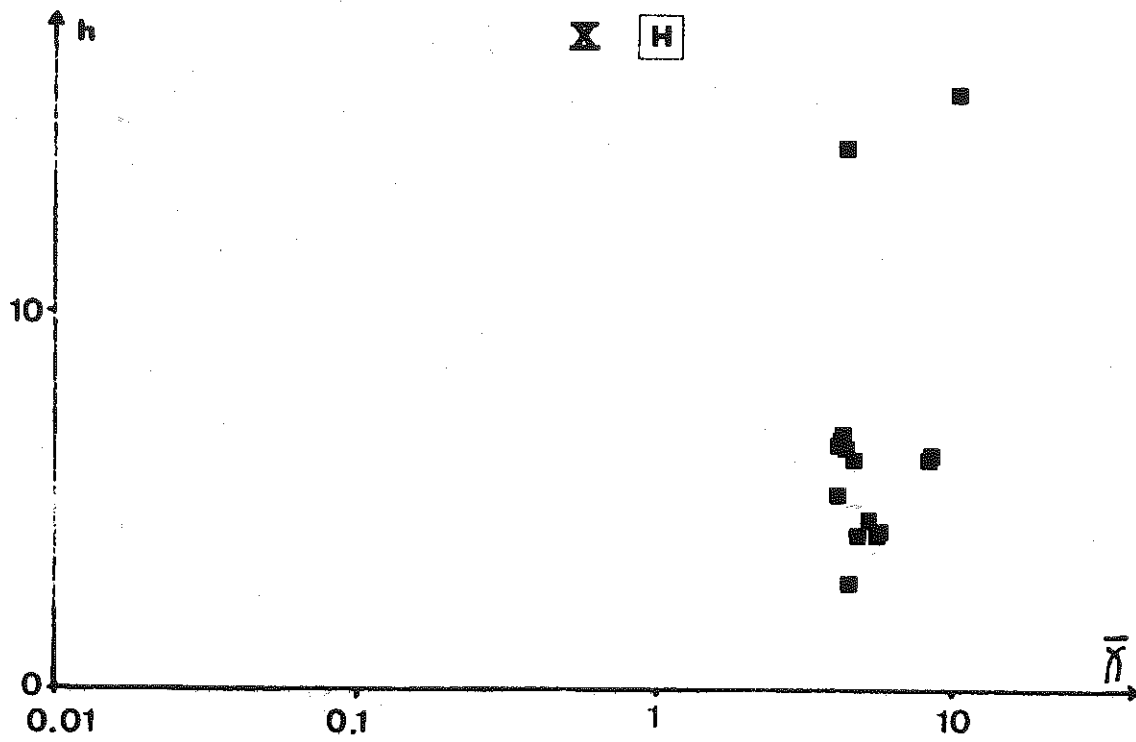




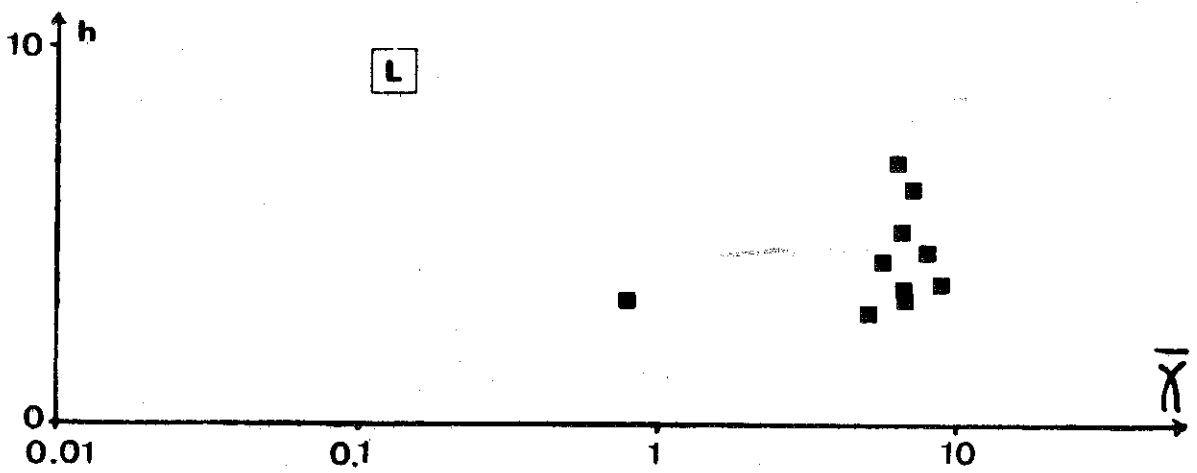
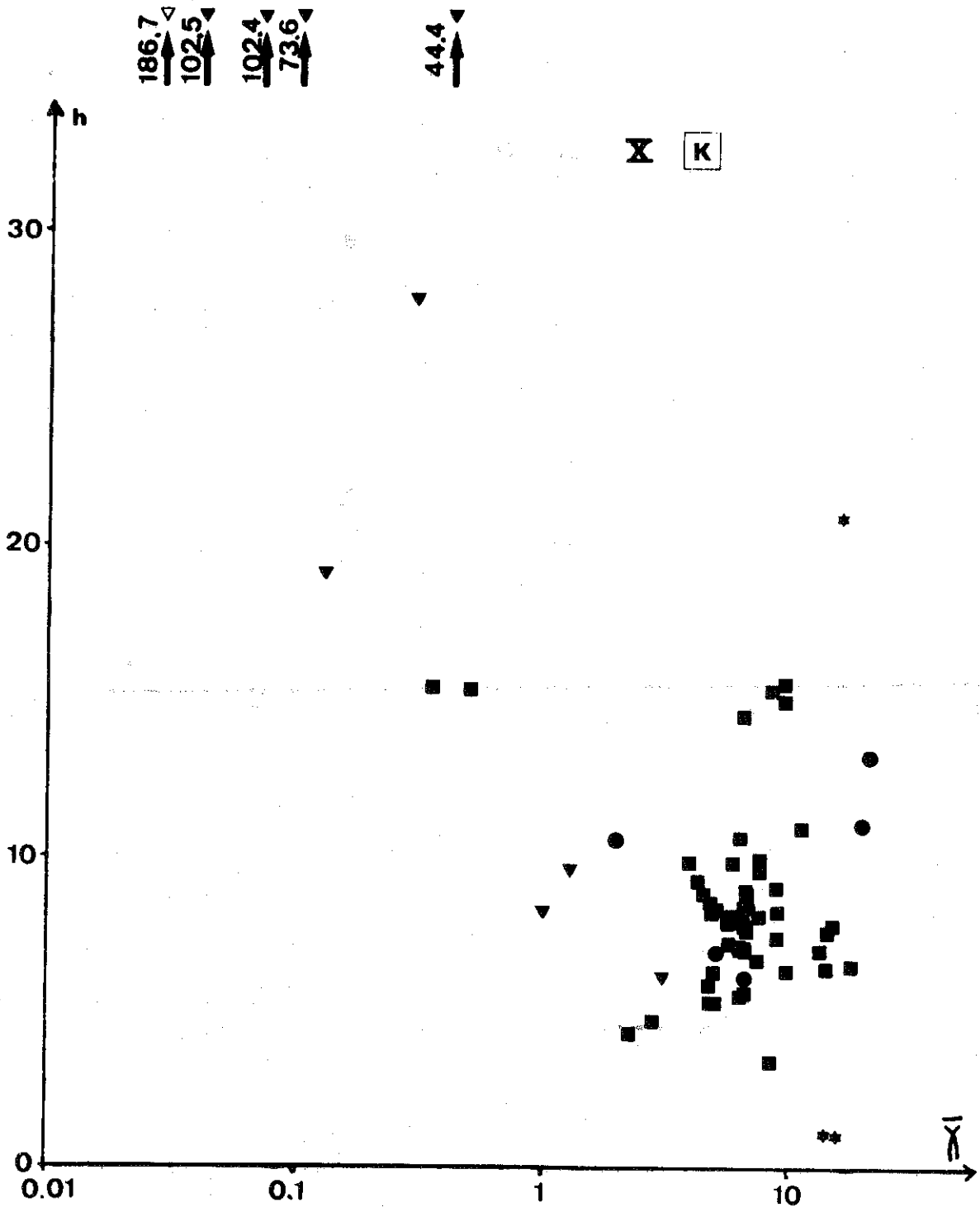












I BEAUFIN

Echantillon		Aimantation rémanente							susceptibilité massique moyenne	Anisotropie de susceptibilité								
coulée	n°	masse	Moment rémanent					K°		pourcentage de viscosité V	Axe						pourcentage d'anisotropie h	paramètre f
			Total		après analyse						Maximal		Minimal		Intermédiaire			
			σ	D	I	D'	I'				D	I	D	I	D	I		
I	1a	126	1445	14	25			1,8	4,0	1696	246	33	355	27	116	45	4,0	0,35
											320	9	112	79	229	5		
	1b	130	1321	325	41			1,8	4,4	1601	231	38	353	34	110	34	4,6	0,36
											332	15	138	75	241	4		
II	2	136	868,5	128	-27			1,3	4,1	1414	236	25	60	65	326	2	10,7	0,52
											347	30	223	43	97	32		
	3	130	857,5	148	5			1,3	4,2	1405	233	19	41	71	142	4	10,2	0,57
											345	37	210	43	95	25		
III	4	148	38,4	150	13	152	13	13,7	1,0	6,0	257	45	97	43	356	10	0,8	0,30
						52	49				139	1	229	7	40	83		
IV	5	256	63,0	144	3	143	3	20,2	0,2	6,7	298	37	158	15	266	48	0,5	0,08
						65	46				38	47	241	41	140	11		
	6	267	70,2	139	7	139	7	17,4	1,1	8,7	169	41	70	91	330	47	0,2	0,16
						60	37				12	22	272	23	141	58		
	7	249	67,3	144	-4	144	-4	19,3	0,9	7,5	226	63	3	20	99	17	0,3	0,57
						64	46				164	9	356	80	254	2		
V	8a	135	86,6	134	-4	134	-4	28,2	0,8	6,6	247	10	128	71	340	16	3,5	0,58
						87	36				298	24	204	9	94	64		
	8b	137	94,0	133	-4	135	-5	33,1	0,6	6,1	253	12	90	77	344	4	3,3	0,77
						87	37				297	18	200	21	64	62		



2 PRES CLOS

Echantillon		Aimantation rémanente							Anisotropie de susceptibilité									
coulée	n°	masse	Moment rémanent					K°	pourcentage de viscosité V	susceptibilité massique moyenne	Axe						pourcentage d'anisotropie h	paramètre F
			Total		après analyse						Maximal		Minimal		Intermédiaire			
			σ	D	I	D'	I'				D	I	D	I	D	I		
I	1	289	6,9	237	43	241	26	0,9	4,0	16,8	49	43	302	18	195	42	0,9	0,56
						244	-41				218	67	114	6	21	22		
						253	24	0,9	4,0	16,1	43	41	303	11	201	47	0,9	0,71
	2	283	7,1	246	43	258	-39				229	68	120	7	28	20		
	3	282	24,9	239	34	234	30	3,0	1,8	17,6	4	10	112	60	268	28	0,3	0,69
						235	-39				322	49	193	29	143	26		
II	4	142	2,2	62	75			0,2	30,2	19,7	93	56	240	29	339	15	1,4	0,67
											161	45	56	14	313	41		
	5	269	25,4	227	19	224	13	2,0	2,0	27,9	187	1	277	30	95	59	0,8	0,16
						229	-45				350	51	84	3	176	39		
	6	146	188,3	227	4	226	8	13,5	0,5	30,0	77	55	323	16	223	30	0,9	0,73
						238	-42				156	41	290	39	42	25		
	7	142	198,7	228	3	227	8	13,4	0,5	31,8	78	59	324	14	227	27	0,8	0,69
						239	-42				161	40	293	39	46	26		
	8a	257	169,9	211	0	213	3	8,1	0,8	44,9	47	66	257	21	163	11	0,7	0,68
						229	-48				165	46	69	6	337	43		
	8b	121	87,6	211	-1	235	8	9,7	0,7	19,5	39	58	273	20	174	24	0,6	0,81
						246	-31				158	55	258	7	353	34		

(	:	9	:	293	:	165,7	:	215	:	3	:	219	:	10	:	10,5	:	1,9	:	33,8	:	54	:	49	:	292	:	25	:	187	:	30	:	1,2	:	0,64	)
(	:		:		:		:		:		:	230	:	-39	:		:		:		:	139	:	50	:	261	:	24	:	7	:	30	:		:		)
(	III	:	:		:		:		:		:		:		:		:		:		:		:		:		:		:		:		:		:		)
(	:	10	:	292	:	183,9	:	215	:	4	:	218	:	8	:	10,9	:	1,2	:	36,4	:	51	:	49	:	294	:	21	:	189	:	33	:	1,3	:	0,58	)
(	:		:		:		:		:		:	230	:	-41	:		:		:		:	140	:	52	:	266	:	25	:	9	:	27	:		:		)
(	:		:		:		:		:		:		:		:		:		:		:		:		:		:		:		:		:		:		)
(	:	11	:	292	:	167,2	:	214	:	3	:	218	:	7	:	10,1	:	2,5	:	35,6	:	50	:	47	:	296	:	21	:	190	:	36	:	1,3	:	0,56	)
(	:		:		:		:		:		:	231	:	-42	:		:		:		:	136	:	53	:	267	:	27	:	10	:	24	:		:		)
(	:		:		:		:		:		:		:		:		:		:		:		:		:		:		:		:		:		:		)
(	:	12	:	145	:	164,6	:	213	:	3	:	217	:	8	:	9,7	:	1,8	:	36,6	:	57	:	48	:	305	:	19	:	200	:	36	:	1,1	:	0,61	)
(	:		:		:		:		:		:	229	:	-42	:		:		:		:	137	:	48	:	273	:	33	:	19	:	23	:		:		)
(	:		:		:		:		:		:		:		:		:		:		:		:		:		:		:		:		:		:		)
(	:	13a	:	280	:	181,1	:	214	:	4	:	218	:	9	:	11,1	:	2,0	:	35,2	:	50	:	49	:	295	:	20	:	191	:	34	:	1,4	:	0,57	)
(	:		:		:		:		:		:	229	:	-41	:		:		:		:	139	:	53	:	267	:	25	:	10	:	26	:		:		)
(	:		:		:		:		:		:		:		:		:		:		:		:		:		:		:		:		:		:		)
(	:	13b	:	287	:	184,3	:	214	:	4	:	218	:	9	:	11,2	:	1,9	:	35,4	:	60	:	53	:	295	:	24	:	192	:	27	:	1,3	:	0,62	)
(	:		:		:		:		:		:	229	:	-40	:		:		:		:	144	:	45	:	263	:	26	:	13	:	33	:		:		)
(	:		:		:		:		:		:		:		:		:		:		:		:		:		:		:		:		:		:		)
(	:	14	:	283	:	61,1	:	227	:	10	:	229	:	3	:	3,4	:	1,1	:	38,9	:	31	:	40	:	279	:	27	:	163	:	38	:	1,8	:	0,21	)
(	:		:		:		:		:		:	229	:	-37	:		:		:		:	353	:	75	:	90	:	2	:	180	:	15	:		:		)
(	:		:		:		:		:		:		:		:		:		:		:		:		:		:		:		:		:		:		)
(	:	15	:	285	:	53,0	:	227	:	10	:	226	:	3	:	2,7	:	1,4	:	42,4	:	54	:	54	:	284	:	26	:	181	:	24	:	1,5	:	0,25	)
(	:		:		:		:		:		:	229	:	-37	:		:		:		:	178	:	84	:	276	:	1	:	6	:	6	:		:		)
(	:		:		:		:		:		:		:		:		:		:		:		:		:		:		:		:		:		:		)
(	:	16	:	270	:	48,1	:	228	:	12	:	228	:	3	:	2,7	:	1,3	:	37,9	:	98	:	63	:	297	:	26	:	203	:	8	:	1,2	:	0,22	)
(	:		:		:		:		:		:	229	:	-37	:		:		:		:	182	:	60	:	286	:	8	:	20	:	29	:		:		)
(	:		:		:		:		:		:		:		:		:		:		:		:		:		:		:		:		:		:		)
(	:	17	:	142	:	52,1	:	229	:	11	:	229	:	3	:	3,1	:	1,2	:	36,4	:	108	:	63	:	288	:	27	:	18	:	0	:	1,2	:	0,19	)
(	:		:		:		:		:		:	230	:	-37	:		:		:		:	183	:	55	:	278	:	4	:	11	:	35	:		:		)
(	IV	:	:		:		:		:		:		:		:		:		:		:		:		:		:		:		:		:		:		)
(	:	18	:	141	:	54,1	:	229	:	8	:	229	:	1	:	3,8	:	0,7	:	30,3	:	68	:	56	:	296	:	24	:	196	:	22	:	0,9	:	0,22	)
(	:		:		:		:		:		:	230	:	-39	:		:		:		:	172	:	76	:	286	:	6	:	17	:	13	:		:		)
(	:		:		:		:		:		:		:		:		:		:		:		:		:		:		:		:		:		:		)
(	:	19	:	280	:	26,8	:	230	:	16	:	232	:	12	:	2,0	:	0,9	:	28,4	:	82	:	44	:	309	:	35	:	200	:	25	:	0,5	:	0,25	)
(	:		:		:		:		:		:	232	:	-28	:		:		:		:	137	:	66	:	288	:	21	:	22	:	11	:		:		)
(	:		:		:		:		:		:		:		:		:		:		:		:		:		:		:		:		:		:		)
(	:	20	:	280	:	27,2	:	229	:	15	:	231	:	11	:	2,0	:	0,7	:	29,4	:	81	:	40	:	311	:	37	:	198	:	28	:	0,3	:	0,24	)
(	:		:		:		:		:		:	232	:	-29	:		:		:		:	128	:	64	:	287	:	25	:	21	:	8	:		:		)
(	:		:		:		:		:		:		:		:		:		:		:		:		:		:		:		:		:		:		)
(	:	21	:	282	:	37,1	:	230	:	17	:	232	:	11	:	2,1	:	1,4	:	37,8	:	87	:	47	:	304	:	37	:	199	:	19	:	0,5	:	0,26	)
(	_____	:	:		:		:		:		:	233	:	-28	:		:		:		:	145	:	63	:	283	:	20	:	20	:	16	:		:		)



## 3 ESPARCELET

Echantillon		Aimantation rémanente									Anisotropie de susceptibilité							
coulée	n°	masse	Moment rémanent					K°	pourcentage de viscosité V	susceptibilité massique moyenne	Axe						pourcentage d'anisotropie h	paramètre F
			Total		après analyse						Maximal		Minimal		Intermédiaire			
			σ	D	I	D'	I'				D	I	D	I	D	I		
I	1a	256	52,3	183	50	177	42	3,3	3,6	33,6	307	19	127	71	217	0	1,4	0,58
						183	-38				137	26	38	17	278	58		
	1b	256	36,6	183	49	184	43	3,0	5,0	26,3	74	7	182	67	341	21	2,0	0,62
						183	-43				208	54	34	36	302	3		
	2	273	36,4	184	52	185	49	3,0	4,3	25,8	258	23	138	49	3	31	2,6	0,52
						192	-43				148	70	16	13	282	14		
	3	271	35,9	181	51	182	47	3,1	4,5	25,3	272	36	134	46	19	22	2,5	0,38
						189	-41				119	58	14	9	278	30		
4	278	66,9	171	37	164	27	2,1	6,8	69,9	109	2	209	77	19	12	3,1	0,53	
					166	-25				167	32	50	36	286	37			
5	269	84,7	190	55	168	47	1,6	6,6	116,7	327	2	57	2	190	86	1,3	0,64	
					189	-32				145	1	237	63	54	27			
6	254	37,9	141	73	187	56	1,2	9,8	68,6	332	9	239	16	91	72	0,4	0,63	
					201	-42				317	0	224	80	47	10			
7	262	27,6	185	53	165	41	1,6	9,1	36,1	235	44	28	43	131	14	5,7	0,38	
					182	-29				52	71	259	17	166	8			
8	270	56,1	213	20	213	18	9,7	0,9	12,5	261	46	48	39	152	17	0,7	0,76	
					179	-59				81	46	257	44	349	2			

	n°	m	$\sigma$	D	I	D'	I'	K°	V	X	D <sup>M</sup>	I	D <sup>m</sup>	I	D <sup>i</sup>	I	h	f
(	9	282	45,3	212	20	212	17	9,8	1,0	10,0	262	45	58	42	159	12	1,2	0,61
(	:	:	:	:	:	178	-58	:	:	:	82	46	246	42	343	8	:	:
(	:	:	:	:	:	:	:	:	:	:	:	:	:	:	:	:	:	:
(	10	274	65,3	207	21	207	19	8,4	0,9	16,8	150	27	342	62	242	5	1,4	0,50
(	:	:	:	:	:	177	-53	:	:	:	359	0	269	0	152	90	:	:
(	II	:	:	:	:	:	:	:	:	:	:	:	:	:	:	:	:	:
(	11	271	65,7	207	23	206	20	9,3	1,2	15,2	133	22	337	66	227	9	1,7	0,48
(	:	:	:	:	:	179	-52	:	:	:	176	15	86	3	346	75	:	:
(	:	:	:	:	:	:	:	:	:	:	:	:	:	:	:	:	:	:
(	12	275	51,5	208	21	207	18	8,5	1,0	13,0	152	27	354	62	247	9	2,0	0,43
(	:	:	:	:	:	178	-53	:	:	:	359	3	268	6	112	84	:	:
(	:	:	:	:	:	:	:	:	:	:	:	:	:	:	:	:	:	:
(	13	263	51,5	208	23	206	19	8,8	1,1	12,5	151	25	339	65	243	3	2,3	0,47
(	:	:	:	:	:	177	-52	:	:	:	357	1	87	1	223	88	:	:
(	:	:	:	:	:	:	:	:	:	:	:	:	:	:	:	:	:	:
(	14	273	111,7	203	20	203	19	20,2	0,9	11,9	321	9	231	4	115	80	2,0	0,71
(	:	:	:	:	:	178	-50	:	:	:	144	11	329	79	234	1	:	:
(	:	:	:	:	:	:	:	:	:	:	:	:	:	:	:	:	:	:
(	15	278	86,8	204	21	203	19	19,5	0,6	9,6	324	8	56	16	208	72	2,2	0,91
(	:	:	:	:	:	178	-49	:	:	:	145	9	257	68	51	20	:	:
(	:	:	:	:	:	:	:	:	:	:	:	:	:	:	:	:	:	:
(	16	277	87,5	203	22	203	20	19,0	0,4	9,9	329	6	59	0	152	84	2,4	0,90
(	:	:	:	:	:	177	-49	:	:	:	146	4	271	84	56	5	:	:
(	:	:	:	:	:	:	:	:	:	:	:	:	:	:	:	:	:	:
(	17	273	87,0	202	21	202	20	19,2	0,4	9,8	326	12	231	24	80	63	2,3	0,74
(	:	:	:	:	:	177	-48	:	:	:	141	7	34	68	233	21	:	:
(	:	:	:	:	:	:	:	:	:	:	:	:	:	:	:	:	:	:
(	18	271	96,2	209	24	202	19	16,5	0,1	12,5	328	9	236	15	87	72	1,4	0,91
(	:	:	:	:	:	179	-49	:	:	:	144	4	31	78	235	11	:	:
(	:	:	:	:	:	:	:	:	:	:	:	:	:	:	:	:	:	:
(	19	266	92,2	203	19	203	18	19,4	0,3	10,2	334	14	241	14	108	70	1,9	0,85
(	III	:	:	:	:	181	-50	:	:	:	318	1	54	81	228	9	:	:
(	:	:	:	:	:	:	:	:	:	:	:	:	:	:	:	:	:	:
(	20	252	91,1	204	19	203	18	19,9	0,6	9,8	336	15	244	7	130	73	1,9	0,67
(	:	:	:	:	:	180	-50	:	:	:	316	3	107	87	226	2	:	:
(	:	:	:	:	:	:	:	:	:	:	:	:	:	:	:	:	:	:
(	21	275	105,8	212	16	211	15	18,3	0,8	12,4	310	18	54	39	200	45	2,3	0,52
(	:	:	:	:	:	181	-58	:	:	:	135	23	251	45	27	32	:	:
(	:	:	:	:	:	:	:	:	:	:	:	:	:	:	:	:	:	:
(	22a	275	150,0	210	18	210	18	29,3	0,3	11,0	310	14	53	40	205	47	2,7	0,55
(	:	:	:	:	:	177	-56	:	:	:	139	19	252	44	31	37	:	:





## 4 COMBE D'ASPRES

Echantillon		Aimantation rémanente							Anisotropie de susceptibilité										
coulée	n°	masse	Moment rémanent					K°	pourcentage de viscosité V	susceptibilité massique moyenne	Axe						pourcentage d'anisotropie h	paramètre F	
			Total		après analyse						Maximal		Minimal		Intermédiaire				
			σ	D	I	D'	I'				D	I	D	I	D	I			
III	1	257	15,6	315	-34	287	-40	1,0	8,5	34,8	67	67	239	23	330	3	1,9	0,32	
						280	-36				59	58	241	32	150	1			
	2	241	8,8	319	-45	268	-65	0,8	13,9	25,1	68	77	251	13	161	1	3,7	0,51	
						253	-57				55	68	253	21	161	6			
	3	244	10,0	333	-44	289	-73	0,8	10,0	25,8	108	71	257	16	347	10	3,3	0,52	
						262	-67					86	66	256	23	248	3		
	4	274	12,4	327	-43	287	-62	0,8	12,1	32,8	121	71	266	15	359	10	2,3	0,62	
						271	-58					95	65	269	22	0	2		
	5	273	12,7	326	-43	302	-62	1,0	10,6	28,1	125	66	255	16	350	17	2,6	0,49	
						284	-60					104	64	257	24	352	10		
II	6	286	9,4	318	-45	335	-67	0,9	42,3	23,7	99	74	260	15	351	4	1,1	0,23	
						311	-70				76	68	262	22	172	3			
	7	273	62,4	159	38	160	36	12,2	0,5	11,0	103	50	351	17	249	35	2,0	0,62	
						113	45					75	17	171	19	306	64		
	8a	273	46,0	160	38	159	38	12,0	1,0	8,2	103	42	335	34	223	30	2,2	0,63	
						109	46					81	11	350	3	244	79		
	8b	263	55,7	159	40	158	39	10,5	0,9	11,4	97	38	339	31	222	36	1,6	0,66	
						108	45					80	6	170	0	266	84		
	9	278	42,8	161	36	159	37	10,4	1,0	8,9	92	30	336	37	209	39	2,1	0,53	
						111	46					262	3	353	5	138	84		



5 ORIS-EN-RATTIER Sud-Est

Echantillon		Aimantation rémanente							Anisotropie de susceptibilité									
n°	masse	Moment rémanent					K°	pourcentage de viscosité V	susceptibilité massique moyenne	Axe						pourcentage d'anisotropie h	paramètre F	
		Total		après analyse						Maximal		Minimal		Intermédiaire				
		σ	D	I	D'	I'				D	I	D	I	D	I			
1a	150	0,5	189	2		0,1	24,5	8,7	256	25	141	42	7	38	0,1	0,48		
									90	62	195	8	289	27				
1b	257	0,4	183	12		0,07		12,1	257	22	146	42	7	40	0,06	0,56		
									95	63	194	5	287	26				
2	249	1,2	11	58		0,1	30,1	20,0	121	7	258	81	31	6	0,5	0,65		
									160	30	65	9	320	58				
3	140	4,2	21	13		0,5	6,4	19,3	354	37	128	43	243	25	1,0	0,32		
									293	17	197	17	65	65				
4	271	26,6	22	1		2,1	2,0	27,1	355	33	130	47	248	24	0,8	0,47		
									296	19	201	15	75	65				
5	280	1,3	27	30		0,1	46,2	25,8	88	9	187	42	348	47	0,5	0,18		
									172	62	19	25	284	11				
6	278	0,3				0,03		24,6	322	37	172	49	64	16	1,1	0,35		
									114	8	22	13	235	74				
7	128	0,7				0,08		19,7	326	46	136	43	231	5	1,2	0,85		
									106	4	196	12	358	77				
8	276	0,3				0,02		24,5	81	48	204	26	311	30	0,9	0,20		
									225	39	10	45	120	18				

## 6 COL D'HURTIERES

Echantillon		Aimantation rémanente							Anisotropie de susceptibilité										
coulée	n°	masse	Moment rémanent					K°	pourcentage de viscosité V	susceptibilité massique moyenne	Axe						pourcentage d'anisotropie h	paramètre F	
			Total		après analyse						Maximal		Minimal		Intermédiaire				
			$\sigma$	D	I	D'	I'				D	I	D	I	D	I			
III	1	139	0,3	184	29			0,04	19,5	16,0	132	48	236	12	336	39	2,4	0,39	
											192	40	359	49	96	6			
	2	249	0,5	190	20			0,06	51,6	16,8	135	54	246	15	345	32	2,0	0,62	
											198	36	14	54	107	2			
	3	254	1,1	191	16			0,1	50,5	18,9	130	57	244	15	343	29	1,6	0,66	
												202	37	12	52	108	5		
	4	270	0,6	204	27			0,08	18,8	15,5	132	56	333	32	237	10	0,4	0,60	
												201	37	102	11	358	51		
	5	270	0,7	202	-6			0,08	17,9	17,1	127	51	334	35	235	13	0,4	0,46	
												198	41	100	9	0	47		
	6a	271	0,6	193	40			0,09	20,1	14,7	146	55	325	35	55	0	0,5	0,12	
											196	30	97	16	342	56			
	6b	273	1,8	189	-9			0,2	8,6	16,4	119	52	328	34	228	14	0,6	0,31	
											203	45	98	14	355	42			
II	7	276	3,7	217	11	214	8	0,7	6,2	12,1	94	40	266	50	1	4	2,2	0,49	
						157	-49				171	57	45	21	305	24			
	8	274	6,5	217	15	214	10	1,1	6,2	12,9	246	20	35	66	152	11	0,7	0,41	
						159	-48				31	52	227	37	132	8			



(	:	19b	:	258	:	5,3	:	154	:	32	:	149	:	27	:	1,0	:	2,1	:	11,2	:	55	:	54	:	261	:	33	:	162	:	12	:	3,3	:	0,17	)	
(	:	:	:	:	:	:	:	:	:	:	:	134	:	-49	:	:	:	:	:	:	:	:	124	:	21	:	217	:	8	:	327	:	67	:	:	:	)	
(	:	:	:	:	:	:	:	:	:	:	:	:	:	:	:	:	:	:	:	:	:	:	:	:	:	:	:	:	:	:	:	:	:	:	:	:	)	
(	:	20	:	250	:	6,2	:	156	:	31	:	159	:	27	:	1,2	:	2,8	:	11,6	:	59	:	54	:	259	:	34	:	162	:	9	:	3,7	:	0,17	)	
(	:	:	:	:	:	:	:	:	:	:	:	148	:	-52	:	:	:	:	:	:	:	:	123	:	19	:	216	:	7	:	326	:	70	:	:	:	)	
(	:	:	:	:	:	:	:	:	:	:	:	:	:	:	:	:	:	:	:	:	:	:	:	:	:	:	:	:	:	:	:	:	:	:	:	:	)	
(	:	21	:	252	:	4,9	:	156	:	33	:	158	:	29	:	0,9	:	7,0	:	11,4	:	61	:	55	:	257	:	33	:	162	:	8	:	3,1	:	0,22	)	
(	:	:	:	:	:	:	:	:	:	:	:	147	:	-50	:	:	:	:	:	:	:	:	124	:	17	:	216	:	6	:	324	:	72	:	:	:	)	
(	II	:	:	:	:	:	:	:	:	:	:	:	:	:	:	:	:	:	:	:	:	:	:	:	:	:	:	:	:	:	:	:	:	:	:	:	)	
(	:	22	:	249	:	4,9	:	156	:	32	:	158	:	28	:	1,0	:	2,6	:	10,9	:	49	:	54	:	259	:	32	:	160	:	15	:	2,9	:	0,19	)	
(	:	:	:	:	:	:	:	:	:	:	:	147	:	-51	:	:	:	:	:	:	:	:	124	:	24	:	218	:	7	:	323	:	64	:	:	:	)	
(	:	:	:	:	:	:	:	:	:	:	:	:	:	:	:	:	:	:	:	:	:	:	:	:	:	:	:	:	:	:	:	:	:	:	:	:	)	
(	:	23	:	264	:	7,9	:	157	:	33	:	157	:	29	:	1,1	:	0,3	:	15,3	:	100	:	71	:	263	:	18	:	354	:	5	:	2,9	:	0,30	)	
(	:	:	:	:	:	:	:	:	:	:	:	146	:	-50	:	:	:	:	:	:	:	:	142	:	2	:	232	:	8	:	38	:	81	:	:	:	)	
(	:	:	:	:	:	:	:	:	:	:	:	:	:	:	:	:	:	:	:	:	:	:	:	:	:	:	:	:	:	:	:	:	:	:	:	:	)	
(	:	24	:	273	:	8,3	:	157	:	34	:	154	:	28	:	1,2	:	3,3	:	15,4	:	107	:	72	:	260	:	17	:	352	:	8	:	2,8	:	0,30	)	
(	:	:	:	:	:	:	:	:	:	:	:	142	:	-50	:	:	:	:	:	:	:	:	143	:	1	:	233	:	6	:	47	:	84	:	:	:	)	
(	:	:	:	:	:	:	:	:	:	:	:	:	:	:	:	:	:	:	:	:	:	:	:	:	:	:	:	:	:	:	:	:	:	:	:	:	)	
(	:	25	:	261	:	7,1	:	159	:	33	:	156	:	29	:	1,2	:	3,0	:	12,6	:	113	:	76	:	263	:	12	:	355	:	6	:	3,3	:	0,28	)	
(	:	:	:	:	:	:	:	:	:	:	:	144	:	-50	:	:	:	:	:	:	:	:	148	:	2	:	239	:	8	:	45	:	82	:	:	:	)	
(	:	:	:	:	:	:	:	:	:	:	:	:	:	:	:	:	:	:	:	:	:	:	:	:	:	:	:	:	:	:	:	:	:	:	:	:	)	
(	:	26	:	142	:	0,2	:	:	:	:	:	:	:	:	:	0,01	:	:	29,5	:	99	:	66	:	237	:	18	:	332	:	15	:	0,9	:	0,88	)		
(	:	:	:	:	:	:	:	:	:	:	:	:	:	:	:	:	:	:	:	:	:	:	137	:	1	:	47	:	15	:	229	:	75	:	:	:	)	
(	:	:	:	:	:	:	:	:	:	:	:	:	:	:	:	:	:	:	:	:	:	:	:	:	:	:	:	:	:	:	:	:	:	:	:	:	)	
(	:	27	:	143	:	0,2	:	:	:	:	:	:	:	:	:	0,02	:	:	20,2	:	95	:	72	:	207	:	7	:	299	:	16	:	1,8	:	0,68	)		
(	:	:	:	:	:	:	:	:	:	:	:	:	:	:	:	:	:	:	:	:	:	:	142	:	4	:	48	:	47	:	236	:	43	:	:	:	)	
(	:	:	:	:	:	:	:	:	:	:	:	:	:	:	:	:	:	:	:	:	:	:	:	:	:	:	:	:	:	:	:	:	:	:	:	:	)	
(	:	28	:	282	:	0,04	:	:	:	:	:	:	:	:	:	0,003	:	:	26,5	:	210	:	22	:	347	:	60	:	112	:	18	:	3,0	:	0,07	)		
(	:	:	:	:	:	:	:	:	:	:	:	:	:	:	:	:	:	:	:	:	:	:	31	:	37	:	160	:	40	:	277	:	29	:	:	:	)	
(	:	:	:	:	:	:	:	:	:	:	:	:	:	:	:	:	:	:	:	:	:	:	:	:	:	:	:	:	:	:	:	:	:	:	:	:	)	
(	III	:	:	:	:	:	:	:	:	:	:	:	:	:	:	:	:	:	:	:	:	:	:	:	:	:	:	:	:	:	:	:	:	:	:	:	)	
(	(?)	:	:	:	:	:	:	:	:	:	:	:	:	:	:	:	:	:	:	:	:	:	:	:	:	:	:	:	:	:	:	:	:	:	:	:	)	
(	:	:	:	:	:	:	:	:	:	:	:	:	:	:	:	:	:	:	:	:	:	:	:	:	:	:	:	:	:	:	:	:	:	:	:	:	:	)
(	:	30	:	281	:	0,03	:	:	:	:	:	:	:	:	:	0,003	:	:	18,3	:	221	:	30	:	9	:	55	:	121	:	15	:	2,7	:	0,10	)		
(	:	:	:	:	:	:	:	:	:	:	:	:	:	:	:	:	:	:	:	:	:	:	30	:	24	:	143	:	42	:	278	:	38	:	:	:	)	
(	:	:	:	:	:	:	:	:	:	:	:	:	:	:	:	:	:	:	:	:	:	:	:	:	:	:	:	:	:	:	:	:	:	:	:	:	:	)
(	:	31	:	276	:	0,06	:	:	:	:	:	:	:	:	:	0,006	:	:	20,3	:	87	:	2	:	354	:	55	:	178	:	35	:	1,3	:	0,03	)		
(	:	:	:	:	:	:	:	:	:	:	:	:	:	:	:	:	:	:	:	:	:	:	253	:	9	:	154	:	44	:	352	:	44	:	:	:	)	
(	:	:	:	:	:	:	:	:	:	:	:	:	:	:	:	:	:	:	:	:	:	:	:	:	:	:	:	:	:	:	:	:	:	:	:	:	:	)
(	:	32	:	269	:	0,05	:	:	:	:	:	:	:	:	:	0,007	:	:	16,1	:	235	:	7	:	335	:	52	:	140	:	36	:	2,0	:	0,08	)		
(	:	:	:	:	:	:	:	:	:	:	:	:	:	:	:	:	:	:	:	:	:	:	58	:	20	:	170	:	47	:	312	:	37	:	:	:	)	

7 ORIS EN RATIER (Nord-Ouest)

Echantillon		Aimantation rémanente								Anisotropie de susceptibilité									
coulée	n°	masse	Moment rémanent					K°	pourcentage de viscosité V	susceptibilité massique moyenne	Axe						pourcentage d'anisotropie h	paramètre F	
			Total		après analyse						Maximal		Minimal		Intermédiaire				
			σ	D	I	D'	I'				D	I	D	I	D	I			
I	1a	261	33,2	347	15	347	14	6,2	0,3	11,6	307	6	214	27	48	62	3,7	0,23	
						274	28				122	3	346	86	212	3			
	1b	266	30,3	350	20	347	14	6,4	0,3	10,2	300	4	207	31	37	59	4,7	0,17	
						274	28				126	8	342	80	217	6			
	2	266	19,7	336	-5	336	-5	3,5	0,06	12,2	113	10	208	26	3	62	3,8	0,12	
						299	28				142	8	314	82	52	1			
	3	253	9,1	339	-1	339	-8	1,2	7,1	16,2	121	20	219	21	352	60	3,8	0,14	
						301	32				327	3	196	86	58	3			
	4	281	0,6	352	28	6	26	0,07	21,5	18,4	86	27	216	52	342	25	5,1	0,38	
						250	30				171	20	35	63	268	17			
	5	283	0,9	354	16	347	-23	0,2	30,4	13,1	78	31	216	52	335	21	8,0	0,30	
						315	44				179	22	35	63	275	14			
	6	149	2,0	343	10	346	-9	0,3	17,0	13,0	83	30	227	54	150	10	6,8	0,27	
						288	39				176	19	49	60	307	25			
	7	271	0,8	1	33			0,1	17,7	14,9	81	38	219	44	332	23	6,3	0,33	
											182	15	41	71	275	11			
8	281	0,9	3	22	0	-21	0,1	14,0	14,3	85	34	218	45	337	25	6,1	0,31		
					289	56				177	15	40	70	271	13				



(	:	9a	:	275	:	0,8	:	6	:	22	:	:	:	0,1	:	28,0	:	13,5	:	88	:	31	:	217	:	46	:	340	:	28	:	8,1	:	0,33	)		
(	:	:	:	:	:	:	:	:	:	:	:	:	:	:	:	:	:	:	:	:	173	:	16	:	36	:	69	:	267	:	14	:	:	:	)		
(	:	:	:	:	:	:	:	:	:	:	:	:	:	:	:	:	:	:	:	:	:	:	:	:	:	:	:	:	:	:	:	:	:	:	)		
(	:	9b	:	139	:	1,1	:	339	:	9	:	:	:	0,1	:	20,9	:	15,7	:	89	:	31	:	217	:	46	:	341	:	28	:	6,2	:	0,24	)		
(	:	:	:	:	:	:	:	:	:	:	:	:	:	:	:	:	:	:	:	:	172	:	16	:	38	:	69	:	267	:	14	:	:	:	)		
(	:	:	:	:	:	:	:	:	:	:	:	:	:	:	:	:	:	:	:	:	:	:	:	:	:	:	:	:	:	:	:	:	:	:	)		
(	:	10	:	146	:	1,9	:	341	:	11	:	337	:	-24	:	0,3	:	22,2	:	15,1	:	98	:	24	:	219	:	49	:	353	:	31	:	5,4	:	0,29	)
(	:	:	:	:	:	:	:	:	:	:	:	319	:	36	:	:	:	:	:	:	:	:	:	161	:	13	:	40	:	66	:	256	:	20	:	:	)
(	:	:	:	:	:	:	:	:	:	:	:	:	:	:	:	:	:	:	:	:	:	:	:	:	:	:	:	:	:	:	:	:	:	:	)		
(	:	11	:	267	:	44,6	:	165	:	-5	:	165	:	-9	:	3,0	:	2,1	:	32,0	:	291	:	9	:	33	:	53	:	195	:	35	:	2,5	:	0,24	)
(	:	:	:	:	:	:	:	:	:	:	:	100	:	-29	:	:	:	:	:	:	:	:	125	:	18	:	219	:	12	:	340	:	68	:	:	)	
(	:	:	:	:	:	:	:	:	:	:	:	:	:	:	:	:	:	:	:	:	:	:	:	:	:	:	:	:	:	:	:	:	:	:	:	)	
(	:	12	:	270	:	41,8	:	165	:	-5	:	165	:	-9	:	3,2	:	0,9	:	30,1	:	294	:	10	:	39	:	54	:	198	:	34	:	2,7	:	0,25	)
(	:	:	:	:	:	:	:	:	:	:	:	100	:	-29	:	:	:	:	:	:	:	:	123	:	15	:	216	:	10	:	339	:	71	:	:	)	
(II	:	:	:	:	:	:	:	:	:	:	:	:	:	:	:	:	:	:	:	:	:	:	:	:	:	:	:	:	:	:	:	:	:	:	:	)	
(	:	13	:	268	:	46,0	:	164	:	-5	:	163	:	-10	:	3,1	:	2,0	:	31,7	:	284	:	17	:	35	:	51	:	182	:	34	:	2,8	:	0,18	)
(	:	:	:	:	:	:	:	:	:	:	:	101	:	-27	:	:	:	:	:	:	:	:	121	:	28	:	218	:	14	:	332	:	58	:	:	)	
(	:	:	:	:	:	:	:	:	:	:	:	:	:	:	:	:	:	:	:	:	:	:	:	:	:	:	:	:	:	:	:	:	:	:	:	)	
(	:	14	:	266	:	44,7	:	165	:	-5	:	164	:	-10	:	3,2	:	1,5	:	30,1	:	286	:	17	:	38	:	49	:	184	:	35	:	3,1	:	0,19	)
(	:	:	:	:	:	:	:	:	:	:	:	100	:	-27	:	:	:	:	:	:	:	:	:	119	:	25	:	217	:	16	:	335	:	60	:	:	)
(	:	:	:	:	:	:	:	:	:	:	:	:	:	:	:	:	:	:	:	:	:	:	:	:	:	:	:	:	:	:	:	:	:	:	:	)	
(	:	15	:	142	:	39,6	:	338	:	-1	:	338	:	-7	:	3,0	:	1,9	:	28,3	:	111	:	14	:	216	:	48	:	9	:	39	:	3,7	:	0,27	)
(	:	:	:	:	:	:	:	:	:	:	:	300	:	32	:	:	:	:	:	:	:	:	:	146	:	8	:	36	:	67	:	240	:	21	:	:	)
(	:	:	:	:	:	:	:	:	:	:	:	:	:	:	:	:	:	:	:	:	:	:	:	:	:	:	:	:	:	:	:	:	:	:	:	)	
(	:	16	:	144	:	30,7	:	339	:	-2	:	338	:	-8	:	2,8	:	2,9	:	23,3	:	112	:	16	:	220	:	48	:	9	:	38	:	6,1	:	0,27	)
(	:	:	:	:	:	:	:	:	:	:	:	301	:	32	:	:	:	:	:	:	:	:	:	148	:	6	:	43	:	67	:	240	:	22	:	:	)
(III	:	:	:	:	:	:	:	:	:	:	:	:	:	:	:	:	:	:	:	:	:	:	:	:	:	:	:	:	:	:	:	:	:	:	:	)	
(	:	17	:	138	:	27,6	:	340	:	-1	:	340	:	-8	:	2,9	:	1,2	:	20,7	:	111	:	15	:	219	:	48	:	9	:	37	:	5,6	:	0,26	)
(	:	:	:	:	:	:	:	:	:	:	:	300	:	33	:	:	:	:	:	:	:	:	:	148	:	7	:	41	:	67	:	241	:	22	:	:	)
(	:	:	:	:	:	:	:	:	:	:	:	:	:	:	:	:	:	:	:	:	:	:	:	:	:	:	:	:	:	:	:	:	:	:	:	:	)
(	:	18	:	130	:	27,2	:	343	:	-1	:	340	:	-7	:	2,5	:	2,7	:	23,3	:	113	:	14	:	219	:	49	:	12	:	38	:	5,6	:	0,26	)
(	:	:	:	:	:	:	:	:	:	:	:	299	:	33	:	:	:	:	:	:	:	:	:	146	:	7	:	41	:	66	:	238	:	23	:	:	)
(	:	:	:	:	:	:	:	:	:	:	:	:	:	:	:	:	:	:	:	:	:	:	:	:	:	:	:	:	:	:	:	:	:	:	:	:	)
(	:	19	:	277	:	76,2	:	344	:	-11	:	344	:	-12	:	6,2	:	0,9	:	26,5	:	109	:	23	:	219	:	39	:	356	:	42	:	2,3	:	0,28	)
(	:	:	:	:	:	:	:	:	:	:	:	302	:	38	:	:	:	:	:	:	:	:	:	155	:	5	:	45	:	76	:	247	:	13	:	:	)
(	:	:	:	:	:	:	:	:	:	:	:	:	:	:	:	:	:	:	:	:	:	:	:	:	:	:	:	:	:	:	:	:	:	:	:	:	)
(	:	20	:	270	:	68,8	:	343	:	-11	:	344	:	-12	:	5,8	:	1,0	:	25,4	:	110	:	19	:	217	:	40	:	0	:	44	:	2,7	:	0,32	)
(	:	:	:	:	:	:	:	:	:	:	:	302	:	38	:	:	:	:	:	:	:	:	:	152	:	6	:	38	:	75	:	243	:	14	:	:	)
(	:	:	:	:	:	:	:	:	:	:	:	:	:	:	:	:	:	:	:	:	:	:	:	:	:	:	:	:	:	:	:	:	:	:	:	:	)
(	:	21	:	267	:	5,7	:	41	:	28	:	[ 47 ]	:	[ 24 ]	:	0,8	:	3,2	:	14,8	:	67	:	34	:	208	:	49	:	323	:	20	:	2,9	:	0,40	)
(	:	:	:	:	:	:	:	:	:	:	:	[ 205 ]	:	[ 40 ]	:	:	:	:	:	:	:	:	:	190	:	25	:	24	:	65	:	282	:	5	:	:	)



## 8 HAUTE VALLEE DE LA MALSANNE

Echantillon		Aimantation rémanente							Anisotropie de susceptibilité									
coulée	n°	masse	Moment rémanent					K°	pourcentage de viscosité V	susceptibilité massive moyenne	Axe						pourcentage d'anisotropie h	paramètre F
			Total		après analyse:						Maximal		Minimal		Intermédiaire			
			σ	D	I	D'	I'				D	I	D	I	D	I		
I	1	256	22,9	285	-69			2,2	4,8	22,4	201	8	104	40	301	48	3,3	0,22
											33	2	275	84	123	5		
I	2	258	11,9	308	-65			1,2	8,7	21,1	356	22	104	37	242	44	2,3	0,39
											354	0	258	87	84	3		
II	3	252	3,0	300	-18			0,4	26,7	16,9	127	22	26	25	253	55	1,8	0,85
											166	54	6	34	270	9		
II	4	253	2,3	303	-15			0,3	31,4	16,6	126	20	17	41	236	42	1,4	0,80
											162	54	345	36	254	1		
II	5a	271	2,9	233	51			0,4	34,4	15,0	111	27	4	30	235	47	2,7	0,60
											151	67	349	22	256	6		
II	5b	281	2,7	203	39			0,4	38,5	13,0	113	15	14	32	225	54	3,2	0,50
											140	56	353	29	254	15		
II	6	255	2,3	180	54			0,3	52,0	15,9	113	15	11	39	219	48	3,1	0,67
											138	56	344	31	247	12		
II	7	253	25,0	248	-27	243	-29	4,7	1,3	11,4	315	13	215	38	60	49	0,4	0,30
						210	-57				147	29	242	9	348	59		
II	8	250	3,5	274	-6			0,7	6,1	10,4	105	24	221	45	356	35	0,8	0,48
											119	74	251	11	344	12		





9 PONSONNIERE

Echantillon		Aimantation rémanente									Anisotropie de susceptibilité								
n°	masse	Moment rémanent						%	pourcentage de viscosité V	susceptibilité massique moyenne	Axe						pourcentage d'anisotropie h	paramètre f	
		Total			après analyse						Maximal		Minimal		Intermédiaire				
		σ	D	I	D'	I'					D	I	D	I	D	I			
1	261	48,7	186	14	187	12	57,7	0,6	2,3	123	28	232	31	0	46	3,3	0,33		
					151	21				309	36	108	52	212	10				
2	233	61,7	156	13	156	15	48,7	0,4	2,1	337	16	240	22	100	62	3,5	0,23		
					150	-8				1	8	108	64	268	25				
3	154	3,5	144	22	144	20	1,3	0,6	5,8	163	24	259	15	20	61	0,1	0,12		
					141	-13				148	3	246	72	58	17				
4	279	1,9	107	41	113	41	0,4	3,9	10,0	143	48	247	12	346	39	1,1	0,36		
					120	-48				295	26	75	58	196	17				
5	268	0,4	178	57			0,1	67,5	9,1	144	23	249	32	25	49	1,5	0,43		
										313	6	74	78	222	10				
6	253	7,8	93	0	93	-1	2,5	0,6	6,8	142	41	250	20	359	43	1,0	0,40		
					183	-49				293	21	47	45	100	3				
7	254	6,4	88	-2	90	-3	2,1	0,1	6,6	142	49	246	11	344	38	0,7	0,31		
					189	-50				285	23	50	54	182	25				
8	285	13,7	98	-17	98	-18	6,3	0,1	4,7	19	39	264	28	149	38	1,6	0,22		
					236	-44				201	37	76	37	319	31				
9	261	6,6	108	-45	110	-46	2,1	3,1	6,9	147	15	241	16	24	70	2,8	0,45		
					221	-23				327	14	89	62	234	23				

(	:	10	:	276	:	4,0	:	109	:	-46	:	111	:	-47	:	1,2	:	4,2	:	7,5	:	149	:	18	:	245	:	18	:	17	:	64	:	2,9	:	0,45	)
(	:	:	:	:	:	:	:	:	:	:	:	221	:	-22	:	:	:	:	:	:	:	324	:	13	:	80	:	62	:	227	:	25	:	:	:	)	
(	:	:	:	:	:	:	:	:	:	:	:	:	:	:	:	:	:	:	:	:	:	:	:	:	:	:	:	:	:	:	:	:	:	:	:	:	)
(	:	11	:	245	:	117,4	:	135	:	-19	:	135	:	-20	:	63,1	:	0,4	:	4,0	:	158	:	30	:	261	:	21	:	21	:	52	:	1,5	:	0,52	)
(	:	:	:	:	:	:	:	:	:	:	:	184	:	-19	:	:	:	:	:	:	:	125	:	3	:	29	:	64	:	217	:	26	:	:	:	)	
(	:	:	:	:	:	:	:	:	:	:	:	:	:	:	:	:	:	:	:	:	:	:	:	:	:	:	:	:	:	:	:	:	:	:	:	)	
(	:	12	:	250	:	7,0	:	134	:	-27	:	135	:	-28	:	2,2	:	0,7	:	6,8	:	150	:	12	:	250	:	39	:	46	:	49	:	2,3	:	0,40	)
(	:	:	:	:	:	:	:	:	:	:	:	187	:	-12	:	:	:	:	:	:	:	324	:	7	:	60	:	41	:	226	:	48	:	:	:	)	
(	:	:	:	:	:	:	:	:	:	:	:	:	:	:	:	:	:	:	:	:	:	:	:	:	:	:	:	:	:	:	:	:	:	:	:	:	)
(	:	13	:	218	:	54,3	:	124	:	2	:	124	:	2	:	43,2	:	0,2	:	2,7	:	37	:	54	:	253	:	30	:	153	:	18	:	3,9	:	0,53	)
(	:	:	:	:	:	:	:	:	:	:	:	153	:	-31	:	:	:	:	:	:	:	226	:	31	:	51	:	59	:	317	:	2	:	:	:	)	
(	:	:	:	:	:	:	:	:	:	:	:	:	:	:	:	:	:	:	:	:	:	:	:	:	:	:	:	:	:	:	:	:	:	:	:	:	)
(	:	14	:	142	:	28,1	:	308	:	-38	:	309	:	-39	:	17,8	:	0,3	:	3,4	:	160	:	25	:	260	:	19	:	23	:	57	:	3,3	:	0,57	)
(	:	:	:	:	:	:	:	:	:	:	:	301	:	16	:	:	:	:	:	:	:	329	:	6	:	211	:	79	:	59	:	9	:	:	:	)	
(	:	:	:	:	:	:	:	:	:	:	:	:	:	:	:	:	:	:	:	:	:	:	:	:	:	:	:	:	:	:	:	:	:	:	:	:	)
(	:	15	:	270	:	0,7	:	175	:	-2	:	174	:	-9	:	0,2	:	17,1	:	9,5	:	151	:	11	:	245	:	21	:	34	:	65	:	1,9	:	0,61	)
(	:	:	:	:	:	:	:	:	:	:	:	186	:	-9	:	:	:	:	:	:	:	336	:	21	:	185	:	67	:	69	:	10	:	:	:	)	
(	:	:	:	:	:	:	:	:	:	:	:	:	:	:	:	:	:	:	:	:	:	:	:	:	:	:	:	:	:	:	:	:	:	:	:	:	)
(	:	16	:	262	:	3,0	:	117	:	16	:	136	:	27	:	0,9	:	3,0	:	7,0	:	130	:	25	:	231	:	22	:	358	:	56	:	0,4	:	0,37	)
(	:	:	:	:	:	:	:	:	:	:	:	134	:	-22	:	:	:	:	:	:	:	311	:	27	:	177	:	54	:	53	:	22	:	:	:	)	
(	:	:	:	:	:	:	:	:	:	:	:	:	:	:	:	:	:	:	:	:	:	:	:	:	:	:	:	:	:	:	:	:	:	:	:	:	)
(	:	17a	:	257	:	16,8	:	157	:	-36	:	157	:	-38	:	5,0	:	0,5	:	7,2	:	302	:	15	:	123	:	75	:	32	:	0	:	2,8	:	0,23	)
(	:	:	:	:	:	:	:	:	:	:	:	226	:	-35	:	:	:	:	:	:	:	13	:	69	:	106	:	1	:	196	:	21	:	:	:	)	
(	:	:	:	:	:	:	:	:	:	:	:	:	:	:	:	:	:	:	:	:	:	:	:	:	:	:	:	:	:	:	:	:	:	:	:	:	)
(	:	17b	:	264	:	13,0	:	156	:	-35	:	156	:	-37	:	3,8	:	0,4	:	7,3	:	303	:	16	:	114	:	75	:	212	:	3	:	3,2	:	0,22	)
(	:	:	:	:	:	:	:	:	:	:	:	225	:	-36	:	:	:	:	:	:	:	16	:	68	:	104	:	0	:	193	:	22	:	:	:	)	
(	:	:	:	:	:	:	:	:	:	:	:	:	:	:	:	:	:	:	:	:	:	:	:	:	:	:	:	:	:	:	:	:	:	:	:	:	)
(	:	18	:	247	:	17,3	:	155	:	-39	:	155	:	-40	:	5,3	:	0,5	:	7,0	:	307	:	15	:	117	:	75	:	217	:	3	:	3,3	:	0,20	)
(	:	:	:	:	:	:	:	:	:	:	:	229	:	-36	:	:	:	:	:	:	:	14	:	64	:	104	:	1	:	194	:	27	:	:	:	)	
(	:	:	:	:	:	:	:	:	:	:	:	:	:	:	:	:	:	:	:	:	:	:	:	:	:	:	:	:	:	:	:	:	:	:	:	:	)
(	:	19	:	265	:	10,7	:	155	:	-37	:	155	:	-39	:	3,3	:	0,6	:	7,0	:	303	:	16	:	112	:	73	:	212	:	3	:	3,2	:	0,20	)
(	:	:	:	:	:	:	:	:	:	:	:	228	:	-36	:	:	:	:	:	:	:	16	:	68	:	283	:	2	:	193	:	22	:	:	:	)	
(	:	:	:	:	:	:	:	:	:	:	:	:	:	:	:	:	:	:	:	:	:	:	:	:	:	:	:	:	:	:	:	:	:	:	:	:	)
(	:	20a	:	258	:	190,8	:	131	:	5	:	132	:	5	:	147,9	:	0,09	:	2,8	:	166	:	9	:	258	:	18	:	49	:	70	:	2,1	:	0,21	)
(	:	:	:	:	:	:	:	:	:	:	:	145	:	-24	:	:	:	:	:	:	:	154	:	9	:	327	:	82	:	63	:	1	:	:	:	)	
(	:	:	:	:	:	:	:	:	:	:	:	:	:	:	:	:	:	:	:	:	:	:	:	:	:	:	:	:	:	:	:	:	:	:	:	:	)
(	:	20b	:	126	:	215,8	:	131	:	3	:	131	:	3	:	140,6	:	0,09	:	3,3	:	114	:	73	:	258	:	14	:	351	:	10	:	2,1	:	0,28	)
(	:	:	:	:	:	:	:	:	:	:	:	146	:	-26	:	:	:	:	:	:	:	82	:	7	:	303	:	80	:	173	:	7	:	:	:	)	
(	:	:	:	:	:	:	:	:	:	:	:	:	:	:	:	:	:	:	:	:	:	:	:	:	:	:	:	:	:	:	:	:	:	:	:	:	)
(	:	21	:	226	:	192,2	:	126	:	-3	:	126	:	-3	:	187,9	:	0,4	:	2,2	:	135	:	37	:	248	:	27	:	4	:	41	:	3,1	:	0,29	)
(	:	:	:	:	:	:	:	:	:	:	:	150	:	-33	:	:	:	:	:	:	:	63	:	6	:	84	:	83	:	206	:	4	:	:	:	)	

n°	m	$\sigma$	D	I	D'	I'	K°	V	$\chi$	D <sup>M</sup>	I	D <sup>m</sup>	I	D	i	I	h	f
22	255	245,7	127	1	127	1	197,2	0,2	2,7	103	52	243	31	345	20	2,5	0,12	
					146	-30				270	12	98	77	0	2			
23	260	230,7	128	1	128	1	201,9	0,3	2,5	131	46	241	18	346	38	3,1	0,35	
					147	-29				288	4	172	81	18	8			
24	135	241,7	123	0	122	0	115,5	0,5	4,5	344	26	246	16	127	59	2,6	0,28	
					145	-35				6	5	206	84	96	2			
25	284	256,2	123	-1	123	-1	111,2	0,04	5,0	343	9	248	27	91	61	2,0	0,15	
					147	-35				349	0	84	83	260	7			
A 26	136	0,7					1,0		1,5	162	50	66	5	332	40	1,4	0,36	
										110	1	211	84	20	6			
A 27	134	0,4					0,3		2,9	14	16	269	42	120	44	0,3	0,32	
										194	16	63	67	289	16			
A 28	132	0,7					0,5		3,3	156	19	278	57	56	26	0,4	0,38	
										327	6	65	51	232	38			



## 10 GUIL

Echantillon		Aimantation rémanente								Anisotropie de susceptibilité									
D=Dacite (Br=Bréche de Faille) Ve=Verucano	n°	masse	Moment rémanent					K°	pourcentage de viscosité V	susceptibilité massique moyenne	Axe						pourcentage d'anisotropie h	paramètre F	
			Total		après analyse						Maximal		Minimal		Intermédiaire				
			σ	D	I	D'	I'				D	I	D	I	D	I			
(Ve	1	268	0,4	141	-26	149	-40	0,3	21,4	2,6	5	49	228	41	304	6	0,1	0,67	
(						167	-22				14	15	235	81	306	12			
(D	2	267	23,6	149	-34	148	-35	11,8	1,3	4,3	325	6	230	40	62	49	1,9	0,21	
(						163	-18				142	1	240	80	51	10			
(D	3	266	32,0	147	-35	147	-35	15,3	0,3	4,5	322	4	228	41	57	49	1,5	0,19	
(						162	-19				138	1	235	81	48	10			
(D-Br:	4	277	1,4	156	32	153	25	0,7	13,7	4,4	280	75	189	9	60	11	1,3	0,62	
(						152	40				309	64	191	22	58	8			
(D	5	286	21,6	137	-30	137	-32	7,4	1,9	6,3	352	76	186	13	96	3	3,6	0,48	
(						150	-11				15	33	165	51	277	15			
(D	6	286	14,7	157	-44	157	-44	7,4	0,7	4,3	132	13	229	26	17	61	0,1	0,40	
(						173	-28				122	9	228	55	26	33			
(D	7	306	19,0	146	-33	145	-35	10,0	1,3	4,1	28	42	246	40	138	20	0,4	0,44	
(						158	-25				28	13	264	66	124	19			
(D	8	303	20,8	224	52	217	52	14,4	1,5	3,1	86	55	276	35	183	5	1,5	0,15	
(						8	81				67	29	293	49	173	26			
(D	9	290	26,0	107	-13	108	-14	18,0	0,05	3,1	160	11	260	43	61	45	1,0	0,26	
(						110	-5				160	26	273	39	47	41			

	n°	m	$\sigma$	D	I	D'	I'	K°	V	$\chi$	D	M	I	D	m	I	D	i	I	h	f
(D	10	274	26,3	138	-13	139	-14	9,9	0,6	5,7	140	12	233	17	16	69	3,5	0,81			
(						140	0				138	26	238	21	2	56					
(D	11	276	23,8	148	-32	157	-44	15,5	3,3	3,3	132	13	229	26	72	61	0,2	0,19			
(						158	-29				129	26	237	30	47	58					
(D	12	288	36,9	141	-2	145	-4	21,4	0,8	3,7	45	79	253	7	182	8	1,6	0,13			
(						145	10				8	68	255	6	184	22					
(D	13	286	23,6	149	-9	149	-9	14,1	0,7	3,6	1	21	250	4	168	68	1,7	0,14			
(						149	6				0	7	251	4	184	83					
(D	14	285	21,3	153	-44	153	-45	14,3	0,8	3,2	330	8	219	69	62	19	0,9	0,44			
(						154	-30				150	7	262	72	57	16					
(D	15	291	15,4	148	-48	148	-48	10,3	0,7	3,2	343	10	244	42	83	47	1,5	0,36			
(						150	-33				163	5	258	42	66	48					
(D	16	287	15,2	156	-30	159	-32	7,4	1,6	4,4	18	22	263	46	125	35	0,6	0,24			
(						159	-17				15	10	276	41	117	47					
(D	17	294	28,4	153	-38	153	-38	21,1	0,7	2,9	342	9	238	42	85	47	0,6	0,67			
(						142	-17				165	3	251	10	68	82					
(D	18	194	8,2	134	-18	134	-22	5,7	2,6	3,1	0	41	236	33	122	32	0,4	0,74			
(						141	-14				336	31	67	2	159	60					
(D	19	275	13,5	146	-38	148	-43	8,5	0,8	3,4	340	19	209	63	77	19	1,0	0,49			
(						136	-4				160	4	253	20	59	70					
(D-Br	20	305	24,5	165	12	165	11	8,9	0,9	5,9	138	44	315	46	47	1	3,6	0,43			
(						165	26				130	58	320	32	227	5					
(D	21	282	13,9	159	-36	159	-36	8,1	0,7	3,7	337	13	217	65	72	21	0,7	0,58			
(						147	-6				163	11	256	18	43	69					

## 11 CROIX DE FER

Echantillon		Aimantation rémanente							Anisotropie de susceptibilité									
n°	masse	Moment rémanent					K°	pourcentage de viscosité V	susceptibilité massique moyenne	Axe						pourcentage d'anisotropie h	paramètre F	
		Total		après analyse						Maximal		Minimal		Intermédiaire				
		σ	D	I	D'	I'				D	I	D	I	D	I			
1a	273	56,8	271	50			6,9	1,3	17,8	67	40	166	10	268	48	8,9	0,50	
										299	34	30	2	123	56			
1b	143	54,7	251	-18			5,7	0,9	20,6	54	47	306	16	203	38	14,3	0,48	
										307	24	192	43	57	37			
2	267	3,9	149	36			1,1	0,3	7,4	9	18	278	0	187	71	3,2	0,42	
										12	4	272	68	103	22			
3	270	5,7	56	-13			1,3	3,8	9,3	8	29	98	0	188	61	7,2	0,50	
										183	1	274	67	92	23			
4	229	2,0	62	-33			0,5	7,9	8,5	10	15	280	0	190	75	6,5	0,22	
										15	7	268	66	108	23			
5	258	6,1	169	27			1,6	2,7	8,3	8	11	277	5	163	78	12,2	0,49	
										19	7	267	72	111	17			
6	135	1,0	152	11			0,3	18,5	7,2	14	37	112	11	216	51	2,4	0,16	
										353	1	262	50	83	40			
7	273	94,1	232	-7			17,9	0,4	11,3	38	7	130	16	286	72	21,2	0,57	
										1	41	236	34	123	31			
8	134	153,5	78	67			15,2	0,3	21,7	66	40	159	4	254	49	26,7	0,85	
										319	31	219	16	106	54			

n°	$\Omega$	$\sigma$	D	I	D'	I'	K°	V	$\chi$	D <sup>M</sup>	I	D <sup>m</sup>	I	D	i	I	h	f
9a	261	18,7	137	-67			4,7	0,8	8,5	111	22	215	31	351	50		8,8	0,90
										242	44	52	46	147	5			
9b	256	22,1	107	8			5,0	0,7	9,5	151	27	246	9	353	61		3,9	0,79
										227	9	14	79	136	6			
10	268	32,2	334	-34			6,1	1,2	11,4	179	7	281	58	85	31		6,0	0,48
										19	19	130	46	274	38			
11	285	4,1	127	56			1,0	0,6	8,7	348	17	88	30	232	55		6,0	0,55
										158	4	253	52	64	38			
12	145	4,6	24	68			1,1	0,4	9,2	4	8	271	23	112	65		6,7	0,72
										151	21	7	64	246	14			
13	265	31,1	340	-48			6,1	0,5	10,9	21	14	287	14	154	69		9,0	0,49
										162	36	338	54	70	2			
14	273	26,9	285	-37			4,5	1,6	12,9	13	4	278	27	108	63		8,8	0,57
										148	28	4	57	247	17			
15a	279	52,2	351	15			4,0	3,2	27,8	28	13	122	16	261	69		6,8	0,74
										171	36	296	38	55	31			
15b	141	93,1	319	39			6,8	2,6	29,4	203	4	349	85	113	3		8,3	0,44
										148	36	51	10	308	52			
16a	146	18,7	353	13			4,2	1,3	9,5	142	14	244	40	36	47		11,7	0,17
										306	22	76	58	207	22			
16b	142	24,3	317	40			5,4	0,01	9,6	191	3	282	16	92	73		12,1	0,23
										148	25	343	64	240	6			
17	131	10,2	331	29			2,5	2,2	8,7	21	42	287	4	192	47		7,0	0,30
										196	17	317	60	98	24			
18	282	61,4	27	73			6,3	1,3	20,9	189	24	318	55	88	24		3,2	0,20
										124	24	23	24	253	54			
19	139	0,9	39	-21			0,3	16,2	6,4	9	12	272	28	120	59		0,2	0,67
										333	35	153	55	243	0			

(	:	20	:	129	:	2,0	:	326	:	-47	:	:	:	0,7	:	3,3	:	6,5	:	175	:	16	:	84	:	3	:	346	:	74	:	0,2	:	0,73	)
(	:	:	:	:	:	:	:	:	:	:	:	:	:	:	:	:	:	:	:	:	10	:	30	:	211	:	58	:	105	:	9	:	:	:	)
(	:	21	:	139	:	1,4	:	336	:	24	:	:	:	0,5	:	1,1	:	6,4	:	163	:	25	:	258	:	25	:	9	:	62	:	0,2	:	0,72	)
(	:	:	:	:	:	:	:	:	:	:	:	:	:	:	:	:	:	:	:	:	22	:	21	:	189	:	69	:	290	:	4	:	:	:	)
(	:	22	:	131	:	3,1	:	165	:	-41	:	:	:	1,1	:	8,9	:	6,2	:	163	:	41	:	66	:	8	:	327	:	47	:	0,5	:	0,52	)
(	:	:	:	:	:	:	:	:	:	:	:	:	:	:	:	:	:	:	:	:	39	:	22	:	249	:	65	:	134	:	11	:	:	:	)
(	:	23	:	135	:	1,8	:	249	:	54	:	:	:	0,6	:	3,0	:	6,5	:	163	:	27	:	72	:	3	:	337	:	63	:	0,1	:	0,45	)
(	:	:	:	:	:	:	:	:	:	:	:	:	:	:	:	:	:	:	:	:	23	:	21	:	229	:	67	:	117	:	9	:	:	:	)
(	:	24	:	135	:	0,5	:	243	:	67	:	:	:	0,2	:	14,8	:	6,6	:	353	:	20	:	259	:	12	:	139	:	66	:	0,2	:	0,68	)
(	:	:	:	:	:	:	:	:	:	:	:	:	:	:	:	:	:	:	:	:	333	:	18	:	185	:	69	:	66	:	11	:	:	:	)
(	:	25	:	276	:	0,6	:	76	:	16	:	:	:	0,2	:	6,7	:	5,4	:	47	:	4	:	315	:	17	:	150	:	73	:	2,0	:	0,76	)
(	:	:	:	:	:	:	:	:	:	:	:	:	:	:	:	:	:	:	:	:	299	:	68	:	166	:	15	:	72	:	15	:	:	:	)
(	:	26	:	128	:	0,5	:	138	:	68	:	:	:	0,2	:	10,5	:	5,1	:	52	:	2	:	321	:	37	:	146	:	53	:	2,7	:	0,58	)
(	:	:	:	:	:	:	:	:	:	:	:	:	:	:	:	:	:	:	:	:	285	:	72	:	145	:	14	:	52	:	11	:	:	:	)
(	:	27	:	248	:	0,09	:	:	:	:	:	:	:	0,03	:	:	7,5	:	27	:	22	:	284	:	29	:	148	:	52	:	2,2	:	0,98	)	
(	:	:	:	:	:	:	:	:	:	:	:	:	:	:	:	:	:	:	:	:	29	:	6	:	194	:	83	:	299	:	2	:	:	:	)
(	:	28	:	280	:	1,5	:	243	:	7	:	:	:	0,4	:	5,8	:	8,1	:	45	:	33	:	299	:	22	:	182	:	49	:	2,1	:	0,46	)
(	:	:	:	:	:	:	:	:	:	:	:	:	:	:	:	:	:	:	:	:	50	:	3	:	298	:	82	:	140	:	8	:	:	:	)
(	:	29a	:	284	:	4,7	:	240	:	-30	:	:	:	1,3	:	0,3	:	7,7	:	38	:	34	:	298	:	15	:	188	:	52	:	2,9	:	0,39	)
(	:	:	:	:	:	:	:	:	:	:	:	:	:	:	:	:	:	:	:	:	47	:	8	:	287	:	75	:	139	:	13	:	:	:	)
(	:	29b	:	282	:	1,8	:	246	:	-24	:	:	:	0,4	:	0,9	:	8,8	:	41	:	56	:	295	:	10	:	199	:	32	:	0,9	:	0,30	)
(	:	:	:	:	:	:	:	:	:	:	:	:	:	:	:	:	:	:	:	:	68	:	17	:	278	:	70	:	161	:	9	:	:	:	)
(	:	30	:	280	:	5,7	:	242	:	13	:	:	:	1,3	:	2,8	:	9,3	:	103	:	77	:	299	:	13	:	209	:	3	:	3,4	:	0,44	)
(	:	:	:	:	:	:	:	:	:	:	:	:	:	:	:	:	:	:	:	:	100	:	17	:	290	:	73	:	191	:	3	:	:	:	)
(	:	31	:	280	:	2,8	:	267	:	1	:	:	:	0,7	:	0,3	:	8,4	:	31	:	51	:	300	:	1	:	209	:	38	:	1,1	:	0,50	)
(	:	:	:	:	:	:	:	:	:	:	:	:	:	:	:	:	:	:	:	:	61	:	21	:	289	:	61	:	159	:	19	:	:	:	)
(	:	32	:	244	:	0,4	:	267	:	26	:	:	:	0,1	:	16,5	:	8,2	:	67	:	48	:	313	:	20	:	208	:	35	:	2,9	:	0,42	)
(	:	:	:	:	:	:	:	:	:	:	:	:	:	:	:	:	:	:	:	:	252	:	0	:	342	:	72	:	162	:	18	:	:	:	)



Echantillon		Aimantation rémanente							Anisotropie de susceptibilité								
n°	masse	Moment rémanent					K°	pourcentage de viscosité V	susceptibilité massique moyenne	Axe						pourcentage d'anisotropie H	paramètre f
		Total		après analyse						Maximal		Minimal		Intermédiaire			
		D	I	D'	I'	D				I	D	I	D	I			
1	278	0,3					0,06		10,2	127	12	245	66	32	21	7,2	0,51
										116	13	0	62	212	21		
2	280	0,3					0,08		8,3	127	12	255	70	33	15	5,9	0,56
										116	13	4	57	213	30		
3	273	0,2					0,06		7,4	126	10	236	63	31	25	7,3	0,46
										117	11	0	67	211	20		
4	268	0,3					0,06		10,5	129	14	256	68	34	17	5,3	0,54
										116	16	0	57	214	28		
5a	272	0,2					0,05		8,4	128	8	236	65	34	24	7,1	0,43
										120	11	4	65	214	21		
5b	263	0,2					0,04		9,6	126	12	240	62	30	24	5,9	0,51
										116	13	355	66	210	21		
6	272	0,1					0,03		8,3	126	11	239	64	31	23	7,7	0,41
										116	12	0	65	211	22		
7	131	0,4					0,1		7,3	120	8	232	70	28	18	7,3	0,48
										114	6	14	63	208	27		
8	269	0,8	339	79			0,1	3,5	16,3	132	31	240	28	3	46	10,8	0,16
										104	29	275	61	12	14		
9	258	0,3					0,05		14,2	127	24	234	33	8	46	10,5	0,18
										107	21	275	68	15	3		





## 13 AURIS EN OISANS

Echantillon		Aimantation rémanente						Anisotropie de susceptibilité									
n°	MASSE	Moment rémanent					K°	pourcentage de viscosité V	susceptibilité massique moyenne	Axe						pourcentage d'anisotropie h	paramètre F
		Total		après analyse:						Maximal		Minimal		Intermédiaire			
		σ	D	I	D'	I'				D	I	D	I	D	I		
1	266	0,2					0,5	0,79	60	43	297	30	185	32	4,3	0,49	
									2	80	176	10	267	1			
2	131	0,1					0,7	0,29	315	1	231	47	46	42	0,06	0,41	
									324	2	229	7	71	82			
3	131	0,1					0,5	0,40	316	8	216	52	52	37	1,0	0,61	
									148	4	239	13	43	77			
4	131	0,08					0,6	0,31	316	5	220	53	50	36	1,3	0,43	
									146	1	236	13	50	76			
5	132	0,1					0,5	0,40	312	1	220	48	43	42	0,9	0,52	
									327	4	237	8	84	81			
6	268	0,05					0,4	0,26	330	47	191	36	84	21	4,2	0,18	
									169	40	261	3	355	51			
7	270	0,03					0,2	0,32	24	54	195	36	288	4	2,4	0,08	
									164	74	258	1	348	17			
8	271	0,01					0,06	0,41	288	15	45	58	190	27	3,6	0,23	
									354	8	212	81	85	5			
9	268	0,03					0,2	0,33	348	53	191	35	93	11	2,8	0,18	
									169	53	261	2	353	37			

$n^{\circ}$	m	$\sigma$	D	I	D'	I'	$K^{\circ}$	V	$\chi$	D	M	I	D	$m$	I	D	i	I	h	f
10	273	0,02					0,06		0,72	337	48	192	36	88	18	1,2	0,20			
										167	44	260	2	353	46					
11	273	0,01					0,07		0,35	340	48	190	38	87	15	2,8	0,14			
										166	46	261	5	356	44					
12a	272								-0,09	28	55	170	34	296	9	0,8	0,55			
										169	76	277	9	344	8					
12b	273								-0,06	19	60	180	29	274	8	1,5	0,59			
										182	70	272	1	334	48					
13	272								-0,02	15	49	189	41	282	3	6,1	0,44			
										151	67	260	8	353	21					
14	267								-0,09	359	47	183	43	92	2	2,0	0,20			
										155	57	263	12	359	30					
15	282	0,03					0,003		24,8	302	22	62	52	198	30	9,5	0,45			
										168	6	301	82	77	5					
16	273	0,03					0,003		20,5	302	26	67	51	197	28	7,5	0,44			
										170	9	308	79	79	7					
17	138	0,1					0,009		23,2	134	7	25	70	227	18	14,6	0,47			
										320	9	208	67	53	22					
18	140	0,1					0,01		22,9	136	7	22	73	228	16	12,7	0,46			
										319	8	212	64	52	24					
19	260	0,2					0,3		1,6	316	49	195	24	90	31	1,6	0,25			
										178	33	82	10	337	55					
20	277	0,6	210	-32	210	-31	0,9	19,3	1,4	297	22	49	43	188	39	2,4	0,53			
					96	66				171	3	56	83	262	6					
21	278	0,5	205	-31			1,1	22,1	1,1	297	24	48	38	183	42	2,8	0,50			
										172	5	58	78	264	11					
22a	286	0,09					0,01		18,7	308	16	60	52	207	33	16,8	0,40			
										159	5	299	83	69	5					



## 14 MARINET

Echantillon		Aimantation rémanente							Anisotropie de susceptibilité									
Roches : tuf (T) et dacite (D)	n°	masse	Moment rémanent					K°	pourcentage de viscosité V	susceptibilité massique moyenne	Axe						pourcentage d'anisotropie h	paramètre F
			Total		après analyse						Maximal	Minimal		Intermédiaire				
			σ	D	I	D'	I'				D	I	D	I				
T	1	132	0,2					0,04	10,6	223	28	12	58	125	14	11,1	0,57	
T	2	290	0,4	309	-28			0,1	12,1	8,1	212	7	359	82	121	4	6,1	0,46
T	3	262	0,5	311	-20			0,1	18,3	8,9	215	9	352	78	123	8	5,8	0,44
T	4	143	0,4					0,09	9,5	215	23	332	46	108	35	6,8	0,61	
T	5	137	0,5					0,1	10,1	215	22	329	45	107	37	7,3	0,63	
T	6a	265	0,2					0,05	8,4	226	20	327	28	105	55	2,4	0,78	
T	6b	135	0,09					0,02	8,2	232	13	343	8	37	76	5,8	0,43	
T	6c	118	0,1					0,03	8,4	226	20	0	63	129	18	5,3	0,72	
T	6d	136	0,5					0,1	10,0	234	12	138	26	347	61	6,2	0,41	





( T : 17 : 256 : 0,04 : : : : : 0,009 : : 9,7 : 215 : 30 : 42 : 60 : 306 : 3 : 12,5 : 0,19 )
( : )
( T : 18 : 256 : 0,3 : : : : : 0,07 : : 8,7 : 218 : 30 : 51 : 59 : 312 : 6 : 11,1 : 0,27 )
( : )
( T : 19 : 259 : 0,05 : : : : : 0,02 : : 5,9 : 231 : 25 : 330 : 17 : 90 : 59 : 8,8 : 0,42 )
( : )
( T : 20 : 278 : 0,03 : : : : : 0,01 : : 5,7 : 231 : 27 : 329 : 14 : 82 : 58 : 8,8 : 0,35 )
( : )
( T : 21 : 273 : 0,03 : : : : : 0,01 : : 5,7 : 231 : 28 : 330 : 15 : 85 : 57 : 9,0 : 0,34 )
( : )
( D : 22a : 263 : 48,2 : 172 : 39 : 172 : 39 : 13,3 : 0,6 : 7,8 : 243 : 43 : 138 : 16 : 32 : 43 : 0,9 : 0,66 )
( : : : : : : : (120) : (-7) : : : : : : : : : : : : : : : )
( D : 22b : 130 : 48,5 : 166 : 35 : 168 : 37 : 13,9 : 0,2 : 7,5 : 240 : 43 : 138 : 13 : 36 : 45 : 1,2 : 0,66 )
( : : : : : : : (123) : (-9) : : : : : : : : : : : : : : : )
( D : 22c : 21 : 29,7 : 186 : 35 : 184 : 37 : 15,6 : 3,0 : 4,1 : 246 : 51 : 142 : 11 : 43 : 37 : 2,1 : 0,43 )
( : : : : : : : (117) : (+2) : : : : : : : : : : : : : : : )
( D : 22d : 22 : 32,9 : 197 : 32 : 194 : 35 : 15,7 : 2,9 : 4,5 : 243 : 42 : 135 : 18 : 28 : 42 : 2,0 : 0,44 )
( : : : : : : : (114) : (+10) : : : : : : : : : : : : : : : )
( D : 22e : 20 : 44,6 : 181 : 6 : 180 : 9 : 15,7 : 2,5 : 6,1 : 231 : 40 : 131 : 11 : 29 : 48 : 1,2 : 0,78 )
( : : : : : : : (143) : (+14) : : : : : : : : : : : : : : : )
( D : 22f : 21 : 46,4 : 188 : -1 : 187 : 3 : 16,4 : 2,7 : 6,1 : 226 : 37 : 125 : 15 : 17 : 49 : 1,2 : 0,84 )
( : : : : : : : (145) : (+23) : : : : : : : : : : : : : : : )
( D : 22g : 20 : 78,1 : 192 : -18 : 193 : -15 : 21,0 : 2,0 : 8,0 : 228 : 22 : 126 : 26 : 354 : 55 : 0,9 : 0,74 )
( : : : : : : : (161) : (+36) : : : : : : : : : : : : : : : )
( D : 22h : 20 : 57,6 : 179 : -22 : 180 : -19 : 19,4 : 1,5 : 6,4 : 223 : 20 : 106 : 51 : 326 : 32 : 1,3 : 0,82 )
( : : : : : : : (170) : (+26) : : : : : : : : : : : : : : : )
( D : 23 : 145 : 117,2 : 128 : -47 : 125 : -47 : 37,1 : 0,06 : 6,8 : 210 : 17 : 301 : 4 : 43 : 73 : 10,8 : 0,66 )
( : : : : : : : (216) : (-3) : : : : : : : : : : : : : : : )





## A GRANITE DE LA BERARDE

Echantillon				Anisotropie de susceptibilité							
Roche en dehors du granite : Filois (F) et encaissements (EN)	n°	masse	susceptibilité massique moyenne	Axe						pourcentage d'anisotropie h	paramètre f
				Maximal		Minimal		Intermédiaire			
				D	I	D	I	D	I		
	1	285	33,3	342	37	230	27	114	41	18,1	0,41
	2	271	48,5	331	24	73	26	204	53	4,7	0,72
	3	272	67,4	153	36	254	11	359	51	9,6	0,54
	4	273	8,8	300	25	41	21	166	56	4,9	0,16
	5	286	38,3	304	40	211	2	119	50	19,8	0,41
	6	267	63,3	32	82	277	3	187	8	8,6	0,33
	7	138	2,5	8	8	272	35	109	53	11,2	0,68
	8	254	1,4	4	8	270	27	109	61	7,5	0,53
	9	121	18,2	27	8	288	49	123	40	14,3	0,71
	10	270	2,4	108	19	214	40	358	44	9,0	0,16
	11a	137	1,3	160	37	267	21	20	46	4,8	0,73
	11b	134	3,0	70	56	264	33	170	7	6,5	0,28
	12	134	2,2	137	11	235	37	33	51	11,7	0,37
	13	267	57,3	155	9	246	9	20	78	10,5	0,21
	14	256	23,4	359	63	259	5	167	26	4,4	0,34
	15	260	6,2	358	40	90	2	183	50	8,7	0,34
	16a	232	21,4	327	82	102	5	193	5	8,9	0,18
	16b	252	22,9	5	83	99	1	189	7	9,4	0,15
	17	261	28,8	192	87	82	1	352	3	27,1	0,38
	18	259	30,3	344	27	79	10	187	61	13,5	0,23
	19	251	2,3	297	20	206	4	105	70	2,9	0,32
	20a	250	2,2	180	74	58	9	326	13	2,3	0,62
	20b	242	2,5	220	74	74	13	342	9	2,9	0,68

	n°	m	x	D <sup>M</sup>	I	D <sup>m</sup>	I	D <sup>i</sup>	I	h	f												
(	:	21	:	283	:	16,1	:	10	:	2	:	101	:	19	:	275	:	70	:	1,3	:	0,07	)
(	:	:	:	:	:	:	:	:	:	:	:	:	:	:	:	:	:	:	:	:	:	:	)
(	:	22	:	272	:	10,6	:	200	:	6	:	107	:	27	:	301	:	62	:	2,2	:	0,12	)
(	:	:	:	:	:	:	:	:	:	:	:	:	:	:	:	:	:	:	:	:	:	:	)
(	:	23a	:	255	:	25,8	:	179	:	65	:	78	:	5	:	346	:	24	:	8,8	:	0,13	)
(	:	:	:	:	:	:	:	:	:	:	:	:	:	:	:	:	:	:	:	:	:	:	)
(	:	23b	:	133	:	101,1	:	222	:	77	:	82	:	10	:	351	:	8	:	8,2	:	0,06	)
(	:	:	:	:	:	:	:	:	:	:	:	:	:	:	:	:	:	:	:	:	:	:	)
(	:	24a	:	244	:	25,4	:	157	:	54	:	57	:	7	:	322	:	35	:	5,8	:	0,67	)
(	:	:	:	:	:	:	:	:	:	:	:	:	:	:	:	:	:	:	:	:	:	:	)
(	:	24b	:	212	:	14,7	:	179	:	62	:	67	:	12	:	331	:	25	:	4,9	:	0,59	)
(	:	:	:	:	:	:	:	:	:	:	:	:	:	:	:	:	:	:	:	:	:	:	)
(	:	25	:	232	:	37,4	:	148	:	29	:	54	:	7	:	312	:	60	:	3,6	:	0,50	)
(	:	:	:	:	:	:	:	:	:	:	:	:	:	:	:	:	:	:	:	:	:	:	)
(	:	26	:	138	:	3,3	:	2	:	8	:	92	:	2	:	198	:	82	:	3,8	:	0,28	)
(	:	:	:	:	:	:	:	:	:	:	:	:	:	:	:	:	:	:	:	:	:	:	)
(	:	27	:	123	:	6,0	:	350	:	28	:	254	:	12	:	142	:	59	:	2,6	:	0,17	)
(	:	:	:	:	:	:	:	:	:	:	:	:	:	:	:	:	:	:	:	:	:	:	)
(	F	28	:	134	:	0,46	:	5	:	7	:	95	:	0	:	190	:	83	:	16,4	:	0,45	)
(	:	:	:	:	:	:	:	:	:	:	:	:	:	:	:	:	:	:	:	:	:	:	)
(	:	29	:	262	:	3,8	:	347	:	8	:	77	:	0	:	167	:	82	:	8,4	:	0,39	)
(	:	:	:	:	:	:	:	:	:	:	:	:	:	:	:	:	:	:	:	:	:	:	)
(	:	30a	:	256	:	3,3	:	1	:	0	:	271	:	5	:	91	:	85	:	8,0	:	0,51	)
(	:	:	:	:	:	:	:	:	:	:	:	:	:	:	:	:	:	:	:	:	:	:	)
(	:	30b	:	237	:	3,6	:	178	:	2	:	88	:	0	:	352	:	88	:	8,4	:	0,50	)
(	:	:	:	:	:	:	:	:	:	:	:	:	:	:	:	:	:	:	:	:	:	:	)
(	En	31	:	260	:	5,3	:	350	:	18	:	101	:	47	:	246	:	37	:	9,9	:	0,82	)
(	:	:	:	:	:	:	:	:	:	:	:	:	:	:	:	:	:	:	:	:	:	:	)
(	En	32	:	258	:	4,8	:	349	:	19	:	101	:	47	:	244	:	37	:	8,5	:	0,77	)
(	:	:	:	:	:	:	:	:	:	:	:	:	:	:	:	:	:	:	:	:	:	:	)
(	En	33	:	260	:	4,8	:	3	:	9	:	273	:	1	:	176	:	81	:	9,2	:	0,62	)
(	:	:	:	:	:	:	:	:	:	:	:	:	:	:	:	:	:	:	:	:	:	:	)
(	En	34	:	258	:	5,1	:	8	:	7	:	181	:	83	:	278	:	1	:	7,4	:	0,87	)
(	:	:	:	:	:	:	:	:	:	:	:	:	:	:	:	:	:	:	:	:	:	:	)
(	:	35a	:	278	:	9,9	:	139	:	51	:	243	:	11	:	341	:	37	:	2,1	:	0,26	)
(	:	:	:	:	:	:	:	:	:	:	:	:	:	:	:	:	:	:	:	:	:	:	)
(	:	35b	:	286	:	10,1	:	116	:	67	:	242	:	14	:	337	:	18	:	2,2	:	0,33	)
(	:	:	:	:	:	:	:	:	:	:	:	:	:	:	:	:	:	:	:	:	:	:	)
(	:	36	:	292	:	10,9	:	34	:	72	:	263	:	12	:	170	:	13	:	1,3	:	0,46	)
(	:	:	:	:	:	:	:	:	:	:	:	:	:	:	:	:	:	:	:	:	:	:	)
(	:	37	:	270	:	4,4	:	340	:	75	:	244	:	1	:	154	:	15	:	3,8	:	0,06	)
(	:	:	:	:	:	:	:	:	:	:	:	:	:	:	:	:	:	:	:	:	:	:	)
(	:	38	:	261	:	5,3	:	288	:	70	:	52	:	12	:	145	:	16	:	3,0	:	0,33	)
(	:	:	:	:	:	:	:	:	:	:	:	:	:	:	:	:	:	:	:	:	:	:	)
(	:	39	:	271	:	4,3	:	346	:	16	:	248	:	26	:	104	:	58	:	2,5	:	0,41	)
(	:	:	:	:	:	:	:	:	:	:	:	:	:	:	:	:	:	:	:	:	:	:	)
(	:	40	:	271	:	4,5	:	345	:	18	:	248	:	21	:	112	:	62	:	2,5	:	0,45	)
(	:	:	:	:	:	:	:	:	:	:	:	:	:	:	:	:	:	:	:	:	:	:	)
(	:	41	:	129	:	5,1	:	66	:	27	:	320	:	29	:	192	:	48	:	2,5	:	0,28	)
(	:	:	:	:	:	:	:	:	:	:	:	:	:	:	:	:	:	:	:	:	:	:	)
(	:	42	:	246	:	2,7	:	157	:	25	:	66	:	1	:	334	:	65	:	2,1	:	0,07	)
(	:	:	:	:	:	:	:	:	:	:	:	:	:	:	:	:	:	:	:	:	:	:	)
(	:	43	:	252	:	1,5	:	170	:	26	:	79	:	1	:	347	:	64	:	3,2	:	0,61	)
(	:	:	:	:	:	:	:	:	:	:	:	:	:	:	:	:	:	:	:	:	:	:	)
(	:	44	:	128	:	1,8	:	192	:	25	:	92	:	21	:	326	:	57	:	3,2	:	0,63	)
(	:	:	:	:	:	:	:	:	:	:	:	:	:	:	:	:	:	:	:	:	:	:	)
(	:	45	:	137	:	72,8	:	341	:	50	:	248	:	2	:	156	:	39	:	11,7	:	0,78	)
(	:	:	:	:	:	:	:	:	:	:	:	:	:	:	:	:	:	:	:	:	:	:	)
(	:	46	:	247	:	17,8	:	341	:	58	:	232	:	11	:	135	:	29	:	15,3	:	0,58	)
(	:	:	:	:	:	:	:	:	:	:	:	:	:	:	:	:	:	:	:	:	:	:	)
(	:	47	:	135	:	5,6	:	169	:	21	:	77	:	5	:	333	:	68	:	15,0	:	0,16	)
(	:	:	:	:	:	:	:	:	:	:	:	:	:	:	:	:	:	:	:	:	:	:	)
(	:	48	:	141	:	8,3	:	186	:	37	:	83	:	16	:	335	:	49	:	9,7	:	0,06	)

## A' GRANITE DE ROCHAIL

Echantillon			Anisotropie de susceptibilité								
	n	masse	susceptibilité massique moyenne	Axe						pourcentage d'anisotropie h	paramètre f
				Maximal		Minimal		Intermédiaire			
				D	I	D	I	D	I		
	49	127	4,3	340	35	236	18	123	49	5,0	0,70
	50	113	3,3	337	33	234	20	117	50	3,7	0,72
	51a	144	2,8	329	30	232	12	122	57	5,3	0,81
	51b	255	2,7	336	23	228	36	91	45	5,1	0,65
	52	263	2,3	342	25	228	42	94	38	4,9	0,43
	53	260	2,1	341	23	229	40	93	41	4,3	0,66
	54	251	2,7	351	30	255	10	149	58	4,1	0,84
	55	253	2,5	339	33	234	22	116	49	5,1	0,95
	56	256	3,0	348	30	223	45	98	31	4,3	0,75
En	57	277	14,1	359	26	181	64	89	1	23,4	0,57
En	58	277	12,4	4	31	168	58	270	7	17,5	0,49
En	59	282	6,1	290	33	137	54	29	13	10,0	0,12
F de γ	60	125	0,67	40	20	148	41	291	43	25,9	0,08
F	61	264	0,34	31	9	131	45	292	43	26,6	0,13
	62	129	1,4	339	24	134	64	245	9	8,8	0,50
	63	132	8,3	5	27	272	4	174	62	8,1	0,48
	64	128	3,8	358	17	159	72	266	5	5,8	0,82
F	65	117	0,52	120	17	217	23	356	61	27,1	0,81
	66a	269	3,8	356	30	163	59	262	5	4,2	0,66
	66b	271	4,1	355	29	143	57	256	14	3,5	0,51
	67	128	3,8	352	24	128	58	253	20	4,0	0,69
	68	263	2,6	348	13	254	16	114	69	6,1	0,76
	69	251	4,5	336	17	70	10	189	69	3,7	0,72

	n°	m	$\chi$	D	M	I	D	m	I	D	i	I	h	f									
(	:	70	:	252	:	4,8	:	332	:	28	:	69	:	14	:	182	:	58	:	3,6	:	0,63	)
(	:	:	:	:	:	:	:	:	:	:	:	:	:	:	:	:	:	:	:	:	:	:	)
(	:	71	:	121	:	61,7	:	352	:	12	:	85	:	12	:	219	:	73	:	14,8	:	0,52	)
(	:	:	:	:	:	:	:	:	:	:	:	:	:	:	:	:	:	:	:	:	:	:	)
(	:	72a	:	127	:	83,1	:	341	:	21	:	237	:	31	:	100	:	51	:	20,5	:	0,79	)
(	:	:	:	:	:	:	:	:	:	:	:	:	:	:	:	:	:	:	:	:	:	:	)
(	:	72b	:	130	:	68,8	:	332	:	24	:	231	:	25	:	101	:	54	:	12,4	:	0,72	)
(	:	:	:	:	:	:	:	:	:	:	:	:	:	:	:	:	:	:	:	:	:	:	)
(	:	73	:	128	:	83,8	:	334	:	18	:	234	:	28	:	93	:	55	:	18,4	:	0,90	)
(	:	:	:	:	:	:	:	:	:	:	:	:	:	:	:	:	:	:	:	:	:	:	)
(	:	74	:	276	:	2,2	:	219	:	30	:	335	:	37	:	102	:	38	:	11,4	:	0,46	)
(	:	:	:	:	:	:	:	:	:	:	:	:	:	:	:	:	:	:	:	:	:	:	)
(	:	75	:	268	:	2,9	:	196	:	54	:	15	:	35	:	106	:	0	:	8,9	:	0,89	)
(	:	:	:	:	:	:	:	:	:	:	:	:	:	:	:	:	:	:	:	:	:	:	)
(	:	76	:	138	:	1,4	:	35	:	39	:	204	:	51	:	301	:	5	:	5,7	:	0,84	)
(	:	:	:	:	:	:	:	:	:	:	:	:	:	:	:	:	:	:	:	:	:	:	)
(	:	77	:	281	:	8,9	:	340	:	23	:	133	:	64	:	245	:	10	:	4,2	:	0,47	)
(	:	:	:	:	:	:	:	:	:	:	:	:	:	:	:	:	:	:	:	:	:	:	)
(	:	78	:	145	:	11,9	:	338	:	24	:	148	:	66	:	246	:	3	:	8,9	:	0,46	)
(	:	:	:	:	:	:	:	:	:	:	:	:	:	:	:	:	:	:	:	:	:	:	)
(	:	79a	:	130	:	1,8	:	53	:	5	:	262	:	84	:	143	:	3	:	4,7	:	0,39	)
(	:	:	:	:	:	:	:	:	:	:	:	:	:	:	:	:	:	:	:	:	:	:	)
(	:	79b	:	257	:	2,2	:	46	:	11	:	227	:	79	:	136	:	0	:	5,8	:	0,55	)
(	:	:	:	:	:	:	:	:	:	:	:	:	:	:	:	:	:	:	:	:	:	:	)
(	:	80	:	133	:	2,1	:	50	:	13	:	253	:	76	:	141	:	5	:	6,1	:	0,47	)
(	:	:	:	:	:	:	:	:	:	:	:	:	:	:	:	:	:	:	:	:	:	:	)
(	:	81	:	264	:	4,3	:	354	:	17	:	250	:	37	:	103	:	48	:	7,0	:	0,76	)
(	:	:	:	:	:	:	:	:	:	:	:	:	:	:	:	:	:	:	:	:	:	:	)
(	:	82	:	242	:	4,2	:	1	:	22	:	239	:	59	:	103	:	28	:	9,7	:	0,74	)
(	:	:	:	:	:	:	:	:	:	:	:	:	:	:	:	:	:	:	:	:	:	:	)
(	:	83	:	126	:	0,22	:	1	:	40	:	269	:	2	:	176	:	50	:	3,9	:	0,45	)
(	:	:	:	:	:	:	:	:	:	:	:	:	:	:	:	:	:	:	:	:	:	:	)
(	:	84	:	128	:	1,3	:	34	:	36	:	213	:	54	:	303	:	0	:	3,6	:	0,55	)
(	:	:	:	:	:	:	:	:	:	:	:	:	:	:	:	:	:	:	:	:	:	:	)
(	:	85	:	267	:	7,8	:	357	:	41	:	155	:	47	:	257	:	11	:	7,4	:	0,58	)
(	:	:	:	:	:	:	:	:	:	:	:	:	:	:	:	:	:	:	:	:	:	:	)
(	:	86	:	267	:	7,7	:	347	:	34	:	198	:	51	:	88	:	15	:	7,5	:	0,49	)
(	:	:	:	:	:	:	:	:	:	:	:	:	:	:	:	:	:	:	:	:	:	:	)
(	:	87a	:	128	:	6,7	:	329	:	45	:	171	:	43	:	70	:	12	:	5,9	:	0,52	)
(	:	:	:	:	:	:	:	:	:	:	:	:	:	:	:	:	:	:	:	:	:	:	)
(	:	87b	:	132	:	7,8	:	2	:	42	:	186	:	48	:	93	:	2	:	6,6	:	0,51	)
(	:	:	:	:	:	:	:	:	:	:	:	:	:	:	:	:	:	:	:	:	:	:	)
(	:	88	:	268	:	0,48	:	318	:	58	:	226	:	1	:	135	:	32	:	12,0	:	0,42	)
(	:	:	:	:	:	:	:	:	:	:	:	:	:	:	:	:	:	:	:	:	:	:	)
(	:	89	:	252	:	1,0	:	307	:	53	:	37	:	0	:	127	:	36	:	12,2	:	0,25	)
(	:	:	:	:	:	:	:	:	:	:	:	:	:	:	:	:	:	:	:	:	:	:	)
(	:	90	:	264	:	0,8	:	307	:	51	:	211	:	5	:	117	:	38	:	12,9	:	0,28	)
(	:	:	:	:	:	:	:	:	:	:	:	:	:	:	:	:	:	:	:	:	:	:	)
(	:	91	:	265	:	0,7	:	311	:	50	:	208	:	10	:	110	:	38	:	10,8	:	0,25	)
(	:	:	:	:	:	:	:	:	:	:	:	:	:	:	:	:	:	:	:	:	:	:	)
(	:	92	:	254	:	1,1	:	328	:	67	:	219	:	8	:	125	:	22	:	17,3	:	0,08	)
(	:	:	:	:	:	:	:	:	:	:	:	:	:	:	:	:	:	:	:	:	:	:	)
(	F	93	:	221	:	-0,09	:	231	:	65	:	14	:	20	:	109	:	14	:	27,4	:	0,45	)
(	:	:	:	:	:	:	:	:	:	:	:	:	:	:	:	:	:	:	:	:	:	:	)
(	:	94	:	236	:	0,12	:	10	:	48	:	238	:	31	:	132	:	25	:	9,5	:	0,27	)
(	:	:	:	:	:	:	:	:	:	:	:	:	:	:	:	:	:	:	:	:	:	:	)
(	:	95	:	246	:	0,2	:	12	:	47	:	244	:	30	:	137	:	28	:	13,6	:	0,32	)
(	:	:	:	:	:	:	:	:	:	:	:	:	:	:	:	:	:	:	:	:	:	:	)
(	:	96	:	247	:	0,56	:	17	:	53	:	211	:	36	:	116	:	7	:	4,3	:	0,37	)
(	:	:	:	:	:	:	:	:	:	:	:	:	:	:	:	:	:	:	:	:	:	:	)
(	:	97	:	247	:	-0,11	:	329	:	79	:	205	:	6	:	114	:	9	:	2,6	:	0,41	)

Echantillon		Anisotropie de susceptibilit�									
n <sup>o</sup>	masse	susceptibilit� massique moyenne	Axe						pourcentage d'anisotropie h	param�tre f	
			Maximal		Minimal		Interm�diaire				
			D	I	D	I	D	I			
1a	282	1266,4	215	45	55	43	315	10	8,8	0,21	
1b	262	1225,5	225	47	45	43	135	0	8,2	0,31	
2	142	1225,7	235	48	53	42	144	1	9,8	0,34	
3a	272	1026,1	168	44	50	26	321	35	14,2	0,25	
3b	285	1050,3	183	54	44	28	303	20	12,9	0,15	
4	270	991,9	184	51	42	33	299	19	14,2	0,13	
5	278	1008,4	180	47	48	32	301	25	16,2	0,26	
6	137	1031,1	173	47	40	32	293	25	18,8	0,24	
7	135	937,7	112	11	11	46	212	41	16,0	0,48	
8a	286	960,0	147	11	44	50	245	37	19,4	0,52	
8b	286	960,5	146	10	43	52	244	37	21,5	0,52	
9	275	971,6	147	10	43	53	245	35	17,6	0,55	
10	296	961,5	147	9	44	53	244	35	18,7	0,52	
11	300	949,5	147	9	45	53	243	35	18,9	0,52	
12	295	957,1	147	10	44	53	244	35	18,5	0,53	
13a	140	950,1	223	11	329	56	126	32	7,4	0,30	
13b	128	946,6	258	27	154	27	26	51	8,2	0,26	
14	130	961,9	254	17	155	26	14	58	7,9	0,29	
15a	270	826,3	181	9	282	49	83	40	8,8	0,42	
15b	270	771,5	188	6	286	52	94	37	9,3	0,37	
15c	271	772,6	185	9	342	26	88	37	9,5	0,46	
15d	272	820,4	184	10	287	52	87	36	9,1	0,45	
16	273	807,1	187	7	287	53	91	36	8,9	0,50	
17	272	796,9	189	5	286	52	96	37	9,4	0,50	

C SYENITE DE BIELLA

Echantillon		susceptibilité massique moyenne	Anisotropie de susceptibilité								
n°	masse		Axe						pourcentage d'anisotropie h	paramètre f	
			Maximal		Minimal		Intermédiaire				
			D	I	D	I	D	I			
1	138	1396,9	301	30	65	44	191	31	10,9	0,69	
2a	141	1377,3	307	35	172	45	56	24	10,0	0,79	
2b	138	1328,6	307	36	171	44	55	24	6,7	0,84	
3	307	1530,0	237	65	137	5	45	24	9,1	0,16	
4	268	1457,0	340	64	229	10	134	24	13,3	0,11	
5	271	1061,5	258	68	83	22	352	2	6,2	0,09	
6	273	1108,9	284	64	81	25	175	9	6,1	0,02	
7	274	955,3	294	57	42	11	139	30	11,7	0,22	
8	134	990,4	293	63	46	11	141	24	12,0	0,18	
9a	135	938,9	351	71	92	4	183	19	8,3	0,49	
9b	132	959,5	329	69	83	9	176	19	9,0	0,55	
10	116	277,0	229	37	59	53	323	5	15,7	0,37	
11	119	318,2	10	35	148	47	264	22	13,2	0,20	
12	140	371,4	49	11	152	49	310	39	13,7	0,17	
13	261	319,5	37	11	139	45	297	43	11,5	0,08	
14	260	423,5	15	33	147	45	266	26	7,6	0,68	
15	136	1086,5	328	52	87	21	190	30	8,9	0,61	
16	268	1125,9	309	16	74	63	212	21	17,3	0,18	
17	142	943,1	355	78	228	8	136	10	3,7	0,25	
18	249	582,3	284	54	169	17	68	30	8,6	0,78	

## D' MASSIF DU BERGELL

Echantillon			susceptibilité massique moyenne	Anisotropie de susceptibilité								pourcentage d'anisotropie h	paramètre f
Roche autre que le granite : tonne lité (T), filon (F) et encaissant (EN)	n°	Masse		Axe						pourcentage d'anisotropie h	paramètre f		
				Maximal		Minimal		Intermédiaire					
				D	I	D	I	D	I				
( EN : 23a : 260 : 3,3 : 64 : 41 : 175 : 22 : 286 : 41 : 10,2 : 0,43 )													
( EN : 23b : 132 : 3,3 : 65 : 36 : 179 : 29 : 298 : 40 : 13,3 : 0,24 )													
( EN : 24 : 131 : 3,0 : 94 : 10 : 188 : 23 : 342 : 65 : 6,9 : 0,54 )													
( EN : 25 : 257 : 2,6 : 52 : 55 : 158 : 11 : 256 : 33 : 16,6 : 0,52 )													
( EN : 26 : 249 : 1,6 : 95 : 66 : 186 : 0 : 276 : 24 : 9,5 : 0,18 )													
( EN : 27 : 270 : 1,3 : 92 : 23 : 194 : 24 : 324 : 55 : 14,2 : 0,34 )													
( EN : 28 : 269 : 1,4 : 91 : 21 : 192 : 25 : 326 : 56 : 13,8 : 0,34 )													
( EN : 29 : 282 : 5,9 : 263 : 41 : 163 : 11 : 66 : 46 : 4,0 : 0,53 )													
( : 30 : 282 : 20,9 : 88 : 47 : 329 : 24 : 222 : 33 : 15,3 : 0,33 )													
( : 31 : 118 : 96,8 : 101 : 58 : 332 : 21 : 233 : 22 : 7,5 : 0,16 )													
( : 32 : 138 : 22,2 : 248 : 0 : 338 : 43 : 158 : 46 : 26,1 : 0,36 )													
( EN : 33 : 140 : 2,7 : 24 : 66 : 162 : 19 : 257 : 15 : 13,9 : 0,23 )													
( EN : 34 : 138 : 22,3 : 46 : 50 : 160 : 18 : 263 : 34 : 28,3 : 0,22 )													
( EN : 35 : 137 : 21,4 : 52 : 43 : 161 : 18 : 267 : 41 : 28,0 : 0,19 )													
( EN : 36 : 281 : 29,2 : 74 : 9 : 337 : 37 : 176 : 52 : 14,1 : 0,76 )													
( : 37 : 131 : 199,2 : 258 : 1 : 350 : 56 : 167 : 34 : 15,0 : 0,24 )													
( : 38 : 275 : 12,3 : 142 : 54 : 318 : 36 : 49 : 2 : 13,7 : 0,11 )													
( : 39 : 265 : 15,7 : 260 : 17 : 169 : 1 : 78 : 73 : 3,0 : 0,26 )													
( : 40 : 125 : 10,3 : 81 : 13 : 344 : 27 : 195 : 59 : 5,7 : 0,42 )													
( : 41 : 262 : 10,2 : 76 : 1 : 166 : 6 : 337 : 84 : 3,1 : 0,65 )													
( : 42 : 148 : 31,3 : 162 : 13 : 253 : 3 : 357 : 76 : 38,8 : 0,12 )													
( F : 43 : 154 : 1,8 : 85 : 42 : 337 : 18 : 229 : 42 : 15,9 : 0,20 )													
( F : 44 : 260 : 109,4 : 84 : 28 : 331 : 35 : 202 : 42 : 23,9 : 0,50 )													





	n°	m	X	D <sup>M</sup>	I	D <sup>m</sup>	I	D <sup>i</sup>	I	h	f
( F : 74 : 130 : 46,7 : 173 : 59 : 31 : 26 : 292 : 17 : 17,8 : 0,62 )											
( : : : : : : : : : : : : )											
( F : 75 : 271 : 123,0 : 99 : 17 : 327 : 66 : 195 : 17 : 24,2 : 0,44 )											
( : : : : : : : : : : : : )											
( F : 76 : 139 : 131,6 : 88 : 15 : 329 : 61 : 185 : 24 : 26,7 : 0,51 )											
( : : : : : : : : : : : : )											
( F : 77 : 270 : 9,4 : 107 : 37 : 357 : 24 : 243 : 43 : 7,6 : 0,76 )											
( : : : : : : : : : : : : )											
( F : 78 : 126 : 69,0 : 101 : 29 : 7 : 7 : 264 : 60 : 9,2 : 0,80 )											
( : : : : : : : : : : : : )											
( F : 79a : 129 : 128,8 : 90 : 22 : 192 : 27 : 327 : 54 : 18,6 : 0,71 )											
( : : : : : : : : : : : : )											
( : 79b : 135 : 116,0 : 122 : 51 : 341 : 32 : 238 : 20 : 20,0 : 0,64 )											
( : : : : : : : : : : : : )											
( : 79c : 137 : 187,5 : 146 : 55 : 35 : 14 : 296 : 31 : 21,1 : 0,78 )											
( : : : : : : : : : : : : )											
( EN : 80 : 291 : 16,8 : 321 : 30 : 79 : 38 : 205 : 37 : 4,9 : 0,96 )											
( : : : : : : : : : : : : )											
( EN : 81 : 153 : 22,3 : 112 : 31 : 340 : 48 : 219 : 25 : 6,9 : 0,03 )											
( : : : : : : : : : : : : )											
( EN : 82 : 155 : 15,9 : 98 : 5 : 3 : 48 : 192 : 42 : 5,8 : 0,28 )											
( : : : : : : : : : : : : )											
( : 83 : 129 : 2,1 : 122 : 38 : 222 : 12 : 326 : 50 : 14,3 : 0,26 )											
( : : : : : : : : : : : : )											
( EN : 84 : 130 : 8,9 : 146 : 7 : 237 : 6 : 10 : 81 : 0,2 : 0,64 )											
( : : : : : : : : : : : : )											
( : 85 : 135 : 10,3 : 162 : 55 : 10 : 31 : 272 : 13 : 5,7 : 0,44 )											
( : : : : : : : : : : : : )											
( F : 86 : 135 : -0,3 : 186 : 55 : 325 : 28 : 66 : 20 : 3,6 : 0,73 )											
( : : : : : : : : : : : : )											
( : 87 : 141 : 146,7 : 103 : 26 : 218 : 41 : 351 : 38 : 24,0 : 0,67 )											
( : : : : : : : : : : : : )											
( : 88 : 127 : 0,6 : 138 : 20 : 42 : 14 : 280 : 65 : 16,6 : 0,25 )											
( : : : : : : : : : : : : )											
( : 89 : 130 : 16,8 : 171 : 66 : 22 : 21 : 287 : 11 : 15,5 : 0,15 )											
( : : : : : : : : : : : : )											
( : 90 : 128 : 2,6 : 292 : 51 : 66 : 29 : 170 : 23 : 10,1 : 0,64 )											
( : : : : : : : : : : : : )											
( F : 91 : 130 : 2,2 : 91 : 27 : 187 : 12 : 298 : 60 : 0,8 : 0,53 )											
( : : : : : : : : : : : : )											
( : 92 : 265 : 1,9 : 254 : 1 : 163 : 38 : 346 : 52 : 4,2 : 0,54 )											
( : : : : : : : : : : : : )											
( : 93 : 260 : 0,8 : 268 : 24 : 59 : 63 : 173 : 12 : 7,4 : 0,54 )											
( : : : : : : : : : : : : )											
( T : 94 : 131 : 18,6 : 191 : 55 : 323 : 25 : 64 : 22 : 11,1 : 0,33 )											
( : : : : : : : : : : : : )											
( T : 95 : 142 : 44,2 : 202 : 52 : 331 : 26 : 74 : 25 : 10,2 : 0,38 )											
( : : : : : : : : : : : : )											
( T : 96 : 141 : 46,1 : 198 : 56 : 327 : 23 : 68 : 24 : 15,3 : 0,47 )											
( : : : : : : : : : : : : )											
( EN : 97 : 292 : 12,6 : 173 : 55 : 35 : 27 : 294 : 20 : 0,6 : 0,34 )											
( : : : : : : : : : : : : )											
( EN : 98 : 297 : 15,9 : 343 : 22 : 122 : 62 : 246 : 16 : 4,1 : 0,43 )											
( : : : : : : : : : : : : )											
( EN : 99 : 279 : 10,8 : 104 : 9 : 205 : 51 : 7 : 37 : 16,0 : 0,80 )											
( : : : : : : : : : : : : )											
( EN : 100 : 277 : 10,3 : 148 : 15 : 243 : 18 : 20 : 66 : 6,5 : 0,55 )											
( : : : : : : : : : : : : )											
( : : : : : : : : : : : : )											
( : : : : : : : : : : : : )											

E GRANODIORITE DE TRIANGIA

Echantillon			Anisotropie de susceptibilité								
n°	masse	susceptibilité massique moyenne	Axe						pourcentage d'anisotropie h	paramètre f	
			Maximal		Minimal		Intermédiaire				
			D	I	D	I	D	I			
1	272	37,0	85	53	197	15	297	33	17,3	0,19	
2	124	23,3	90	7	192	17	338	71	16,7	0,45	
3	278	14,0	30	6	199	78	299	10	2,8	0,55	
4	297	12,3	30	3	125	55	298	34	2,6	0,56	
5	253	8,1	27	34	206	56	297	1	9,6	0,68	
6	130	11,8	25	43	199	47	293	4	19,8	0,53	

## F GRANODIORITE-TONALITE DE L'ADAMELLO.

Echantillon			Anisotropie de susceptibilité									
Br : roche broyée F : filon In : roche incluse En : roche encaissante	n°	masse	susceptibilité massique moyenne	Axe						pourcentage d'anisotropie h	paramètre f	
				Maximal		Minimal		Intermédiaire				
				D	I	D	I	D	I			
	1	144	9,1	121	29	28	7	288	60	3,1	0,41	
	2a	157	8,0	291	27	29	15	144	58	5,5	0,15	
	2b	151	8,0	269	49	20	17	123	35	5,4	0,15	
	2c	151	7,5	277	36	22	19	134	48	5,1	0,13	
	3	275	8,0	290	71	50	10	143	16	3,7	0,06	
	4	287	7,7	179	38	40	43	288	22	4,3	0,36	
	5	288	7,8	223	60	33	30	125	5	4,2	0,21	
	6	289	7,1	221	43	53	47	317	5	5,0	0,63	
	7	283	8,2	214	52	348	28	91	23	3,1	0,46	
	8	148	9,7	206	40	307	13	51	47	4,5	0,28	
	9	288	9,8	70	71	299	13	206	13	2,3	0,23	
	10	139	9,6	190	4	283	32	94	58	2,9	0,39	
	11	146	8,7	201	33	295	5	32	57	4,8	0,35	
	12a	275	8,7	221	44	318	6	54	45	6,1	0,16	
	12b	267	8,8	229	52	320	1	50	38	6,1	0,18	
In	13	144	15,5	207	58	311	8	45	31	9,7	0,19	
	14	293	11,1	303	59	36	2	128	30	1,1	0,58	
	15a	263	10,3	266	37	1	7	99	52	5,6	0,13	
	15b	296	13,7	273	47	7	3	100	43	6,9	0,11	
	16	143	15,4	327	1	236	42	292	48	2,9	0,42	
F	17	131	2,9	230	30	30	59	135	9	3,5	0,48	
	18a	300	12,9	353	0	263	65	84	25	3,0	0,39	
	18b	280	10,4	167	1	259	56	76	34	2,6	0,66	







## G GRANITE DE BRESSANONE

Echantillon				Anisotropie de susceptibilité							
Or : tonalite orientée F : filon/In : roche incluse	n°	masse	susceptibilité massique moyenne	Axe						pourcentage d'anisotropie h	paramètre f
				Maximal		Minimal		Intermédiaire			
				D	I	D	I	D	I		
F	1	138	1,4	136	41	310	49	43	3	8,8	0,31
	2	216	4,0	107	49	307	39	208	10	5,5	0,63
	3a	277	3,7	119	48	311	42	216	6	2,1	0,39
	3b	274	4,1	124	51	315	38	221	5	1,8	0,38
F	4	133	0,80	140	41	303	47	42	9	5,7	0,44
	5	282	3,0	133	41	316	49	224	2	2,8	0,43
	6	280	2,2	133	37	316	53	224	1	3,0	0,44
F	7	272	0,44	182	13	351	77	91	2	5,8	0,60
	8	275	3,2	112	34	292	56	202	0	3,9	0,47
	9	128	4,1	107	40	306	48	205	9	6,4	0,37
	10	258	4,4	102	44	305	44	204	12	3,0	0,49
	11	147	6,5	106	46	307	42	208	11	6,1	0,16
F	12	290	1,1	30	75	123	1	213	15	8,7	0,33
	13	253	5,2	46	16	294	53	147	32	2,4	0,004
	14	130	5,3	85	2	352	50	177	40	4,5	0,40
	15	143	4,8	237	1	147	8	336	82	2,1	0,29
	16	129	5,1	214	17	313	28	96	57	0,8	0,41
	17	252	0,81	281	24	179	27	47	53	2,1	0,31
	18	127	5,2	238	30	18	53	136	20	1,4	0,56
	19	272	5,4	281	27	78	61	186	10	0,3	0,33
F	20	134	0,04	203	27	63	56	303	19	31,6	0,31
	21	255	4,6	169	37	63	20	311	46	0,8	0,55
Or	22	129	1,2	114	29	206	3	301	61	3,5	0,73

	n°	m	x	D	M	I	D	m	I	D	i	I	h	f
( Or	23	268	1,8	126	11	225	41	24	47	0,4	0,55	)		
(	24	232	1,6	94	12	193	37	349	50	3,5	0,89	)		
( Or	25	256	1,7	305	7	211	29	46	60	3,9	0,70	)		
(	26	269	4,4	238	21	59	69	328	1	0,6	0,57	)		
(	27	144	5,4	32	54	152	20	254	29	3,1	0,05	)		
(	28	143	6,1	46	42	155	20	264	41	4,5	0,06	)		
( F	29	141	6,0	42	12	228	78	132	1	0,7	0,83	)		
(	30	262	7,2	245	13	154	4	46	76	1,7	0,43	)		
(	31	133	7,4	83	25	180	15	298	60	1,2	0,60	)		
( F	32	258	0,65	71	3	163	29	336	60	8,8	0,10	)		
( Or	33	256	1,3	47	6	160	75	316	14	10,1	0,07	)		
(	34	136	4,9	108	5	14	38	204	51	1,3	0,26	)		
(	35	135	5,3	175	17	51	62	272	22	0,5	0,31	)		
(	36	268	5,5	242	39	43	49	144	9	1,7	0,41	)		
(	37	129	3,6	133	40	268	40	20	24	1,6	0,98	)		
(	38	253	2,3	287	36	190	9	88	52	0,3	0,49	)		
(	39	255	3,8	322	75	204	7	112	13	1,6	0,42	)		
(	40a	135	3,3	102	42	351	22	241	40	1,2	0,59	)		
(	40b	133	3,4	101	33	6	8	264	56	1,2	0,74	)		
(	41	266	5,7	270	7	176	22	16	66	0,5	0,35	)		
( F	42	144	0,64	165	1	255	14	70	76	1,7	0,58	)		
(	43	262	6,7	102	38	236	42	350	25	0,6	0,40	)		
(	44	260	3,6	243	31	3	41	129	34	0,9	0,19	)		
( F	45	137	0,49	136	45	317	45	227	0	11,5	0,50	)		
(	46	264	5,7	117	25	341	57	217	20	2,8	0,70	)		
(	47	262	2,2	111	31	340	48	218	25	4,6	0,36	)		
(	48	262	5,0	157	40	343	50	250	3	1,1	0,21	)		
(	49	245	5,5	66	19	190	57	327	25	6,7	0,58	)		
(	50	251	5,2	79	56	181	8	276	33	1,2	0,22	)		
(	51	259	7,9	72	17	329	37	182	48	0,5	0,31	)		





D GRANITE DE NOVATE

Echantillon				Anisotropie de susceptibilité							
n°	masse	susceptibilité massique moyenne	Axe						pourcentage d'anisotropie h	paramètre f	
			Maximal		Minimal		Intermédiaire				
			D	I	D	I	D	I			
1	260	1,4	73	31	280	56	171	12	3,9	0,67	
2	270	0,4	80	46	310	32	202	27	10,8	0,68	
3	273	0,4	84	46	311	34	203	25	10,7	0,66	
4	271	0,4	83	47	310	32	203	25	10,8	0,54	
5	133	0,5	82	17	333	46	186	39	13,3	0,61	
6	267	2,5	91	39	261	51	357	5	7,0	0,71	
7	288	19,6	84	47	298	37	194	18	5,9	0,45	
8	270	0,5	79	38	291	48	182	16	14,9	0,48	
9	267	11,2	91	9	312	79	182	7	7,9	0,22	
10	142	11,8	102	14	224	64	7	21	11,6	0,13	
11	145	2,1	67	37	191	37	309	32	8,7	0,29	
12	134	0,4	89	41	323	34	210	30	9,5	0,62	
13	137	0,7	79	38	230	48	337	15	1,7	0,43	
14	133	0,8	64	42	191	34	304	30	20,3	0,26	
15	138	1,4	86	50	196	15	297	36	20,0	0,53	
16	129	0,4	68	43	197	34	308	28	16,8	0,78	
17	129	0,2	67	45	203	36	312	23	20,2	0,92	
18	267	1,4	77	46	237	42	336	10	13,7	0,47	
19	267	1,5	77	46	231	41	333	14	14,2	0,44	
20	263	1,4	76	44	227	41	331	15	13,7	0,43	
21	132	0,2	80	21	175	15	298	64	50,2	0,63	
22	132	0,3	70	19	186	51	327	32	47,3	0,50	

H GRANODIORITE DU RENSEN

Echantillon			Anisotropie de susceptibilité								
n°	masse	susceptibilité massique moyenne	Axe						pourcentage d'anisotropie h	paramètre f	
			Maximal		Minimal		Intermédiaire				
			D	I	D	I	D	I			
1	263	4,3	265	33	172	33	1	57	6,6	0,54	
2	156	4,4	271	1	180	59	2	31	6,4	0,53	
3	271	4,4	271	0	181	48	1	42	14,4	0,48	
4	242	10,3	278	21	188	2	93	68	15,8	0,65	
5	147	4,1	285	20	171	48	30	35	5,2	0,27	
6	188	8,3	344	19	113	60	245	21	6,1	0,38	
7	187	8,4	350	18	113	59	252	24	6,2	0,36	
8a	143	5,5	349	21	112	56	248	26	4,1	0,37	
8b	146	5,6	344	21	110	59	244	24	4,2	0,32	
9	282	4,8	290	38	181	23	67	43	4,1	0,44	
10	143	5,2	283	35	168	31	37	39	4,5	0,45	
11	133	4,1	248	5	154	37	345	52	6,5	0,23	
12	134	4,3	254	13	154	38	359	49	6,8	0,24	
13	137	4,6	32	33	184	54	293	13	6,1	0,44	
14	135	4,5	4	37	165	51	267	10	2,8	0,39	



## K GRANODIORITE-TONALITE DES RIESENFERNER

Echantillon			Anisotropie de susceptibilité									
Br : roche broyée	F : Filon En : roche en- caissante	n°	masse	susceptibilité massique moyenne	Axe						pourcentage d'anisotropie h	paramètre f <sub>i</sub>
					Maximal		Minimal		Intermédiaire			
					D	I	D	I	D	I		
		1	137	6,6	275	12	147	70	9	15	10,7	0,26
F		2	103	0,41	235	35	124	28	4	42	44,4	0,53
		3	135	6,3	254	35	138	46	2	35	7,1	0,46
		4	139	6,5	230	19	118	49	334	35	8,2	0,53
		5	284	6,6	264	12	150	62	360	25	9,0	0,56
		6	281	6,7	264	10	149	66	358	21	8,9	0,52
		7	274	6,5	264	9	153	66	358	22	8,5	0,46
En		8	290	14,2	147	23	12	59	245	19	1,2	0,62
En		9	142	15,6	148	29	5	56	248	17	1,2	0,57
F		10	252	1,3	182	6	277	37	83	52	9,7	0,43
F		11	143	1,0	177	10	273	31	72	57	8,3	0,42
		12	156	11,1	271	34	129	49	15	20	11,0	0,22
		13	160	9,0	251	7	141	69	343	19	8,3	0,53
		14	263	17,5	235	5	136	63	330	27	6,6	0,91
		15	141	14,3	238	6	136	63	331	26	7,7	0,62
		16	137	14,8	241	8	138	59	335	30	7,9	0,70
		17	84	13,3	235	2	140	68	326	21	7,1	0,62
F		18	246	3,1	274	36	63	49	172	16	6,2	0,60
		19	135	3,9	278	7	163	74	10	14	9,9	0,25
Br		20	264	2,0	231	0	140	60	325	30	11,1	0,23
Br		21	250	2,1	233	3	137	59	325	30	13,3	0,18
		22	124	5,1	263	1	169	68	353	22	8,4	0,22
		23	284	9,3	257	11	349	8	114	76	6,4	0,62





K' GRANODIORITE-TONALITE DE LA CIMA DI VILA

Echantillon			Anisotropie de susceptibilité									
F : Filon	n°	masse	susceptibilité massique moyenne	Axe						pourcentage d'anisotropie h	paramètre f	
				Maximal		Minimal		Intermédiaire				
				D	I	D	I	D	I			
	59	137	4,8	240	44	146	4	52	46	8,3	0,29	
	60a	152	4,7	238	26	147	1	61	64	8,6	0,14	
	60b	148	4,2	237	34	146	1	59	56	9,3	0,07	
	61	273	0,5	288	51	177	16	76	35	15,4	0,10	
	62	275	0,35	283	51	173	15	73	34	15,5	0,10	
F	63	131	0,13	163	29	268	24	31	51	19,2	0,26	
	64	258	6,5	258	32	357	14	107	55	5,7	0,37	
	65	131	4,8	240	43	339	9	79	46	5,4	0,25	
	66	119	4,8	245	37	344	12	88	50	6,0	0,41	
	67	138	4,9	251	44	357	16	102	42	6,4	0,41	
	68	255	2,2	64	35	305	35	185	36	4,4	0,40	
	69	130	2,9	60	35	310	26	192	44	4,8	0,53	



L GRANODIORITE DE HOLLBRÜCK

Echantillon		Anisotropie de susceptibilité									
n°	masse	susceptibilité massique moyenne	Axe						pourcentage d'anisotropie h	paramètre f	
			Maximal		Minimal		Intermédiaire				
			D	I	D	I	D	I			
1	235	8,2	185	13	323	65	90	15	4,6	0,74	
2a	264	7,1	194	15	318	63	98	21	6,3	0,52	
2b	264	7,1	194	13	317	67	100	19	6,3	0,63	
3	271	6,7	201	24	326	52	97	27	3,7	0,24	
4	250	5,1	91	40	323	36	209	29	3,0	0,55	
5	267	0,80	177	30	327	57	79	14	3,3	0,71	
6	256	5,7	318	57	119	32	214	9	4,4	0,65	
7	243	6,4	187	46	332	38	77	19	7,0	0,35	
8	242	9,0	177	53	297	20	39	30	3,8	0,69	
9	128	7,0	191	32	328	49	86	22	3,3	0,66	
10a	248	6,5	172	42	314	41	63	21	5,2	0,47	
10b	236	6,5	179	35	319	47	73	21	5,2	0,35	

## ADAMELLO

Aimantation rémanente								
Moment rémanent								
Total			après analyse			K°		
N°	$\sigma$	D	I	D'	I'	K°	Pourcentage de Viscosité V	
( F 15a	: 3,0	: 198	: -37	: 178	: -33	: 0,6	: 4,2	)
( F 15b	: 3,0	: 171	: -29	: 193	: -40	: 0,5	: 3,9	)
( F 16	: 10,5	: 169	: -26	: 191	: -36	: 1,9	: 1,8	)
( F 17	: 4,0	: 186	: -23	: 189	: -27	: 3,2	: 1,5	)
( F 18a	: 6,7	: 196	: -21	: 194	: -28	: 1,1	: 1,1	)
( F 18b	: 7,3	: 198	: -26	: 202	: -31	: 1,5	: 0,4	)
( F 43a	: 2,2	: 341	: 60	: 344	: 63	: 0,2	: 7,7	)
( F 43b	: 80,2	: 351	: 50	: 357	: 50	: 1,7	: 0,5	)
( F 43c	: 56,6	: 347	: 60	: 338	: 55	: 0,4	: 22,9	)
( F 46a	: 55,3	: 269	: 73	: 336	: 54	: 0,2	: 14,4	)
( F 55a	: 48,8	: 354	: 53	: 345	: 33	: 0,2	: 18,0	)
( F 55b	: 44,6	: 357	: 49	: 351	: 44	: 0,1	: 13,6	)
( (F 59)	: 163,1	: 254	: 58	: 257	: 58	: 46,2	: 0,4	)
( F 69	: 3,7	: 5	: 62	: 6	: 54	: 1,6	: 4,2	)

BERGELL

Aimantation rémanente								
Moment rémanent								
Total : après analyse								
N°	$\sigma$	D	I	D'	I'	K°	Pourcentage de viscosité V	
D 31	28,0	344	65	300	72	0,6	1,3	
D 39	5,8	311	59	310	66	1,0	1,8	
D 41	2,2	321	45	292	60	0,6	0,6	
D 69	11,1	276	82	289	84	2,6	2,1	
D 77	5,2	284	62	282	79	0,2	8,9	
D 79a	16,7	266	35	308	79	0,3	4,9	

